Die approbierte Originalversion dieser Diplom-/Masterarbeit ist an der Hauptbibliothek der Technischen Universität Wien aufgestellt (http://www.ub.tuwien.ac.at).

The approved original version of this diploma or master thesis is available at the main library of the Vienna University of Technology (http://www.ub.tuwien.ac.at/englweb/).

Diplomarbeit

Concordia

Interplanetare Raumstation im niedrigen Marsorbit

ausgeführt zum Zwecke der Erlangung des akademischen Grades eines Diplom-Ingenieurs

unter der Leitung von

Univ.Doz. Mag.arch. Dr.techn. Christa Illera

E253

Institut für Architektur und Entwerfen Abteilung für Raumgestaltung und nachhaltiges Entwerfen

eingereicht an der Technischen Universität Wien

Fakultät für Architektur und Raumplanung

von

Ursula Knappl

9908380

Dianagasse 8/5-6, 1030 Wien

Concordia

Interplanetare Raumstation im niedrigen Marsorbit

Für meine Familie und meine Freunde, die mich großartig unterstützt haben.

Inhaltsverzeichnis

1 Einleitung	
1.1 Reise zum Mars Mythos und Faszination Die ersten Ideen zum Konzept	3.4 Anforderungen an die Raumstation
1.2 Planet Erde vs. Mars - Unterschiede bzw. Parallelen Seite 8	Materialien
Planet	Schutzschilder
Jahreszeiten	Versorgung der Raumstation
Tag	Selbstversorgende Systeme
Klima	Wohnlichkeit
Wasser	
Atmosphäre	4 Missionsarchitektur
Himmel	4.1 Positionierung im niedrigen Marsorbit
Topographie	Überblick
Monde	Interplanetare Raumfahrt
	Verlassen der Erde
1.3 Himmelsmechanische Beziehungen Seite 16	
Gravitation	Flug zum Mars
Zweikörperproblem	Orbittypen
Die Bestimmung eines bewegten Objekts im Weltraum	4.2 Missionselemente des fiktiven Projekts "Concordia" Seite 56
6 Orbitalelemente	Platzierung im Marsorbit
1.4 Mission Mars Seite 18	Kommunikationssatelliten
Programme zur Erforschung des roten Planeten	Satellit zur Vermessung der Marsoberfäche
Geplante Missionen	Bodeneinheit
Konzepte einer bemannten Marsmission	4.3 Missionsverlauf des Projekts "Concordia" Seite 61
<u>'</u>	Planetenkonstellation
2 Raumstationen	Start: unbemannte Mission
2.1 Bemannte Raumstationen	Start: bemannte Mission zur "Concordia"
Salyut	Starti Bornarinto Micolori Zar Gornoordia
Skylab	5 Concordia - bemannte Raumstation
Apollo-Sojus-Projekt	5.1 Die Geburt der Raumstation
MIR	
	Namensgebung
Internationale Raumstation ISS	Künstliche Schwerkraft auf der Concordia
2.2 Rotierende Raumstationen	Aufbau und Wachstum
Bernal-Sphäre	Anforderungen an das Habitat
Wernher von Braun	5.2 Zusammensetzung der Raumstation Seite 76
Kubrick's 2001: Odyssee im Weltraum	Wachstumsschema
O´Neill-Kolonien	Wegeführung
Das große Baukastenkonzept der NASA	Funktionsdiagramme
K. A. Ehricke	Bordkreisläufe
Aktuellere Beispiele	5.3 Plandarstellung der Habitate Seite 85
	Raum- und Platzbedarf
3 Langzeitmissionen und deren Implikationen	Plandarstellung
3.1 Gesundheitsrisiken im All	3 3 3 3 3 3
Strahlung	
Schwerelosigkeit	
3.2 Vorsorgemaßnahmen	
Strahlenschutzmaßnahmen	
Weltraummedizin	
Training	
Ernährung	
3.3 Psychologie in der Raumfahrt Seite 37	
Studien über Langzeitaufenthalte	

1 Einleitung

1.1 Reise zum Mars

Mythos und Faszination

Die ersten Ideen zum Konzept

1.2 Planet Erde vs. Mars - Unterschiede bzw. Parallelen

Planet

Jahreszeiten

Tag

Klima

Wasser

Atmosphäre

Himmel

Topographie

Monde

1.3 Himmelsmechanische Beziehungen

Gravitation

Zweikörperproblem

Die Bestimmung eines bewegten Objekts im Weltraum

6 Orbitalelemente

1.4 Mission Mars

Programme zur Erforschung des roten Planeten

Geplante Missionen

Konzepte einer bemannten Marsmission

1.1 Reise zum Mars

1 Einleitung

Mythos und Faszination

Schon bei den ersten Hochkulturen übte der rote Planet große Faszination auf die Menschen aus. Durch Überlieferungen der alten Mythologien bleibt uns der Mars stets als mystischer und geheimnisvoller Planet im Gedächtnis.

... Lahmu wurde von der Flugbahn Nibirus verwüstet!, sprach Marduk. Aufgesogen wurde seine Atmosphäre, das Wasser verdampfte, zu einem Ort der Sandstürme geriet er! ... ¹

Bei den Sumerern wurde der Mars als Symbol eines sechseckigen Sterns dargestellt und die Erde entweder als siebeneckiger Stern oder in Form von sieben Punkten.

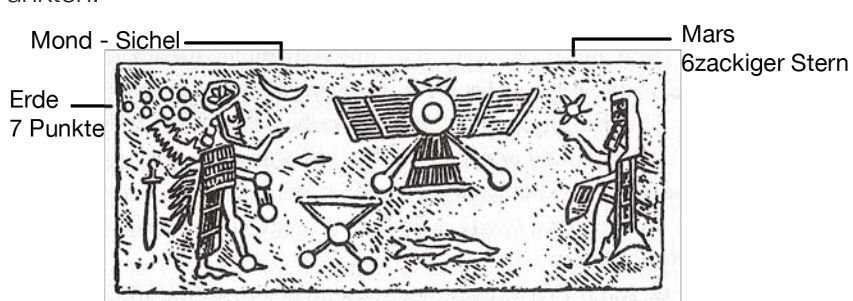


Abb. 1.1-1: sumerisches Rollensiegel

Archäologische Funde von Tontafeln belegen sumerische, akkadische und babylonische Gestirnslisten.

Im Sumerischen erhielt der Mars den Namen Simug, Schmied. Man findet ihn auch unter den Namen Utukagaba, was *Licht am Tor der Wasser*² bedeutet.

Auch in anderen Hochkulturen fand der Mars kultische Bedeutung. Im alten Ägypten kannte man ihn als "Horus der Rote" und bei den Azteken war er als *Huitzilopochtli*, der Zerstörer von Menschen und Städten, bekannt. Im indischen Sanskrit taucht er als "Mangal" (verheißungsvoll), "Angaraka" (Glühende Kohle) und "Kuja" (der Blonde) auf.

Sein Name lautet im Akkadischen "Shalbatana" und im Hebräischen "Maja". Aus der griechischen bzw. römischen Mythologie kennt man ihn als den Kriegsgott Ares und, wie geläufig, als Mars.

Ab dem 17. Jahrhundert wurde durch die Erfindung des Teleskops eine genauere Beobachtung des roten Planeten ermöglicht.

Bereits im 18. Jahrhundert entdeckte man dunkle Flecken auf der Marsoberfläche, die ihre Farbe änderten und wuchsen bzw. schrumpften.

Zu Beginn des 19. Jahrhunderts begann das Interesse und die Faszination an dem roten Planeten zuzunehmen, nachdem ein Astronom zu der Überzeugung gelangt war, einen Schwesternplaneten unserer Erde wieder erkannt zu haben.

Besagter Astronom war der Italiener *Giovanni Virginio Schiaparelli*, Entdecker der *Canali*. Ihm Zufolge wurde dem Mars intelligentes Leben zugeschrieben.

Zitat 1.1-1: Zecharia Sitchin
Abbildung 1.1-1: sumerisches Rollensiegel
Zitat 1.1-2: Zecharia Sitchin

Huitzilopochtli ... aztekische Gottheit
Giovanni Virginio Schiaparelli ... (1835-1910) Archite

Giovanni Virginio Schiaparelli ... (1835-1910) Architekt, Mathematiker, Astronom, Ingenieur der Hydraulik Canali ... linienförmige Strukturen auf der Marsoberfläche

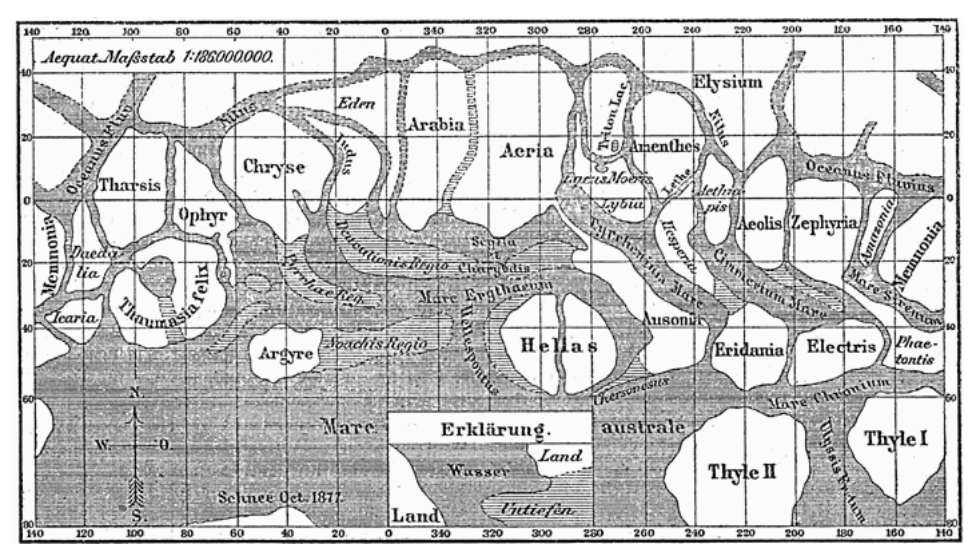


Abb. 1.1-2: Marskarte nach Schiaparelli

Schiaparellis Entdeckung und seine Vermutung der Existenz von intelligentem Leben auf dem Mars ermutigte viele andere Astronomen zu weiteren Recherchen. Außerdem lieferten diese Forschungen den Stoff für zahlreiche Romane und Science-Fiction-Filme (siehe Tabelle 1.1-1).

Für *Percival Lowell* waren diese Vermutungen Grund genug, eine Sternwarte in Arizona für die Beobachtung der Marsbewohner zu gründen.

Bis heute gibt es heftige Diskussionen zu dem Thema "existiert intelligentes Leben auf dem Mars?".

Einer der ersten Träume der Astronauten war, den roten Planeten zu besuchen. Seit dem Ende der 60iger sind wir technisch gesehen auch dazu in der Lage. Es gibt bereits *Interessensgruppen*, die das Ziel haben den Mars zu bereisen und auch auf ihm erdähnliche Konditionen zu schaffen.

Die Neugierde liegt in der menschlichen Natur und hat den Menschen immer dazu bewogen, an die Grenzen zu gehen und sie auch auszuweiten. Die Frage nach außerirdischem Leben ist bislang noch nicht geklärt und motiviert viele Wissenschaftler danach zu forschen. Daher ist der Mars eine unerlässliche Etappe für diese Annahmen und Recherchen. Bisher ist es nicht erwiesen, dass Leben auf dem Mars existiert bzw. existiert haben könnte.

Neben der wissenschaftlichen Neugier und den technologischen Herausforderungen dient auch die faszinierende Geschichte des roten Planeten als Grund zu seiner Erkundung.

Der Mars ist der erdähnlichste Planet unseres Sonnensystems und steht der Erde am nächsten, jedoch liegt er knapp außerhalb der *habitablen Zone*. Neben der Erde schafft er, gegenüber den restlichen Planeten, noch die besten Voraussetzungen für etwaiges Leben und könnte auch Aufschluss über die unerforschte Erdgeschichte liefern.

Die Klimaveränderungen auf dem Mars können als Referenz und zur Erklärung der Klimageschichte der Erde dienen.

Abbildung 1.1-2: Marskarte nach Schiaparelli von 1888 (Meyers Konversations-Lexikon)

Percival Lowell ...
Interessensgruppen ...
habitable Zone ...

US-amerikanischer Astronom 1855-1916
Mars-Society aus den USA; Planète Mars in Frankreich
Bereich im Weltraum, wo Wasser dauerhaft in flüssiger Form existieren kann,
um damit die Voraussetzungen für Leben zu gewährleisten.

1.1 Reise zum Mars

1 Einleitung

Seine rötliche Oberfläche entstand durch eisenoxidreichen verwitterten Basalt und feinkörnige rote Tonerde.

1976 machten die beiden Viking - Orbiter der NASA eine erstaunliche Entdeckung. Im Hochland der Cydonia-Region in der nördlichen Hemisphäre, die eine komplexe Geologie aus Kratern und Felsformationen aufweist, wurde eine für Aufsehen sorgende Aufnahme gemacht.



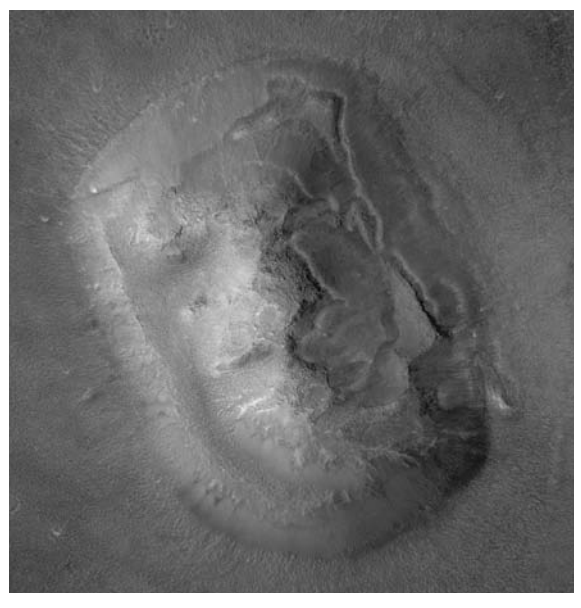
"...Wir erhalten recht sonderbare Dinge, es ist sehr verwirrend ... Man kann kaum an eine natürliche Ursache glauben, weil die Furchen so regelmäßig sind." ³ Michael Carr

Abb. 1.1-3: Marsgesicht



Neben dem "Marsgesicht" waren auch regelmäßge Furchen im Cydonia-Gebiet zu erkennen. In der näheren Umgebung wurden auch vermeintliche Pyramiden fotografiert - daher wurde diese Region von Wissenschaftlern "Inkastadt" getauft.

Abb. 1.1-4: Inkastadt



hochauflösenden Aufnahmen des Mars Global Surveyors die Annahme der Abbildung eines menschlichen Gesichts widerlegt. Es handelt sich demnach um eine stark verwitterte Felsformation, die durch natürliche Prozesse erodiert ist und nur durch das Zusammenspiel von Licht und Schatten eine Täuschung auf der Viking-Aufnahme hervorgerufen hatte.

2001 wurde aufgrund von

Abb. 1.1-5: optische Täuschung

Zitat 1.1-3: Michael Carr
Michael Carr ... Pressechef der NASA

Abbildung 1.1-3: Marsgesicht © NASA Abbildung 1.1-4: Inkastadt © NASA Abbildung 1.1-5: optische Täuschung © NASA Der Mythos Mars ist Thema zahlreicher Romane und Verfilmungen:

1790: Carl Ignaz Geigers Roman "Reise eines Erdbewohners in den Mars"

1897: Kurd Laßwitz umfangreicher Roman "Auf zwei Planeten" Besuch bei den Marsbewohnern

1898: Herbert G. Wells Roman "Krieg der Welten" Marsianer erobern die Erde

1913: erscheint ersmals ein grünes Marsmännchen in einem Comic

1938: Orson Welles' Panik auslösendes Hörspiel "Invasion vom Mars" zur Romanvorlage von "Krieg der Welten"

1950: Buch "Die Marschroniken" von Ray Bradbury

1952: Verfilmung von "Invasion vom Mars"

1968: Film: "2001: Odyssee im Weltraum" von Produzent und Regisseur Stanley Kubrick, Drehbuch Kubrick und Arthur C. Clarke

1978: Übertragung einer vorgetäuschten Marsexpedition

1990: "Total Recall"

1993: "Marstrilogie", Romanserie von Kim Stanley Robinson - über die Besiedlung des Mars

2000: "Red Planet"

2000: Film "Mission to Mars" - thematisiert unter anderem die Cydonia-Region

2005: "Das Marsprojekt" von Autor Andreas Eschenbach - 5teilige Romanserie

2005: Dokumentation: "The Mars Underground" - Geschichte über den Raumfahrtingenieur Robert Zubrin und sein andauerndes Scheitern bei der Planung einer bemannten Mission zum Mars

2007: Film: "Postcards from the Future" - Briefe aus dem Kosmos / Kurzfilm von Alan Chan

Tabelle 1.1-1: Film und Literatur

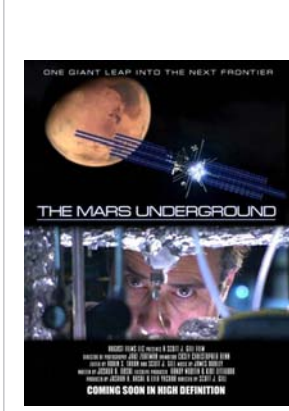
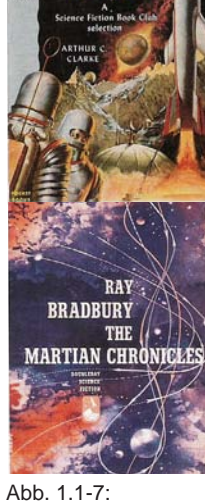


Abb. 1.1-6: The Mars Underground



SiFi-Literatur zum
Thema Mars



Abb. 1.1-8: Krieg der Welten

Ein ständiges Zusammenspiel zwischen Wissenschaften und Literatur wären zwecks Anregungen und neuer Gedankengänge sehr vorteilhaft.

www.themarsunderground.com

Tabelle 1.1-1: Film und Literatur

Abbildung 1.1-6: The Mars Underground Abbildung 1.1-7: SiFi-Literatur zum Thema Mars Abbildung 1.1-8: Krieg der Welten 1.1 Reise zum Mars

1 Einleitung

Die ersten Ideen zum Konzept

Der Gedanke des Verlorenseins in den Weiten des Weltraums hat mich sehr beschäftigt. Sollte eine Mission scheitern, gibt es nämlich kein Zurück mehr und bis Hilfe naht, sofern überhaupt möglich, würde sehr viel Zeit verstreichen. Deshalb dachte ich an ein modulares System von rotierenden, sich selbst erhaltenden Raumstationen, die in gewissen Abständen zueinander positioniert werden (siehe Abb. 1.1-9). Sie würden als Zufluchtstätten bzw. für Zwischenstopps, zur Betankung, Wartung, Reparatur von Raumfahrzeugen, sozusagen als Versorgungsstationen (Wasser, Nahrung, Medizin), dienen. Bei der Positionierung, beispielsweise einer Erde-Mars-Mission, muss das sich bewegende System der beiden Planeten bedacht werden. Um die Distanzen und Reisezeit zwischen den Stationen möglichst gering zu halten, muss das System auf die sich ändernden Erde-Mars-Positionen abgestimmt werden, zum Beispiel durch Aufsplittung einer Station.

Ein weiterer wichtiger Aspekt ist die Kommunikationsmöglichkeit und die Möglichkeit eines Crewwechsels unter den Stationen. Die Stationsmitglieder können mehrere Stationen bis zur Rückkehr zur Erde zyklisch durchwandern. Die einzelnen Raumstationen sollen als Vernetzung von interplanetaren Weltraumbahnhöfen fungieren.

In meiner Diplomarbeit gehe ich auf jene Raumstation, welche laut meines Ideenkonzepts im niedrigen Marsorbit positioniert wird, näher ein.

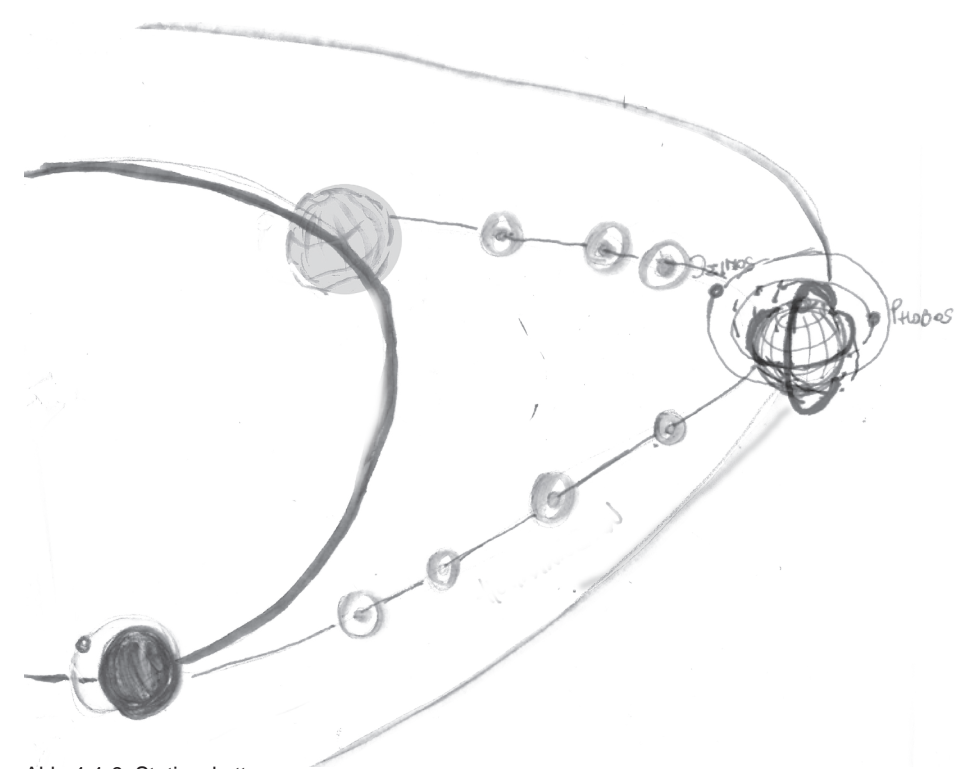


Abb. 1.1-9: Stationskette



Abb. 1.1-10: Fiktive Verbindungskette zwischen Erde und Mars

Abbildung 1.1-9: Stationskette © Ursula Knappl Abbildung 1.1-10: Fiktive Verbindungskette zwischen Erde und Mars © Ursula Knappl

Orbitalparameter	Perihel	Aphel	große Halbachse
$10^{6} km$	147,09	152,10	149,60
Lichtjahre	1,55 · 10-5	1,61 · 10-5	1,58 · 10-5
AE	0,9833	1,0167	~ 1
	Bahnneigung		siderische Periode
Grad Tage	0,00	17.5	365,256
	Eigenrotation		Achsneigung
Stunden Grad	23,9345		23,45
Parameter	Radius	Masse	Volumen
$km \ 10^{24} kg \ 10^{10} km^3$	6378,1	5,9736	108,321
	Gravitation		Bestrahlungsstärke
m/s^2 W/m^2	9,80		1367,6
Atmosphäre	1,013 hPa mittlerer Luftdruck auf Meeresniveau		
	78 % Stickstoff, 21 % Sauerstoff und zu 1 % aus Edelgasen, überwiegend Argon		
	15°C mittlere Temperatur (min60°C, max. +58°C)		

Tabelle 1.2-1a: Die wichtigsten Parameter unseres Planeten Erde. Abbildung 1.2-1a: Planet Erde

Planet Erde

Unser Planet Erde ist keine exakte Kugel, da durch die Eigenrotation Trägheitskräfte entstehen, die zur Erdabplattung führen und eine Formabweichung verursachen.

Vergleicht man den Äuquatordurchmesser von ca. 12 756 km mit dem Polabstand von etwa 12 713 km zeichnet sich eine deutliche Abweichung von 43 km der Kugelform ab.

Eine Erdumdrehung um die eigene Achse erfolgt rechtläufig in 23h 56 min.

Die Rotationsachse (Himmelsachse) ist um 23,45° gegen die Erdbahnebene geneigt.

Die x-Achse geht immer durch den Frühlingspunkt, der in der Abbildung mit Punkt Y gekennzeichnet wird.

Der Winkel zwischen Äquatorialebene und *Ekliptik* wird mit ε bezeichnet.

Die Umlaufbahn der Erde um die Sonne ist nahezu kreisförmig.

Ein ganzer Umlauf um die Sonne erfolgt in 365 Tagen, 6 Stunden, 9 Minuten und 9,54 Sekunden, es handelt sich hierbei um ein siderisches Jahr. Horizontalebene

Frühlingspunkt Y

Himmeläquator x_E Rotationsachse

Himmelsachse

Abb. 1.2-2a: äquatoriales Koordinatensystem

Tabelle 1.2-1a: Quelle NASA factsheet Abbildung 1.2-1a: Planet Erde

Abbildung 1.2-2a: Äquatoriales Koordinatensystem

rechtläufig ... gegen den Uhrzeigersinn

Ekliptik ... Ebene auf der sowohl der Mittelpunkt der Sonne als auch

der Mittelpunkt der Erde liegt

Perihel ... ein Körper befindet sich im sonnennächsten Punkt seiner Umlaufbahn Aphel ... ein Körper befindet sich im sonnenfernsten Punkt seiner Umlaufbahn

Orbitalparameter	Perihel	Aphel	große Halbachse
$10^6 km$	206,62	249,23	227,92
Lichtjahre	2,18 · 10-5	$2,63 \cdot 10^{-5}$	$2,41 \cdot 10^{-5}$
AE	1,381	1,666	1,523
	Bahnneigung		siderische Periode
Grad Tage	1,85		686,980
	Eigenrotation		Achsneigung
Stunden Grad	24,6229		25,19
Parameter	Radius	Masse	Volumen
$km \ 10^{24} kg \ 10^{10} km^3$	3396,2	0,6418516,318	
	Gravitation		Bestrahlungsstärke
m/s^2 W/m^2	3,71		589,2
Atmosphäre	6,36 hPa mittle	rer Luftdruck	
	95,3 % Kohlendioxid, 2,7 % Stickstoff, 1,6 % Argon,		
	geringer Sauerstoff- und Kohlenmonoxidanteil und		
	Spuren von Wasserdampf, Neon, Krypton, Xenon und Ozon		
	-55°C mittlere Temperatur (min133°C, max. +27°C)		

Tabelle 1.2-1b: Die wichtigsten Parameter des roten Planeten Mars. Abbildung 1.2-1b: Planet Mars

Planet Mars

Ebenso trifft die Abplattung auf den Mars zu - auch seine Form weicht von einer Kugel ab, da sich sein Polradius mit 20 km vom Äquatorradius unterscheidet.

Der Mars rotiert um seine eigene Achse in 24h 37 min.

Die Achsneigung ändert sich wie bei der Erde, alle 21 000 Jahre um ein paar Grad.
Die Bahnebene des Mars ist um 1,85° zur Ekliptik der Erdumlaufbahn geneigt.
Aufgrund der Achsneigung werden auch auf dem Mars Nordund Südhalbkugel von der Sonne unterschiedlich bestrahlt.

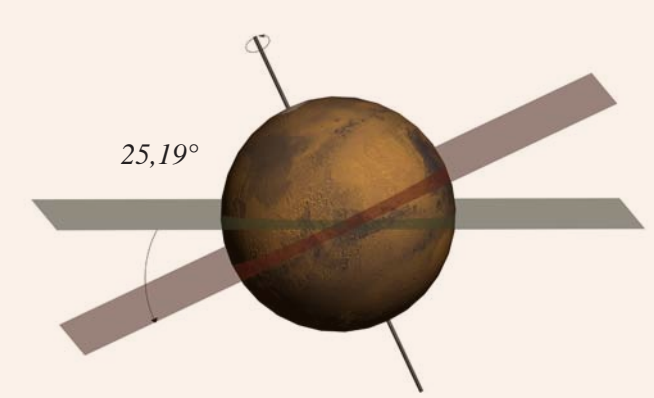


Abb. 1.2-2b: Achsneigung (Inklination)

Wegen seiner exzentrischen Umlaufbahn um die Sonne erreicht der Mars den erdnächsten Punkt entweder eine Woche vor oder nach der *Opposition*. Während der Opposition ist das Phänomen der Marsschleife zu beobachten. Dadurch, dass sich die Erde auf der Innenbahn schneller bewegt, erscheint es, als ob der Mars am Sternenhimmenl rückwärts wandern würde. Der Mars umläuft die Sonne innerhalb von 686 Tagen 23 Stunden 31 Minuten und 12 Sekunde oder 1,9 Erdenjahren.

Tabelle 1.2-1b: Quelle NASA factsheet

Abbildung 1.2-1b: Planet Mars

Abbildung 1.2-2b: Achsneigung (Inklination)

1 Lichtjahr = 9,461 · 1012 km

1 AE (Astronomische Einheit) = 149 597 870, 691 km

Opposition ... Die Erde und ein äußerer Planet liegen auf einer Achse zur Sonne und befinden sich auf derselben Seite. Dabei erstrahlt der Planet in größter Helligkeit.

Jahreszeiten auf der Erde

Unser Planetensystem basiert auf himmelsmechanischen Prinzipien, die unser irdisches

Leben in Form von Zyklen definieren.

Die Erde umkreist die Sonne innerhalb eines Jahres. Dabei entstehen aufgrund ihrer Achsneigung vier 4 Jahreszeiten:

Frühling: 92,9 Tage Sommer: 93,6 Tage Herbst: 89,7 Tage Winter: 89,1 Tage

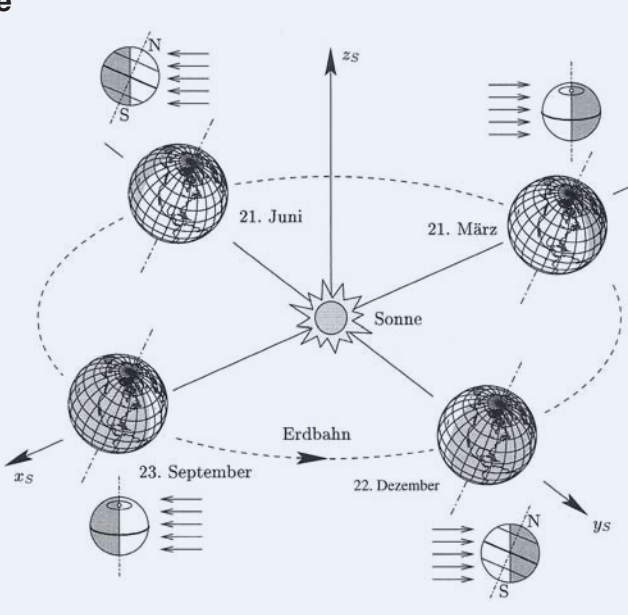


Abb. 1.2-3a: Jahreszeiten

Wegen der unterschiedlichen Sonneneinstrahlung auf die Nord- bzw. Südhalbkugel zeichnen sich auch unterschiedliche Tag- und Nachtlängen ab.

Am 21. März beginnt der astronomische Frühling auf der Nordhalbkugel bzw. der astronomische Herbst auf der Südhalbkugel. Es herrscht Tag- und Nachtgleiche. Die scheinbare geozentrische Länge der Sonne beträgt 0°.

Am 21. Juni ist Sommersonnenwende, wobei sich die Sonne an diesem Tag über dem nördlichen Wendekreis befindet. Die Nordhalbkugel erfährt den längsten und die Südhalbkugel den kürzesten Tag. Der Nordpol befindet sich in der Mitte des Polartages und der Südpol in der Mitte der Polarnacht. Die Erde steht im Aphel, sprich sie ist am weitesten von der Sonne entfernt.

Um den 23. September herrscht Tag- und Nachtgleiche. Auf der Nordhalbkugel beginnt der astronomische Herbst und auf der Südhalbkugel der astronomische Frühling.

In der gemäßigten Zone ereignet sich am 21. Dezember die Wintersonnenwende. Dabei steht die Sonne über dem südlichen *Wendekreis* - das bedeutet, dass auf der Nordhalbkugel der kürzeste und auf der Südhalbkugel der längste Tag des Jahres ist. Die Erde steht im Perihel - im sonnennächsten Punkt.

Aufgrund des gravitativen Einflusses des Mondes, welcher die Achsneigung der Erde stabil hält, wird die Erhaltung der Jahreszeiten auf unserem blauen Planeten sichergestellt.

Jahreszeiten auf dem Mars

Ein Mars-Jahr von 687 Tagen dauert ca. zweimal so lange als ein Erdenjahr mit 365 Tagen. Daher sind auch die Jahreszeiten länger ausgeprägt.

Frühling: 199 Tage Sommer: 183 Tage Herbst: 147 Tage Winter: 158 Tage

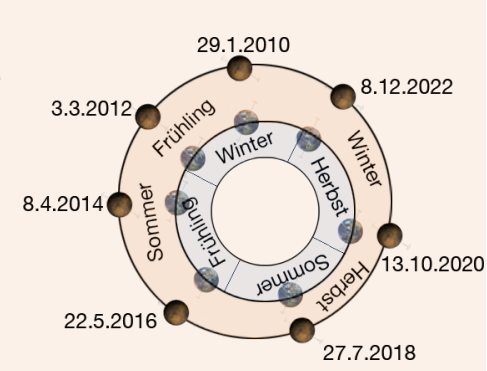


Abb. 1.2-3b: Jahreszeiten

Die Jahreszeiten auf der südlichen Hemisphäre unterscheiden sich von denen auf der Nördlichen aufgrund der exzentrischen Umlaufbahn um die Sonne.

Die Sommer sind auf der Südhalbkugel länger und kälter ausgeprägt. Im südlichen Sommer reichen die Temperaturen beispielsweise von +20°C mittags bis zu -80°C früh morgens.

Im südlichen Winter liegen die Höchsttemperaturen bei nur -50°C.

Auf der nördlichen Hemisphäre sind die Winter kürzer und milder und weisen eine Höchsttemperatur von -25°C auf.







Abb. 1.2-4: Veränderung der Polkapper

Aufgrund der jahreszeitlichen Änderungen verändern sich auch die Polkappen - durch Dehnen und Schrumpfen.

Im Sommer weist die Nordpolkappe einen Durchmesser von etwa 1000 km auf und besteht aus Wassereis.

Die Südpolkappe hat im Sommer hingegen einen Durchmesser von nur 350 km und besteht ebenfalls aus Wassereis sprich aus gefrorenem Kohlendioxid (CO₂). Im Sommer verdunstet ein Teil des Polareises und aufsteigender Wasserdampf führt zur Bildung von Wolken, welche vorwiegend aus Wassereiskristallen bzw. aus kondensiertem CO₂ bestehen.

Im Winter erscheint die Nordpolkappe, aufgrund der feinen Eisschicht aus Kohlendioxid, ausgedehnter.

Die südliche Polkappe ist wesentlich kleiner mit einem Durchmesser von 400 km. Sie besteht aus Eis, Sedimenten, Staub und ist permanent mit gefrorenem Kohlendioxid bedeckt.

Abbildung 1.2-3a: Jahreszeiten

scheinbare geozentrische Länge ...

vom Erdmittelpunkt aus betrachtet unter Berücksichtigung kleiner Schwankungen

Die Wendekreise befinden sich 2.600 km nördlich bzw. südlich des Äquators.

Abbildung 1.2-3b: Jahreszeiten

Abbildung 1.2-4: Veränderung der Polkappen © ESA/NASA

Erdentag

Aufgrund der Rotation um ihre eigene Achse ist die Erde einem Tag- und Nachtzyklus unterworfen.

 $\rm T_{\rm E} \dots$ Dauer eines siderischen Tages $\rm T_{\rm E} = 0,99727$ (Sonnen-) Tage $\rm T_{\rm S} \dots$ Umlaufzeit um die Sonne $\rm T_{\rm S} = 365,256$ sid. Tage $\rm T_{\rm MS} \dots$ Dauer eines mittleren Sonnentages $\rm T_{\rm MS} = 24$ Stunden

Das Klima auf der Erde

Durch die Sonneneinstrahlung und deren Absorption bzw. Abstrahlung an der Erdoberfläche und Atmosphäre wird der Erde Energie zugeführt. Die globale Temperatur liegt bei etwa -27°C, jedoch durch den atmosphärischen Treibhauseffekt entsteht eine mittlere Bodentemperatur von +15°C. Die Erde wird aufgrund der unterschiedlichen Sonneneinstrahlung in Klimazonen eingeteilt (Polarzone, gemäßigte Zone, Subtropen, Tropen).

Die Polarzone oder kalte Zone erstreckt sich innerhalb der Polarkreise. Als Polargebiet gilt am Nordpol die Arktis und am Südpol die Antarktis. In den Polregionen herrschen Eis und Schnee sowie eine halbjährige Polarnacht und ein halbjähriger Polartag. Die Durchschnittstemperatur beträgt 0°C.

Die gemäßigte Zone reicht vom Polarkreis bis zum 40. Breitengrad. In dieser Region sind die Jahreszeiten eindeutig deklariert. Es herrscht sowohl maritimes Klima mit geringen Temperaturschwankungen und großen Niederschlägen, als auch kontinentales Klima mit hohen Temperaturschwankungen und relativer Trockenheit. Der größte Teil der Region unterliegt der *Westwindzone*. Die Temperaturen schwanken im Sommer über 30°C und im Winter unter dem Gefrierpunkt mit Schnee als Niederschlag.

Die Subtropen erstrecken sich vom 40. Breitengrad bis zum Wendekreis. Die mittlere Temperatur im Jahr liegt bei über 20°C. Sie sind unterteilt in trockene, winterfeuchte, sommerfeuchte und immerfeuchte Subtropen.

Es treten mitunter sehr hohe Temperaturunterschiede zwischen Tag und Nacht auf. Sie haben tropische Sommer und nicht tropische Winter.

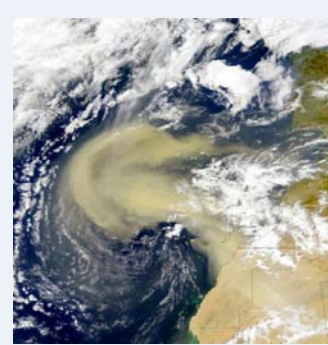


Abb. 1.2-5a: Sandsturm

Die Tropen befinden sich innerhalb des nördlichen und südlichen Wendekreises um den Äquator. Es herrscht fast Tag- und Nachtgleiche. Es wird zwischen wechselfeuchten und immerfeuchten Tropen, welche sich in Äquatornähe befinden unterschieden, wobei nur in den wechselfeuchten Regionen klimatische Jahreszeiten in Form von Trocken- und Regenzeit ausgeprägt sind. Es treten Winde, Passate und Monsune auf und verursachen heftige Niederschläge.

siderischer Tag ... Die Dauer eines Sterntages entspricht der Dauer einer vollen Erdrotation.

Westwindzone ... globale atmosphärische Windströmung mit Boden- und Höhenwinden aus Westen

Abbildung 1.2-5a: Sandsturm

Marstag

Die Tage auf dem Mars werden in SOL (Sonnentage) gemessen. Eine vollkommene Eigenrotation dauert um ca. 41 Minuten länger als auf der Erde. Der Marssonnenaufgang verschiebt sich zum Erdentag täglich um 7 Minuten.

Die Dauer eines siderischen Tages beträgt 1,02595 Sonnentage. Ein Umlauf um die Sonne erfolgt in 686,980 siderischen Tagen.

Das Klima auf dem Mars

Das Klima ist hyperkontinental sehr trocken und weist große Temperaturschwankungen auf. Der Temperaturunterschied zwischen Tag und Nacht beträgt in etwa 50°C und bis zu 100°C in den Wüsten.

Aufgrund der weiteren Entfernung von der Sonne, herrscht auf dem Mars um 2,3 mal weniger Sonneneinstrahlung pro Fläche als auf der Erde.

Die sich ändernden Bahnparameter (Exzentrizität, Neigung und Richtung der Drehachse) sind für die Klimaänderungen verantwortlich. Dies bedeutet, dass bei niedriger Achsneigung weniger Sonnenstrahlung an den Polen eintrifft und umgekehrt. Im Perihel erhält der Mars um 40% mehr Sonneneinstrahlung als im Aphel.

Auf der Marsoberfläche kommt es aufgrund von Temperaturunterschieden und dem fallenden Luftdruck zu zyklisch auftretenden Wirbelstürmen.

Die Windgeschwindigkeiten liegen bei normalen Wetterbedingungen bei 10-20 km/h und bei Stürmen im Frühjahr und Herbst bei 50km/h.

Staubstürme erreichen bis zu 100 km/h und entstehen hauptsächlich auf der südlichen Hemisphäre im Sommer und sorgen für eine undurchsichtige Staubschicht, die den Mars monatelang umhüllt. Dabei wird das Sonnenlicht vom

Staub absorbiert und dadurch entstehen heftige Höhenwinde.

Die Marsluft ist nie vollkommen staubfrei. Der Marsstaub ist eisenhältig und könnte von Magneten angezogen werden. In seiner Atmosphäre können sich auch Wolken bilden - besonders im Zeitraum des Aphels.



Abb. 1.2-5b: Sandsturm

Die mittlere Oberflächentemperatur beträgt -53°C. In Äquatornähe erreichen die Temperaturen bis zu +20°C und fallen nachts bis auf -85°C.



Abb. 1.2-6: Wetterbericht 29.12.2008

SOL ... von NASA verwendetes Zeitmaß

Abbildung 1.2-5b: Sandsturm

Abbildung 1.2-6: Wetterbericht 29.12.2008

Wasser auf der Erde

Wasser bietet die Grundlage für das "Leben", das sich laut bisherigen Erkenntnissen vorerst nur auf der Erde entwickelt hat.

Die Herkunft der großen Wasservorkommen auf der Erde ist bis heute nicht eindeutig geklärt. Eine These besagt, dass sich ein Teil des Wassers durch Ausgasen von Magma angereichert hat - eine andere These beruft sich auf Einschlagen von wasserhaltigen Asteroriden aus dem Weltall.

Die Erde ist in eine Wasserhalbkugel und in eine Landhalbkugel geteilt.

Die Erdoberfläche ist zu 70,7% mit Wasser bedeckt wobei sich die Wasserregion in drei Weltmeere gliedern: den Atlantik, den Pazifik und den Indischen Ozean.





3,5% des Wasserreservoirs auf der Erde entfallen auf Süßwasser, das hauptsächlich in gefrorener Form an den Polen, Gletschern und Dauerfrostböden vorkommt. Nur 0,3% aller gesamten Wasservorkommen können als Trinkwasser genutzt werden, welches von Gletschern, Flüssen und Seen als gewonnen wird.

 $98,\!233~\%$ des Wasservorkommens ist in flüssiger Form, 1,766 % in fester Form und 0,001 % in gasförmiger Form vorhanden.

Die Wassermassen der Meere oder Flüsse verändern ständig die Landregionen durch Abtragen und Verschleppen von Erdmassen. Gletscherbewegungen sorgen für neue Landschaftsformationen.



Abb. 1.2.8a: Wasserlandschaft





Abb. 1.2.9a: Wasser

Abbildung 1.2-7: Land- und Wasserhalbkugel, © Stefan Kühn

Abbildung 1.2-8a: Wasserlandschaft, © Ulla Trampert

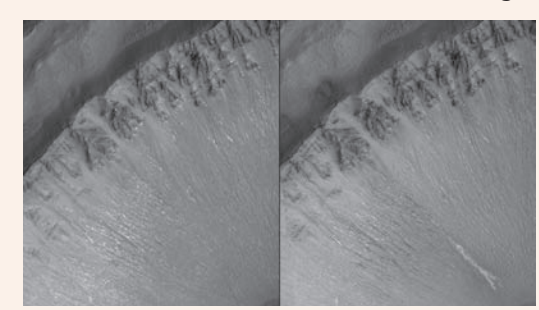
Abbildung 1.2.-9a: Wasser

Wasser auf dem Mars

Aufgrund des zu niedrigen Atmosphärendrucks und seiner frostigen Temperaturen gibt es heute kein flüssiges Wasser auf der Marsoberfläche. Kohlendioxidhältiges Wasser gefriert bzw. kocht schon bei wenigen Plusgraden und geht dabei direkt in einen gasförmigen Zustand über. Jedoch haben bisherige Forschungsergebnisse gezeigt, dass vor Milliarden von Jahren die Marsatmosphäre deutlich dichter war und Wasser die Oberfläche bedeckte. Die Oberflächenstrukturen lassen eindeutig Rückschlüsse auf einstige Wasservorkommnisse schließen. Laut Messungen der Sonde Mars Odyssey wäre in der Geschichte des roten Planeten ein Drittel seiner Oberfläche mit Ozeanen bedeckt gewesen. Die Entdeckung von Opal durch den Mars Reconnaissance Orbiter liefert einen weiteren Beweis dafür, dass Wasser auf dem Mars vorhanden war.

Wasser tritt in Form von Permafrost auf, während es sich auch in gasförmigen Zustand in der Atmosphäre befindet. Möglicherweise verbirgt sich unter dem Nordpol ein großes unterirdisches Wasserreservoir.

Forschungsergebnisse der vergangenen Jahre haben gezeigt, dass möglicherweise Wasser in flüssiger Form auf der Marsoberfläche auftritt. Aufnahmen des *Mars Global Surveyor* haben Oberflächenveränderungen in der südlichen Marsregion, Terra Sirenum und Centauri Montes, gezeigt.



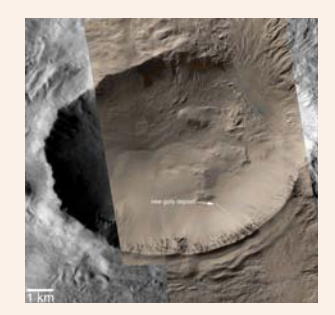


Abb. 1.2-8b: Wasservorkommen

Die entdeckten Flüssigkeitsablagerungen könnten möglicherweise Grundwasser oder geschmolzenes Eiswasser aus dem Untergrund sein.

Die Auswertung einer gefrorenen Bodenprobe des *Phoenix-Landers* brachte das Ergebnis, nachweislich "Wasser" gefunden zu haben. Mittels Radarmessungen der *Mars Express* Raumsonde konnten große Wassereisreservoirs, besonders am Südpol, nachgewiesen werden.

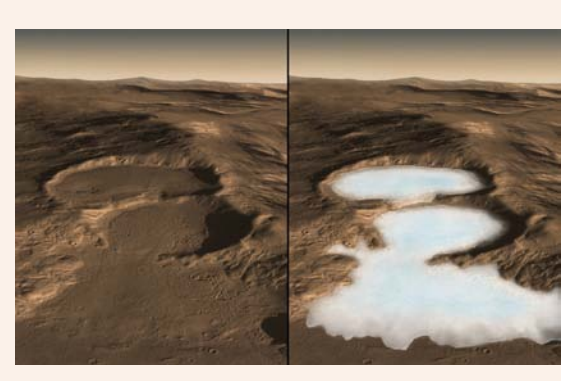


Abb. 1.2-9b: fiktive Mars-Gletscher Darstellung

Unter einer dicken Schicht von Staub und Geröll konnten mit Hilfe des Mars Reconnaissance Orbiters gewaltige Gletscher auf der Südhalbkugel ausfindig gemacht werden. Laut *Gerhard Neukum* schlummert noch massenhaft Wasser unter der Oberfläche.

Mars Odyssey ... Marssonde

Opal ... bildet sich, wenn vulkanisches Gestein mit Wasser in Berührung kommt Mars Reconnaissance Orbiter ..Marssonde

Mars Global Surveyor ... Marssonde

Abbildung 1.2-8b: Wasservorkommen, © NASA Phoenix Lander ... Mars-Landeeinheit

Mars Express ... Radarmessgerät "Mars Advanced Radar for Subsurface and

Ionospheric Sounding"

Abbildung 1.2-9b: fiktive Mars-Gletscher Darstellung © NASA
Gerhard Neukum ... Planetologe an der Freie Universität Berlin

Die Erdatmosphäre

Von Raumfahrt spricht man erst ab einer Höhe von 200 km. Da in den unteren Schichten der Erdatmosphäre durch Wirkung des Luftwiderstandes Absturzgefahr gegeben ist, bleiben die Regionen zwischen 100 und 200 km Höhe unerforscht.

Die Homosphäre ist relativ genau erforscht und besteht aus drei Schichten mit jeweils unterschiedlichen Temperaturverläufen.

Raumfahrzeuge halten hohen Temperaturen von ca.1227°C dennoch stand, da die Luftdichte in diesen Höhen viel geringer ist.

Schwankungen der Sonnenaktivität beeinflussen die Atmosphärendichte.

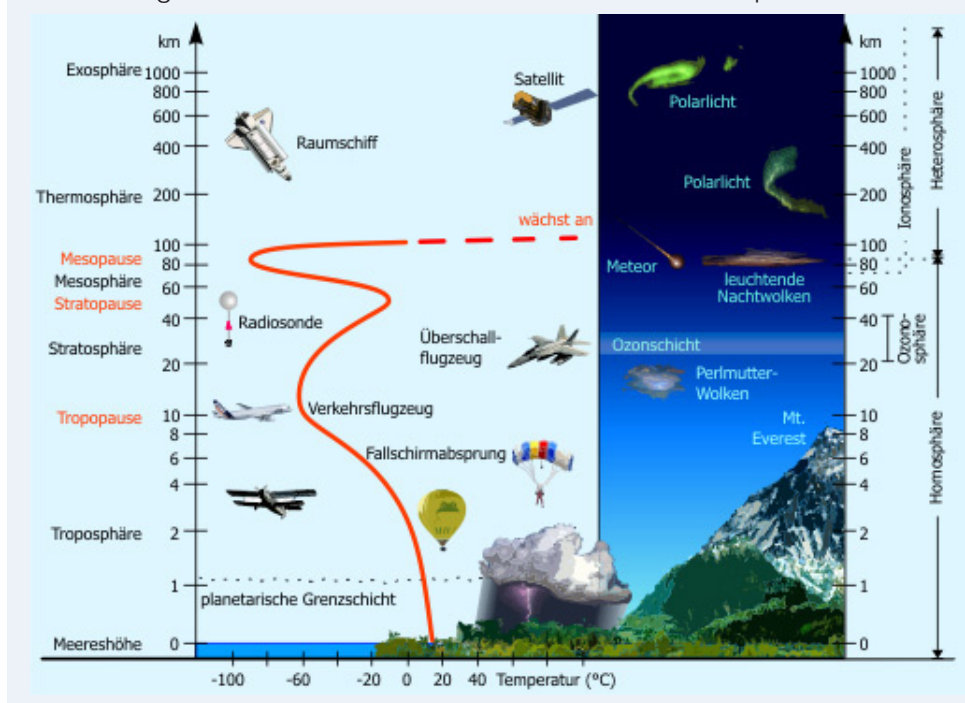


Abb. 1.2-10a: Atmosphärenaufbau

Der Himmel

Als "Himmel" gilt der Panoramablick von der Planetenoberfläche in Richtung Weltall. Kurzwelliges Licht wird beim Durchdringen unserer Atmosphäre gestreut und erzeugt dabei den himmelblauen Farbton, der von dem menschlichen Auge als solcher wahrgenommen wird. Streuungseffekte der Atmosphäre können den Himmel weiß-bläulich erscheinen lassen.





Abb. 1.2-12a: Horizont

Abbildung 1.2-10a: Atmosphärenaufbau

Abbildung 1.2-12a: Horizont, © Gerd Altman, © Stihl024 (http://www.pixelio.de)

Marsatmosphäre

Wie die Erde und die Venus besitzt der Mars eine Atmosphäre, wenn auch eine sehr dünne. Dadurch kann sie auch sehr wenig Sonnenwärme aufnehmen. Aufgrund der geringen Gravitation und des schwachen Magnetfeldes wurde die Atmosphäre des Mars vom *Sonnenwind* regelrecht in den Weltraum verschleppt. Tatsache ist, dass der Mars in der Urzeit eine dichte Atmosphäre besaß - wie es zu dem Verlust kam, versuchen Forschungsprogramme, wie *ASPERA*, herauszufinden.

Die Atmosphärendichte ist zwar 100fach geringer als die der Erde und der Luftdruck ist nur 0,75% des terrestrischen, dennoch reicht die Atmosphäre aus, um ein Wettersystem zu erzeugen.

Die Marsatmosphäre bietet wenig Sauerstoffgehalt, dafür dominiert der Kohlendioxidanteil mit mehr als 95%. 2003 wurde das instabile Gas Methan darin nachgewiesen.

Bei hohem Staubgehalt in der Luft ist die Atmosphäre wärmer, da Sonnenlicht von den Staubpartikelchen absorbiert wird. Bei einem Besuch auf dem roten Planeten wären Temperaturunterschiede zwischen Kopf und Fuß deutlich zu spüren.

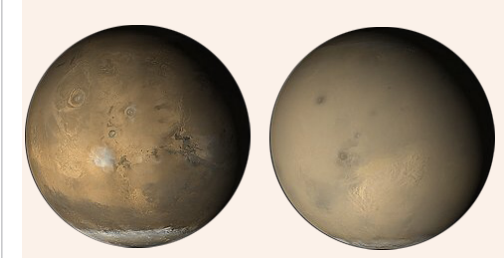


Abb. 1.2-10b: Planet Mars, Sandsturm Juli 2001



Abb. 1.2-11: Planet Mars

Der Himmel

Der Himmel ist mit Kristallwolken aus gefrorenem Kohlendioxid bedeckt und rosa-orange gefärbt. Diese Farbe entsteht durch den Staub in der Atmosphäre, welcher die Länge der blauen Wellen absorbiert und in gelb und rot verwandelt. Das Phänomen wird durch den schwachen Gehalt von Wasserdampf in der Atmosphäre betont.



Abb. 1.2-12b: Marshorizont

Sonnenwind ...
ASPERA ...

von der Sonne ausströmende geladene Teilchen, vorwiegend Elektronen und Protonen "Analyzer of Space Plasma and Energetic Atoms"

Abbildung 1.2-10b: Planet Mars, Sandsturm Juli 2001

Abbildung 1.2-11: Planet Mars
Abbildung 1.2-12b: Marshorizont

Topografie

Die Erde gilt als der größte Gesteinsplanet in unserem Sonnensystem. Sie besteht zu ca. einem Drittel aus Eisen und zu einem Drittel aus Sauerstoff. Der Rest setzt sich aus Silizium, Magnesium, Schwefel, Nickel, Calcium, Aluminium und aus anderen Elementen zusammen.

Der Aufbau der Erde gliedert sich in drei Schalen:

dem Erdkern, dem Erdmantel und der Erdkruste.

Unser blauer Planet bietet seinen Bewohnern ein sehr abwechslungsreiches Landschaftsbild, welches unterschiedlichste Lebensräume bietet.

Wüsten, Gletscher, Wälder, Ozeane, Flüsse, Sümpfe, Berge, Täler, Höhlen, Oasen, Steppen, Savannen, Vulkane, Ebenen, Seen, Riffe, Geysire, Meere etc. schaffen die Bedingungen für eine artenreiche Tier- und Pflanzenwelt.



Abb. 1.2-13a: Größenvergleich



Abb. 1.2-14: Topografie





Abb. 1.2-15: Landschaften



Abbildung 1.2-13a: Größenvergleich Erde-Mars

Abbildung 1.2-14: Topografie
Abbildung 1.2-15: Landschaften
Abbildung 1.2-16a: Weltkarte



Abb. 1.2-13b: Größenvergleich

Topografie

Der Planet Mars ist wie die Erde, Venus und Merkur, gebirgig. Er ist zweimal kleiner als die Erde und besitzt (heute) keine Ozeane. Ähnlich wie die Erde ist auch der Mars schalenartig mit einer Kruste, einem Gesteinsmantel und einem Kern, der überwiegend aus Eisen, Nickel und Schwefel besteht, aufgebaut.

Laut Datenauswertung des Global Surveyor wäre im Gegensatz zur Erde der innere Kern flüssig. Die etwa 50 km dicke Marskruste besteht aus einem Stück und ist viel steifer und unbeweglicher im Vergleich zur Erdkruste - allerdings muss sie sich gedehnt und dadurch Risse auf der Oberfläche verursacht haben.

Seine gewaltigen Berggipfel der erloschenen Vulkane erreichen gigantische Höhen. Dunkle Flecken deuten auf einstmalige Meere und Ozeane hin - rote Flecken auf verwittertem Gestein. Geringes Relief lässt auf einstige vulkanische Prozesse vermuten. Geringe Gravitation, geringer Atmosphärendruck und tektonische Beanspruchung begünstigen die Bildung von größeren Vulkanstrukturen.

Flusstalsysteme und Abflussrinnen auf der Marsoberfläche stehen als Hinweis für Oberflächenwasser und Niederschlag, wie Regen und Schnee. Die Flusstäler des Mars gelten als einzigartiges Phänomen in unserem Sonnensystem und sind nicht mit unseren Flusssystemen vergleich- bzw. erklärbar. Mit Schutt und Schlamm beladene Wassermassen bzw. Flutströme könnten die Landschaft so geformt haben.

In der nördlichen Hemisphäre findet man vorwiegend Tiefregionen, flache, sandund staubbedeckte Ebenen vor. Die Südhalbkugel gilt als Hochland, das zu 60% mit Einschlagkratern von Meteoriten übersät ist.

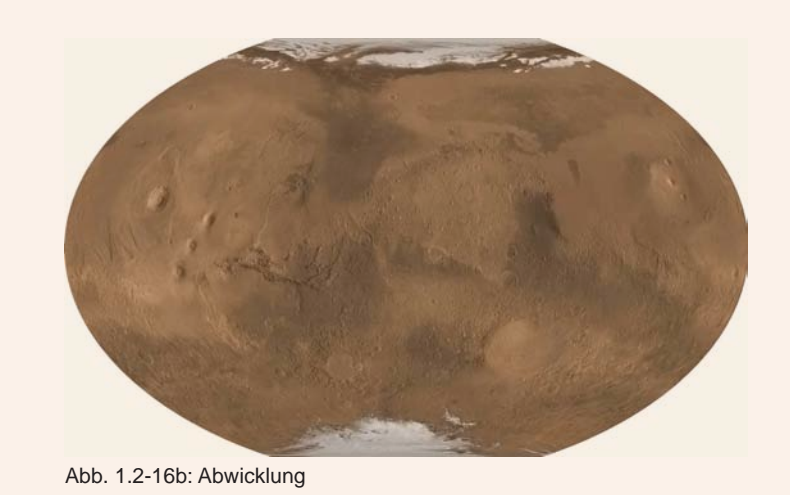


Abbildung 1.2-13b: Größenvergleich Erde-Mars

Abbildung 1.2-16b: Abwicklung

Die Entwicklungsgeschichte der Erde ist durch Einschläge von Meteoriten und Asteroiten geprägt. Möglicherweise trugen sie zur Entstehung der Ozeane bei und sorgten für tektonische Plattenbewegungen auf der Erdkruste. Sie verursachten des Weiteren Flutkatastrophen, die Entstehung von Vulkanen und Klimaveränderungen.

Beim Durchqueren der Erdatmosphäre verglühen die meisten Festkörper aus dem All und sind dann als Sternschnuppen sichtbar.

Meteoride können vom Asteroiden-Gürtel sowie vom Mond und Mars zur Erde gelangen. Es wurden auch Marsmeteorite auf der Erde nachgewiesn und untersucht. Aktuelle Forschungsstudien lieferten den Beweis, dass wichtige Bausteine für die Entwicklung des Lebens mittels Meteoriten auf die Erde gelangten. Eine Aufsehen erregende Studie belegt, fossile Spuren bakteriellen Lebens im gestrandeten Marsmeteoriten ALH84001 entdeckt zu haben.

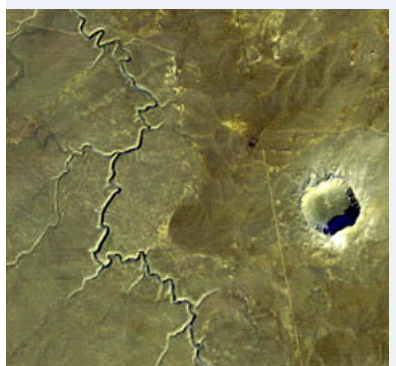


Abb. 1.2-18: Barringer Krater



Abb. 1.2-19: Marsmeteorit

Gemessen am Meerespiegel ist der Mount Everest mit 8.848 m der höchste Berg und gemessen vom Erdmittelpunkt hat der Vulkanberg Chimborazo in den Anden mit 6.384,557 m den höchsten Gipfel.



Abb. 1.2-20: Mount Everest



Abb. 1.2-21: Chimborazo

Abbildung 1.2-18: Barringer Krater in Arizona, © NASA Abbildung 1.2-19: Marsmeteorit ALH84001, © NASA Abbildung 1.2-20: Mount Everest in Nepal, © Luca Galuzzi Abbildung 1.2-21: Chimborazo in Ecuador, © Gerd Breitenbach

Seine Oberfläche bietet mächtige Vulkane, tiefe Schluchten, gigantische Täler, Hoch- und Tiefplateaus, Senken und mäandrische Talsysteme.

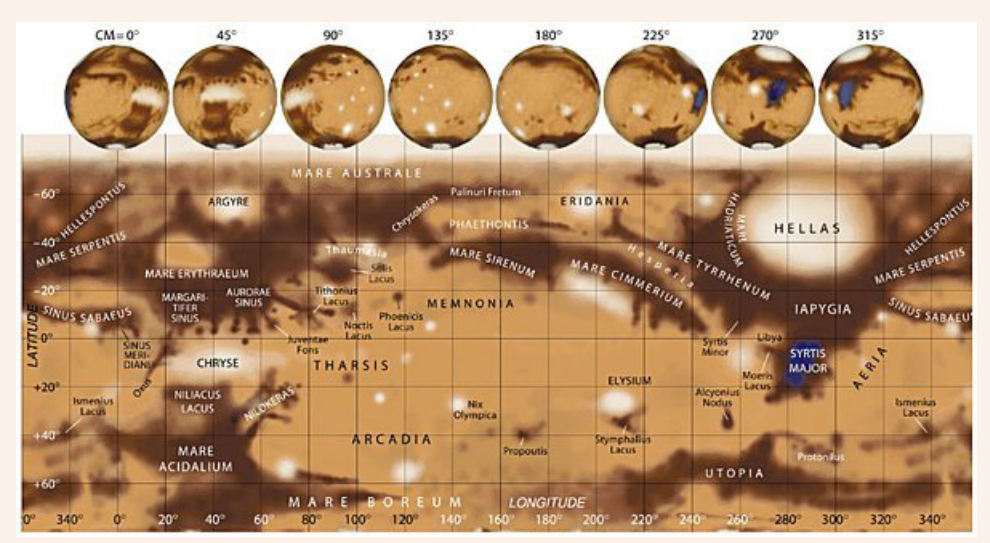


Abb. 1.2-17a: Landkarte

Das Hellas-Becken ist ein gigantischer Einschlagkrater mit fast 2 000 km Durchmesser. Ebenfalls durch einen Metoriteneinschlag vor ca. mehr als 4 Milliarden Jahren entstanden ist das Chryse Planitia, ein Sedimentationsbecken im nördlichen Tiefland mit einem Durchmesser von 1500 km.

Die sehr alte Tharsis-Aufwölbung nimmt fast ein Drittel der gesamten Marsoberfläche ein.

Valles Marineris Graben, von der Sonde Mariner entdeckt, ist ein chaotisches Terrain und zeichnet sich durch einen gewaltigen Grabenbruch aus, der aus wasserreichen Gesteinsschichten bestand und vermutlich ein Ozean war, der entweder durch Erosion, Kollaps oder Tektonik bzw. durch deren Kombination entstanden ist.

Gewaltige Schluchten oder Canyons mit kilometerhohen Steilwänden sorgen für beachtliche Höhenunterschiede bis zu 31 km.

Vulkane sind in drei Regionen vorherrschend: der Tharsis-Aufwölbung, dem Elysium-Gebiet und dem Hellas-Becken.

Der Olympus Mons mit 27 km Höhe gilt nicht nur als höchster Vulkan der nördlichen Hemisphäre, sondern auch als höchster Berg unseres Sonnensystems.



Abb. 1.2-17b: topografische Karte

Abbildung 1.2-17a: Landkarte
Abbildung 1.2-17b: topografische Karte

Der Mond

Der Mond umläuft als einziger natürlicher Satelllit die Erde innerhalb eines Monats. Er übt, genauso wie auch die Sonne, Gravitationskräfte auf die Erde aus, welche für die Gezeiten verantwortlich sind.

Der Mond entfernt sich jährlich um etwa vier Zentimeter von der Erde. Er bewegt sich auf einer elliptischen Umlaufbahn mit einer großen Halbachse von 384.400 km und wendet der Erde immer dieselbe Seite zu.



Abb. 1.2-22a: Der Mond

Seine exakte Umlaufzeit beläuft sich auf 27 Tage, 7 Stunden und 43,7 Minuten.

Der mittlere Durchmesser beträgt 3 476 km und seine Masse liegt bei $7,349 \times 10^{22}$ kg.

Während des Erdumlaufes durchwandert der Mond bestimmte Phasen, in der er sein Erscheinungsbild verändert.

Bei Neumond befindet er sich zwischen Erde und Sonne und ist für etwa 35 Stunden unsichtbar. Bei zunehmendem Mond tritt er abends in Erscheinung. Befindet sich die Erde genau zwischen Sonne und Mond - so ist Vollmond. Bei der Mondbeobachtung spielt der Standpunkt eine wesentliche Rolle. Die Orientierung anhand der Mondphasen diente vielen Kulturen als Basis für einen Kalender oder hatte eine kultische Bedeutung.

Der Mond besitzt ein äußerst geringes Magnetfeld und keine Atmosphäre, sondern eine nur sehr dünne Gashülle.

Auf seiner Oberfläche herrschen enorme Temperaturunterschiede mit +130°C bei Tag und bis zu -160°C bei Nacht.

Die mit Einschlagkratern übersäte Oberfläche gilt zudem als äußerst trocken. Es konnten 2008 jedoch winzig kleine Elemente von Wasser in Glaskugeln vulkanischen Ursprungs nachgewiesen werden. Des Weiteren gibt es Hinweise auf Wassereis in den Polargebieten.

Gebirgsketten, Rillen, Gräben und Ebenen gestalten seine Oberfläche.

Der Mond wurde als erster Himmelskörper 1969 von der Erde aus bereist und konnte dadurch genauer erforscht werden.

1967 wurde ein Vertrag aufgesetzt, der es Nationen verbietet, Besitzansprüche an Weltraumkörper zu richten.

Über die Lunar Embassy, die von Dennis M. Hope gegründet wurde, können bereits seit etwa 10 Jahren Grundstücke auf dem Mond erworben werden.

Abbildung 1.2-22a: Der Mond, © Luc Viatour

Phobos

Phobos umläuft den Mars in einer annähernd kreisförmigen Umlaufbahn in 7 Stunden, 39 Minuten und 12 Sekunden. Dabei umkreist er den Mars zweimal pro Tag, wobei er einen Abstand von etwa 6000 km zur Marsoberfläche einhält.

Von der Marsoberfläche aus betrachtet erscheint Phobos, der größere der beiden Satelliten, im Westen und verschwindet im Osten.

Gleich dem Erdenmond wendet er dem roten Planeten immer dieselbe Seite zu. Anders als bei unserem Mond verkürzt sich der Abstand zur Marsoberfläche, sodass er in etwa 50 Millionen Jahren auf sie einschlagen wird.



Abb. 1.2-22b: Phobos

Seine Form ist mit einem unregelmäßig verformten Ellipsoid vergleichbar, dessen Achsabmessungen 27, 22 und 19 km betragen. Es wird vermutet, dass es sich bei beiden Marsmonden um eingefangene Asteoriden handelt.

Die Oberfläche ist ebenfalls von Meteoriteneinschlägen geprägt.

Die gescheiterte Mission der Sonden Fobos 1 und 2 konnten vor ihrem Verschwinden einen Gasausbruch, möglicherweise von Wasserdampf, vermerken. Russland hat für 2009 eine unbemannte Mission, *Fobos-Grunt*, auf den Marsmond vorgesehen. Die Sonde soll auf Phobos landen, Proben entnehmen und sie dann mittels Rückkehrkapsel zur Erde bringen. Da die Gravitation äußerst gering ist, muss die Sonde im Boden verankert werden.

Deimos

Ist der kleinere und mit etwa 20 000 km der entferntere der beiden Marsmonde. Er umkreist den Mars innerhalb von einem Tag, 6 Stunden und 18 Minuten in einer fast exakten Kreisbahn und wendet ihm dabei immer dieselbe Seite zu.

Von der Erde aus ist Deimos mittels Teleskop schwer zu betrachten, da er vom Mars überstrahlt wird.



Abb. 1.2-22c: Deimos

Seine äußeren Abmessungen betragen 15, 12,2 und 11 km und lassen ebenfalls darauf schließen, dass es sich auch bei ihm um einen Asteorid handeln könnte. Die Oberfläche des unförmigen Gesteinsbrockens ist äußerst unregelmäßig und mit einer dicken Staubschicht aus *Regolith* überzogen.

Der Farbton beider Marssatelliten ist Dunkelgrau - vergleichbar mit Asteoriden.

Abbildung 1.2-22b: Phobos, © NASA Abbildung 1.2-22c: Deimos, © NASA

Regolith ... Schicht aus physikalisch verwitterten Lockersedimenten

 $G = 0.667 \cdot 10^{-10} \left[\frac{m^3}{s^2 kg} \right]$

 $T^2G(M+m) = a^3 4 \pi^2$

Die Bewegungen der Himmelskörper stehen in Abhängigkeit zueinander. Die klassische Mechanik befasst sich mit dem Raum-Zeit-Kontinuum und der Bewegung der darin enthaltenen Körper.



Abb. 1.3-1: Sonnensystem

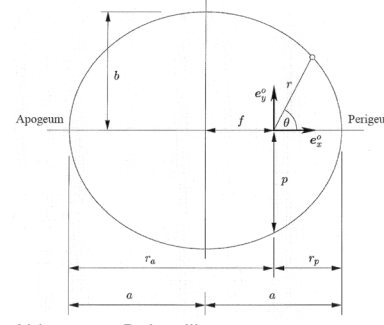


Abb. 1.3-2: Bahnellipse

Eine mathematische Beschreibung dieser Abhängigkeiten bzw. der Himmelsmechanik lieferte *Johannes Kepler* (1571-1630) in Form von *3 Gesetzen*¹:

Die Planeten umlaufen die Sonne auf elliptischen Bahnen. In einem ihrer Brennpunkte dieser Ellipsen befindet sich die Sonne.

$$r(\theta) = \frac{p}{1 + e\cos\theta}$$
 [Formel 1.3-1]

Die Linie von der Sonne zu einem Planeten überstreicht in gleichen Zeiten gleiche Flächen.

$$r^2\theta = h = const.$$
 [Formel 1.3-2]

Die Quadrate der Umlaufzeiten zweier Planeten verhalten sich zueinander so wie die Kuben der großen Halbachsen ihrer Bahnellipsen.

$$\frac{h_2^2}{h_1^2} = \frac{p_2}{p_1}$$
 [Formel 1.3-3]

Der gleichförmigen Bewegung eines Himmelskörpers muss eine äußere Krafteinwirkung zu Grunde liegen, sonst würde er in einem Ruhezustand verharren. Die einwirkende gerichtete Kraft und die dabei erzeugte Geschwindigkeit stehen in proportionaler Abhängigkeit zueinander.

Sir Isaac Newton (1642-1727) lieferte die Zustandsgleichung für diese Zusammenhänge, die den Impuls mittels Masse mal Geschwindigkeit beschreibt.

Einer Masse m wird zu einem Zeitpunkt t ein bestimmter Ort zugeordnet. Der Impuls ist jene Wirkung, die ein Körper aufbringt, um nicht aus seinem Ruhesystem gebracht zu werden.

Es treten auch konservative Kräfte und kleine Störungen in der Himmelmechanik auf, zu denen Luftwiderstand, Reibung im Orbit usw. zählen. Die Kraft f besteht oft aus der Summe konservativer Einzelkräfte.

Abbildung 1.3-1: Sonnensystem, © NASA / JPL
Abbildung 1.3-2: Bahnellipsen
Zitat 1.3-1: Keplersche Gesetze
Formel 1.3-1 bis 1.3-3: Keplersche Gesetze

Halbparameter: $p = a (1-e^2)$ Bewegungskonstante: h

Johannes Kepler ... Naturphilosoph, Theologe, Mathematiker, Astronom, Astrologe und Optiker Sir Isaac Newton ... Physiker, Mathematiker, Astronom, Alchemist, Philosoph und Verwaltungsbeamter

Gravitation

Die Himmelsmechanik beruht auf dem Wirken von magnetischen Kräften. Gravitationskräfte sind in der Raumfahrt von großer Bedeutung, weil sie auch die Bewegung von Raumfahrzeugen beherrschen.

F ist die Kraft, die von der Sonne auf den Planeten wirkt.

G... universelle Gravitationskonstante

T... Umlaufzeit eines Planeten [s]

M ...Masse der Sonne [kg]

m ... Masse des Planeten [kg]

a ... Bahnhalbachse des Planeten [km]

 $F_r = -\frac{Gm_{Planet} m_{Sonne}}{r^2}$ [Formel 1.3-4]

In der Himmelsmechanik kommt es zu einem Wechselspiel zwischen Gravitation und Fliehkraft. Die Sonne, als Zentralgestirn, zieht andere Himmelskörper an, die wiederum durch die wirkenden Fliehkräfte ihrer Bahnbewegung einen Ausgleich schaffen.

Zweikörperproblem

Gravitationsgesetz:

Um himmelsmechanische Berechnungen einfacher durchführen zu können ist es sinnvoll, lediglich zwei Raumobjekte zu betrachten und in Beziehung zueinander zu stellen - alle anderen Himmelskörper werden dabei vernachlässigt. Somit lassen sich Bahnen in Form von Ellipsen, Kreisen, Parabeln und Hyperbeln exakt bestimmen.

Bei der Anwendung des Gravitationsgesetzes ist zu berücksichtigen, dass für jeden Himmelskörper seine jeweilige Größe μ gilt.

Gravitationsparameter $\mu = G(Masse_1 + Masse_2)$ [Formel 1.3-5]

Für die Erde gilt: $\mu = G(m_{Sonne} + m_{Erde})$

Heliozentrisch betrachtet gilt: $\mu = 1,328 \cdot 10^{20} \left[\frac{m^3}{s^2} \right]$

Planetozentrisch gesehen gilt: $\mu = 3,986 \cdot 10^{14} \left[\frac{m^3}{s^2} \right]$

Die Bestimmung eines bewegten Objektes im Weltraum

Um ein Objekt im Weltraum auf seiner Bahn bestimmen zu können, wird seine geometrische Bahnbeschreibung mit der Zeit in Zusammenhang gebracht. Der Winkel innerhalb einer Orbitalebene, der von der x-Achse (durch den Frühlingspunkt) und dem Radius (eines Hilfkreises bei einer Ellipse) eingeschlossen ist, nennt man wahre Anomalie $\dot{\theta}$ (siehe Abb. 1.3-3).

Formel 1.3-4: Gravitationsgesetz

Formel 1.3-5: Gravitationsparameter µ

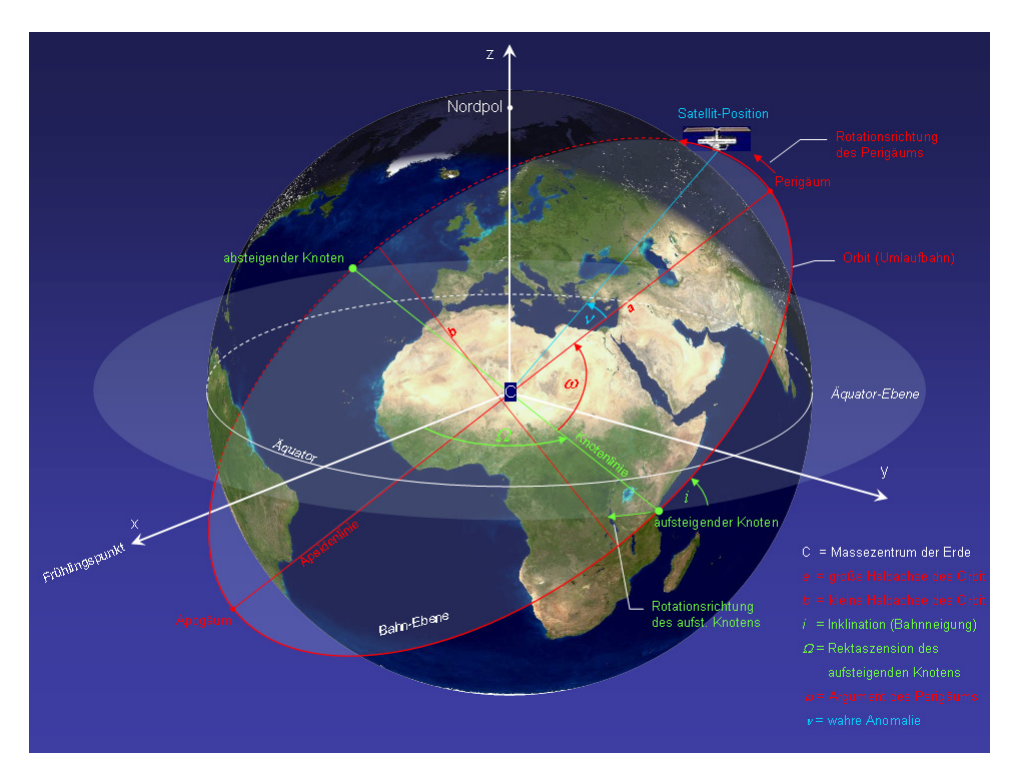


Abb. 1.3-3: Orbitalelemente

Die Bestimmung diese Winkels $\dot{\theta}$ kann mit Hilfe des 1. Keplerschen Gesetzes durch $r(\theta) = \frac{p}{1 + e \cos \theta}$ oder durch $\cos \theta = \frac{h^2}{ar} - \frac{\mu}{a}$ bestimmt werden.

[Formel 1.3-6]

Die Größe der Exzentrizität² bestimmt die Form einer Bahn.

Bei e = 0: kreisförmige Bahn Bei e < 1: elliptische Bahn Bei e = 1: parabolische Bahn Bei e > 1: hyperbolische Bahn

Während seiner Reise auf einer elliptischen Umlaufbahn erfahren das Flugobjekt oder der Himmelskörper verschiedene Geschwindigkeiten. Die maximale Bahngeschwindigkeit wird im Perigäum bzw. im Perihel bei minimalem Bahnradius erreicht und umgekehrt im Apogäum bzw. Aphel. Die Geschwindigkeit eines Objektes auf einer Kreisbahn (bei e=0) lässt sich

durch
$$v_k = \sqrt{\frac{\mu}{r}}$$
 bestimmen. [Formel 1.3-7]

Die Zeit, die ein Objekt für einen Bahnumlauf benötigt, berechnet sich anhand

$$T = \frac{2ab\pi}{h}$$
 bzw. $T = 2\pi\sqrt{\frac{a^3}{\mu}}$ [Formel 1.3-8]

Die benötigte Umlaufzeit kann mit der dabei überstrichenen Ellipsen- bzw. Kreisfläche in Zusammenhang gebracht werden.

Zitat 1.3-2: Exzentrizität

Perigäum ... Erdnächster Punkt (von Gaia griech.)

Apogäum ... Erdfernster Abstand

Formel 1.3.7: Kreisbahngeschwindigkeit v,

Umlaufzeit T Formel 1.3-8:

große Halbachse a

$$\frac{\ddot{U}berstrichene\ Fl\ddot{a}che}{Gesamtfl\ddot{a}che} = \frac{t - t_p}{T_{Umlaufzeit}}$$
 [Formel 1.3-9]

t und t sind die Zeitpunkte bzw. die Zeitspanne, in der eine Fläche überstrichen wird.

6 Orbitalelemente

Um eine störungsfreie Bahn zu bestimmen bedarf es der Kenntnis von sechs Orbitalelementen:

1. Die Halbachse a, der Halbparameter p oder die Umlaufzeit T.

$$p = \frac{h^2}{\mu}$$
 [Formel 1.3-10]

2. Die Exzentrizität *e*: [Formel 1.3-11]

3. Die Neigung i oder Inklination ist der Winkel zwischen Orbitalebene und Ekliptik.

 $i = 90^{\circ} ...$ Polarorbit (gesamte Erfassung der Planetenoberfläche aufgrund von Eigenrotation)

 $i = 0^{\circ}$... äquatorialer Orbit (geostationäre Satelliten) $i_{\text{Erdbahn}} = 0^{\circ}$ prograder Orbit (von West nach Ost - energiesparend) $i < 90^{\circ} \dots$

 $i > 90^{\circ} ...$ retrograder Orbit (von Ost nach West)

- 4. Das Argument des aufsteigenden Knotens Ω ist der Winkel zwischen der Achse x_E des Frühlingspunkts und der Achse des aufsteigenden Knotens zum Koordinatennullpunkt (Mittelpunkt des Zentralkörpers) auf der Referenzebene.
- 5. Das Argument des Perigäums ω ist der Winkel zwischen Knotenlinie und e Achse und dient zur Beschreibung der Bahnhauptachse.
- 6. Der Zeitpunkt eines Perigäumdurchgangs t oder mittlere Anomalie τ .

Es wird zwischen heliozentrischer und geozentrischer Umlaufbahn unterschieden.

Bei heliozentrischen Umlaufbahnen dient die Ekliptik als Bezugsebene.

Hingegen dient bei geozentrischen Orbits die Äquatorialebene als Bezugsebene.

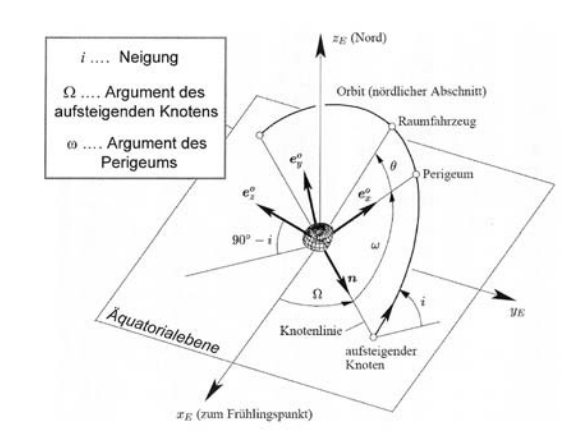


Abb. 1.3-4: Die 6 Orbitalelemente

Zusammenhang zwischen Fläche und Zeit Formel 1.3-9:

Formel 1.3-10: Halbparameter

Formel 1.3-11: Exzentrizität

aufsteigender Knoten ... Schnittgerade zwischen Äquatorialebene und Orbitalebene

Abbildung 1.3-4: Die 6 Orbitalelemente

1.4 Mission Mars 1 Einleitung

Programme zur Erforschung des roten Planeten

Die genauere Beobachtung des Mars erfolgte mittels Sonden ab den 60er Jahren. Die Mariner Missionen begannen 1964 und machten die ersten Aufnahmen vom roten Planeten.



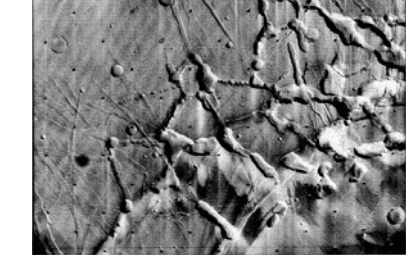


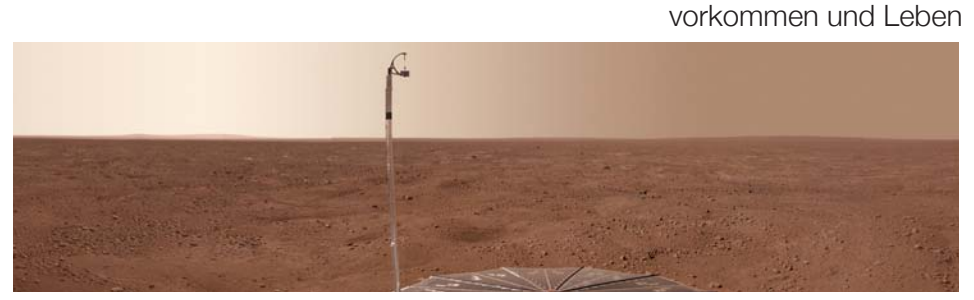
Abb. 1.4-1: erste Nahaufnahme, Mariner 4

Abb. 1.4-2: Noctis Labyrinthus Mariner 9

Suche nach Wasser-

Im folgenden Absatz sind einige Marsmissionen angeführt.

Mariner Sonden	1964 - 1972	Kartografie
US-Viking Programm	ab 1975	Suche nach Leben
Orbiter <i>Mars Global Surveyor</i> Lander <i>Pathfinder</i> mobile Einheit <i>Sojourner</i>	1996 - 2006 1996 (3 Monate) 1996 (3 Monate)	Vermessung Nahaufnahmen Gesteinsproben
Mars Polar Lander	1999	ging verloren
Marssonde Odyssey	2001	Ortung von Wassereis unter der Oberfläche
Orbiter <i>Mars Express</i> Lander <i>Beagle 2</i>	2003-2009 2003	Vermessungsarbeiten ging verloren
Rover Spirit und Opportunity	2003	Fotodokumentation, Gesteinsproben
Mars Reconnaissance Orbiter	2005	Kartografierung



2008 (6 Monate)

Abb. 1.4-3: Phoenix Panorama

Landeeinheit *Phoenix*

Abbildung 1.4-1: Erste Nahaufnahme © NASA

Abbildung 1.4-2: Noctis Labyrinthus-Region von Mariner 9 1972 © NASA

Abbildung 1.4-3: Phoenix Panorama © JPL

Die beiden Bodenfahrzeuge Spirit und Opportunity betrieben eine aufwändige Fotodokumentation und analysierten Boden- und Gesteinsproben.

Spirit landete geglückt in der Region des Gusev Kraters (Abb. 1.4-5).

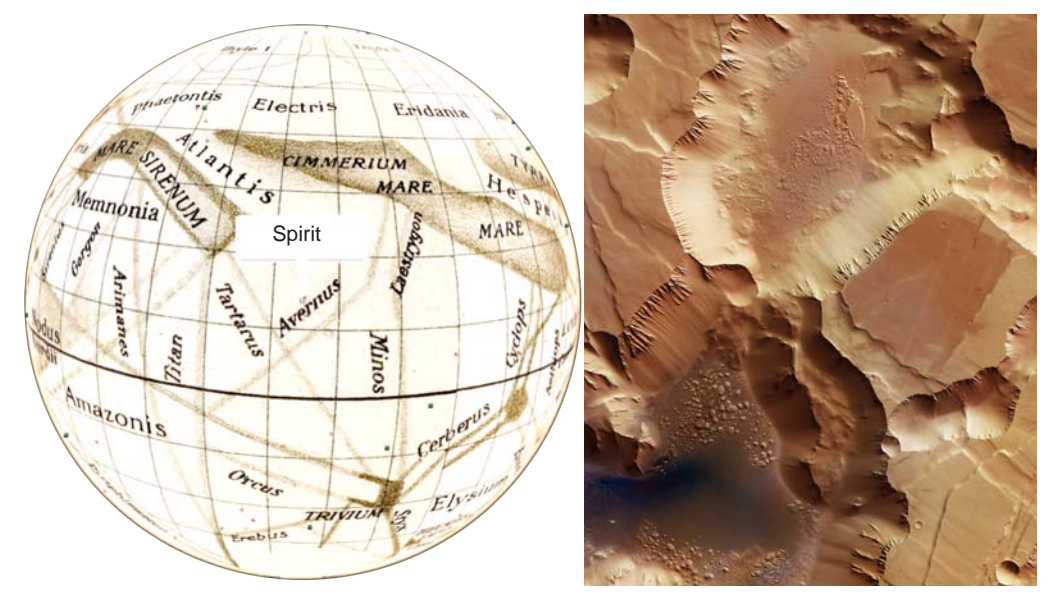


Abb. 1.4-4: Landeplatz von Spirit

Abb. 1.4-5: Region Gusev Krater

Der Landeplatz des Rovers Opportunity war das Meridiani Planum-Gebiet.

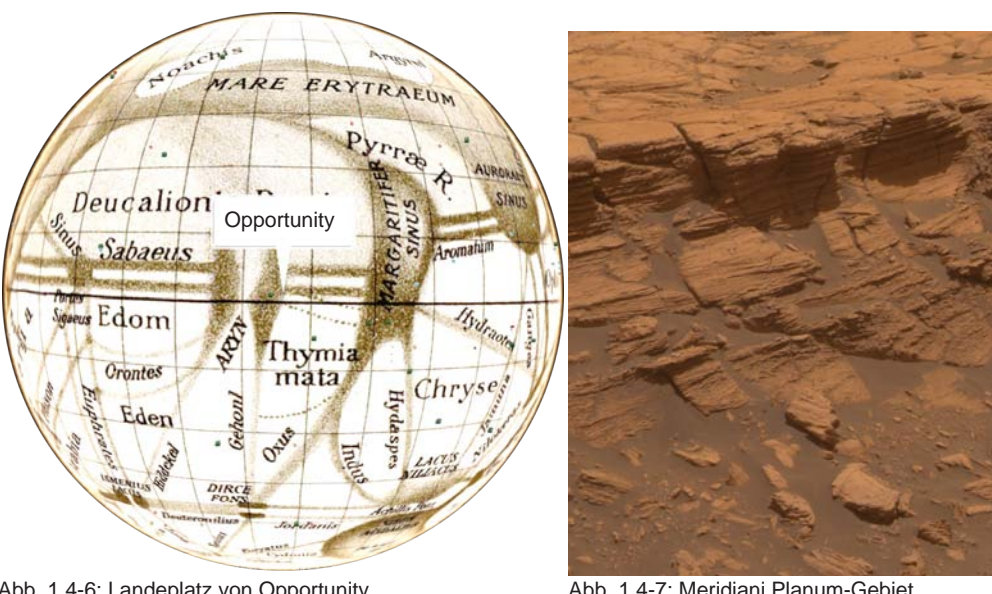


Abb. 1.4-6: Landeplatz von Opportunity

Abb. 1.4-7: Meridiani Planum-Gebiet

Spirit und Opportunity lieferten eindrucksvolle Bilder zum Buch "Postkarten vom Mars".

Abbildung 1.4-4: Landeplatz von Spirit © Google Mars ESA/DLR/FU-Berlin (G. Neukum)/NASA/USGS

Abbildung 1.4-5: Region Gusev Krater © ESA

Abbildung 1.4-6: Landeplatz von Opportunity © Google Mars ESA/DLR/FU-Berlin(G. Neukum)/NASA/USGS

Abbildung 1.4-7: Meridiani Planum-Gebiet © NASA

1.4 Mission Mars

1 Einleitung

Geplante Missionen

Vorherrschende Missionsziele bei der Erforschung des roten Planeten sind die Suche nach Ressourcen und die Suche nach (früherem) Leben.

Für Oktober 2009 ist eine Mission der russischen Raumsonde *Fobos-Grunt* zum Mars geplant. Nachdem sie den roten Planeten und seinen Mond Phobos aufgenommen hat, ist eine Landung auf Phobos 2011 vorgesehen.

Das Mars Science Laboratory besteht aus einem von der NASA entwickelten Rover und soll 2011 von der Erde starten. Ein interessanter Forschungsplatz wäre z.B. das Flussdelta des Kraters Eberswalde, jedoch ist dort kein geeigneter Landeplatz für das MSL. Daher wäre ein möglicher Landeplatz der Krater Holden (Abb. 1.4-9) im südlichen Hochland. Das nuklearbetriebene MSL soll mittels Skycrane-Verfahren, Abseilen von der Fähre, 30° nördlich oder südlich des Marsäquators mit einer Landegenauigkeit in 10 km Radius landen.

Marssatelliten, wie der *Mars Renonnaissance Orbiter*, forschen derzeit nach möglichen Landeplätzen.

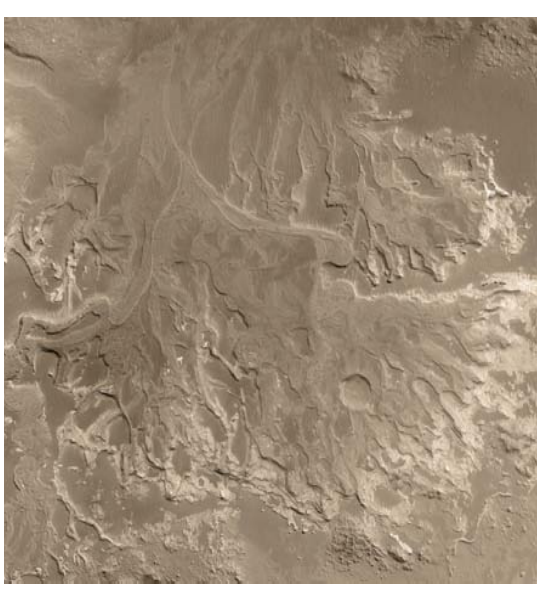


Abb. 1.4-8: Krater Eberswalde



Abb. 1.4-9: Krater Holden

Abbildung 1.4-8: Krater Eberswalde © JPL Abbildung 1.4-9: Krater Holden © ESA / DLR / FU Berlin (G. Neukum) Weitere geeignete Landeplätze bzw. interessante Forschungsregionen wären:

Der Krater Terby liegt am Rand des Einschlagbeckens Hellas auf der Südhalbkugel. Er weist interessante Schichten von Sulfatmineralien und eventuell Sedimentgesteine auf. Im Hebes Chasma wurden helltönige Ablagerungen gefunden. In der Region Terra Meridiani nahe des Äquators bzw. 150 km vom Opportunity Einsatzgebiet entfernt wurden Tonmineralien, wie z.B. eisenhaltiges Hämatit, registriert.



Abb. 1.4-10: KraterTerby



Abb. 1.4-11: Hebes Chasma

Abbildung 1.4-10: Krater Terby © ESA/DLR/FU Berlin (G. Neukum) Abbildung 1.4-11: Hebes Chasma © ESA/DLR/FU Berlin (G. Neukum)

1.4 Mission Mars 1 Einleitung

Konzepte einer bemannten Marsmission

Unbemannte Missionen bringen viele Vorteile mit sich, jedoch können Entscheidungen bzw. Beurteilungen vor Ort nur von Menschen getroffen werden. Die Planung einer solchen Mission ist sehr aufwändig und bietet eine enorme technische Herausforderung. In erster Linie muss für das Wohlbefinden der Besatzung gesorgt werden, um in dieser lebensfeindlichen Umgebung zurecht zu kommen. Um sich auf dieses gefährliche Terrain einzustellen, dienen robotisch gesteuerte Einsätze, die den zukünftigen bemannten Missionen den Weg ebnen sollen.

Der Ex-Präsident George W. Bush verkündete 2004, dass die Raumfahrtbehörde der USA eine bemannte Mission zum Mond und Mars anstreben wird. Es wäre eine Landung auf dem roten Planeten für 2037 denkbar, wobei mit dem Raumschiff Orion (Crew Exploration Vehicle) die Reise durchführbar wäre. Für 2024 ist eine permanente Mondstation als Vorbereitung für eine Marsmission geplant.

Die ESA hat 2001 das Raumfahrtprogramm AURORA ins Leben gerufen. Das Programm sieht in internationaler Zusammenarbeit die Erkundung des Sonnensystems, insbesondere des Erdenmondes sowie einen bemannten Einsatz auf dem Mars, ab dem Jahr 2030 vor.

Die USA, Europa, Russland, Indien und vielleicht auch China sind einer bemannten Marsmission, auch in internationaler Kooperation, nicht abgeneigt. Russland bereitet sich auf eine bemannte Mission ab dem Jahr 2035 vor.





Abb. 1.4-12: Vision Mars

Unter Zusammenarbeit verschiedenster Wissenschaftler, Forscher und Ingenieure werden Machbarkeitsstudien erstellt.

Mars Direct ist eine detaillierte Machbarkeitsstudie über eine bemannte Marsmission, die von Robert Zubrin und David Baker bereits 1990 entwickelt wurde. Laut Studie bietet der Mars vielerlei Ressourcen, die für das Überleben auf dem Mars genutzt werden könnten: Wasser, Kohlenstoff, Stickstoff sowie einen 24 Stundenrhythmus.

Die Missionsarchitektur besteht zum einen aus einem unbemannten Raumschiff, das vorausgeschickt wird, zuerst auf dem Mars landet und außerdem mit 6 Tonnen Wasserstoff, einem Rückkehrvehicle und einem kleinen Kernreaktor beladen ist. Aus den mitgeführten Gütern und den vorhandenen Ressourcen werden Energie, Wasser, Atemgase und Treibstoff erzeugt. 26 Monate nach dem Start des unbemannten Raumfahrzeuges, welches

AURORA ... Raumfahrtprogramm der ESA

Mars Direkt ... Machbarkeitsstudie einer bemannten Marsmission Robert Zubrin

US-amerikanischer Raumfahrtingenieur und Befürworter des bemannten Marsflugs

Abbildung 1.4-12: Vision Mars © NASA

auch das Marshabitat mitführt, startet die bemannte Mission und zeitgleich auch wieder ein unbemanntes Schiff für die nächste Mission.

Während der sechsmonatigen Reise rotiert das Raumschiff und erzeugt dabei 0,3 g - um die Besatzung an die Marsgravitation zu gewöhnen.

Nach eineinhalb Jahren kehrt die Besatzung mittels Rückkehrvehicle zur Erde zurück.

MarsDrive wurde 2005 gegründet und ist eine internationale non-profit Organisation, die sich unter anderem auch mit privat geführten bemannten Marsmissionen beschäftigt.

Die Studie Design Reference Mission 5.0 der NASA von 2007 liefert ein weiteres überarbeitetes Konzept einer bemannten Marsmission.

Mars 500 ist ein Experiment zur Vorbereitung und Simulation einer bemannten Langzeitmission zum Mars, durchgeführt von der ESA in russischer Kooperation. Anhand sechs freiwilliger Personen wird der Missionsablauf innerhalb einer Zeitspanne von 520 bis 700 Tagen am Institut für Biomedizinische Probleme in der Nähe von Moskau erprobt. Die minimal ausgestattete Forschungsstation besteht aus einem Vorratsmodul, einem Wohnmodul, einem Medizin- und Forschungsmodul und dem Marsmodul.

Die Übertragbarkeit der Forschungsergebnisse auf eine wirkliche Mission ist allerdings sehr umstritten.

Ein radikaler Ansatz ist das one-way-ticket zum Mars, wonach erste Pioniere ihr Leben als Vorkolonisatoren auf der Marsoberfläche führen. Diese Überlegung existiert vorerst nur als Fiktion.

In diesem Kontext spielt auch die Idee des Terraforming eine wesentliche Rolle. Aufgabe des Terraforming ist die Umwandlung der lebensfeindlichen Marsumgebung in einen Lebensraum mit Hilfe des Treibhauseffekts.

Abgesehen von der Durchführbarkeit ist zu überlegen, ob dieser Eingriff auf einem fremden Planeten ethisch vertretbar ist und uns dieses Recht überhaupt eingeräumt werden darf.

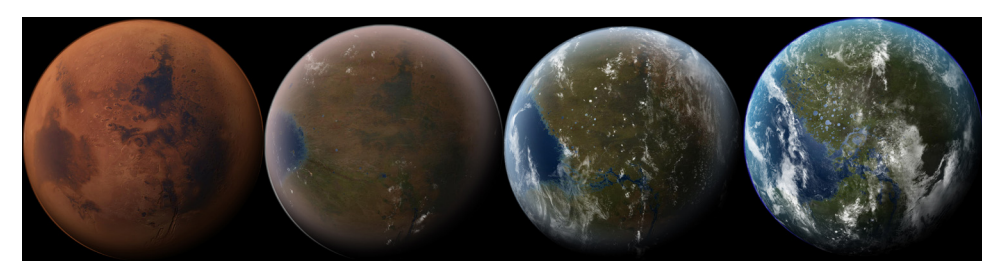


Abb. 1.4-13: Terraforming

Eine Reise zum Mars ist äußerst riskant - das Überleben in feindlicher Umgebung wird zum Kunststück, dennoch ist es das große Wagnis wert.

Experten erwarten dadurch einen gewaltigen Innovationsschwung, der neue Technologienentwicklung für Antriebs- und Sicherheitstechnik, Lebenserhaltungssysteme, exobiologischer Forschung etc. hervorbringt.

MarsDrive ... http://marsdrive.com Mars500 ...

Design Reference Mission 5.0 www.lpi.usra.edu/meetings/leag2007/presentations/20071001.drake.pdf www.imbp.ru/Mars500/Mars500-e.html

Begriff stammt aus dem Science-Fiction-Roman "Collision Orbit" (1942) Terraforming ... von Jack Williamson

Terraforming © Daein Ballard Abbildung 1.4-13:

Zitat 1.1-1:	Zecharia Sitchin, Das verschollene Buch Enki, Seite 229, Kopp-Verlag
Abbildung 1.1-1:	Zecharia Sitchin, Die Hochtechnologie der Götter, Seite 233, Kopp-Verlag 2006
Zitat 1.1-2:	Zecharia Sitchin, Die Hochtechnologie der Götter, Seite 233, Kopp-Verlag 2006
Abbildung 1.1-2:	http://de.wikipedia.org/w/index.php?title=Datei:Karte_Mars_Schiaparelli_MKL1888.png&filetimestamp=20051020082012
Zitat 1.1-3:	Zecharia Sitchin, Die Hochtechnologie der Götter, Seite 231; Kopp-Verlag 2006
Abbildung 1.1-3:	http://upload.wikimedia.org/wikipedia/commons/7/77/Martian_face_viking_cropped.jpg
Abbildung 1.1-4:	http://upload.wikimedia.org/wikipedia/commons/3/38/Martian_face_viking.jpg
Abbildung 1.1-5:	http://photojournal.jpl.nasa.gov/jpegMod/PIA03225_modest.jpg
Tabelle 1.1-1:	Film und Literatur
Abbildung 1.1-6:	
S	http://www.thespacereview.com/archive/677a.jpg
Abbildung 1.1-7:	Pierre Lagrange und Hélène Huguet, Sur Mars, Seite 92, EDP Sciences
Abbildung 1.1-8:	Pierre Lagrange und Hélène Huguet, Sur Mars, Seite 64/65, EDP Sciences
Abbildung 1.1-9:	Stationskette © Ursula Knappl
Abbildung 1.1-10:	Fiktive Verbindungskette zwischen Erde und Mars © Ursula Knappl
Tabelle 1.2-1a:	http://nssdc.gsfc.nasa.gov/planetary/factsheet/marsfact.html
Abbildung 1.2-1a:	http://www.planetengrund.net/desktophintergrund/bildschirmhintergrund/planeten_monde_sonnensystem/erde_1024.jpg
Tabelle 1.2-1b:	http://nssdc.gsfc.nasa.gov/planetary/factsheet/marsfact.html
Abbildung 1.2-1b:	Planet Mars; © Ursula Knappl
Abbildung 1.2-2a:	W. Steiner und M. Schagerl, Raumflugmechanik, Seite 11, Abbildung 1.7, Springer Verlag 2004
Abbildung 1.2-2b:	Achsneigung (Inklination) Planet Mars © Ursula Knappl
Abbildung 1.2-3a:	W. Steiner und M. Schagerl, Raumflugmechanik, Seite 17, Abbildung 1.11, Springer Verlag 2004
Abbildung 1.2-3b:	Quelle: Wiener Arbeitsgemeinschaft für Astronomie
Abbildung 1.2-4:	Veränderung der Polkappen © ESA/NASA
Abbildung 1.2-5a:	http://www.raumfahrer.net/multimedia/4images/details.php?image_id=802&sessionid=d464de069ae16b8b89d3d2423c8d5ee0
Abbildung 1.2-5b:	http://www.raumfahrer.net/multimedia/4images/details.php?image_id=802&sessionid=d464de069ae16b8b89d3d2423c8d5ee0
Abbildung 1.2-6:	http://astro.sci.uop.edu/~harlow/weather/mars.html
Abbildung 1.2-7:	http://de.wikipedia.org/wiki/Erde#Oberfl.C3.A4che
Abbildung 1.2-8a:	www.pixelio.de
Abbildung 1.2-8b:	http://www.nasa.gov/mission_pages/mars/images/pia09028.html
Abbildung 1.29a:	www.pixelio.de
Abbildung 1.2-9b:	http://photojournal.jpl.nasa.gov/catalog/PIA11433
Abbildung 1.2-10a:	http://www.kowoma.de/gps/zusatzerklaerungen/atmosphaere.htm
Abbildung 1.2-10b:	http://www.raumfahrer.net/multimedia/4images/details.php?image_id=807&sessionid=d464de069ae16b8b89d3d2423c8d5ee0
Abbildung 1.2-11:	http://www.raumfahrer.net/multimedia/4images/details.php?image_id=48&sessionid=d464de069ae16b8b89d3d2423c8d5ee0
Abbildung 1.2-12a:	http://www.pixelio.de
Abbildung 1.2-12b:	http://astro.websib.ru/Foto/Cc/Mars/MAX/marshorizon_opportunity.jpg
Abbildung 1.2-13a:	http://de.wikipedia.org/w/index.php?title=Datei:Mars_Earth_Comparison.png&filetimestamp=20050625135047
Abbildung 1.2-13b:	http://de.wikipedia.org/w/index.php?title=Datei:Mars_Earth_Comparison.png&filetimestamp=20050625135047
Abbildung 1.2-14:	www.pixelio.de
Abbildung 1.2-15:	http://www.pixelio.de
Abbildung 1.2-16a:	http://www.mygeo.info/landkarten/welt/physische_weltkarte_cia_2007.jpg
Abbildung 1.2-16b:	http://astro.websib.ru/Foto/Cc/Mars/Mars.htm
Abbildung 1.2-17a:	http://www.astronomie.at/ai/ai174/image013.jpg
Abbildung 1.2-17b:	Holger Heuseler, Dr. Ralf Jaumann und Prof. Dr. Gerhard Neukum, Die Marsmission, Seite 77, BLV 1998
Abbildung 1.2-18:	http://veimages.gsfc.nasa.gov/1607/landsat_meteor_crater.jpg
Abbildung 1.2-19:	http://de.wikipedia.org/w/index.php?title=Datei:ALH84001.jpg&filetimestamp=20060130092940
Abbildung 1.2-20:	http://upload.wikimedia.org/wikipedia/commons/e/e7/Everest_North_Face_toward_Base_Camp_Tibet_Luca_Galuzzi_2006.jpg
Abbildung 1.2-21:	http://upload.wikimedia.org/wikipedia/commons/9/91/Chimborazo_from_southwest.jpg
Abbildung 1.2-22a:	http://upload.wikimedia.org/wikipedia/commons/d/dd/Full_Moon_Luc_Viatour.jpg
Abbildung 1.2-22b:	http://upload.wikimedia.org/wikipedia/commons/c/ce/Phobos_moon_%28large%29.jpg
Abbildung 1.2-22c:	http://upload.wikimedia.org/wikipedia/commons/4/4a/Deimos2.jpg
. 1001130119 112 2201	The production of the position of the political politica

Abbildung 1.3-1: https://webspace.utexas.edu/yg387/solar system.jpg Abbildung 1.3-2: Prof. Dr. W. Steiner, Vorlesung Raumflugmechanik, TU-Wien 2008 Zitat 1.3-1: W. Steiner und M. Schagerl, Raumflugmechanik, Seite 21, Springer Verlag 2004 Formel 1.3-1 - 1.3-3: W. Steiner und M. Schagerl, Raumflugmechanik, Seite 39, Gleichungen 2.6, 2.7 und 2.8, Springer Verlag 2004 Formel 1.3-4: W. Steiner und M. Schagerl, Raumflugmechanik, Seite 42, Gleichung 2.12, Springer Verlag 2004 Formel 1.3-5: W. Steiner und M. Schagerl, Raumflugmechanik, Seite 57, Gleichung 3.5, Springer Verlag 2004 Abbildung 1.3-3: http://de.wikipedia.org/w/index.php?title=Datei:Satellite_Orbital_Elements_02.png&filetimestamp=20060228081355 Formel 1.3-6: W. Steiner und M. Schagerl, Raumflugmechanik, Seite 61, Gleichung 3.13, Springer Verlag 2004 Zitat 1.3-2: W. Steiner und M. Schagerl, Raumflugmechanik, Seite 62, Springer Verlag 2004 Formel 1.3.7: W. Steiner und M. Schagerl, Raumflugmechanik, Seite 66, Gleichung 3.25, Springer Verlag 2004 Formel 1.3-8: W. Steiner und M. Schagerl, Raumflugmechanik, Seite 68, Gleichung 3.27, Springer Verlag 2004 Formel 1.3-9: W. Steiner und M. Schagerl, Raumflugmechanik, Seite 69, Gleichung 3.28, Springer Verlag 2004 Formel 1.3-10: W. Steiner und M. Schagerl, Raumflugmechanik, Seite 61, Gleichung 3.14, Springer Verlag 2004 Formel 1.3-11: W. Steiner und M. Schagerl, Raumflugmechanik, Seite 61, Gleichung 3.14, Springer Verlag 2004 Abbildung 1.3-4: W. Steiner und M. Schagerl, Raumflugmechanik, Seite 85, Abb. 3.9, Springer Verlag 2004 Abbildung 1.4-1: http://nssdc.gsfc.nasa.gov/imgcat/html/object_page/m04_01d.html Abbildung 1.4-2: http://upload.wikimedia.org/wikipedia/de/0/05/Mars canyons mariner9.jpg Abbildung 1.4-3: http://photojournal.jpl.nasa.gov/mission/Phoenix Abbildung 1.4-4: Google Mars ESA/DLR/FU-Berlin (G. Neukum)/NASA/USGS Abbildung 1.4-5: http://esamultimedia.esa.int/images/marsexpress/352-291007-3155-6-co-01-NoctisLabyrinthus H1.jpg Abbildung 1.4-6: Google Mars ESA/DLR/FU-Berlin(G. Neukum)/NASA/USGS Abbildung 1.4-7: http://photojournal.jpl.nasa.gov/catalog/PIA08065 Abbildung 1.4-8: http://photojournal.jpl.nasa.gov/jpeg/PIA04293.jpg http://www.astronews.com/news/artikel/2005/05/0505-011a.shtml Abbildung 1.4-9: Abbildung 1.4-10: http://esamultimedia.esa.int/images/marsexpress/359-191207-4199-6-3d2-01-TerbyCrater H1.jpg Abbildung 1.4-11: http://esamultimedia.esa.int/images/marsexpress/379-260208-2149-6-3d-2-01-HebesChasma_H1.jpg Abbildung 1.4-12: http://spaceflight.nasa.gov/gallery/images/vision/mars/ndxpage1.html Abbildung 1.4-13: http://upload.wikimedia.org/wikipedia/commons/7/7f/MarsTransitionV.jpg

http://www.astronews.com/news/listen/mars.html

http://www.esa.int/esaCP/SEM80OQ08ZE_Germany_0.html

www.themarsunderground.com

Artikel: Am Boden gefangen von Frank Schubert, Astronomie Heute 04/2008

Artikel: "Postcards from the Future" von Guido Meyer, Astronomie Heute 09/2007

Artikel: Auf zum Mars! von Guido Meyer, Astronomie Heute 09/2007

Reise zum roten Planeten, Astronomie Heute 04/2008

Artikel: Wo geht's zur Mars-Oase?, von Thorsten Dambeck, Astronomie Heute 04/2008

Artikel: "Ablagerungen" http://sci.esa.int/science-e/www/object/index.cfm?fobjectid=43928

http://marsprogram.jpl.nasa.gov/science/human/

Artikel: Am Boden gefangen von Frank Schubert, Astronomie Heute 04/2008

AURORA: http://www.esa.int/SPECIALS/Aurora/SEMZOS39ZAD_0.html

Mars Direkt: http://www.raumfahrer.net/astronomie/planetmars/marsdirect.shtml

2 Raumstationen

2.1 Bemannte Raumstationen

Salyut

Skylab

Apollo-Sojus-Projekt MIR

Internationale Raumstation ISS

2.2 Rotierende Raumstationen

Bernal-Sphäre

Wernher von Braun

Kubrick's 2001: Odyssee im Weltraum

O'Neill-Kolonien

Das Große Baukastenkonzept der NASA

K. A. Ehricke

Aktuellere Beispiele

Der russische Kosmonaut Juri Gagarin bereiste 1961 in der Wostok 1 als erster Mensch den Weltraum. Die Reise ins All dauerte 108 Minuten. Wenige Wochen später zogen die Amerikaner mit dem Mercury-Programm den Russen nach. Alan Shepard absolvierte einen 16 minütigen *suborbitalen Flug*.

Die erste bemannte Mondlandung 1969 mit Apollo 11 gilt bis heute als historischer Moment.

Salyut

Die erste bemannte Raumstation war die russische Salyut 1, bestehend aus *Sojus* Bauteilen. 1971 wurde im Rahmen des Sojus 11 Programms die Station von drei Kosmonauten besetzt. Tragischerweise verunglückten alle drei Besatzungsmitglieder bei der Rückkehr zur Erde.



Alle 7 Salyut Stationen waren vom gleichen Typus. Sie setzten sich aus einer Schleusensektion mit Kopplungsstutzen im Vorderteil, einem Arbeitsraum von 3 m im Durchmesser und 3,8 m Länge, einem Arbeits- und Aufenthaltsraum mit 4,15 m Durchmesser und 5,4 m Länge und einem Versorgungs- und Geräteteil zusammen. Die Energieversorgung erfolgte mittels Solarzellenflächen. Die Kopplungsstutzen dienten auch als Andockstellen für Sojus-Raumfahrzeuge bzw. für unbemannte Frachtraumschiffe oder auch für Testmodule.

Skylab

Skylab aus dem Jahre 1973 war die erste amerikanische Raumstation. Aufgrund des geringen Budgets wurde die Station aus Teilen des Apollo-Programms zusammengestückelt.

Skylab umkreiste in 432 km Höhe die Erde und war für drei Personen konzipiert.

Die am Boden vorgefertigte Raumstation bestand aus dem *Oribtal Work-shop* (*OWS*), der im Wesentlichen aus einer modifizierten Saturn V-Drittstufe bestand, einem Kopplungsmodul für die Apollo-Zubringerfahrzeuge, einer Schleusensektion und der Teleskopanlage für sonnenphysikalische Untersuchungen und zwei großen Solarzellenflächen.

suborbitaler Flug ... in großer Flughöhe, jedoch ohne dabei in eine Umlaufbahn zu gelangen russisches Personen- und Frachtschiff

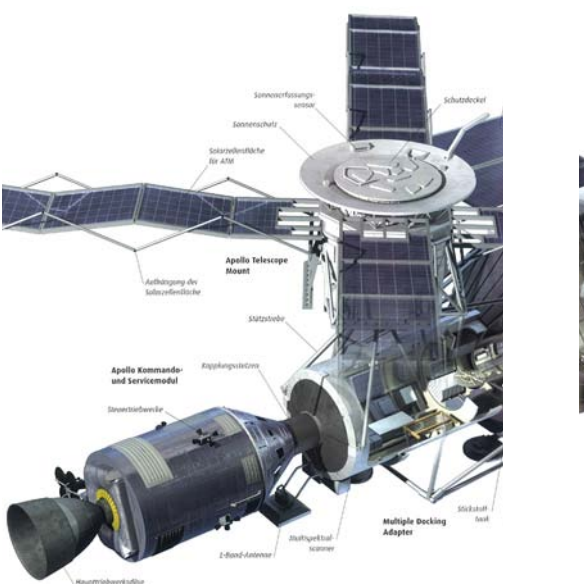
Orbital Workshop ... Bestandteil einer Saturn V Rakete, diente während der Skylabmission als Wohn- und Arbeitsraum für die Besatzung

Abbildung 2.1-1: Salyut 4

Über die Wohnlichkeit des Skylabs sagte Heinrich Schiemann 1972, dass die Illusion eines Oben und Unten aufgrund der Schwerelosigkeit im Skylab optisch erzeugt wurde.

Ursprünglich war die Station nicht als Dauerstation geplant und hatte deshalb keinen Antrieb zur Bahnregelung oder für Kurskorrekturen.

Skylab blieb nur 128 Tage bemannt und ist am 12.7.1979 beim Wiedereintritt in die Erdatmosphäre über dem Indischen Ozean und australischen Hinterland verglüht.



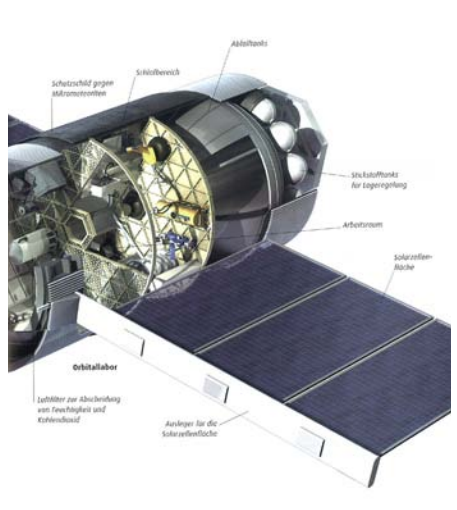


Abb. 2.1-2: Skylab

Apollo-Sojus Projekt

1975 gab es erstmals in der Geschichte der Raumfahrt eine gemeinsame amerikanisch-sowjetische Mission. Das Projekt bestand aus der Zusammenkoppelung eines Apollo- und eines Sojus-Raumschiffes in der Erdumlaufbahn.

Die unterschiedlichen Atmosphären, bestehend aus Luftdruck und Atemgemisch der beiden Raumfahrzeuge stellten ein großes Problem dar.

Aus diesem Grund wurde ein spezielles Kopplungsmodul als Schleusensektion am Apolloraumschiff mitgeführt.

Die beiden Raumfahrzeuge waren bei diesem Einsatz für etwa 47 Stunden aneinander gekoppelt und traten anschließend wieder einzeln in die Erdatmosphäre ein.





Abb. 2.1-3: Apollo-Sojus

Heinrich Schiemann ... "1x Orbit und zurück" (1973), Deutsche Verlags-Anstalt GmbH, Stuttgart

unterschiedliche Atmosphären ...

USA: $100\%~O_2$ mit 1/3 Atmosphärendruck Russland: O_3 -N Gemisch mit 1 Atmosphärendruck

Abbildung 2.1-2: Skylab Abbildung 2.1-3: Apollo-Sojus

MIR

Die sowjetische MIR von 1986 war die erste dauerhaft bemannte und modular aufgebaute Raumstation. Die russische Raumfahrtagentur Roskosmos machte die Station nach dem politischen Umbruch auch für den Westen zugänglich.

Die Basiseinheit wog bei einer Gesamtlänge von 13 m und einem Durchmesser von 4,20 m 21 Tonnen. Erweiterbarkeit der Station war durch den Kopplungsadapter, ausgelegt für vier Module, und durch die beiden Anschlüsse für bemannte Sojus-Raumschiffe gegeben.

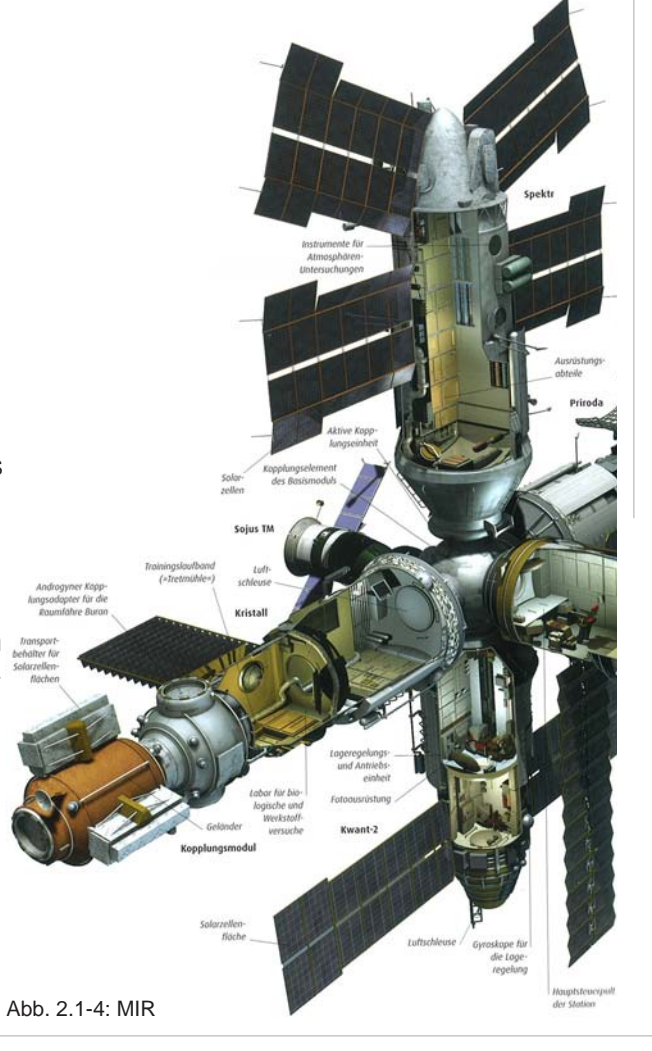
Es entstand ein völlig neuer Typus, basierend auf Salyut, mit kugelförmigem Kopplungsadapter als Kernstück und fünf Anlegestellen. Beim Baubeginn 1986 wurde die MIR mittels Proton-Rakete in 320 bis 350 km hohen Orbit mit einer Bahnneigung von 51,6° gebracht. Die MIR war als ständig bemannte Forschungsstation geplant, mit einem Basis-Modul, in dem sich die Lebenserhaltungssysteme und sozialen Einrichtungen für zwei bis sechs Kosmonauten befinden sollten.

Die Basiseinheit bestand aus vier Abschnitten: den Durchgangsabschnitt mit Steckverbindungen des Greifarms sowie Kopplungsvorrichtungen und Verbindungsöffnungen, dem Arbeitsabschnitt mit Bodensichtfenster, dem Zwischenabschnitt mit sozialen Einrichtungen und dem Geräteabschnitt. Der Innenraum besaß austauschbare Wandverkleidungen.

Das Basismodul fungierte als Wohn- und Aufenthaltsbereich für die Kosmonauten und enthielt nebenbei auch die Sanitäranlagen.

Dem Hauptmodul wurden im Laufe der Zeit weitere Module hinzugefügt.

1987 dockte das Astrophysik-Modul Kvant 1 mit 5,3 m Länge, 4,35 m Durchmesser und elf Tonnen Gewicht, am Heck des Basismoduls an. Das Labor wurde für wissenschaftliche Arbeiten und astrophysikalische Untersu-



chungen genutzt. Das Modul verfügte über eine weitere Andockstelle für Sojusbzw. Progressraumschiffe. Im Laufe der Zeit wurde eine komplette Solaranlage auf Kvant 1 installiert.

1989 wurde Kvant 2 seitlich am Kopplungsadapter des Basismoduls angedockt. Es war mit einer Dusche, einem Sauerstoffversorgungssystem, Stauräumen, Zusatztanks etc. ausgestattet. Zu seinen Aufgaben zählten die Beobachtung der Erde und biotechnologische Experimente.

1990 wurde *Kristall* gegenüber von *Kvant 2* am Adapter montiert. Das Labor galt als biomedizinische und astrophysikalische Einheit. Es verfügte über weitere Solarzellen und ermöglichte dem US-Space-Shuttle 1995 das Andocken.

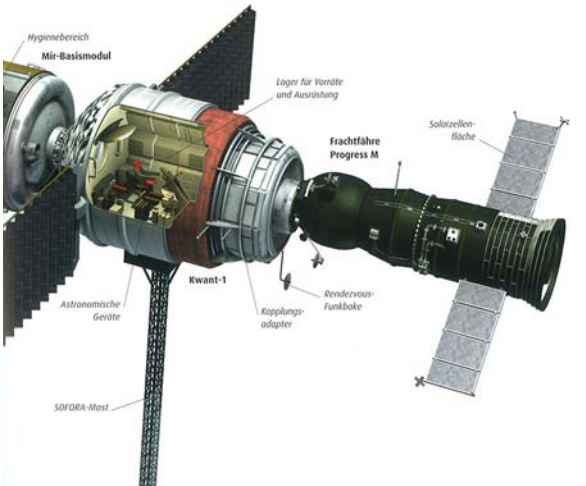
Die nächste Erweiterung folgte 1995 mit dem Forschungsmodul *Spektr*. Es diente für wissenschaftliche Forschungszwecke, wie die Erforschung der Erdatmosphäre, dem Ablauf geophysikalischer Prozesse und der Analyse von kosmischer Strahlung. Das Projekt wurde zum Teil von der NASA mitfinanziert und war demnach für Shuttle-Missionen verfügbar.

Um dem US-Space Shuttle das Andocken zu ermöglichen, wurde 1995 ein Dockingadapter am Modul *Kristall* montiert.

Ihre letzte Ausbaustufe erreichte die MIR 1996 mit der Anbringung des Moduls *Priroda*. Das Modul wurde für die Fernerkundung und Forschung der Mikrogravitation eingesetzt. Die vollständig aufgebaute MIR wies eine Gesamtlänge von 33 m mit einer Gesamtmasse von 117 Tonnen auf.

Durch ständige Umbauten und Instandhaltungsarbeiten konnte die Station 15 Jahre überdauern. Sie wurde von insgesamt 96 Kosmonauten bzw. Astronauten besucht. Die Langzeitaufenthalte einiger Besucher dienten als Studie bzw. waren eine gute Vorbereitung für künftige Marsmissionen.

Die Versorgung der Station erfolgte wie bei den Saljut-Stationen mittels Progress-Transporter. Als eine der Aufgaben bei der ersten Mission zählte ein



Besuch bei der Salyut-7, um aus ihr einige wichtige Versuchseinrichtungen und Ausrüstungen zu entnehmen und für die MIR wiederzuverwenden.
Die Sojus-Raumschiffe versorgten die Station mit Wasser, Lebensmitteln, Treibstoff und Material und fungierten auch als Crew-Transporter bzw. als Rettungsboot. Die Energieversorgung der Station erfolgte über Solarmodule.

Abbildung 2.1-4: MIR

Internationale Raumstation ISS

Die "International Space Station" ISS ist das größte gemeinsame Projekt verschiedener Nationen in internationaler Kooperation, um einen permanenten Außenposten zu betreiben.

Bereits 1984 gab es von den Amerikanern unter Ronald Reagan Pläne für eine permanente Raumstation namens *Freedom*.

Es wurden verschiedene Entwürfe erstellt, woran auch die europäische, japanische und kanadische Raumfahrtbehörde beteiligt waren. 1993 gründete die NASA ein Gemeinschaftsunternehmen mit der russischen Raumfahrtbehörde. Die USA musste sich eingestehen von den russischen Erfahrungswerten profitieren zu können.

Neben der Raumfahrtbehörden NASA, Roskosmos und ESA sind unter anderem auch Kanada, Japan und Brasilien am Gemeinschaftsprojekt beteiligt.

Nach dem modularen Aufbaukonzept der MIR Station und den daraus gewonnenen Erfahrungswerten wurde das Projekt ISS verwirklicht. Schätzungsweise werden für den kompletten Aufbau 40 Flüge mittels Trägerraketen bzw. Raumfähren notwendig. Im fertigen Zustand, geplant für 2010, soll die Station inklusive der Solarmodule über 80 m Spannweite, 107 m Länge und über 400 Tonnen Masse verfügen.

Als erstes Element der Internationalen Raumstation wurde das russische Fracht- und Steuermodul *Sarja* 1998 im Erdorbit positioniert. Seither umkreist die ISS mit einer Bahnneigung von 51.6° alle 92 Minuten in etwa 350 km Höhe die Erde.

Sarja diente vorerst zur Strom- und Antriebsversorgung. Heute wird es als Frachtmodul für die Zwischenlagerung von Ausrüstung verwendet.

Ein paar Wochen später wurde das NASA-Modul *Unity* als erster von drei Verbindungsknoten angebracht. Er verfügt insgesamt über sechs Kopplungsstutzen.

Mit etwas Verzögerung dockte das russische Wohn- und Servicemodul *Swesda* im Jahr 2000 an. Ausgestattet mit Unterkünften, Lebenserhaltungs- und Umgebungskontrollsystemen sowie Sanitäranlagen, Küche und Trainingsgeräten konnte durch die Anbringung von Swesda an der ISS mit den bemannten Einsätzen begonnen werden.

Im selben Jahr wurde das erste Gittersegment, die *Integrated Truss Structure*, montiert. Es fungierte als Verbindungselement zwischen dem Solarzellenträger und der Wohneinheit und trägt Apparaturen für die Lageregelung. Das *Solarmodul* versorgte nahezu die gesamte Station mit Energie.

2001 wurde das amerikanische Labormodul *Destiny* an dem Knotenelement Unity angedockt. Es wird für Experimente, Steuerungseinheiten oder als Stauraum genutzt. Forschungsarbeit wird auf den Gebieten Mikrogravitation, Lebenswissenschaften, Biologie, Ökologie, Erderkundung, etc. betrieben.

Als weitere Elemente wurden Canadarm2 (Greifarm) und die US-Luftschleuse Quest angebracht.

Bei der nächsten Mission dockte das russische Kopplungsmodul *Pirs* an. Es ist sowohl Verbindungsknoten als auch Ausstiegsschleuse.

2002 wurden Gitterstruktur-Träger für zusätzliche Solarzellenträger montiert. Bei den weiteren Missionen wurde das Gerüst und die Stromversorgung ausgebaut. Mittels aufwändigen Außenbordeinsatz wurde 2006 ein Solarkollektor am Tragwerk angebracht.

Der Verbindungsknoten *Harmony* wurde 2007 zur ISS befördert und angeschlossen.

Nach diversen Umbauarbeiten und Versetzungsmaßnahmen von Modulen wurde schließlich 2008 das europäische Forschungslabor *Columbus* an der ISS in Betrieb genommen.

Mit den Montagearbeiten des japanischen Moduls Kibo wurde im März 2008 begonnen. Das Modul besteht aus vier Teilen: einer Plattform für Experimente, einem Roboterarm und zwei zylindrischen, unter Druck stehenden Modulen.

Nach fertiger Montage des japanischen Moduls folgen ein russisches Labormodul und ein weiterer Verbindungsknoten mit der Aussichtskuppel *Cupola*.

Voraussichtlich sollte die Internationale Raumstation bis 2010 fertiggestellt sein.

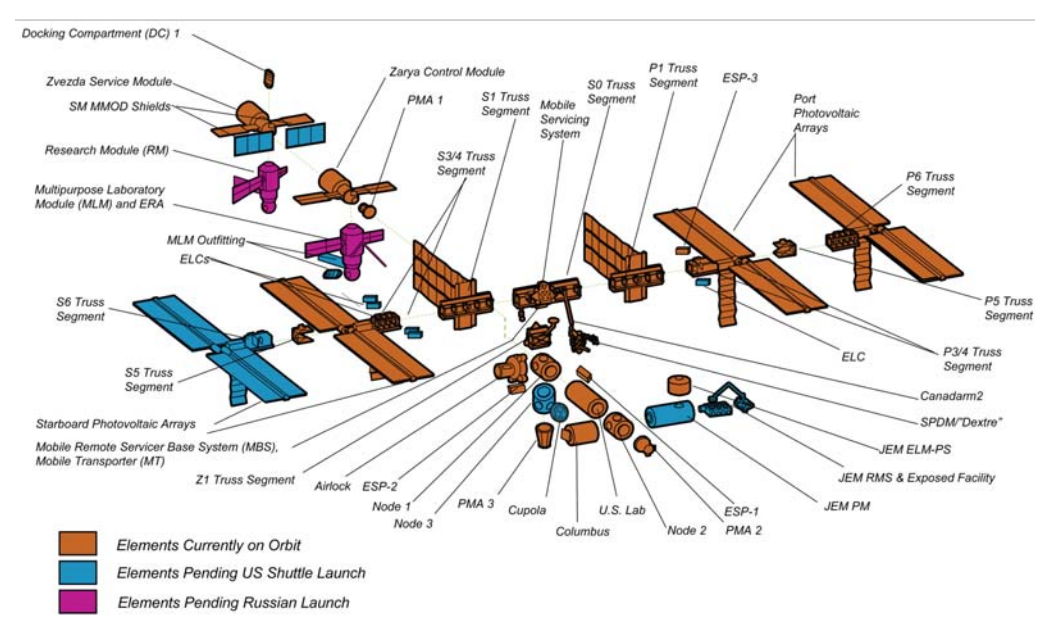


Abb. 2.1-5: Aufbau der ISS

Sarja oder Zarya ...
Unity ...
Swesda ...
Intetrated Truss Structure ...
Solarmodul ...
Destiny ...

übersetzt: Sonnenaufgang
"Einheit", Verbindungsknoten der ISS
"Stern"
starre, tragende Leichtmetallstruktur
entfaltbarer Solarkollektor: 35 m lang und 11,6 m breit

"Schicksal", das 4. Modul der ISS

Canadarm2 ... kanadischer Roboterarm, kann bis zu 100 t bewegen, wird von Destiny aus gesteuert

Quest ... Ausstiegsstelle sowie Ausrüstungsdepot für Außenboardeinsätze

Pirs ... russische Luftschleuse und Verbindungselement

Harmony ... US-amerikanisches Knotenelement im Auftrag der ESA und

der italienischen Raumfahrtbehörde
Columbus ... Labor für Experimente der Material- und Biowissenschaften sowie

der Flüssigkeitsforschung

Kibo ... "Hoffnung", Beitrag der japanischen Raumfahrtbehörde JAXA zur ISS

Cupola ... Anbringung geplant für Dezember 2009 mit dem Verbindungsknoten Node3

Abbildung 2.1-5: Aufbau der ISS © NASA

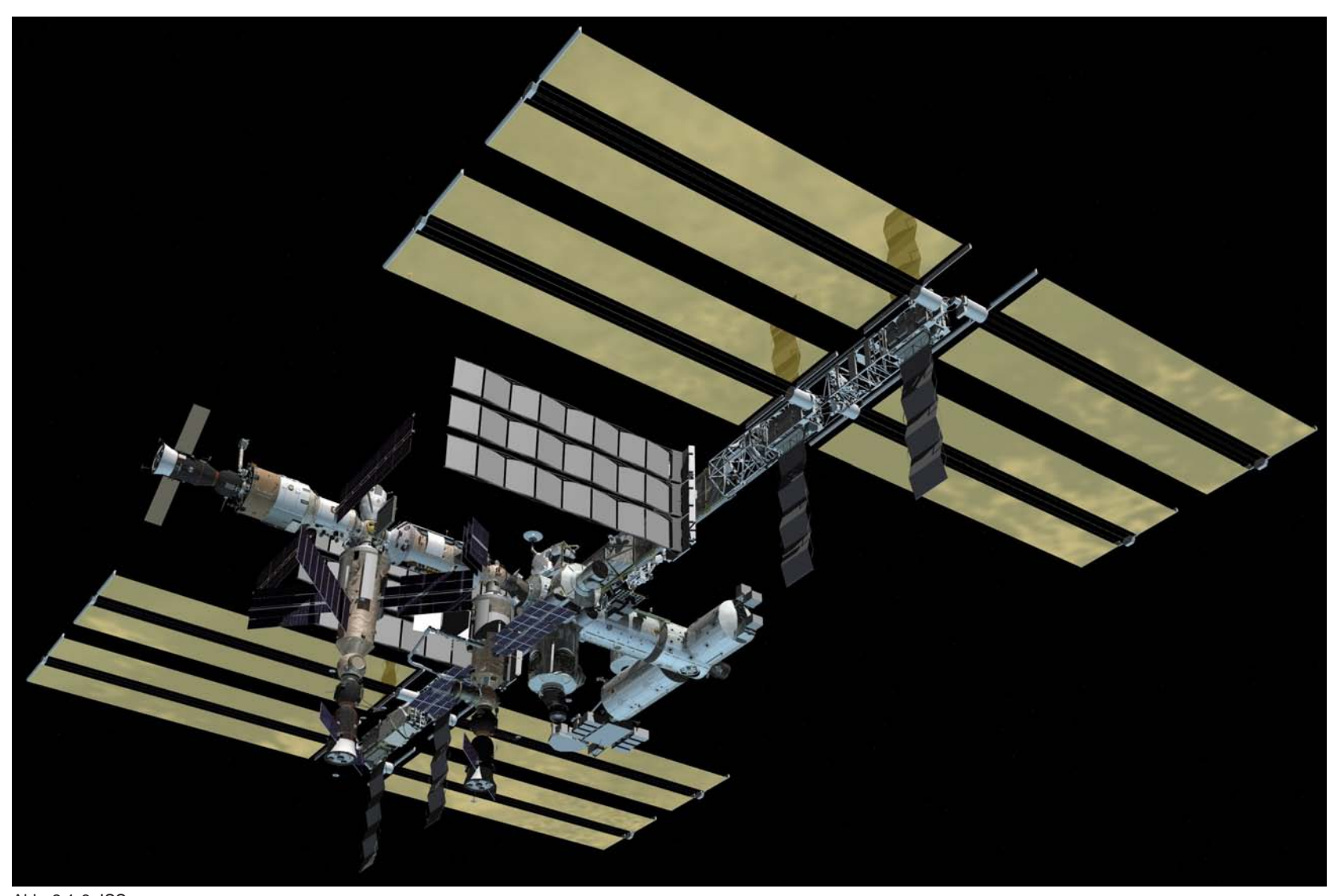


Abb. 2.1-6: ISS

Die Besatzung muss mit Lebensmitteln, Frischwasser, Kleidung, Sauerstoff, Stickstoff, Treibstoff, Ersatzteilen sowie Einrichtungen für wissenschaftliche Experimente usw. ausreichend versorgt werden. Dies wurde bis 2008 ausschließlich durch den russischen Progress-Frachter und das amerikanische Space Shuttle sichergestellt. Durch das europäische *Automated Transfer Vehicle* (ATV), welches seit April 2008 im Einsatz ist und das japanische Versorgungsschiff *H-2 Transfer Vehicle* (HTV) soll die ISS optimal versorgt werden. Das Versorgungssystem ist so aufgebaut, dass nach Aufbrauchen der mitgeführten Güter der Frachter mit dem anfallendem Abfall der Station beladen wird. Nach etwa sechs Monaten wird der Frachter von der Station wieder entkoppelt und durch Verglühen in der Erdatmosphäre somit entsorgt.



Abb. 2.1-7: ATV

Abbildung 2.1-7: ATV © ESA

Abbildung 2.1-6: ISS © NASA

Automated Transfer Vehicle ... unbemannter, nicht wiederverwendbarer Weltraumfrachter H-2 Transfer Vehicle ... ünbemannter, nicht wiederverwendbarer Weltraumfrachter ähnlich dem ATV, jedoch erfolgt das Andocken mittels Roboterarm

2.2 Rotierende Raumstationen 2 Raumstationen

Diese Kapitel behandelt fiktive Konzepte rotierender Raumstationen. Bereits zu Beginn des 20. Jahrhunderts gab es die ersten Überlegungen zu rotierenden Raumstationen. Sowohl Wissenschaftler als auch Science-Fiction-Autoren erarbeiteten diverse Konzepte zum Thema Kolonisierung des Weltraums.

Konstantin Tsiolkovsky publizierte 1903 sein Konzept zur Umsetzung von künstlich erzeugter Schwerkraft im Weltall. In seinem Werk "Problem der Befahrung des Weltraums" veranschaulichte Hermann Noordung eine rotierende Raumstation mit 30 m Durchmesser, die sich im geostationären Orbit befinden sollte.

Bernal-Sphäre

Ein Vorreiter auf dem Gebiet Konzeptentwicklung von rotierenden Raumstationen war Dr. John Desmond Bernal. 1929 präsentierte er den Entwurf einer sich drehenden Weltraumkolonie, konzipiert für 20 000 bis 30 000 Bewohner. Der erste Ansatz entsprach einem zylindrischen Hohlkörper mit einem Durchmesser von 16 km, an dem außen Solarringe und zusätzliche Solarsegel vorgesehen waren. Im Inneren sollte eine Biosphäre den Bewohnern einen künstlich geschaffenen Lebensraum bieten. (Abb. 2.2-1)

Wernher von Braun

Unter Hitler war der Ingenieur Wernher von Braun an der Planung der V1 und V2 Rakete beteiligt. Nach dem zweiten Weltkrieg begann er bei der NASA an diversen Projekten mitzuwirken.

1952 griff er die Idee einer rotierenden ringförmigen Raumstation von Hermann Noordung wieder auf, die er als Raumfahrzeug zum Mars weiterentwickelte. Die torusförmige, aus Einzelteilen bestehende und teilweise aufblasbare Station weist einen Durchmesser von 75 m auf. Ihre Fortbewegungsgeschwindigkeit beträgt 7,08 km pro Sekunde. Der Durchmesser des äußeren Radkranzes beträgt 9 m und bietet Platz für zwei bis drei Stockwerke. Die bei drei Umdrehungen in der Minute erzeugte Scheinkraft dient als Ersatz für die Schwerkraft.

Kubrick's 2001: Odyssee im Weltraum

Unter der Regie von Stanley Kubrick und basierend auf der Kurzgeschichte "The Sentinel" (Der Wächter) von Arthur C. Clarke entstand 1968 ein sehr gelungenes Werk. Der Film zeigt diverse Entwürfe von Raumstationen, die heute noch als große Innovation gelten. Einer dieser Entwürfe ist ein doppeltes Weltraumrad mit ca. 200 m Durchmesser, welches sich noch im Aufbaustadium befindet. (Abb. 2.2-2)

O'Neill-Kolonien

1976 entwickelte der Physiker Gerard K. O'Neill die Idee einer Weltraumsiedlung in Form eines sich selbst drehenden, druckbeaufschlagten Hüllraums. Sonnenschein sollte mit Hilfe von Spiegeln ins Innere geleitet werden. Der Zylinder mit 200 m Durchmesser und 1,5 km Länge erzeugte bei drei

Abb. 2.2-3: O'Neill Zylinder Island Three Abbildung 2.2-1: Bernal-Sphäre (1857-1935) Pionier der russischen Luft- und Raumfahrtforschung

Konstantin Tsiolkovsky ... Hermann Noordung ... John D. Bernal ...

Wernher von Braun ... Stanley Kubrick ... Arthur C. Clarke ...

Gerard K. O'Neill ...

geboren als Herman Potočnik (1892 -1929), Raumfahrttheoretiker (1901-1971) britischer Physiker mit dem Spezialgebiet Kristallographie "Bernal-Hülle" (Buch 1929 "The World, the Flesh and the Devil") (1912-1977) dt.-US-amerik. Raketentechniker, Pionier und Visionär (1928-1999) US-amerik. Regisseur, Produzent und Drehbuchautor (1917-2008) britischer Science-Fiction-Schriftsteller, Mitglied der Skeptics Society (1927-1992) US-amerikanischer Physiker und Raumfahrtpionier







Abb. 2.2-2: 2001: A Space Odyssey

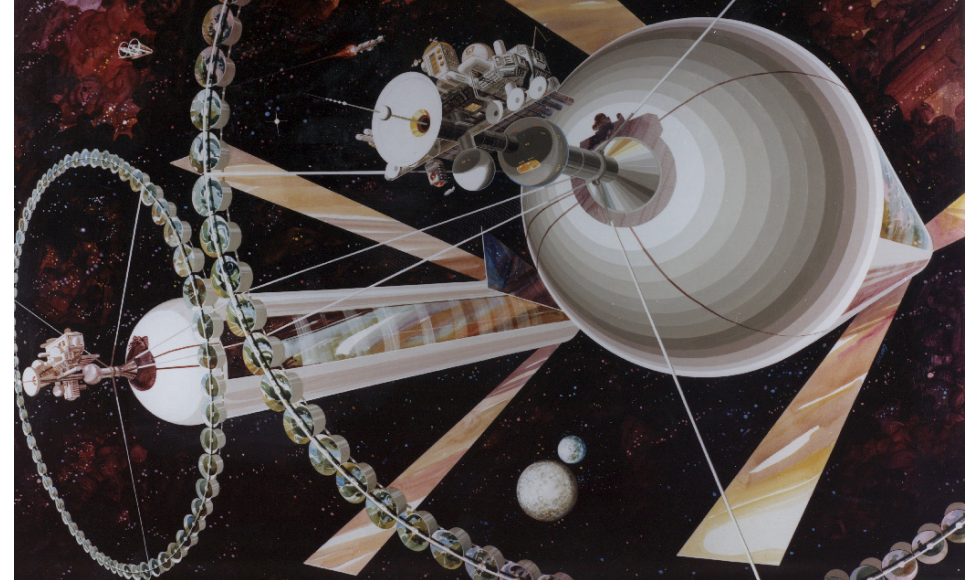


Abbildung 2.2-2: 2001: A Space Odyssey

Abbildung 2.2-3: O'Neill Zylinder, Island Three

2.2 Rotierende Raumstationen 2 Raumstationen

Umdrehungen pro Minute künstliche Schwerkraft und war für etwa 10 000 Menschen ausgelegt.

O'Neill publizierte seine Konzepte in "Physics Today" und später, 1977, in dem Buch: "The High Frontier - Human Colonies in Space". Das Grundprinzip der Kolonien basierte auf dem Konzept einer Planeten unabhängigen, sich selbstversorgenden Raumstation.

Bei O'Neills erster Weltraumkolonie, *Island One* (Abb. 2.2-4), bezog er sich bei der Formgebung auf die rotierende Raumstation von J.D.Bernal. Das Konzept beruht auf einem sich selbstversorgenden *Generationenschiff*. Die Idee stammt jedoch ursprünglich von *E.E.Hale*, der bereits 1869 in "Der Ziegelsteinmond" sein Konzept veröffentlichte.

O'Neill plante ebenfalls eine kugelförmige Raumstation mit Niedrigschwerkraft und 460 m Durchmesser. Schwimmbäder, Schlacke und Mondstaub sollten als Schutz vor Strahlung dienen. Die Station rotiert um ihre eigene Längsachse mit 1,97 Umdrehungen in der Minute. Im Konzept waren

600 000 m² für landwirtschafte Nutzung, jedoch kein ausreichender Strahlenschutz dafür vorgesehen. Davon stehen je 45 m² für eine Person zur Verfügung. Weiters stehen den Bewohnern je 230 m² Wohnfläche und 600 m² Garten zu.

Island Two, mit einem Durchmesser von 1 800 km und einer Fläche von 10 km², ist für 140 000 Menschen ausgelegt.

Island Three (Abb. 2.2-3) besteht aus 2 Einheiten mit je 6,4 km Durchmesser und einer Länge von 32 km für einige Millionen Menschen. Bei einer Rotation von 2 Umdrehungen in der Minute bietet die Station seinen Bewohnern einen Lebensraum, der Wasser, Land, Luft und natürlichen Sonnenschein beinhaltet. Die beiden Einheiten bestehen aus zwei Zylindern mit drei großen Spiegeln, die für eine Tag- und Nachtsimulation eingesetzt werden. Riesige Sonnenenergiekraftwerke sorgen für ausreichend Stromerzeugung. Im Konzept ist eine Trennung von Wohnen, Landwirtschaft und Industrie mit unterschiedlichen Klimata (Temperatur, Luftfeuchtigkeit), Tageslängen und Schwerkraft, vorgesehen.

Die Anforderung an den *Stanford Torus* (Abb. 2.2-5) ist die Konzeptionierung eines Weltraumhabitats für 10 000 bis 140 000 Personen unter dem Einfluss künstlicher Schwerkraft von 1g bei einer Umdrehung pro Minute. Des Weiteren weist die torusförmige Station einen Gesamtdurchmesser von 1,6 km und einen Röhrendurchmesser von 130 m auf. Das schwerelose Zentrum entspricht einer kugelförmigen Nabe mit 130 m Durchmesser und Dockbuchten, die durch 6 Speichen mit dem Ringbereich verbunden ist. In den Speichen ist die Strom- und Luftzufuhr sowie der Aufzugsschacht untergebracht. Ein riesiger Spiegel mit 750 m im Durchmesser wird mittels Raketenantrieben in Position gehalten, um genügend Licht im Stationsinneren zu gewährleisten.

Bei seinen Entwürfen griff O'Neill teilweise auf Ideen von K.E. Tsiolkovski, H. Oberth, Baron G. von Piquet, Herman Noordung und Wernher von Braun zurück.



Abb. 2.2-4: Island One

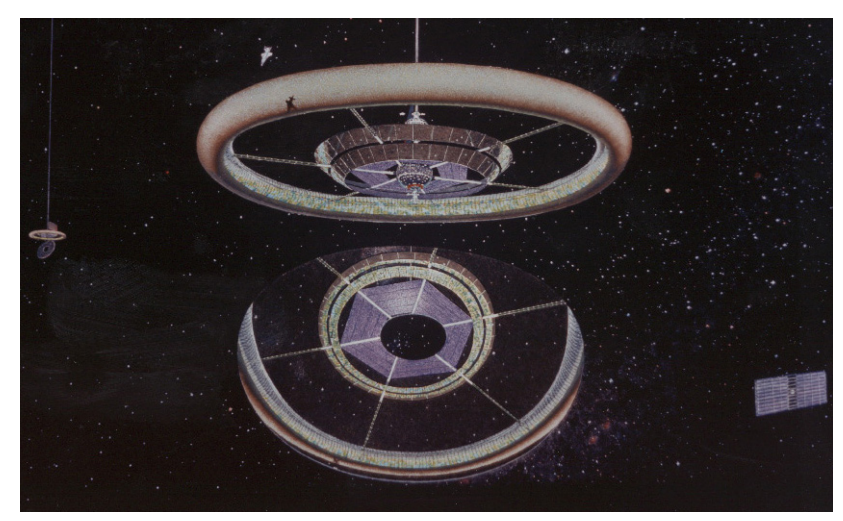


Abb. 2.2-5: Stanford Torus

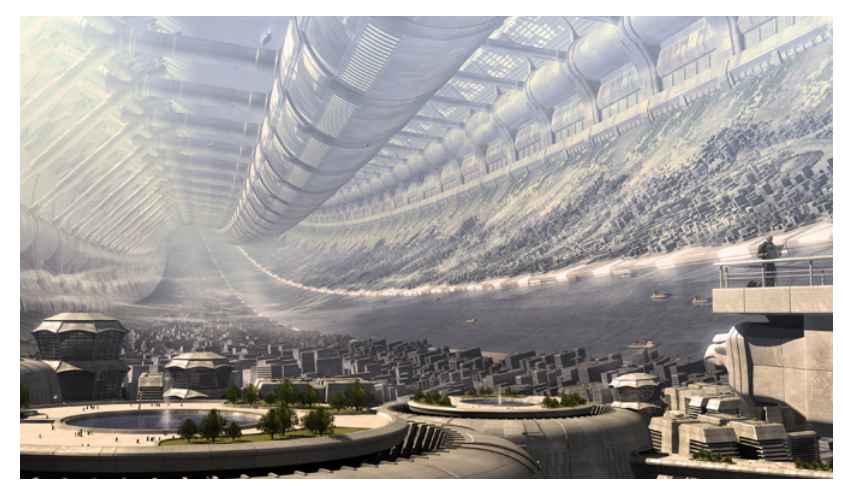


Abb. 2.2-6: künstlerische Darstellung einer Weltraumkolonie

Generationenschiff ...

Konzept von J.D.Bernal von 1929: Bewältigung der extremen Reisezeiten bei interstellarer Raumfahrt

E.E.Hale ...

Edward Everett Hale (1822-1909), amerikanischer Autor der Kurzgeschichte "The Brick Moon" in der erstmals eine fiktionale Raumstation beschrieben wird.

Abbildung 2.2-4: Island One

Abbildung 2.2-5: Standford-Torus

Abbildung 2.2-6: künstlerische Darstellung einer Weltraumkolonie © Alexander Preuss

2.2 Rotierende Raumstationen 2 Raumstationen

Die Weltraumkolonien sollten in den *Lagrange-Punkten* positioniert werden. Die benötigten Rohstoffe werden laut Konzept vom Mond mit Hilfe eines Massenbeschleunigers zur Raumstation transportiert.

Das "Große Baukastenkonzept" der NASA

Das Große Baukastenkonzept, von NASA-Technikern zwischen 1969 und 1970 entwickelt, wird in dem Buch "1x Orbit und zurück" von *Heinrich Schiemann* näher beschrieben.

Die Saturn-V Rakete, ein nicht mehrfach verwendbares Trägersystem mit einem Durchmesser von 10 m, definiert die Größe der zu transportierenden Baukastenelemente. Die geplante Raumstation sollte über geschlossene Lebenserhaltungssysteme verfügen und etwa 80 Tonnen schwer sein. Der Zylinder sollte bis zu zwölf Crewmitglieder beherbergen und sich über vier Stockwerke in Querrichtung erstrecken. Die Möglichkeit zur Abschottung der Stockwerke ist für den Notfall gegeben. Ein Crewwechsel ist für alle drei Monate vorgesehen. Durch den Nukleareinsatz für die Energiegewinnung ist die Besatzung einem hohen Risiko ausgesetzt. Die Rotation zur Erzeugung von Schwerkraftersatz erfolgt um die Querachse.

K. A. Ehricke

Astropolis - "Die Stadt im Himmel" beruht auf dem Konzept des Weltraumtechnikers Dr. Krafft Arnold Ehricke. Die Station erstreckt sich über 2 km und bietet Platz für etwa 2 000 Menschen. Sie rotiert um die eigene Hauptachse und erzeugt dabei eine künstliche Schwerkraft von ca. 1g. Die Station befindet sich im Erdorbit und hat ein schwereloses Zentrum. Die Versorgung erfolgt mittels Atomstrom.

Gemeinsam mit Wernher von Braun verfasste er das Buch "The Mars Project", in dem eine Reise mittels Fährschiff zum Mars erläutert wird. Diese Fähre, später "Space Shuttle" genannt, dient als Pendelfahrzeug und liefert die Bauteile zur Montage einer Raumstation. Die Anlieferung muss in Einheiten erfolgen, deren Dimensionen durch die Ladebucht definiert sind.

Aktuellere Beispiele

Lagrange-Punkte ...

Heinrich Schiemann ...

Die Philosophie der *Space Island Group* (Abb. 2.2-8) vertritt das Konzept des Recycelns von Treibstofftanks und deren Aneinanderschließung zu einer rotierenden Raumstation. Die Rotation erfolgt mittels magnetischer Motoren und erzeugt ein Drittel der Erdgravitation. Die Tanks sind an den Enden mit Schleusen aneinandergekoppelt und werden mittels eigenem Transporter, dem "Orbital Maneuvering Vehicle" (O.M.V), in Position gebracht. Der Stationsinnenraum kann in zwei bis drei Etagen aufgeteilt werden und soll einige 100 Personen beherbergen.

Das Architekturbüro *Wimberly Allison Tong & Goo*, mit Schwerpunkt Hoteldesign, entwarf ein "*Space Resort*" (Abb. 2.2-7) im niedrigen Erdorbit.

Renate Lauterbach plante im Rahmen ihrer Diplomarbeit 2001 das Weltraumhotel "Medusa" (Abb. 2.2-9).



Abb. 2.2-7: Space Resort



Abb. 2.2-8: Space Island Group

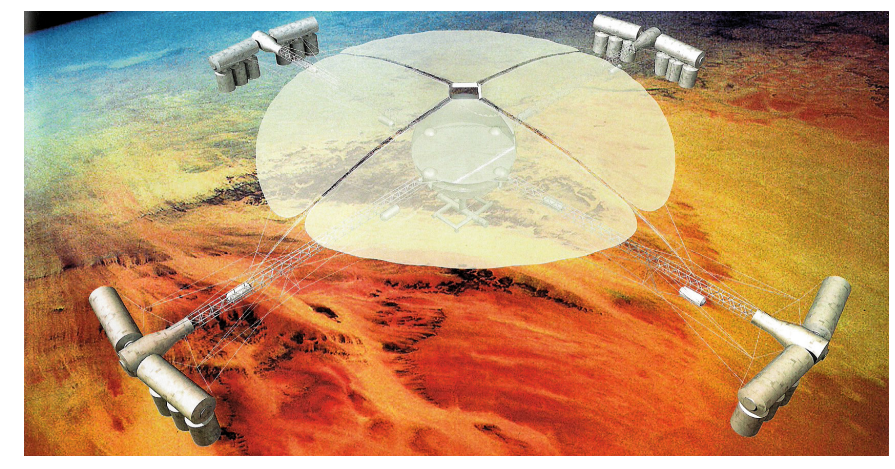


Abb. 2.2-9: Medusa

Librations- oder Gleichgewichtspunkte siehe Seite 58 (1916-2002) Luftfahrtingenieur, Wissenschaftsjournalist,

Publizist und Moderator

Krafft Arnold Ehricke ... (1917-1984) Ingenieur für Raketenantriebe

Space Island Group ... www.spaceislandgroup.com

Abbildung 2.2-7: Space Resort © Wimberly Allison Tong & Goo

Abbildung 2.2-8: Space Island Group

Abbildung 2.2-9: Medusa © Renate Lauterbach

Abbildung 2.1-1: Giles Sparrow, Abenteuer Raumfahrt, Seite 180, Dorling Kindersley Verlag 2007

Abbildung 2.1-2: Giles Sparrow, Abenteuer Raumfahrt, Seite 172-173, Dorling Kindersley Verlag 2007

Abbildung 2.1-3: Giles Sparrow, Abenteuer Raumfahrt, Seite 174-175, Dorling Kindersley Verlag 2007

Abbildung 2.1-4: Giles Sparrow, Abenteuer Raumfahrt, Seite 212-213, Dorling Kindersley Verlag 2007

Abbildung 2.1-5: http://www.nasa.gov/mission_pages/station/main/

Abbildung 2.1-6: http://spaceflight.nasa.gov/gallery/images/station/issartwork/ndxpage20.html

Abbildung 2.1-7: http://www.dlr.de/iss/Portaldata/1/Resources/raumfahrt/weltraum/atv_cutaway.jpg

Abbildung 2.2-1: http://www.nas.nasa.gov/About/Education/SpaceSettlement/70sArt/AC76-0965f.jpeg

Abbildung 2.2-2: http://www.der-dirk-schneider.de/portal/Bilder/verschiedenes/discovery.jpg und http://textodigital.com/P/GG/b2001.php

Abbildung 2.2-3: http://www.nas.nasa.gov/About/Education/SpaceSettlement/70sArt/AC75-1085f.jpeg

Abbildung 2.2-4: http://ssi.org/assets/images/slide14-large.jpg

Abbildung 2.2-5: http://www.nas.nasa.gov/About/Education/SpaceSettlement/70sArt/AC76-0525f.jpeg

Abbildung 2.2-6: http://www.nss.org/settlement/space/graphics/abalakin-800.jpg

Abbildung 2.2-7: http://www.watg.com/?pageID=0093BFCC-3048-7B3D-C58285D7C34CDE8B

Abbildung 2.2-8: http://www.spaceislandgroup.com/PressGraphics/posterstation03.jpg

Abbildung 2.2-9: Renate Lauterbach, Medusa ... take a spin around the world, Techn. Univ. Wien, Dipl.Arb., 2001

DI Dr. Hajek und DI Dr. Vana, Atominstitut: Vo Weltraumdosimetrie, Seite 5 ff., TU-Wien 2008

Christian Karl Gruber, Leben und Arbeiten im All, Wissenschaft und Technik Verlag 1996

http://www.russianspaceweb.com/mir.html

Abenteuer Raumfahrt, Giles Sparrow, Dorling Kindersley Verlag 2007

Barbara Imhof, An architectural approach to the design of a long duration human space mission, Techn. Univ. Wien, Diss., 2006

Artikel: "2001: Odyssee im Weltraum" von Robert Vogel, Astronomie Heute 04/2008

3 Langzeitmissionen und deren Implikationen

3.1 Gesundheitsrisiken im All

Strahlung

Schwerelosigkeit

3.2 Vorsorgemaßnahmen

Strahlenschutzmaßnahmen

Weltraummedizin

Training

Ernährung

3.3 Psychologie in der Raumfahrt

Studien über Langzeitaufenthalte

3.4 Anforderungen an die Raumstation

Sicherheit der Crew

Anforderungen an die Raumstation zur Vermeidung von Schäden

Materialien

Versorgungssysteme der Raumstation

Selbstversorgende Systeme

Platzbedarf

Wohnlichkeit

3 Langzeitmissionen und deren Implikationen

Strahlung

Raumfahrer sind außerhalb des schützenden Erdmagnetfeldes den verschiedensten Arten von Strahlung ausgesetzt, welche erhebliche gesundheitliche Schäden hervorrufen können.

Man unterscheidet zwischen galaktisch-kosmischer Strahlung, solar-kosmischer Strahlung, Eruptionen solarer Materie (solar flares, coronal mass ejections) und dem Van Allen Strahlungsgürtel.

Kosmische oder Korpuskularstrahlung ist eine radioaktive Strahlung, die durch Strom von Elementarteilchen und Ionen mit hoher Energie erzeugt wird. Sie hat ihren Ursprung außerhalb unseres Sonnensystems und gilt als durchdringende Strahlung, die organische oder anorganische Materie angreift. Sowohl kosmische und als auch solare Strahlung verändern die DNA und können Gewebeschädigungen herbeiführen.

Bei solar-kosmischer Strahlung handelt es sich um von der Sonne ausgesandte Teilchenströme und es wird zwischen zwei Bestandteilen unterschieden. Dazu zählen der immer vorhandene Sonnenwind sowie die energiereichen Teilchenströme, welche bei Sonnenausbrüchen freigesetzt werden. Sonneneruptionen können nicht genau vorhergesagt werden und stellen aufgrund der stark erhöhten Strahlenbelastung, wobei hochkonzentrierte Energie freigesetzt wird, ein großes Problem dar.

Generell wird in der Raumfahrt zwischen primärer und sekundärer Strahlung unterschieden.

Primärstrahlung, auch Bremsstrahlung genannt, besteht aus Röntgen- und Gammastrahlung, die noch durch eine Trennwand abgeschirmt werden kann. Sekundärstrahlung wirkt dagegen aggressiver und muss durch bessere Vorkehrungen abgeblockt werden, weil die Teilchen Wände durchdringen können.

Der Van-Allen-Strahlungsgürtel besteht aus geladenen Teilchen, Elektronen und Protonen, die durch das Erdmagnetfeld festgehalten werden. Seine Form ist die eines Torus rotationssymetrisch zur Erde und gliedert sich in einen inneren und äußeren Gürtel.

Auch andere Planeten werden von ähnlichen Strahlungsgürteln umgeben.

Die Auswirkungen von Strahlung auf den menschlichen Organismus sind abhängig von der Strahlungsdosis, der Strahlungsart, der Wirkzeit und der Stärke und können zu Krankheiten, Erbschäden oder zum Tod führen.

Mögliche Schädigungen durch ionisierende Strahlung stehen im Zusammenhang mit den betroffenen Organen, dem Alter und Gesundheitszustand des Raumfahrers sowie dem ausgesetzten Stressfaktor.

Bei Langzeitaufenthalten besteht das Risiko einer Krebserkrankung der Organe, Augen, Haut und Geschlechtsorgane.

Sonneneruption ... Van-Allen-Strahlungsgürtel ...

erhöhte Strahlungskonzentration, welche etwa alle elf Jahre stattfindet eine Durchquerung ist It. Verschwörungstheorie nur mittels 2 m dicker Bleiummantelung möglich und daher wird der Flug zum Mond von Verschwörungstheoretikern angezweifelt

Strahlungsdosis ... ionisierende Strahlung ... Energiemenge, die an eine bestimmte Masse abgegeben wird Radioaktive-, Neuronen- und Röngtenstrahlung

Strahlungseinheiten werden durch Energie, die ein Körper absorbiert, ausgedrückt: Gray (Gy) ... Verhältnis der absorbierten Energie zur Masse des bestrahlten Körpers (J/kg) Sievert (Sv) ... Wirkung ionisierener Strahlung auf lebendes Gewebe (J/kg)

Schwerelosigkeit

Ein weiteres Problem der Raumfahrt ist durch das Fehlen von Gravitation gegeben. Dadurch erfährt der menschliche Organismus Beeinträchtigungen der Gehirnfunktionen, des Herz-Kreislaufsystems, des Bewegungsapparats (Knochen- und Muskelabbau) und des Immunsystems.

Bei vielen Raumfahrern tritt auch die Raumkrankheit, das so genannte "Space Adaption Syndrome", ein.

Zu den Beeinträchtigungen der Gehirnfunktionen zählen:

Ausfall der Schwerkraftrezeptoren, motorische Störungen in der Bewegungskoordination, Desorientierung und Verlust des Gleichgewichtssinns, der durch das Vestibularorgan erzeugt wird.

Sinnes- und Gleichgewichtsorgane (Abb. 3.1-5) sind für die Lage-, Richtungsund Raumwahrnehmung verantwortlich. In der Schwerelosigkeit können daher Sinnesmeldungen verfälscht an das Gehirn weitergegeben werden. Ist das Zusammenspiel zwischen Sehsinn und Gleichgewichtsorgan gestört, so führt dies zur Orientierungslosigkeit und möglicherweise zur Raumkrankheit, welche sich durch Schwindel, Übelkeit, Augenzittern äußert und etwa zwei bis vier Tage andauert.

Des Weiteren übt Schwerelosigkeit Folgeerscheingungen auf das Herzkreislaufsystem und den Wasser- bzw. Nährstoffhaushalt des Körpers aus. Es kommt zu einer Flüssigkeitsverschiebung (Abb. 3.1-2) im Bereich des Kopfes und Oberkörpers. Dadurch werden Kopfschmerzen, Gesichtsschwellung, Hervortreten der Halsvenen, und Ausdünnung der Beine verursacht. Die verstärkte Flüssigkeitsausscheidung kann zu Dehydrierung führen und sollte sich allerdings nach ca. fünf Tagen stabilisieren. Es kommt auch zu einer Reduktion des Blutvolumens (Plasma) um 12 bis 22% und zu einer verringerten Produktion der roten Blutkörperchen (Erythrozyten), was Einfluss auf die Wundheilung ausübt sowie eine Schwächung des Immunsystems hervorruft. Weiters erfolgt einer Reduktion der Herzpumpleistung sowie Veränderungen des Hormonkreislaufes. Nach mehreren Wochen stabilisiert sich der Kreislauf wieder.

Jedoch haben Langzeitaufenthalte im All erheblichen Einfluss auf das Muskelund Skelettsystem. Nach längerer Zeit in der Schwerelosigkeit treten die ersten Symptome auf. Es kommt zum Verlust von Kalzium, Phosphor und Stickstoff, zum Schwund von Herz- und Skelettmuskulatur, Ausdehnung der Wirbelsäule, und zur Muskelatrophie von ca. 5 % pro Woche. Das schlimmstes Problem ist jedoch der Knochensubstanzverlust, der auch durch Training nicht gestoppt werden kann.

Weitere Beschwerden können in Form von Schlaflosigkeit, Stress, Übelkeit, Erbrechen, Verdauungsproblemen, Rückenschmerzen, etc. auftreten.

Aufgrund der hohen Protonenausetzung der Augen leiden Raumfahrer an Erscheinungen wie "Blitzen" in der Dunkelheit.

Die Auswirkungen und Folgeerscheinungen von Schwerelosigkeit werden erst auf Erde so richtig spürbar.

IMBP ... Institute für Medical and Biological Problems

Die Forschungsstudie der Uniklink für Neurologie in Wien zum Thema Veränderung der Augenbewegungsfunktion im Gebiet der Weltraumphysiologie und - medizin befasste sich im Detail mit der Verlangsamung der Augenfolgebewegungen aufgrund von Schwerelosigkeit.

Die Studie von 2001 läuft unter dem Titel "Augenbewegungen unter Schwerelosigkeit" und stand unter der Leitung von Univ. Prof. Dr. Christian Müller.

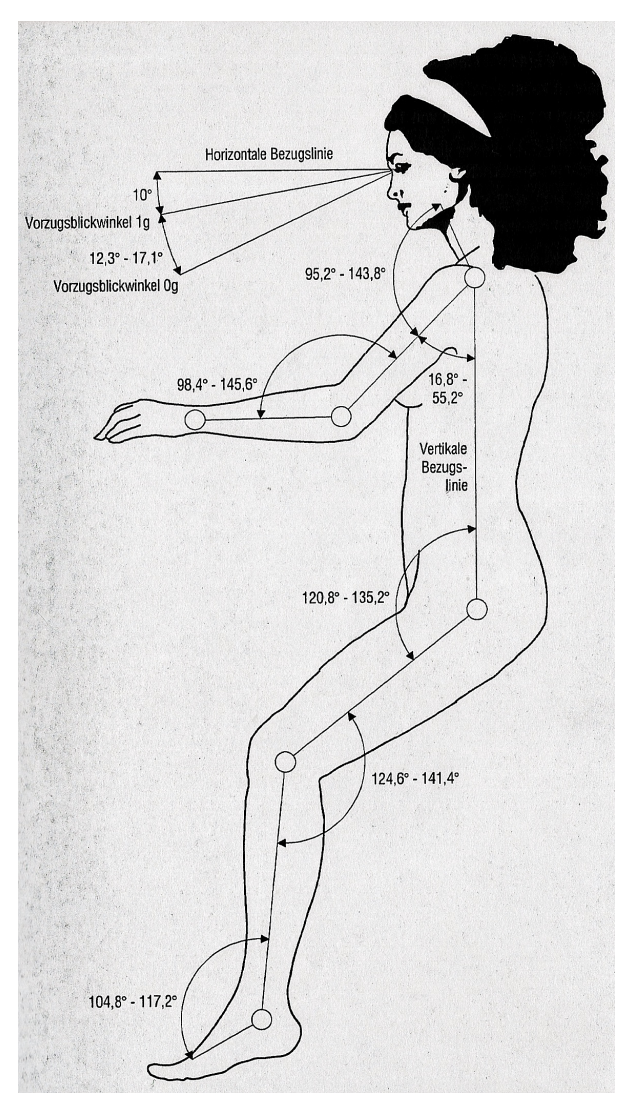


Abb. 3.1-1: neutrale Körperhaltung

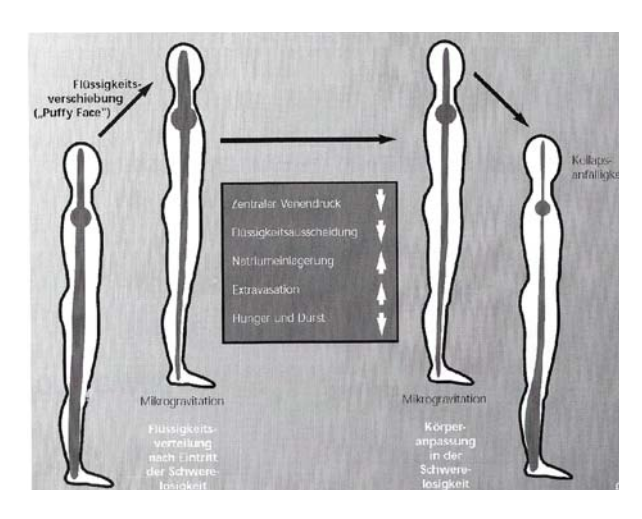


Abb. 3.1-2: Flüssigkeitsverschiebung

Abbildung 3.1-1: neutrale Körperhaltung © C. Gruber Abbildung 3.1-2: Flüssigkeitsverschiebung © DLR



Abb. 3.1-3: Schwerelosigkeit

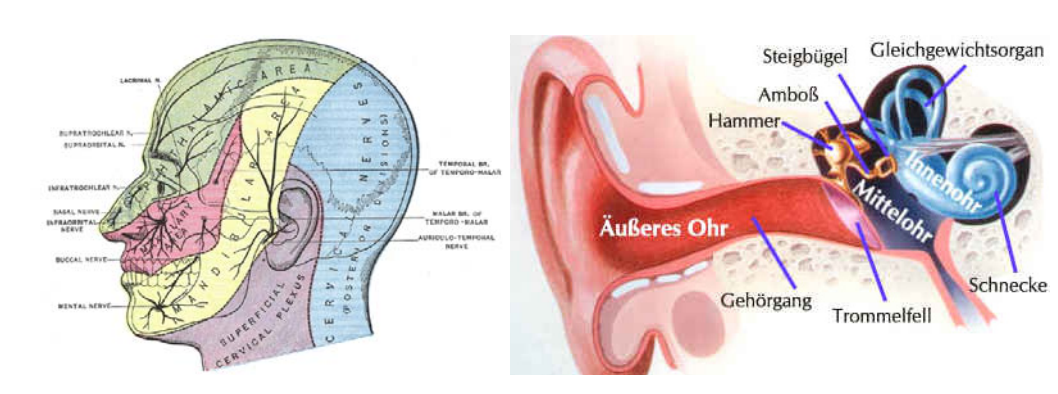


Abb. 3.1-4: Nervensystem

Abb. 3.1-5: Gleichgewichtsorgan

Abbildung 3.1-3: Schwerelosigkeit Abbildung 3.1-4: Nervensystem Abbildung 3.1-5: Gleichgewichtsorgan

Strahlenschutzmaßnahmen

Natürlicher Schutz vor solarer und galaktischer Strahlung ist durch die dichte Erdatmosphäre gegeben.

Es können Schutzmaßnahmen durch bestimmte Materialien getroffen werden. Unter anderem sind Wasserstoffhaltige Materialien bzw. Materialien mit hoher Flächendichte gut geeignet. Für Innenwände werden Bauteile mit hoher Nukleonenzahl (z.B. Tantal) als Absorber für schädliche Bremsstrahlung eingesetzt.

Um besseren Schutz vor Sonnenausbrüchen zu gewährleisten ist die Anbringung von speziellen Schutzschilden, sogenannten "Storm Shelters", an der Außenseite notwendig.

Schutz vor elektromagnetischer Strahlung kann durch Anbringung eines *Sole-noid* im Stationszentrum geboten werden.

Bei Außenbordaktivitäten liegt die Sicherheit des Raumfahrers in der Qualitätsausführung des Raumanzugs. Raumanzüge müssen besondere Vorkehrungen zum Schutz von Augen, Knochenmark und Geschlechtsorgane, die bereits bei geringen Dosen sehr gefährdet sind, aufweisen. Außenbordaktivitäten sollten aufgrund des hohen Gesundheitsrisikos einer Dauer von höchstens sieben Stunden entsprechen.

Generell sollten Außenbordaktivitäten, wobei der Raumfahrer ionisierender Strahlung ausgesetzt wird, vermieden werden, weil diese immer ein besonderes Gesundheitsrisiko darstellen.

Weltraummedizin

Weltraummedizin ist eine junge Wissenschaft, die sich mit mehreren Themen auseinandersetzt. Sie besteht aus dem Gebiet der *Physiologie* und der *Psychologie*. Bislang wurden psychosomatische Effekte kaum berücksichtigt. Der menschliche Körper ist relativ anpassungsfähig und geht auf Umweltflüsse ein - auf diesem Aspekt baut die Weltraummedizin auf.

Eines der Ziele ist für ein inneres Gleichgewicht zu sorgen, sowohl auf geistiger als auch auf körperlicher Ebene.

Die terrestrische Gesundheitsforschung profitiert von den Studien bemannter Raumfahrt und im Speziellen von den Erkenntnissen der Weltraummedizin. Erfolge und Fortschritte konnten dadurch in der Osteoporoseforschung, bei der Kreislaufunterstützung, bei der Reduktion des Muskelabbaus bei Langzeitbettlägrigen, bei der Frühdiagnostik von Herz-Kreislauferkrankungen, bei der Behandlung von Schlaganfallpatienten, in der Telemedizin und für minimalinvasive Operationstechniken gewonnen werden.

Im Untersuchungszeitraum der letzten 32 Jahre gab es bei 195 Astronauten 20 Todesfälle, eine Krebserkrankung, 103 Herz- und Kreislauferkrankungen und 16 Unfälle mit Todesfolge.

Training

Um gesundheitliche Schäden und Folgeerscheinungen aufgrund von Aufenthalten in der Schwerelosigkeit abwenden zu können ist ein tägliches Körpertraining unerlässlich, vor allem um Muskelschwund entgegen zu wirken. Deshalb ist auf ein Training am Laufband bzw. am Fahrradergometer von mindestens einer Stunde pro Tag und bei Langzeitaufenthalten sogar zwei Stunden pro Tag unverzichtbar. Tägliches Trainieren mit dem Expander fördert den Aufbau von Herzmuskulatur.

Es ist zu berücksichtigen, dass es einer sehr starken Be- und Entlüftung während der Trainingszeit bzw. einen Feuchtigkeitsentzug aus der Luft bedarf, da sonst eine Porenverstopfung der Haut entsteht und die Hautatmung dadurch gestört wird. Eine andere Möglichkeit wäre die Verwendung einer Unterdruckkammer während des Trainings.

Die Rahmenbedingungen für Ergonomie müssen in der Planung einer Raumstation berücksichtigt werden.

Es lassen sich jedoch, vor allem bei Langzeitmissionen, nicht alle Gesundheitsbeeinträchtigungen durch hartes Training abwenden. Das Problem des Knochensubstanzverlustes wäre nur durch Erzeugung künstlicher Schwerkraft in den Griff zu bekommen.

Nach dem Konzept der so genannten "Schwerkraftbetten", wäre der Raumfahrer lediglich während des Schlafens künstlicher Schwerkraft ausgesetzt.

Ernährung

Für ein geistiges und körperliches Wohlbefinden ist eine ausgewogene Ernährung die Grundvoraussetzung. Bei Aufenthalten in einer von Lebenserhaltungssystemen abhängigen lebensfeindlichen Umgebung ist der Körper einem gewissen Stressfaktor ausgesetzt. Daher sollte er mit ausreichender Energiezufuhr durch Nahrung gestärkt werden. Die durchschnittliche tägliche Nahrungsmenge für einen Erwachsenen beträgt 12,5 kJ und besteht aus 420 g (7,06 kJ) Trockenmasse in Form verschiedenster Kohlehydrate, 92,7 g (3,5 kJ) Fette, 126 g (2,12 kJ) Proteine, Mineralien, Vitaminen und ca. 3,5 kg Trinkwasser. Die Mengenangaben sind jedoch abhängig von Größe, Alter, Geschlecht, Gesundheits- und Stoffwechselzustand der jeweiligen Person.

Den Nahrungsmitteln einer Raumstation wird Flüssigkeit entzogen, damit sie leichter und komprimiert mittransportiert werden können. Spargel, Rindfleisch, Brokkoli, Käse, Müsli, Huhn, Nudelgerichte, Reis, Rühreier, grüne Bohnen, Pilze, Pfirsichkompott, Erbsen, Pudding, Shrimps, Suppen, Erdbeeren, Truthahn und auch viele Getränke werden in pulverisierter Form auf der Station eingelagert. Nahrungsmittel wie beispielsweise Corned Beef, Brot, Schinken und Truthahnrauchfleisch können duch Strahlenbehandlung haltbar gemacht werden. Die Lebensmittel im Space Shuttle sind in Dosen, Plastikschalen und Folien verpackt und werden vor dem Verzehr in einem kleinen Ofen erhitzt. Für die Missionen ist ein strenger Menüplan ausgearbeitet. Viele Mineralien, wie z.B. Kalzium, gehen dem Körper aufgrund der Schwerelosigkeit verloren und müssen im Ernährungsplan ergänzt werden.

Solenoid ...

ist eine elektromagnetische Spule, die Ablenkung der Strahlung verursacht, dabei verursacht ein Elektronenemitter eine Aufladung der Außenhaut, wobei Schutz durch das erzeugte elektromagnetische Kraftfeld geboten wird - leider konnte diese Technik bis jetzt noch nicht erprobt werden.

Physiologie ... Psychologie ... Forschung der Organe, Gewebe, Zellen, etc. Forschung in Verhalten, Denken, Fühlen, Lernen, Wahrnehmen, Motivation, Willenskraft



Abb. 3.2-1: Fahrradergometer





Abb. 3.2-3: Elektrodenhose



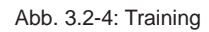




Abb. 3.2-5: Training



Abb. 3.2-6: Training



Abbildung 3.2-3: Elektrodenhose © Med. Univ. Wien

Abbildung 3.2-4: Training Abbildung 3.2-5: Training Abbildung 3.2-6: Training



Abb. 3.2-2: Treadmill

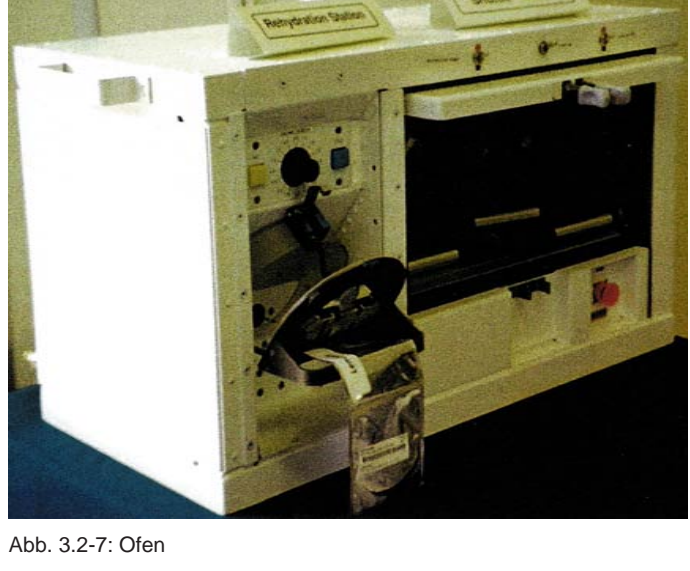




Abb. 3.2-8: Space Food



Abb. 3.2-9: Space Food

Abbildung 3.2-7: Ofen © Renate Lauterbach Abbildung 3.2-8: Space Food © NASA Abbildung 3.2-9: Space Food © NASA

Die Grundvoraussetzungen für ein Überleben im All sind Luft, Nahrung, Wasser und Licht. Neben den körperlichen und gesundheitlichen Strapazen einer Raumfahrtmission spielt die psychologische Komponente eine wesentliche Rolle.

Um eine erfolgreiche Mission zu gewährleisten muss das Zusammenleben einer Personengruppe auch auf minimalem bzw. engstem Raum funktionieren. Da die sozialen Kontakte sehr beschränkt sind muss eine sorgfältige Auswahl der Besatzungsmitglieder getroffen werden. Bei der Auswahl der ISS-Besatzung wurde nach technischen und wissenschaftlichen Qualifikationen sowie nach psychischer Stabilität und Belastbarkeit entschieden.

Eine optimale Gruppenzusammensetzung ist bis heute noch nicht so richtig geklärt. Es wurde sogar angedacht, eine Besatzungsmannschaft ausschließlich aus Frauen zusammenzustellen. Man erhofft sich dadurch ein sozial stabileres und ausgeglicheneres Zusammenleben zu erzielen als bei gemischten bzw. reinen Männergruppen.

Natürlich können auch aus gegebenen Umständen Partnerschaften zwischen Crewmitgliedern entstehen. Dies wird allerdings von Raumfahrtbehörden eher abgelehnt, da unter Umständen Krisen- und Spannungssituationen hervorgerufen werden könnten. Jedoch sollte diese Möglichkeiten besonders bei Planungen von Langzeitmissionen in Betracht gezogen werden und in die Missionsplanung miteinbezogen werden.

Das Wohlbefinden in der künstlich geschaffenen Gemeinschaftsform ist abhängig von gemeinschaftlichen Zusammenleben unter gesellschaftspolitischen Aspekten sowie vom verfügbaren Lebensraum, der aus wirtschaftlichen Gründen auf das Minimum beschränkt wird. Dieser beengte Lebensraum bietet zu wenig Intimsphäre und zwingt seine Bewohner zur Unterdrückung von Gefühlsausbrüchen.

Die Raumfahrer müssen sich in eine Mikrogesellschaft mit diversen Regeln, Einschränkungen und autoritärer Struktur einfügen und unterordnen. Das Leben und die gesellschaftlichen Beziehungen unter extremen Umständen führen zu psychischen Ausnahmesituationen und stellen dadurch enorme Anforderungen an den Raumfahrer und seine emotionale Stabilität bzw. seine mentale Gesundheit. Durch den Einsatz digitaler Hilfsmittel kann die Konfliktlösung auf die Bodenkontrolle mitübertragen werden und somit ein objektives Betrachtungsbild für die Darstellung und Beurteilung der Situation liefern.

Eine mögliche psychologische Belastung stellen große Zeitfenster, beispielsweise bei einer Marsmission mit einer Dauer von zwei Jahren, dar. Während der Mission können keine freien Entscheidungen über Zeitpunkte der Rückkehr, Missionsänderungen bzw. Missionsabbruch getroffen werden. Dadurch kann eine einmal getroffene Entscheidung aus bahnmechanischen Gründen nicht revidiert werden, die Crew muss sich in ihr Schicksal fügen und die Mission fortsetzen. Bei einer Marsmission können die Zeitverzögerungen bis zu 1,5 Stunden dauern, je nachdem wie der Mars zur Erde steht.

Die Raumfahrer unterziehen sich einer psychischen Herausforderung, weil sie mit einer lebensfeindlichen Umgebung unter schwierigen Umständen zurecht kommen müssen. Die Risikobereitschaft, sich in Abhängigkeit von Lebenserhaltungssystemen und der damit verbundenen Technik zu begeben, stellt einen gewissen Stressfaktor dar, der zu Spannungen innerhalb der Gruppe beitragen kann.

"... Bei der ersten Mission konnte ich von der Erfahrung der Kollegen profitieren, die mich auf Besonderheiten hingewiesen hatten. ... Was das Verhältnis zueinander angeht: Man hat lange miteinander trainiert und kennt die Leute eigentlich ganz gut."

Zeitplan eines ungefähren Tagesablaufs auf der ISS

	<u> </u>
7:00 bis 8:30	Überprüfung der Systeme, Morgentoilette, Frühstück, Arbeitsvorbereitung
Vormittag: 4 - 5 Stunden	Erledigung des strikt vorgegebenen Arbeitspensums
vor dem Mittagessen	eine Stunde für Sporttraining
30 bis 40 Minuten	Mittagspause
bis 18:00 oder 19:00	Fertigstellung des Arbeitspensums
vor dem Abendessen	eine Stunde für Sporttraining
	Abendessen
	Planungskonferenz
22:00 bis 23:00	Freizeit
	Bettruhe

Tab. 3.3-1: Zeitplan nach Angaben im Interview mit Thomas Reiter

Eine ausgewogene und gerechte Aufgabenverteilung ist notwendig, um eine Über- bzw. Unterforderungen des Einzelnen zu vermeiden.

Es ist äußerst wichtig Platz für die Gestaltung einer vielseitigen Freizeitplanung mit diversen Beschäftigungsmöglichkeiten einzuräumen.

Spiele, Sport, Zeichnen, Film, Musik, Lesen, Telekommunikation mit Verwandten oder Freunden sind einige Möglichkeiten zum Zeitvertreib. Die Gestaltung eines individuellen Unterhaltungsprogrammes durch eigene Musik, Videos, Bücher etc. unterstreicht die Individualität des Besatzungsmitglieds und leistet einen positiven Beitrag für das Leben in der Gruppe. Im "Human Behaviour Performance Programm" (HBP) wird der Besatzung der ISS ein vielseitiges Unterhaltungsprogramm sowie eine private psychologische Konferenz mit Psychologen auf freiwilliger Basis zur Verfügung gestellt. Die Bewertung der psychischen Verfassung erfolgt mittels Kommunikationsanalyse mit Hilfe von kameragestützten Computersystemen und hilft bei der Erstellung eines Stressprofils.

Humanfaktorenforschung (Human Factors): Buch von F. Sanders und E.J.McCormick: "Human Factors in Design and Engineering" Zitat 3.3-1: Astronaut Thomas Reiter im Interview

Tabelle 3.3-1: Zeitplan nach Angaben im Interview mit Thomas Reiter

Studien über Langzeitaufenthalte

Russland hat viel Erfahrungen in *Langzeitaufenthalten* im All gemacht. Leider blieben viele Studien- und Forschungsergebnisse unter Geheimhaltung und wurden nicht an die Öffentlichkeit bzw. in westliche Forschungseinrichtungen publiziert.

Der russische Kosmonaut und Arzt *Valery Poljakov* galt lange Zeit als Rekordhalter hinsichtlich Langzeitmissionen. Er verbrachte von Jänner 1994 bis März 1995 insgesamt 437 Tage 17 Stunden und 58 Minuten auf der MIR.

Der Astronaut John Blaha erlebte seine erste Langzeitmission von vier Monaten auf der MIR mit kaum mehr als drei Stunden Schlaf pro Tag, was ein sehr angespanntes Verhältnis zu Kollegen verursachte.

Das Experiment Mars-500, in dem innerhalb von 520 Tagen ein Raumflug zum Mars simuliert wird, entwickelt unter anderem eine Studie über das psychisches Verhalten bei einer Langzeitmission. (siehe Seite 20)

Vergangene Forschungsprojekte, die sich mit künstlich geschaffenen Lebensräumen beschäftigt haben, liefen unter dem Namen *Biosphere*.

Unter der Versuchsstudie Biosphere 2 (Abb. 3.3-2) wurde ein von der Außenwelt unabhängiges, sich selbst erhaltendes Ökosystem auf einer Fläche von 1,6 ha in Arizona geschaffen. Finanziert wurde das Projekt von dem Milliardär Ed Bass mit einer Summe von 200 Millionen US-Dollar.

Unter Beobachtung der NASA wurde geforscht, ob Leben in künstlich erschaffenen Ökosystemen langfristig möglich ist. Die daraus gewonnenen Erkenntnisse dienen als Referenzstudie für bemannte Mond- bzw. Marsbasisstationen.

Der 1987 bis 1989 erbaute Kuppelbau aus Glas beherbergte ein völlig geschlossenes Ökosystem, welches aus Savanne, Ozean, tropischen Regenwald, Mangrovensumpf, Wüste, Landwirtschaft und Wohnräumen bestand. Um ein vollkommen autarkes Lebenserhaltungssystem erhalten zu können, wurde ein hoher technischer Aufwand betrieben. Dennoch scheiterte das Projekt an technischen Mängeln und Sauerstoff musste von außen zugeführt werden. Es stellten sich außerdem noch soziale Probleme unter den acht Teilnehmern ein.

Schlussendlich wurde das Experiment nach zwei Jahren abgebrochen. 1994 wurde ein zweiter Versuch, der mehr als sechs Monaten andauerte, gestartet.

BIOS-3 war ebenfalls ein geschlossenes Ökosystem und wurde in Sibirien im Auftrag der sowjetischen Regierung betrieben. Das Projekt wurde im Zeitraum zwischen 1965 bis 1972 entwickelt. Der künstlich geschaffene Lebensraum hatte ein Gesamtvolumen von 315 m³ und war für bis zu drei Personen ausgelegt. Es wurden etwa zehn Versuchsreihen mit jeweils ein bis drei Menschen durchgeführt, wobei die längste Mission 180 Tage andauerte.



Abb. 3.3-1: Valery Poljakov



Abb. 3.3-2: Biosphere 2

Langzeitaufenthalt ... Valery Vladimirovich Polyakov ... Sergei Konstantinowitsch Krikaljow ...

ab einer Dauer von etwa 6 Monaten 1942 in Russland geboren, Raumfahrtmediziner in Moskau russischer Kosmonaut und derzeitiger Rekordhalter bei Langzeitmissionen

Versuchsstudie über bemannte Langzeitmissionen in einem künstlich erzeugten Ökosystem

Abbildung 3.3-1: Valery Poljakov Abbildung 3.3-2: Biosphere 2 © Colin Marquardt

"... das Ziel ist nicht nur wissenschaftliche Erforschung ... es geht ebenso um die Erweiterung menschlicher Lebensräume außerhalb der Erde in unserem Sonnensystem in der Zukunft ... Auf lange Sicht, wird eine planetengebundene Spezies nicht überleben ... Wenn der Mensch hunderttausende oder Millionen Jahre überdauern will, müssen wir unbedingt andere Planeten besiedeln. Mit heutigen Technologien ist dies kaum vorstellbar. Alles steckt noch in den Kinderschuhen. ... Ich spreche über den einen Tag, ich weiß nicht wann dieser Tag sein wird, aber dann werden mehr Menschen außerhalb der Erde leben als auf der Erde. Gut möglich, dass Menschen auf dem Mond leben werden. Möglicherweise leben Menschen auf den Monden von Jupiter oder anderen Planeten. Es wird vielleicht sogar Leute geben, die auf Asteroiden Habitate errichten ... Ich weiß, dass Menschen das Sonnensystem kolonisieren werden und eines Tages darüber hinaus gehen werden. "1

NASA Administrator Michael Griffin

Die Anforderungen an eine Raumstation entsprechen nicht nur der Einhaltung eines hohen technischen Standards sondern auch der Befriedigung ästhetischer Bedürfnisse.

Als wichtige Parameter für eine Behausung stehen an erster Stelle Schaffung einer adäquaten Atmosphäre, Gewährleisung von Strahlungsschutz und Einhaltung von angemessenen Temperaturen.

Sekundär wird bei der Planung einer Weltraumbehausung auf Lärm, Vibration und Beleuchtung eingegangen.

Technische Innovationen sollen für thermische Kontrolle, Beleuchtung, Begrenzung des Lärmpegels, Schutz vor Strahlung und visuelle Komponenten eingesetzt werden.

Das Design bestimmt den Spielraum für Bewegungsfreiheit, die dem Raumfahrer zur Verfügung steht.

Sicherheit der Crew

An oberster Stelle bei der Planung einer Raumstation steht die Gewährleistung der Sicherheit für die Besatzung.

Bei einer Missionsdauer von mehr als zwei Jahren steigt statistisch gesehen die Wahrscheinlichkeit von technischem Versagen lebenswichtiger Systeme. Es ist mit Einschlägen von Mikrometeoriten bzw. mit Beschädigungen des Materials, verursacht durch Strahlung, zu rechnen.

Bei der Planung einer Station sollte eine Rückzugsmöglichkeit bei Sonneneruptionen angedacht werden. Es können dadurch auch Störungen, insbesondere bei der Computertechnik und der Kommunikation vermehrt auftreten. Die Auswahl des Stationsstandorts steht in Abhängigkeit zu der vorherrschenden Strahlendosis.

Bei großer Entfernung zur Erde ist eine Hilfeleistung so gut wie unmöglich.

Mögliche Gefahren ergeben sich aus der Beschleunigung des Raumfahrzeuges, was unter Umständen chemische Reaktionen durch Dissoziation, Oxidation, Hoch- bzw. Unterdruck oder Druckveränderungen hervorrufen kann.

Zitat 3.4-1:NASA Administrator Michael Griffin

Gefahrenquellen: W.Hallmann, W. Ley Handbuch der Raumfahrttechnik 1987

Es können auch Lecks in Druckgefäßen, Leitungen oder sogar in Behältern mit gefährlichen Stoffen entstehen und somit ein großes Gefahrenrisiko für die Besatzung darstellen. Toxikologische Unfälle, verursacht durch Giftstoffe die zur Erstickung führen können, sind nicht auszuschließen. Elektrische Unfälle können durch Spannungskonzentration, Systemversagen bzw. durch unbeabsichtigte Aktivierung hervorgerufen werden.

Weitere Parameter zur bedrohlichen Gefährdung der Crew können durch Bewegung, Explosion, Energieversorgungsausfall, Feuer, Schäden an mechanischen Strukturen, Verunreinigungen, Kollision, Schock, Vibration bzw. Lärm und Umgebungsbedingungen ausgelöst werden und zu einer verheerenden Kettenreaktion führen.

Daher müssen Sicherheitsmaßnahmen für Notfallsituationen eingeplant werden. Vorkehrungen können durch Fluchtfahrzeuge, Rauchdetektoren innerhalb der gesamten Station, Notvorräte an Lebenserhaltungssystemen, eingeplante Teilung in Brandabschnitte und rasche Abkoppelung von Modulen im Notfall getroffen werden. Aus Sicherheitsgründen sollte für die Besatzung immer eine zweifache Fluchtmöglichkeit verfügbar sein. Daher ist die Entwicklung eines ausgeklügelten Logistiksystem zur Versorgung des Menschen im Weltraum durch intakte Lebenserhaltungssysteme notwendig.

Anforderungen an die Raumstation zur Vermeidung von Schäden

Wie auch bei terrestrischen Bauwerken muss dem Raumfahrzeug eine tragende *Primärstruktur* vorgegeben werden. Diese Struktur muss in der Lage sein alle darauf montierten Lasten sowie sämtliche Beanspruchungen, mit denen das Raumobjekt während einer Mission konfrontiert wird, sei es beim Start, beim Flug oder im Orbit, aufnehmen zu können. Tragwerke können aus Truss, Träger, Platten oder Schale zusammengestellt werden.

Als Sekundärkonstruktion gelten Module, Solarpaneele und Gehäuse für Equipment. Bei der Planung sollte für die Stabilisierung empfindlicher Geräte gesorgt werden.

Bei der Auswahl der Strukturwerkstoffe sollte auch nicht nur auf mechanische Beanspruchung geachtet werden, sondern auch auf thermoelastische Veränderungen des Materials aufgrund dramatischer Temperaturunterschiede. In niedrigen Umlaufbahnen ist das Raumfahrzeug *Temperaturschwankungen* von etwa -100°C bis zu +100°C und an den Bremsflächen sogar bis zu +2 000°C ausgesetzt. Atmosphärische Auswirkungen sind ab einer Höhe von 200 km durch atomaren Sauerstoff gegeben und haben bei einigen Materialien Erosion zur Folge.

Bei der Erstellung des Gehäuses muss auf die Gegebenheiten wie Vakuum, Temperaturschwankungen, Einfluss chemischer Prozesse, Strahlung sowie Kollision durch *Weltraumschrott* eingegangen werden.

Bei Weltraumschrott handelt es sich um verlorengegangene Nutzlast, Schrott-Teilchen, Trümmer aus Explosionen oder Kollisionen, Mikropartikel bzw. Micrometeoriten. Diese *Weltraumtrümmer* sind in Gruppen (1-4) unterteilt und mit einer

Primärstruktur ... Haupttragwerk, "Rückgrat" Solarflux: Erde 1368 W/m² und Mars 589 W/m²

Temperaturschwankungen und Abschattungseffekt ... zwischen sonnenzugewandter und -abgewandter Seite Weltraumschrott oder Space Debris (engl.) ... registrierte verlorene Gegenstände von Raumfahrtmissionen Weltraumtrümmer werden vom amerikanischen Überwachungsnetz NORAD registriert und in unterschiedliche Gruppierungen abhängig von ihrer Größe unterteilt:

Geschwindigkeit von 10 km/s im Weltraum unterwegs.

Trümmer der Gruppe 4 beschädigen Oberflächen von Farbschichten, Plastik- oder Metallteilen. Daher werden in höheren Orbits Alu- und Titanspiegel verwendet.

Die Objekte der Gruppe 2 sorgen schon für einen erheblichen Schaden am Raumschiff und stellen eine Lebensbedrohung für die Besatzung dar. Um die Erde kreist eine sehr große Anzahl von Satelliten, daher ist besondere Vorsicht geboten, um mögliche Kollisionen zu vermeiden.

Verzeichnisse über Lage und Daten der Satelliten bietet beispielsweise das US-Verteidigungsministerium. Im sogenannten USSPACECOM-Katalog werden die Objekte im Erdorbit registriert. Dieser Katalog umfasst die Bahndaten von Objekten ab einer Größe von 10 cm: beispielsweise Satelliten, Trümmer von Raketen, Weltraumschrott und dergleichen. Ab dem Jahr 2000 wurden ca. 9000 Artefakte im All registriert. Alle nicht registrierten Teile, sprich kleine Schrottteilchen bzw. Meteoriten mit ein paar Zenitmetern Größe, stellen eine große Gefahr dar. Daher muss bei der Konstruktion von bemannten Raumstationen ein besonderes Augenmerk auf Schutzschilde gelegt werden.

UV-Strahlung schädigt Kunststoffe, Farben, Klebstoffe sowie viele Glasarten. Daher bieten spezielle Anstriche mit lichtabsorbierenden Farben oder reflektierende Metallfolien bzw. metallbeschichtete Plastikfilme.

Schäden an den Raumstationen können auch durch chemische-, elektrochemische- bzw. Spannungsrisskorrosion entstehen. Daher müssen zusätzliche Filter- und Korrosionsschutzschichten aufgetragen werden.

Aufgrund der verschiedenen Einflussfaktoren durch die Umgebung ist die Entwicklung einer "dynamische Hülle", welche auf Veränderungen der Materialien durch Dehnen und Schwinden eingeht, wesentlich. Die Einbringung von Sicherheitsgurten zum Stabilisieren der Struktur hilft im Notfall bei Zusammenbruch des Tragwerks.

Materialien

USSPACECOM-Katalog ...

Polvmere ...

Bervllium ...

Raumfahrzeuge bestehen aus Metall- und Polymerwerkstoffen, sowie aus Leichtmetallen auf Magnesium-, Aluminium-, Beryllium- und Titanbasis. Des Weiteren werden zu ihrer Herstellung hochfeste Stähle, Faserverbundwerkstoffe mit Verstärkungsfasern aus Glas, Kohlenstoff, Graphit oder Aramid eingesetzt.

Die Verwendung von Zinn- "Gold-, oder Nickelüberzügen ist bei hoher mechanischer Spannung erforderlich.

Die Isolierung des Raumfahrzeugs besteht aus vielen verschiedenen Ebenen, darunter sind wärmeabsorbierende Materialien, wie z.B. Silicon-Elastomere.

Am besten bewähren sich Konstruktionen von mehrschichtigen Wandaufbauten (Abb. 3.4-1). Wandsysteme werden in Sandwich-, Differential- und Integralbauweise hergestellt.

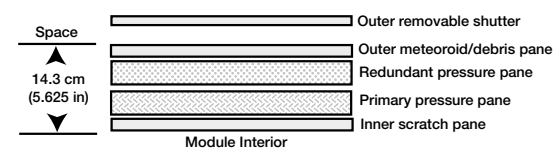
Sandwichplatten (Abb. 3.4-2) bestehen aus zwei Deckschichten mit integetriertem Wabenkern. Die Wabenstruktur wird meistens aus Aluminium oder auch aus Graphite-Epoxy-Komposit-Material hergestellt.

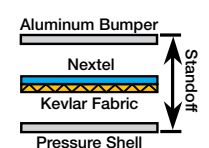
Als Werkstoffe für entfaltbare Strukturen eignen sich leichte Materialien mit hoher Form- bzw. Konturgenauigkeit, hoher Steifigkeit, niedriger Dichte mit hohem Elastizitätsmodul, hoher Langzeitstabilität, geringer thermischer Veränderbarkeit und geringem Ausdehnungskoeffizienten.

Bei der Auswahl der Materialien für Wohneinheiten muss darauf geachtet werden, dass sie keine giftigen Substanzen durch Ausgasen verursachen. Daher ist die Verwendung von Aluminium am besten geeignet. Des Weiteren muss auf entflammbare Materialien verzichtet werden.

Die formanpassungsfähigen Materialien, die für Raumanzüge verwendet werden, wie Kevlar®, 3MTMNextelTM, Mylar® sowie Dacron® dienen auch für entfaltbare Systeme (Abb. 3.4-4 und Abb. 3.4-6).

Als intelligente Materialien bezeichnet man Strukturen, die in der Lage sind ihre ursprüngliche Form wieder anzunehmen bzw. die sich selbst heilen können. Einrichtungen wie ILC Dover und Aspen Aerogels™ entwickeln viskoelastische Gels, die als ein sich selbst heilendes Dämmmaterial fungieren.





Typical Glass Windowpane Design

Abb. 3.4-1: Wandaufbau

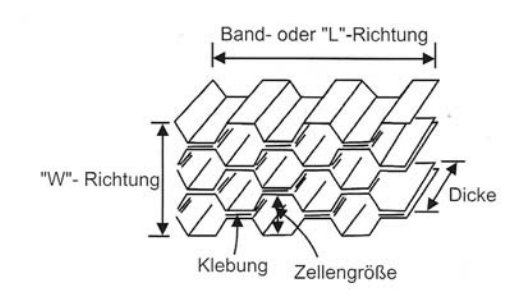




Abb. 3.4-2: Sandwich-Bauweise Abbildung 3.4-1: Wandaufbau

Abbildung 3.4-2: Sandwich-Bauweise

US-Space Command; www.spacecom.mil http://www.au.af.mil/au/awc/awcgate/usspc-fs/space.htm

sehr leicht und können stark beansprucht werden; durch Faserverstärkung besitzen sie ein günstiges Festigkeitsverhalten; sie sind jedoch äußerst strahlungsempfindlich und können eventuell giftige Gase entsenden

sehr spröde, geringes spezifisches Gewicht, hohes Wärmeaufnahmevermögen

und hohe Festigkeit - jedoch giftig für die Lunge

Honeycomb Core (engl.) mit integrierten Leitungen zur thermischen Kontrolle Wabenkern ...

Kevlar ... hoch beanspruchbares, aber extrem leichter Faserstoff von DuPont entwickelt Nextel ... hoch beanspruchbares keramisches Textil

transparente hoch beanspruchbare Polyethylenterephthalat-Polyesterfolie von DuPont Mvlar ... Dacron ... hoch beanspruchbares Polyester-Gewebe

Intelligente Materialien bzw. smart materials ... http://www.memory-metalle.de

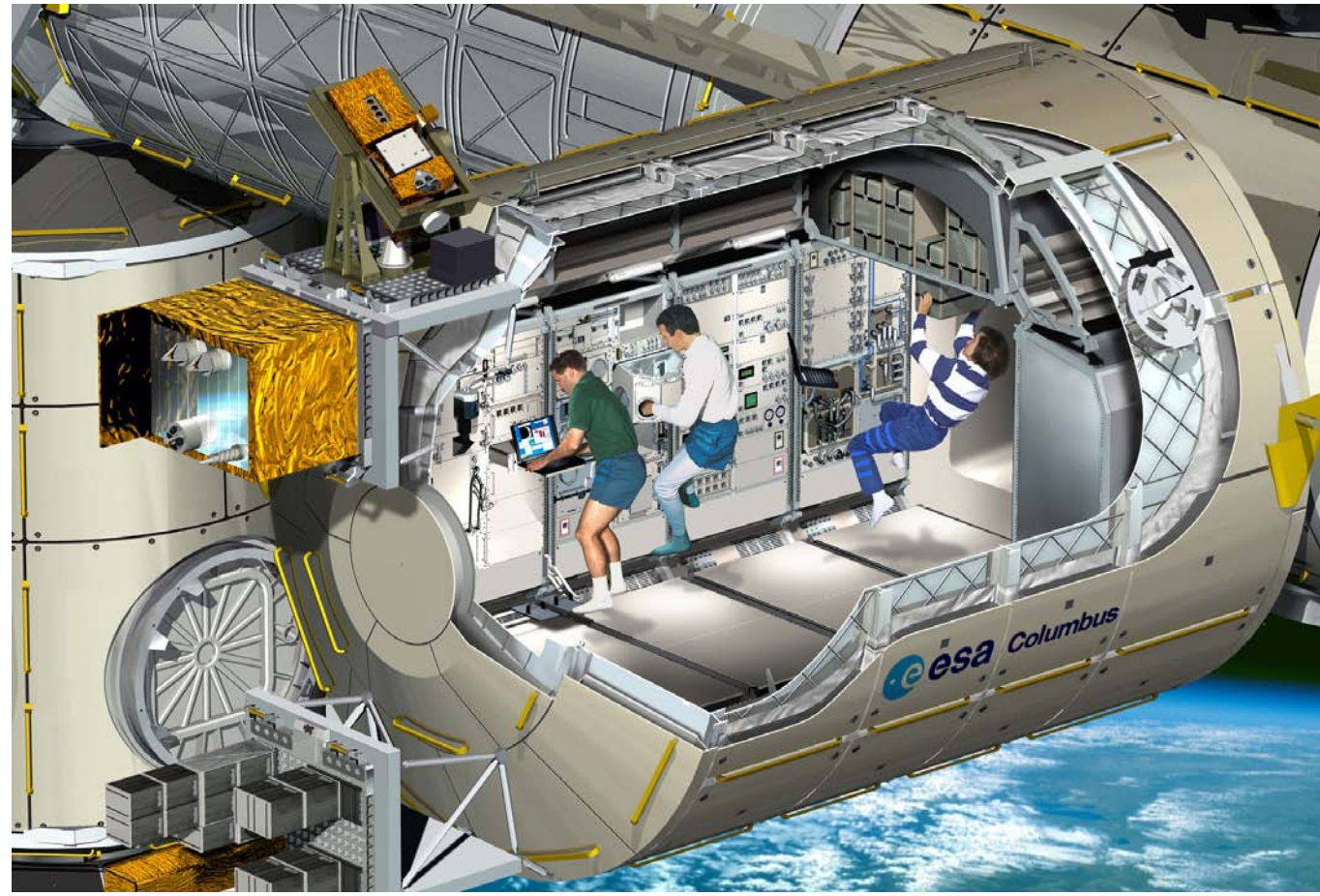


Abb. 3.4-3: Columbus-Labormodul

Windows 2 Places Kevlar Restraint Layer MOD Shielding Redundant Bladders External Thermal Blanket Internal Scuff Barrier

Abb. 3.4-5: Layerstruktur

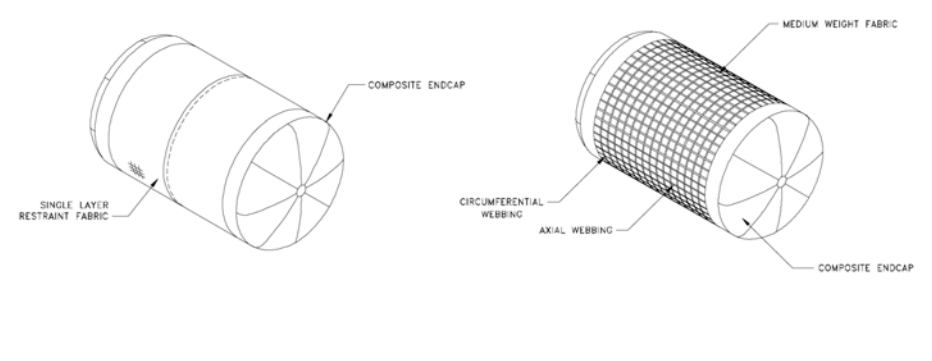




Abb. 3.4-6: Raumanzug

Abb. 3.4-4: Wandaufbau

Abbildung 3.4-3: Columbus-Labormodul @ ESA Abbildung 3.4-4: Wandaufbau @ Ilcdover ... "inflatable composite habitat"

Abbildung 3.4-5: Layerstruktur Abbildung 3.4-6: Raumanzung

Versorgungssysteme der Raumstation

Um die Station und ihre Bewohner am Leben zu erhalten bedarf es einer komplexen Haustechnik, die über Energie- und Luftversorgungssysteme sowie über ein organisiertes Verteilungs- und Lagermanagement verfügt.

Ein thermisches Kontrollsystem besteht aus Dämmung, Heizung, Pumpen, Wärmetauschern, Heizrohren, Radiatoren sowie Gefriertrocknungsanlagen.

Energiegewinnung:

Die Energieversorgung der Raumstation erfolgt über ein Verteilersystem mit Leitungen von Stromerzeugern bishin zu Stromabnehmern.

Die Bereitstellung ist durch Solarenergieanlagen gegeben. Steht die Station im Erdschatten, so muss die Energieversorgung aus Speichermassen stattfinden. Daher muss ein Versorgungssystem, das auf Solarkollektoren basiert in der Lage sein, ausreichend Energie zu speichern.

Damit Auswegmöglichkeiten gegeben sind, ist eine Unterteilung in kleinere Systemeinheiten sinnvoll. Die Stromkreisläufe sollten von mehreren verschiedenen Energiequellen gespeist werden, damit das System nicht ausfallgefährdet ist.

Eine Solarzelle besteht aus zwei Schichten Silizium, die durch Zusatz von Bor und Phosphor absichtlich verunreinigt werden. Jede Schicht weist unterschiedliche elektrische Eigenschaften auf durch die ein elektrisches Feld, welches zwischen den Metallkontakten der Solarzelle eine elektrische Spannung erzeugt, aufgebaut wird. Die Haltbarkeit ist begrenzt und daher muss ein Austausch der Elemente möglich sein.

Eine weitere Option der Energiegewinnung ist die Kopplung von Solartechnik mit Wasserstofftechnik. Dabei wird Solarenergie in elektrischen Strom umgewandelt, der wiederum durch Elektrolyse Wasser in Wasser- und Sauerstoff umwandelt.

Bei solardynamischen Generatoren wird Solarenergie mittels Parabolspiegel eingefangen, gebündelt und in Wärmestrahlung umgewandelt. Mit einem Turbinen-Generator wird Wärme in elektrischen Strom umgewandelt. Dabei entsteht Abwärme, die wiederum auch genutzt werden könnte.

Eine bislang riskante Art der Energiegewinnung erfolgt über Kernspaltung. Dabei wird nukleare Energie über thermische oder thermisch-mechanische Zwischenenergiestufen in elektrische Energie umgewandelt. Dies bringt allerdings ein erhebliches Sicherheits- und Gesundheitsrisiko mit sich. Bei der Kernfusion erfolgt die Energiegewinnung durch Kernschmelzung von Atomen. Eine kommerzielle Nutzung dieses Systems wird vermutlich erst ab 2050 möglich sein.

Lebenserhaltungsysteme:

Es bedarf daher einer Entwicklung eines Lebenserhaltungssystems im Vakuum, das lebensnotwendige Gase und dergleichen liefert, aber auch durch

den Menschen erzeugte Abfallprodukte recycelt, nämlich durch Verwendung offener bzw. geschlossener Systeme.

Lebenserhaltungssysteme basieren auf regelmäßiger Sauerstoffzufuhr, Kohlendioxidabfuhr, Innendruckkontrolle, Temperaturkontrolle und Luftfeuchtigkeitsregelung.

Aufgabe der technischen Systeme ist die Erzeugung und Aufrechterhaltung einer geregelten Bordatmosphäre. Die künstlich geschaffene Atmosphäre auf einer Raumstation kann zu 21% $\rm O_2$, 78% $\rm N_2$ bei einem Druck von 101,3 kPa bestehen. Zuviel Sauerstoff in der Luft ist reines Gift für die Besatzung. Kohlendioxid entsteht als Abfallprodukt beim Ausatmen und muss durch das Belüftungssystem abgeführt werden. Ein erhöhter Kohlendioxidanteil in der Luft führt zu Kopfschmerzen, Müdigkeit, erhöhten Pulswerten und kann unter Umständen bis zu Vergiftungserscheinungen führen.

Die Luftfeuchtigkeit ist von der Temperatur abhängig und kann zwischen 25% und 75% liegen. Zu hohe Luftfeuchtigkeit führt zur Bildung von Pilzen und Bakterien, zu geringe Luftfeuchtigkeit führt zur Austrocknung der Atmungsorgane sowie zu Augenentzündungen. Die Regulierung der Luftfeuchte kann auch mittels wasserabsorbierender Membran erfolgen.

Der Erwärmungsbedarf einer Person wird bestimmt durch den Bewegungszustand, die Anpassungsfähigkeit, das Geschlecht, das Alter, den Gesundheitszustand, die Schwankungen im Tagesrhythmus, die ethnische Zugehörigkeit, die Bekleidung sowie den Gemütszustand.

Luftverschmutzung entsteht durch Partikelchen wie Farbe, Hautzellen, Fussel, Staub, Essensreste und dergleichen. Da Gefahr besteht feine Partikel zu inhalieren, sollten Filteranlagen eingesetzt werden.

Selbstversorgende Systeme

Für kürzere Auftenhalte von nur wenigen Tagen im All genügt der Einsatz von offenen, nicht regenerativen Systemen. Hierbei muss für die Versorgung von acht Personen bei einem Aufenthalt von 90 Tagen mit 8 505 Tonnen Gütern (Tank, Lebensmittel, Wasser, ... inkl. Verpackungen) plus einen zusätzlichen Reservevorrat von 2552 Tonnen für 30 Tage gegeben sein.

Daher ist die Verwendung von geschlossenen Systemen am effizientesten, welche Luft, Wasser-, Nahrungs-, Energieversorgung und Entsorgung durch Rückgewinnung in einem Kreislauf binden.

Die Sauerstoffrückgewinnung erfolgt durch den sogenannten Sabatierprozess. Dabei werden Abfallprodukte wie Kohlendioxid und Wasserstoff mittels Sabatier-Reaktor in Wasser und Methan umgewandelt. Aus dem gewonnenen Wasser kann Sauerstoff gespalten werden. Jedoch sollte für Notfälle zur Sicherheit eine doppelte Sauerstoffversorgung verfügbar sein. Das anfallende Methan kann für Treibstoff verwendet werden. Zum Abbau von Kohlendioxid in der Atemluft und zur Produktion von Sauerstoff können auch Chlorella-Algen eingesetzt werden.

Die Lebensdauer von Raumstationen ist mit 10 - 30 Jahren zu bemessen.

Geschlossene Systeme besitzen Anlagen zur Wasser- und Urinaufbereitung. Durch Entfeuchtung der Kabinenluft entstehen etwa 1,5 I Wasser sowie pro Tag und Astronaut 1,3 I Urin, die durch Wiederaufbereitung dem System zugeführt werden.

Das Wassermanagementsystem enthält für die Entsorgung von nicht-wiederverwendbarem Abwasser ein Abblassystem in den Weltraum, Wasserspeicher, ein Wasserverteilersystem, Wasseraufbereitungsanlagen, Urinaufbereitungskonzepte sowie ständige Qualitätsprüfungsprozesse des Frischwassers. Das Wasserverteilersystem beinhaltet eine zentrale Wasseraufbereitungsanlage für Kondensat, ein Abwassernetz und ein Frischwassernetz. Die Wasserspeicherung kann auch in der flexiblen Außenhülle stattfinden und würde somit auch zum Strahlenschutz beitragen.

Bei teilweise geschlossenen Systemen wird nur ein Teil des Abwassers mittels Filteranlage gereinigt und als Trinkwasser aufbereitet - der Rest wird entweder als Brauchwasser verwendet oder entsorgt.

Die Wasseraufbereitungsanlage besteht aus Filtersystem, Pumpe, Salzlaugenbecken, Dampfdestillator und Schlammfilter. Produziertes Trinkwasser wird anschließend mit Mineralien versetzt und mit Jod oder Silberoxid haltbar gemacht. In der Wiederaufbereitung wird zwischen biologischem und chemischem Abwasser unterschieden.

Regenerierung von Abfall kann entweder durch physikalisch-chemische Prozesse oder durch bioregenerative Prozesse erfolgen, dabei würden Gewichtseinsparungen erreicht werden.

Geschlossene regenerative Systeme sind derzeit noch in Entwicklung - für Langzeitmissionen sind sie jedoch erforderlich. Abfallbeseitigung erfolgt entweder durch Ausstoßen ins All oder Rücktransport zur Erde bzw. auf einen anderen Planeten. Abfallprodukte können durch die Verwendung von umweltfreundlichen, essbaren, wiederverwendbaren oder auflösbaren Verpackungen vermieden werden. Müll kann auch durch Verbrennung mittels "Schwel-Brenn-Verfahren" entsorgt werden und eventuell zur Energiegewinnung genutzt werden.

Die Nahrungsmittelerzeugung im Weltraum stellt derzeit noch ein Problem dar, obwohl die Zukunft von gesteuerten künstlich geschaffenen Ökosystemen spricht. Pflanzenwachstum in der Schwerelosigkeit erfolgt sehr rasch, aber kreuz und quer, weil es weder ein Unten noch ein Oben gibt. Bei Erzeugung von künstlicher Schwerkraft könnte ein geregeltes Pflanzenwachstum erzielt werden. Auch die *Fischzucht* stellt in der Schwerelosigkeit kein Hindernis dar - ganz im Gegenteil. Fische könnten auch in Luftkammern mit ausreichender Luftfeuchtigkeit gehalten werden und Algen können als Futtermittel dienen. Sogar eine normale Fischzucht von einigen Fischarten im Becken wäre möglich.

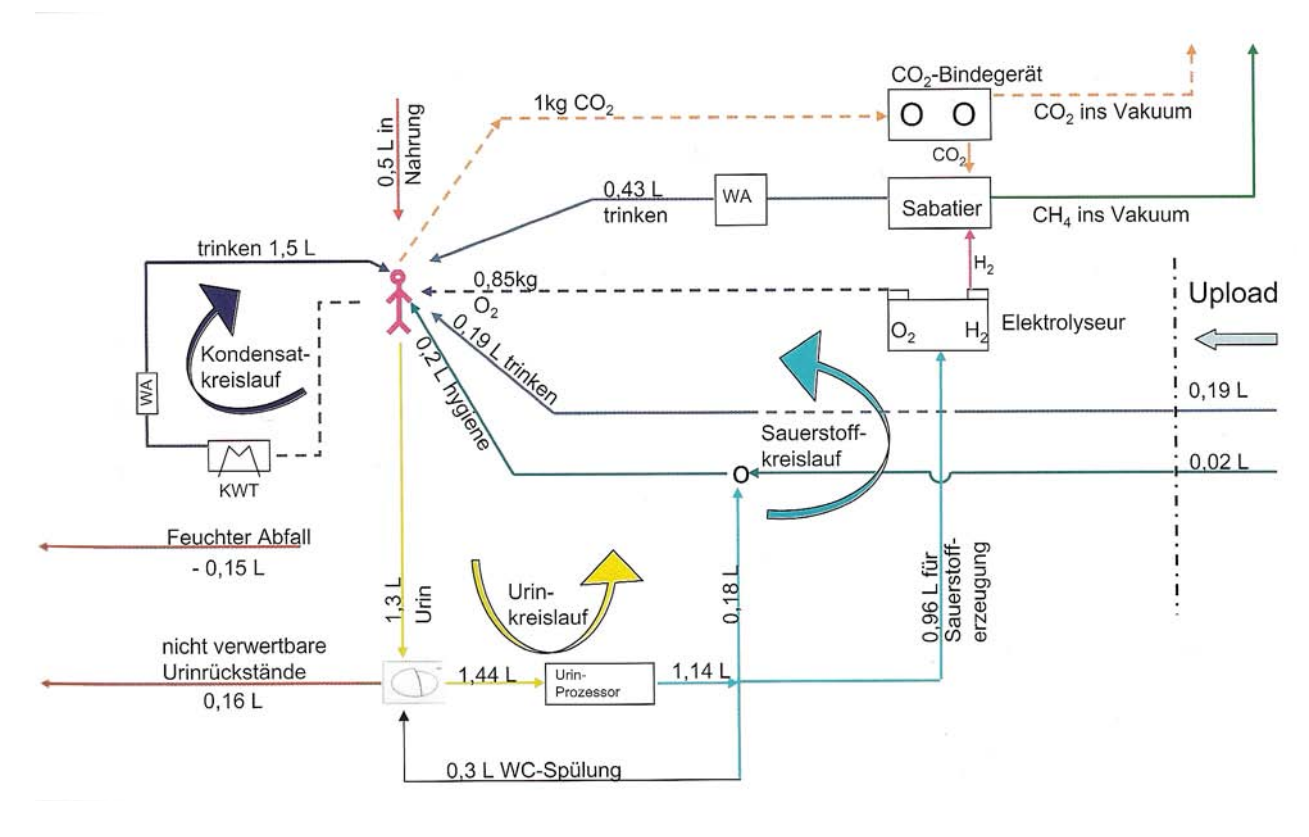


Abb. 3.4-7: geschlossene Bordsysteme

Fischzucht ... Hydroponic Fish

NASA CELSS Programm: Erstellen von bioregenerativen Systemen für die Raumfahrt - geschlossene Lebenserhaltungssysteme sowie Nahrungsproduktion (hauptsächlich aus Pflanzen), Versuche mittels "Plant Growth Chamber" über Pflanzenwachstum in geschlossener Umgebung BioHome Projekt des Stennis Space Centers - eines der ersten geschlossenen Umweltsysteme

Platzbedarf

Der Lebensraum auf einer *Raumstation* ist aufgrund wirtschaftlicher und technischer Gegebenheiten äußerst begrenzt.

Dieser beschränkte verfügbare Raum ist einer Überlagerung von Funktionen unterworfen. Daher wird die Miteinbeziehung von Architekten in Bezug auf Wohnlichkeit ein Thema bei der Konzeptionierung von künftigen Raumstationen sein.

Bei der Planung eines Schlafbereichs in der Schwerelosigkeit müssen einige Faktoren berücksichtigt werden. Aufgrund des Wegdriftens durch Ausatmen in Schwerelosigkeit sollte der Raumfahrer die Möglichkeit besitzen sich festschnallen zu können. Dies kann durch Schlafsäcke, die eng zur Wand gedrückt positioniert werden oder in sargähnlichen Schlafzellen, wie es beispielsweise im Space Shuttle der Fall ist, ermöglich werden. Die Schlafkoje sollte über mehrere Taschen, Frischluftdüsen beim Kopfende und Lüftungsschlitze beim Fußende verfügen.

Laut NASA entspricht der erforderliche Platzbedarf zum Schlafen bei einer 90-tägigen Mission dem Richtwert von 1,5 m³ zum Schlafen sowie 0,63 m³ für die Aufbewahrung persönlicher Gegenstände.

Enormer Platzbedarf wird von Lagerung diverser Utensilien, Essenszubereitung, Essplatz, Kühlanlagen, Tiefkühler, Geschirrdepot, Geschirrspüler, Abfallmanagement und sonstige Gegenständen, wie z.B. Dokumentationsequipment oder Werkzeug für Reparaturen an Bord in Anspruch genommen.

Es sollte den Raumfahrern ein Essplatz bzw. Schreibtisch für Freizeitaktivitäten wie Lesen, Fernsehen, Musikhören, Spielen etc. zur Verfügung stehen.

Raumbedarf muss auch für Hygieneeinrichtungen, sowie für das Zubehör zur Körperreinigung für jedes Crewmitglied eingeplant werden.

Vorgesehener Platzbedarf für Kleidung, die alle fünf Tage gewechselt wird sowie für Waschtrockner und Waschmittel steht in Relation zur Missionsdauer und Personenanzahl. Es werden somit 5 kg Wäschebedarf pro Person und Tag eingerechnet.

Einen besonderen Stellenwert bei Langzeitmissionen nehmen medizinische Versorgungseinrichtungen ein.

Es muss genügend Raum für Diagnose, Behandlung, Übungsmaßnahmen, Überwachung von Gefahrenquellen durch Strahlungsdosen, Chemikalien, etc. zur Verfügung stehen.

Für Langzeitmissionen werden 1000 kg für Equipment und 500 kg für Medikamente pro Wohneinheit eingeplant. Das entspricht einem Platzbedarf von 6,5 m³.

Neben dem Equipment, zu dem Erste-Hilfe-Ausrüstung, Katheterausrüstung inkl. Defibrillator, Stethoskop, Blutdruckmesser, Stablampe, Fieberthermometer, Einwegspritzen, Bandagen, Klebebänder, diverse Medikamente vor allem gegen Übelkeit und Schmerzen zählen, muss auch Platz für Dekompressi-

onskammern mit zusätzlichem Stickstoff und Sauerstoff verfügbar sein. Die medizinischen Einrichtungen sollen für Notoperationen, Behandlung, Vorsorge und Kontrolle sowie auch für alternative Heilungsmethoden ausgerüstet sein. Von der NASA wurde ein Programm zur Gesundheitserhaltung entwickelt. Die sogenannte "Health Maintance Facility" (HMF) umfasst eine dreh- und schwenkbare Liege, OP-Lampe, Überwachungsmonitor und diverse Lebenserhaltungssysteme. Geplant sind auch die Unterbringung von Magen- und Darmspiegelungssonden, Absaugschläuchen, Röntgengerät und Operationsbesteck.

Raumfahrzeug	Crewgröße	Druckvol.	Nutzvol.	Wohnvol.	Stauraum
Mercury	1	1,42 m ³	0,71 m ³	0,71 m ³	
Wostok	1 2	2,55 m ³	2,0 m ³	2,0 m ³	?
Gemini	2	2,27 m ³	1,15 m ³	0,57 m ³	0,42 m ³
Woschod	2-3	4,85 m ³	3,68 m ³	1,23 - 1,84 m ³	?
Apollo			10 / 10	1,20 1,011	2,12 m ³
- Kommandoeinheit	3	8,95 m ³	7,27 m ³	2,41 m ³	2,12 111
- Mondlandeeinheit	2	6.63 m ³	5,25 m ³	2,62 m ³	
Sojus		3 3 3 3 3 4 4 4		2,02	?
- Kommandoeinheit	1-3	4,31 m ³	3,96 m ³	1,32 - 3,96 m ³	
- Orbitmodul	1-3	6,22 m ³	4,53 m ³	1,51 - 4,53 m ³	
Skylab			.,00	1,00 111	19,36 m ³
- Apolloeinheit	3	8,95 m ³	7,27 m ³	2,41 m ³	10,00 111
- Gesamtanlage	3	351,06 m ³	316,06 m ³	105,35 m³	
Shuttle			010,00111	100,00 111	
- Kabine	3-7	70,3 m ³	35,6 m ³	5,1 - 11,8 m ³	4,44 m ³
- Spacelab	4-7	81,0 m ³	47,6 m ³	6,8 - 11,9 m ³	7,77 111
Raumstation (Frühversion)	8	900 m ³	700 m ³	30 - 45 m ³	> 100 m ³

Tab. 3.4-1: Raumbedarf-Diagramm

Definition

Raumstation ...
Raumlabor ...

größeres ungebundenes Raumsystem im Orbit, Langlebigkeit und bemannt meist an Trägersysteme (Raumstation oder Raumfähre) gebunden, befristete Missionsdauer Tabelle 3.4-1: Raumgrößen

Wohnlichkeit

Entwürfe von Raumstationen sind von Funktion und Maschinen geprägt und haben bisher die "Wohnlichkeit" stark vernachlässigt.

Bei der Konzeptionierung sollte ein definiertes "Oben und Unten" zur Orientierung für die Besatzung fixiert werden.

In der Schwerelosigkeit ist die Anbringung von Haltegriffen, Stangen oder Seilen notwendig, um sich fortbewegen zu können. Abgerundete Ecken im Raumfahrzeug sollen Verletzungen vorbeugen.

Innerhalb einer Raumstation herrscht ein erhöhter Lärmpegel aufgrund der Technik. Es liegen Frequenzen zwischen 15 000 und 20 000 Htz vor.

Der Innenraum steht für Ruhe und Frieden und durch geschlossene Bebauung wird das Schutzempfinden verstärkt. Blickbezüge nach außen sind äußerst wichtig und müssen daher in die Planung miteinbezogen werden. Der Mensch ist sowohl Einzel- als auch Gemeinschaftswesen, daher sollten ihm Rückzugsbereiche geboten werden.

Licht, Schatten und Farbe haben großen Einfluss auf die empfundene Behaglichkeit im Raum. Es bestehen Zusammenhänge zwischen Farben und deren vegetativen und psychologischen Auswikungen. Farbtherapie wird auch für Heilung und Stärkung eingesetzt und Erfolge verzeichnet.

Farben werden auch zur Signalwirkung eingesetzt. Als typische Warnfarben gelten Gelb und Gelbrot. Elektrische Anlagen werden mit Orange und Orangerot gekennzeichnet. Rot wird für Gegenstände, die im Notfall dienen sollen verwendet. Mit Blau werden Posten für Wartungs- oder Reparaturarbeiten markiert.

Eigene Color-Engineering Firmen arbeiten an der Entwicklung von Farbkonzepten zur allgemeinen Arbeitssteigerung.

Warme und kalte Farben können sogar einen scheinbaren Temperaturausgleich bis zu fühlbaren 4°C erzeugen.

Weiße Farbtöne stehen für Sauberkeit, Hygiene und Klarheit.

Es können sogar Veränderungen in der Raumoptik geschaffen werden. Mit blauen, kühlen Farben wird Ferne assoziiert - mit Braun- und Orangetönen Nähe.

Ein gutes Beleuchtungskonzept trägt erheblich zur Wohnqualität bei. Simuliertes Tageslicht kann zum Vorgeben eines Tagesrhythmuses verwendet werden. Das menschliche Zeitempfinden ist von Licht abhängig und steht in Relation zur Lichtmenge bzw. Lichtenergie.

Ein innovatives Entwurfsbeispiel ist das TransHab Modul für die ISS.

Als erstes aufblasbares Weltraumwohnmodul wurde das Konzept am Johnson Space Center/NASA ausgearbeitet. Aus finanziellen Gründen verkaufte die NASA den Prototyp mit den dazugehörigen Ingenieuren und deren Entwicklungen an die kommerzielle Weltraumfirma *Bigelow*.

Das Wohnmodul besteht aus einem zentralen Kern aus Carbon, welcher über die Versorgungseinrichtungen verfügt. Rund um diesen Kern gliedern sich die drei Ebenen, welche von einer mehrschichtigen faltbaren Außenhaut umgeben sind.

Das Modul verzeichnet einen Gesamtdurchmesser von 8,2 m mit einem Kerndurchmesser von 3 m. Bei einem Volumen von 339,8 m³ und einer Länge von 11 m ergibt sich eine Startmasse von 13,2 Tonnen.



Abb. 3.4-8: TransHab

Wohnlichkeit und Gestaltungsvorgaben (Habitability) Leben und Arbeiten im All Seite 186 ff.

TransHab ...

ursprünglich als Wohnmodul für eine Marsmission gedacht;

Bigelow ...

Weltraumarchitektin Constance Adams war an der Projektentwicklung beteiligt.

http://www.bigelowaerospace.com/

Abbildung 3.4-8: TransHab © NASA

Abbildung 3.1-1: Christian Karl Gruber, Leben und Arbeiten im All, Seite 33, Wissenschaft und Technik Verlag 1996

Abbildung 3.1-2: DI Dr. Hajek und DI Dr. Vana, Atominstitut: Vo Weltraumdosimetrie, Seite 43, TU-Wien 2008

Abbildung 3.1-3: Rachel Armstrong, Space Architecture, Seite 53, Architectural Design 2000

Abbildung 3.1-4: http://upload.wikimedia.org/wikipedia/commons/2/20/Gray784.png

Abbildung 3.1-5: http://www.hno-praxisteam.de/assets/images/ohr0.jpg

Abbildung 3.2-1: http://exploration.grc.nasa.gov/Exploration/Advanced/Human/Exercise/images/OriginalFiles/cycleErgometry.jpg

Abbildung 3.2-2: http://exploration.grc.nasa.gov/Exploration/Advanced/Human/Exercise/images/OriginalFiles/treadmillExercise.jpg

Abbildung 3.2-3: DI Dr. Hajek und DI Dr. Vana, Atominstitut: Vo Weltraumdosimetrie, Seite 47, TU-Wien 2008

Abbildung 3.2-4: http://www.nasa.gov/mission_pages/shuttle/shuttlemissions/sts124/multimedia/gallery/08-07-07-4.html Abbildung 3.2-5: http://exploration.grc.nasa.gov/Exploration/Advanced/Human/Exercise/images/OriginalFiles/project2.jpg

Abbildung 3.2-6: http://exploration.grc.nasa.gov/Exploration/Advanced/Human/Exercise/images/OriginalFiles/resistiveExercise.jpg

Abbildung 3.2-7: Renate Lauterbach, Medusa ... take a spin around the world, Techn. Univ. Wien, Dipl.Arb., 2001 Abbildung 3.2-8: http://www.nasa.gov/centers/johnson/images/content/137192main Food Samples med.jpg

Abbildung 3.2-9: http://www.nasa.gov/centers/johnson/images/content/137193main_Food_Tray_med.jpg

Zitat 3.3-1: Astronaut Thomas Reiter im Interview 16.7.2006, http://www.tagesschau.de/inland/meldung107940.html

Tabelle 3.3-1: Zeitplan nach Angaben im Interview mit Thomas Reiter 16.7.2006, http://www.tagesschau.de/inland/meldung107940.html

Abbildung 3.3-1: http://www.farthestreaches.com/images/polyakovspacesuit.jpg Abbildung 3.3-2: http://en.wikipedia.org/wiki/File:Biosphere2_Inside_big.jpg

Zitat 3.4-1: http://de.wikipedia.org/wiki/Weltraumkolonisierung

http://www.washingtonpost.com/wp-dyn/content/article/2005/09/23/AR2005092301691.html

Abbildung 3.4-1: http://www.nasa.gov/mission_pages/station/main/index.html

Abbildung 3.4-2: Wilfried Ley, Klaus Wittmann und Willi Hallmann, Handbuch der Raumfahrtechnik, Seite 222, Hanser Verlag 2008

Abbildung 3.4-3: http://www.dlr.de/iss/en/Portaldata/1/Resources/portal news/newsarchiv2006/columbus rollout 020506/col iss av.jpg

Abbildung 3.4-4: www.ilcdover.com

Abbildung 3.4-5: http://ssoar.org/university/course/life2.ppt

Abbildung 3.4-6: http://www.ilcdover.com/products/aerospace_defense/space-inflate-techpapers.htm

Abbildung 3.4-7: Wilfried Ley, Klaus Wittmann und Willi Hallmann, Handbuch der Raumfahrttechnik, Seite 419, Hanser Verlag 2008

Tabelle 3.4-1: Christian Karl Gruber, Leben und Arbeiten im All, Seite 295, Wissenschaft und Technik Verlag 1996

Abbildung 3.4-8: http://aerospacescholars.jsc.nasa.gov/HAS/cirr/em/6/8.cfm

Quelle: Vo Weltraumdosimetrie, Sommersemester 2008, DI Dr. Hajek und DI Dr. Vana Psyche und Raufahrt_ Artikel aus Astronomie Heute 09/2007, Allein im All_von Mila Hanke

Musings towards a new genre in (space)- architecture

Transcripts of an architectural journey, Barbara Imhof, Susmita Mohanty, Constance Adams, Sandra Häuplik, Hannes Stiefel, Sue Fairburn

http://www.ilcdover.com/products/aerospace_defense/sh.htm

http://www.aerogel.com/features/morphology.html

http://www.memory-metalle.de

Wilfried Ley, Klaus Wittmann und Willi Hallmann, Handbuch der Raumfahrttechnik, Hanser Verlag 2008

Christian Karl Gruber, Leben und Arbeiten im All, Wissenschaft und Technik Verlag 1996

Wiley J. Larson and Linda K. Pranke, Human Spaceflight, McGraw-Hill 2000

4 Missionsarchitektur

4.1 Positionierung im niedrigen Marsorbit

Überblick

Interplanetare Raumfahrt

Verlassen der Erde

Flug zum Mars

Orbittypen

4.2 Missionselemente des fiktiven Projekts "Concordia"

Platzierung im Marsorbit

Kommunikationssatelliten

Satellit zur Vermessung der Marsoberfäche

Bodeneinheit

4.3 Missionsverlauf des Projekts "Concordia"

Planetenkonstellation

Start: unbemannte Mission

Start: bemannte Mission zur "Concordia"

Überblick

Die Missionsarchitektur setzt sich aus dem Zusammenwirken aller Hauptparameter eines Raumfahrtprogrammes zusammen und soll schließlich zur Erfüllung eines erfolgreichen Missionsziel beitragen.

Konzepte für einen Missionsentwurf beruhen auf den gegebenen Randbedingungen, welche durch Ökonomie, Politik, Strategie und Physik präsent sind. Die Missionsparameter ergeben sich aus Gesamtmasse, Launch System, Anzahl der Flüge, Abläufe, Sicherheits- bzw. Risikofaktoren, Crew Größe, Lebenserhaltungssystemen, Raumanzügen bzw. *EVA*'s, menschlichen Faktoren, Antriebssystemen, thermischer Steuerung, Eintritt in den Orbit, eventuell Landung, Tragsystem, Energieversorgung, wissenschaftlichen Geräten, diversen Fahrzeugen (z.B. Rover), Navigationssystem, Kommandozentrale, Datensystem, etc.

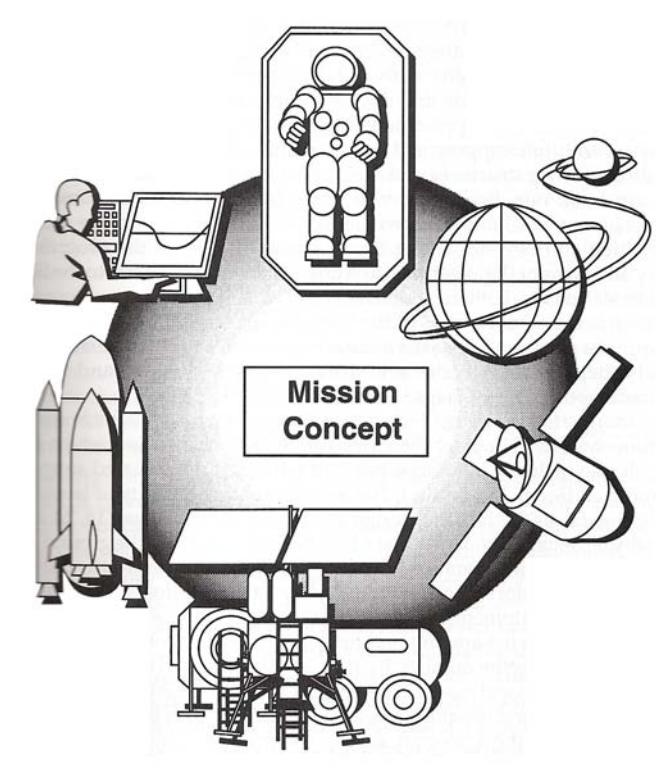


Abb. 4.1-1: Missionskonzept

Bei der Positionierung einer Raumsonde muss eine genaue Zielbestimmung definiert sowie die Navigation im Orbit im Vorfeld geklärt werden. Für bemannte Missionen müssen EVA, Roboterarbeit, thermische Kontrolle, Tragwerk, Mechanismen, Antriebs-, Energie-, Lebenserhaltungs- und Kommunikationssysteme sowie ein ausgereiftes Datennetzwerk in die Planung aufgenommen werden.

Aufwendig konstruierte Raumstationen können zur Erforschung unseres Sonnensystems, als Observatorien mit Großteleskopen, als Transportknotenpunkt oder als Treibstofflager betrieben werden.

Interplanetare Raumfahrt

Als interplanetarer Raum gilt jener Bereich zwischen zwei Planeten, der Kleinskörper und Gase beinhaltet. In unserem Sonnensystem bildet die *Oortsche Wolke* die interplanetare Grenze.

Durch die Ausweitung der Raumfahrt im interplanetaren Raum bieten sich vielerlei Nutzungsmöglichkeiten in Forschung, Astrophysik, Material- und Biowissenschaften sowie volkswirtschaftliche Vorteile in Bezug auf schnelle Technologieentwicklung an.

Bei der interplanetaren Raumfahrt stellt das *Mehrkörperproblem* ein wichtiges Thema dar, weil die Berechnungen auf der Grundlage des Zweikörperproblems basieren. Daher wird vorerst von einem Zweikörperproblem ausgegangen, bei dem noch ein zusätzlicher *Störterm* in die Gleichung miteinbezogen wird. Bei einer Reise zum Mars findet man klarer Weise ein Mehrkörperproblem vor. Man betrachtet hier das Bezugssystem Sonne, Erde, Mond, Mars und andere Raumobjekte mit deren Massen und Abständen zueinander. Beim Vergleich der Werte der Himmelskörper in Bezug auf ihre Masse und Abstände zueinander können Elemente ausgeschlossen werden, um somit wieder ein Zweikörperproblem herstellen zu können.

In der interplanetaren Raumfahrt gibt es zweierlei Betrachtungsweisen für die Bahnberechnung einer Raumsonde. Betrachtet man das System *planetozentrisch*, so wird als Referenzkörper der Planet gewählt. Bei einer *heliozentrischen* Betrachtungsweise gilt die Sonne als Referenzobjekt. Im Bezugssystem Planet, Sonne und Raumfahrzeug ist die Masse des Raumfahrzeuges letztlich zu vernachlässigen. Die Raumsonde befindet sich zum größten Teil im Einflussbereich der Sonne.

Befindet sich ein Körper im Weltraum in der Nähe eines Planeten, so liegt er in dessen *Einflusssphäre*. Die Anziehungskraft der Sonne ist demnach als Störfaktor definiert. Außerhalb des Planetenumfelds steht der Körper im Einflussbereich der Sonne und der Planet (ein anderer Himmelskörper) tritt als Störfaktor auf.

Der Radius der Einflusssphäre $(r_{\rm E})$ der Erde beträgt 924 846 km.

Einflusssphärengleichung für den Mars:
$$r_P = a_M \left(\frac{m_P}{m_S}\right)^{2/5}$$
 [Formel 4.1-1]

 $a_{\scriptscriptstyle M}$... große Halbachse mit 228,0 $\cdot 10^6$ km $m_{\scriptscriptstyle P}$... Planetenmasse beträgt 6,419 $\cdot 10^{23}$ kg $m_{\scriptscriptstyle S}$... Sonnenmasse beträgt 1,989 $\cdot 10^{30}$ kg

Für die Einflusssphäre des Mars erhält man einen Radius von 577 388 km.

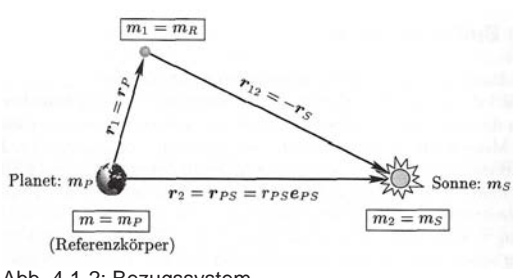


Abb. 4.1-2: Bezugssystem

EVA ... "extra vehicular activity" - Außenbordeinsatz

Abbildung 4.1-1: Missionskonzept

Oortsche Wolke ... Mehrkörperproblem ... Störterm ...

besteht aus langperiodischen Kometen

eines der schwierigsten mathematischen Probleme in der Himmelsmechanik Einflüsse anderer Raumkörper werden beim Mehrkörperproblem als Störterm in der Gleichung erfasst, um ein Zweikörperproblem rechnerisch zu lösen Umgebungsbereich eines Planeten, in dem Kräfte wirken

Einflusssphäre ...

Formel 4.1-1: Einflusssphärengleichung Abbildung 4.1-2: Bezugssystem

Verlassen der Erde

Das Verlassen der Erde und ihrem Magnetfeld erfordert den meisten Aufwand und Energie. Der Start von der Erdoberfläche bis in den Weltraum erfolgt hauptsächlich über ein mehrstufiges Raketensystem. Diese Methode verbraucht Unmengen an Treibstoff und hinterlässt leere Behältnisse im Weltraum.

Die derzeitigen Raumfahrtsysteme werden mittels Raketen betrieben. Die physikalische Rakete besteht aus einem Raketenmotor. Dabei wird mittels Ausströmen von einem unter Druck stehendem Gas oder einer Flüssigkeit durch ein Ventil Schub erzeugt.

Beim Abschießen befindet sich die Rakete in einer senkrechten Startposition, um das Wirken des Luftwiderstands möglichst gering zu halten. Ist das Flugobjekt im Orbit angelangt, nimmt es jedoch eine waagrechte Position ein.

Bei prograden Orbits erfolgt der Start in Richtung Osten und bei retrograden Orbits in Richtung Westen.

Ein optimaler Startplatz befindet sich in Äquatornähe, da von dieser Abschussposition fast alle Orbits erreichbar sind und die Energie der Erdrehung, beim Start Richtung Osten, miteinbezogen werden kann.

In der Raumfahrt werden hauptsächlich chemische Antriebe verwendet. Dabei werden durch Verbrennung eines Treibstoffs heiße Abgase erzeugt, die über eine Düse ausgestoßen werden. Dadurch wird ein Schub mit Ausströmgeschwindigkeiten zwischen 1 000 und 4 500 m/s erzeugt.

Zur Verbrennung des Treibstoffs benötigt man einen Oxidator, z.B. Sauerstoff, der beim Flug ins Weltall zusätzlich mitgeführt werden muss.

Es wird weiters zwischen Flüssigkeits- und Feststoffraketen unterschieden. Feststoffraketen sind zwar billiger, jedoch kann der Abbrennvorgang nicht beeinflusst werden.

Sie erreichen eine Ausströmgeschwindigkeit von ca. 2000 m/s. Beispielsweise werden beim US-Space Shuttle zum Start Feststoffbooster mittels Komposittreibstoff aus 68% Aluminiumpulver, 16% Ammoniumperchlorat (als Oxidator), Polybutadien und 16% Additive (als Bindemittel) verwendet.

Flüssigkeitsraketen zeichnen sich durch die Verbrennung flüssiger Treibstoffe, wie Kerosin oder flüssigem Wasserstoff aus. Die Beschaffenheit dieser Raketen erweist sich komplizierter als bei Feststoffraketen.

Wie bei den Festoffraketen wird auch bei Flüssigkeitsraketen Treibstoff mittels eines Oxidators verbrannt. Hierzu wird oftmals die Kombination flüssiger Wasserstoff und flüssiger Sauerstoff verwendet. Diese Kombination wird zum Beispiel für das Haupttriebwerk des Space Shuttles, der *Ariane-V*, eingesetzt. Dabei wird eine Ausströmgeschwindigkeit von etwa 4500 m/s erreicht.

Der Aufbau des US-Space Shuttles gliedert sich in Feststoffbooster, ein regelbares Haupttriebwerk und Steuerungstriebwerke am Orbiter. Der Startschub von je 1 200 Tonnen wird von den beiden Feststoffboostern

LH ... flüssiger Wasserstoff LOX ... flüssiger Sauerstoff

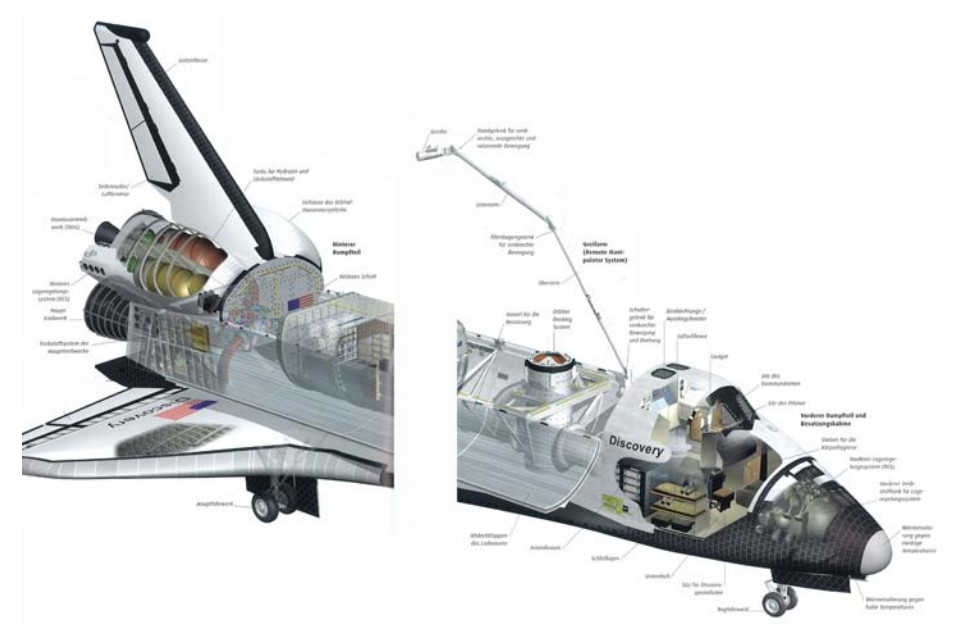


Abb. 4.1-3: Shuttle Orbiter

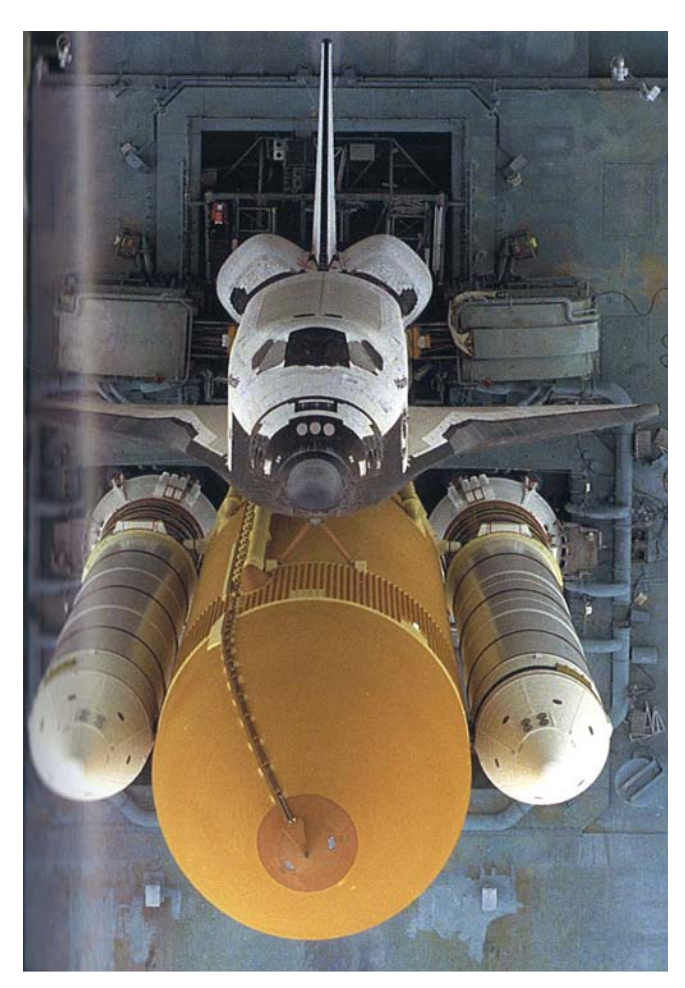


Abb. 4.1-4: US-Space Shuttle System

Abbildung 4.1-3: Shuttle Orbiter Abbildung 4.1-4: US-Space Shuttle System erzeugt. Sie erzeugen den hauptsächlichen Schub des gesamten Raketensystems des Shuttles. Während des Brennvorgangs brennt der Treibstoff radial ab. Beim Startvorgang treten in der Raketenhülle Biegeschwingungen auf, daher muss bei der Konstruktion ein Ausgleich durch Anbringung zweifacher Dichtringe gegeben sein.

Das regelbare Haupttriebwerk wird von einem Außentank (*External Tank "ET"*) gespeist und erzeugt einen maximalen Schub von 3 x 232 Tonnen.

Der Außentank ist zweiteilig und besteht zum Einen aus Sauerstoff und zum Anderen aus Wasserstoff.

Für Orbitalmanöver dienen kleinere Steuerungstriebwerke, die den nötigen Schub für Bahnkorrekturen, Bremsung, Drehen, etc. erzeugen.

Zurzeit gibt es kein wirtschafliches und ökologisches wiederverwendbares Raketensystem. Das System des US-Space Shuttles sowie des russischen Energia-Buran Programms ist nur zum Teil wiederverwendbar, zumindest der Orbiter (Abb.4.1-4). Beim Space Shuttle werden die zum Start erforderlichen Feststoffbooster wieder aus dem Meer gefischt, gereinigt und können somit einige Male wiederverwendet werden. Allerdings ist der Aufwand, der hinter dieser Sache steckt, enorm groß und stellt die eigentliche Ökonomie sehr in Frage.

Weitere Beispiele für wiederverwendbare Fracht- und Personenschiffe sind: SpaceShipOne gilt als erstes bemanntes privates wiederverwendbares suborbitales Raumfahrzeug.

Die russische *Raumfähre Klipper* ist ein Frachtschiff für den niedrigen Erdorbit - ausgelegt für sechs Kosmonauten und soll 2012 ihren Jungfernfllug starten. Der Raumgleiter *Dream Chaser* ist das Folgeprogramm des Space Shuttles und soll ab 2010 künftig für den bemannten Transport zur ISS eingesetzt werden.

Um von der Erdoberfläche aus starten zu können, muss die erforderliche Fluchtgeschwindigkeit für eine parabolischen Flugbahn (e=1) erreicht werden.

$$v_{esc} = \sqrt{\frac{2\,\mu}{r_p}}$$
 $r_p \approx Erdradius$ [Formel 4.1-2] $\mu_{Erde} = 3,986 \ 10^{14} \ [m^3/s^2]$

Daraus ergibt sich eine Fluchtgeschwindigkeit von 11,2 km/s, die auch 2. kosmische Geschwindigkeit genannt wird.

Bei der 1. kosmischen Geschwindigkeit handelt es sich um die Kreisbahngeschwindigkeit in einem erdnahen Parkorbit und sie liegt bei $v_k = 7900 \text{ m/s}$.

Der aufzubringende Startschub Δv_{start} , um die Einflusssphäre der Erde verlassen zu können, kann mit Hilfe des Energiesatzes ermittelt werden. Im Vergleich zum Anfangsradius r_{start} mit beispielsweise 6378 km wirkt der

Radius der Einflusssphäre der Erde unendlich groß.

Zum Verlassen eines kreisförmigen Orbits muss eine tangentiale Beschleunigung von Δv_{start} aufgebracht werden.

 $\Delta v_{start} = v_{start} - \sqrt{\frac{\mu_E}{r_{start}}}$ [Formel 4.1-3]

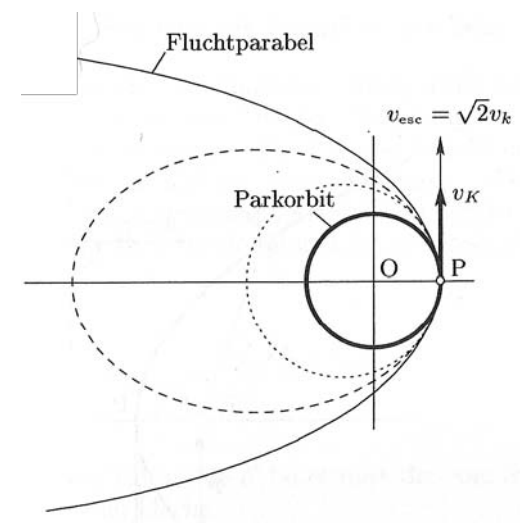


Abb. 4.1-5: Parkorbit

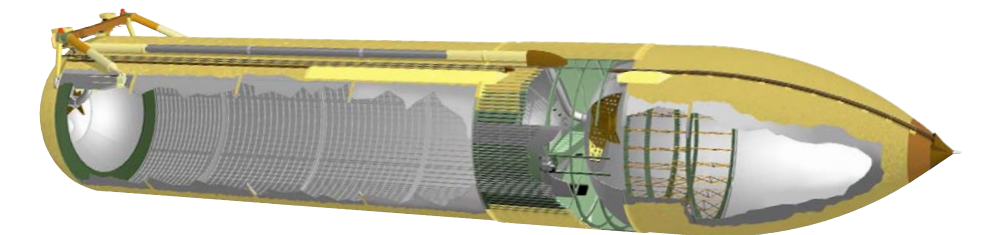


Abb. 4.1-6: ET

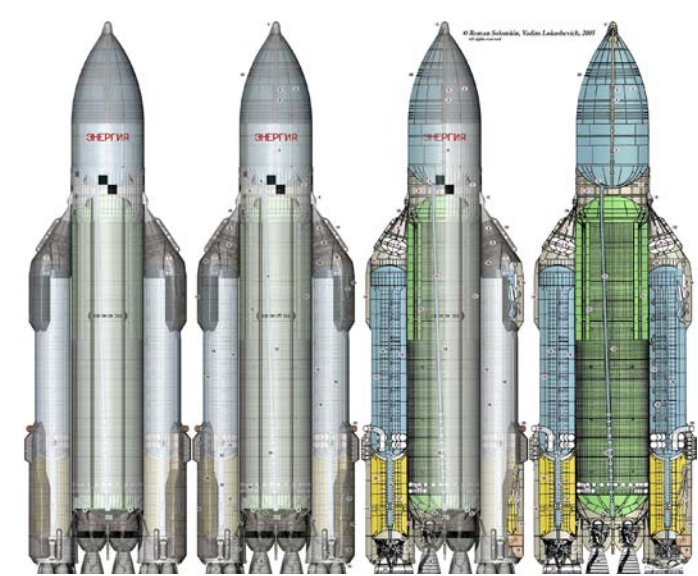


Abb. 4.1-7: Energia

Formel 4.1-2: Fluchtgeschwindigkeit

External Tank ... Treibst SpaceShipOne ... 2004 v

Treibstofftank des US-Space Shuttles

... 2004 von der Firma Scaled Composites privat gegründet Vorstoß in den Weltraum, jedoch in keine Umlaufbahn wiederverwendbares Transportfahrzeug

Klipper ... Dream Chaser ...

suborbital ...

Raumfähre ...

teilweise wiederverwendbares Raumgleitersystem von Roskosmos entwickelt von dem privat finanzierten Unternehmens SpaceDev entwickelt

Formel 4.1-3: tangentiale Beschleunigung

Abbildung 4.1-5: Parkorbit Abbildung 4.1-6: ET © NASA Abblidung 4.1-7: Energia

Flug zum Mars

Um die lange Reise zum Mars antreten zu können bedarf es einer genauen Kalkulation der orbitalen Manöver im Vorfeld der Mission.

Die Steuerung eines Raumfahrzeuges erfolgt mittels impulsiver Manöver, bei denen durch Zündung der Triebwerke zu einem bestimmten Zeitpunkt Schub erzeugt wird, der die Sonde auf eine andere Flugbahn befördert.

Die Wahl bzw. die Zusammensetzung der Flugbahn sowie der Antriebssysteme bestimmen die Dauer der Flugzeit.

Eine weitere Aufgabe beim Manövrieren von Raumfahrzeugen ist der Wechsel der Orbitalebene, wie es bei solaren Umlaufbahnen der Fall ist. Dazu sind ebenfalls drei Impulsmanöver, in denen der Ebenenwechsel stattfindet, notwendig.

Eine Möglichkeit zum Erreichen eines interplanetaren Zielorbits bieten $\it Bi-elliptische Transfers$ (Abb. 4.1-8). Dabei wird das Raumfahrzeug durch Aufbringung des Schubs $\it \Delta v_1$ über den Zielorbit hinaus auf einer elliptischen Bahn gebracht. Durch Aufbringen eines zweiten Schubs wird der Sonde nochmals Geschwindigkeit zugeführt, um dabei in einer weiteren Transferellipse auf Kurs gehalten zu werden. Im Kreuzungspunkt Transferorbit und Zielorbit muss ein drittes Manöver $\it \Delta v_2$ zum Abbremsen von $\it Perigeumsgeschwindigkeit$ auf Kreisbahngeschwindigkeit durchgeführt werden.

Der gesamte Geschwindigkeitsbedarf setzt sich aus der Summe aller Schübe zusammen.

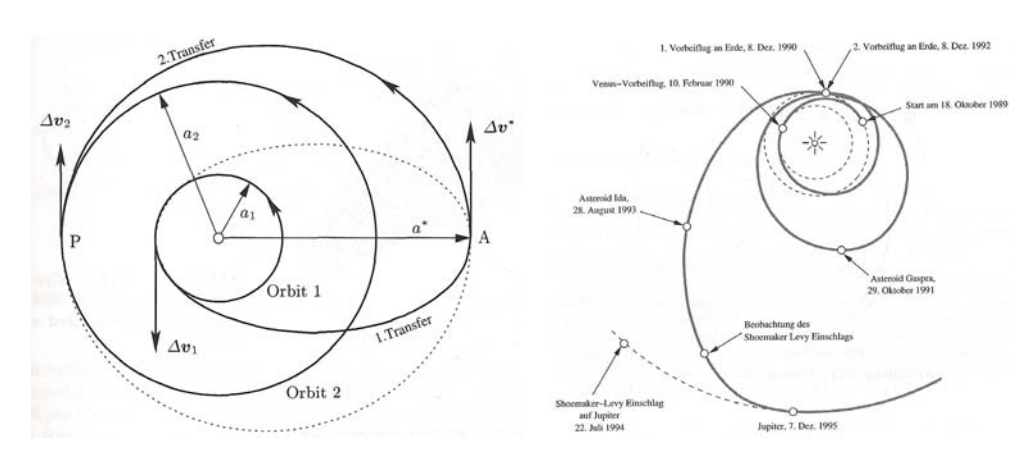


Abb. 4.1-8: Bi-elliptischer Transfer

Abb. 4.1-9: Gravity-Assist-Manöver

Eine weitere Steuerungsoption ist das *Gravity-Assist-Manöver* (Abb. 4.1-9). Dabei wird der Einfluss der Gravitationsfelder für die Verringerung bzw. Erhöhung der heliozentrischen Fluggeschwindigkeit genutzt. Durch dieses Manöver kann gezielt Einfluss auf den Treibstoffbedarf, auf Kosten einer längeren Flugdauer, genommen werden.

Der Hohmann-Transfer (Abb. 4.1-11) besteht aus zusammengesetzten konischen Flugbahnen, die optimal gewählt sind, sodass ein geringer Treibstoffverbrauch erzielt wird.

Unter Verwendung eines elliptischen Übergangsorbit ist es möglich von einem Kreisorbit in einen anderen zu gelangen. Dieses Manöver ist durch die Anwendung von zwei Impulsen Δv_1 und Δv_2 durchgeführt.

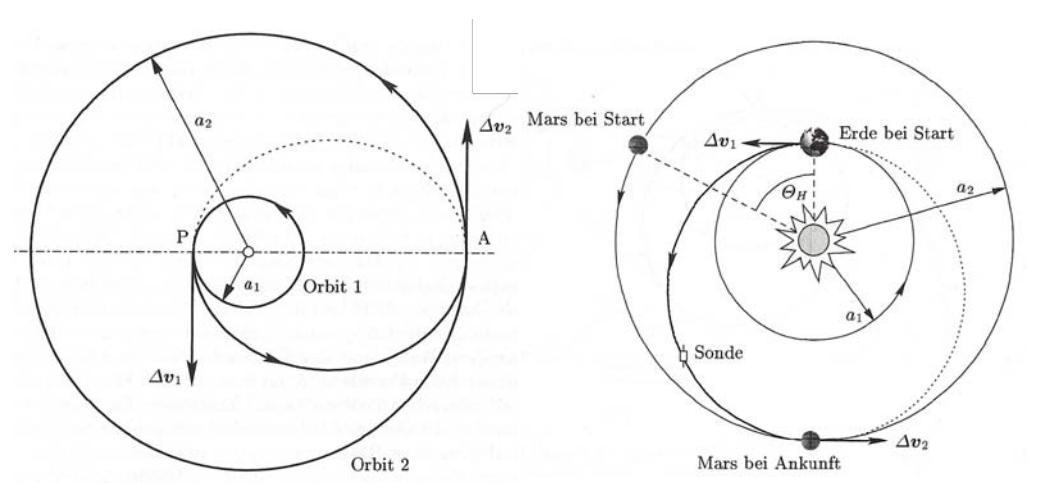


Abb. 4.1-10: koplanarer Übergangsorbit

Abb. 4.1-11: Hohmann-Transfer

Die große Halbachse a_H des Übergangsorbits setzt sich aus den Radien der Kreisorbits der Planeten zusammen:

$$a_H = \frac{(a_1 + a_2)}{2}$$

Der Perigäumsschub kann meist durch die dritte Raketenstufe aufgebracht werden. Während der Reise tritt eine Verlangsamung im *Apogeum* auf, daher könnte man den Geschwindigkeitsimpuls Δv_1 erhöhen, wobei auch der Treibstoffbedarf steigen würde.

Die Dauer eines Hohmann-Transfers errechnet sich folgendermaßen:

$$\Delta t_H = \pi \sqrt{\frac{{a_H}^3}{\mu}} = \pi \sqrt{\frac{(a_1 + a_2)^3}{2^3 \mu}} = \frac{2 \pi}{2^{\frac{5}{2}}} \sqrt{\frac{{a_1}^3}{\mu}} (1 + \frac{a_2}{a_1})^{\frac{3}{2}} = \frac{T_1}{2^{\frac{5}{2}}} (1 + \frac{a_2}{a_1})^{\frac{3}{2}}$$
 [Formel 4.1-4]

 $a_{_{1}}=149.6 \ x \ 10^{6} \ km$... Halbachse der Erde $a_{_{2}}=228.0 \ x \ 10^{6} \ km$... Halbachse des Mars

 $\mu_s = 1{,}3271 \times 10^{11} \text{ km}^3/\text{s}^2 \dots$ Gravitationsparameter der Sonne

 $T_1 = 365 Tage$... Umlaufzeit des inneren Orbits bzw. der Erde

Die Flugdauer einer Sonde zum Mars beträgt demnach 0,71 Jahre bzw. etwa 259 Tage.

Perigeumsgeschwindigkeit ... erhöhte Bahngeschwindigkeit aufgrund des geringen Abstandes des Raumfahrzeuges zum Planeten

Abbildung 4.1-8: Bi-elliptischer Transfer Abbildung 4.1-9: Gravity-Assist-Manöver

Hohmann-Transfer ... benannt nach deutschem Baustatiker und Raumfahrtpionier Walter Hohmann

(1880-1945)

Flugzeitberechnung

größte Entfernung zwischen Raumfahrzeug und Planet

Abbildung 4.1-10 : koplanarer Übergangsorbit Abbildung 4.1-11 : Hohmann-Transfer zum Mars

Apogeum ...

Formel 4.1-4:

Bei interplanetaren Flügen, wie eben zum Mars, ist es sinnvoll, den Hohmann-Transfer so abzuändern, dass eine kürzere Flugdauer entsteht. Dabei wird der Schub v_I erhöht, um direkt den Zielorbit zu kreuzen. Der Schub v_I muss mindestens 2 500 m/s betragen.

Ist der Zielorbit erreicht muss mittels Schub ν_2 der nötige Bremsschub aufgebracht werden. Dadurch erreicht man eine bis zu 30% bis 40% kürzere Reisedauer.

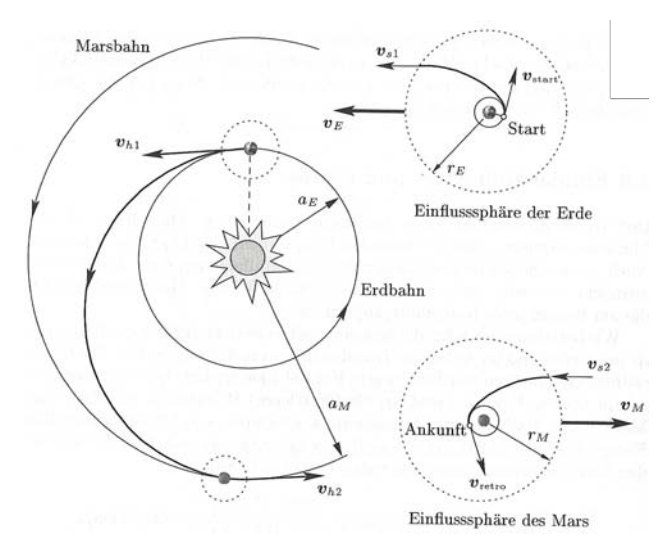


Abb. 4.1-12: Geschwindigkeiten beim Hohmann-Manöver

Die heliozentrischen Geschwindigkeiten v_{hI} und v_{h2} treten beim Verlassen oder Eintreffen in die Einflusssphären auf:

$$v_{hI} = \sqrt{\frac{\mu_S}{a_E}} \sqrt{\frac{2r_M}{a_E + a_M}} = 32,72 \frac{km}{s}$$
 ... beim Verlassen der Erdeinflusssphäre

$$v_{h2} = \sqrt{\frac{\mu_S}{a_M}} \sqrt{\frac{2a_E}{a_E + a_M}} = 21,48 \frac{km}{s}$$
 ... bei Eintritt in die Marseinflusssphäre

Formel 4.1-5

Die interplanetare Flugbahn ist eine Ellipse, die zwischen den Planetenmittelpunkten gespannt ist. Dabei ist zu beachten, dass die Eigengeschwindigkeiten der Planeten, in diesem Fall von Erde und Mars, miteinbezogen werden müssen.

Um Energie bzw. Treibstoff einzusparen holt die Sonde den Mars von hinten ein, bis sie von seinem Gravitationsfeld eingefangen wird. Beim Eintritt der Sonde in die Marssphäre ist ein Einschwenken in einen Kreisorbit erforderlich. Um in den entsprechenden Marsorbit zu gelangen muss die Geschwindigkeit des Raumfahrzeuges auf die Kreisbahngeschwindigkeit reduziert werden.

Abbildung 4.1-12: Geschwindikeiten beim Hohmann-Manöver

Formel 4.1-5: heliozentrische Geschwindigkeiten

Grundlage für die Bahnberechnung liefert immer die Annahme des Zweikörperproblems.

"In der ersten Phase wird der Orbit durch einen Kegelschnitt im nichtrotierenden geozentrischen Bezugssystem repräsentiert. Nachdem sich die Sonde weit genug von der Erde entfernt hat, kann die Flugbahn als Kegelschnitt im heliozentrischen Bezugssystem angesehen werden, und wenn die Sonde schließlich ihr Ziel fast erreicht hat, dann ist die Bahn wiederum als Keplerscher Orbit um den Mars zu betrachten."

Transportsysteme

Der Transport einer Sonde von der Erde in den Weltraum erfolgt mit Hilfe von Raketensystemen. Dabei spielt das Verhältnis zwischen Nutzlast zur Gesamtmasse bzw. -volumen eine wesentliche Rolle.

Der Transporter bzw. die Rakete dient als Trägersystem oder Lastrakete für den Hin-und Rücktransfer von Menschen und Gütern sowie als Orbit-Transfer-Vehicle für Versorgungs- und Wartungsaufgaben.

Die Konzeptionierung einer Rakete wird von folgenden Parametern bestimmt:

 Δt ... Zeitintervall eines massefesten Kontrollvolumens

... Geschwindigkeit der Rakete zur Zeit t

 $ec{u}$... Ausströmgeschwindigkeit der Gase relativ zur Düse

m(t) ... Raketenmasse zur Zeit t

 Δm_G ... Masse der in Δt ausgestoßenen Gase

Bei einem Raketensystem wirkt der aufgebrachte Schub S der Ausströmgeschwindigkeit \vec{u} entgegen, dabei verringert sich im Laufe der Zeit die Raketenmasse m.

$$\vec{S} = \vec{u} \, \dot{m}$$
 [Formel 4.1-6]

Die Raketengleichung setzt sich aus

 $Masse\ x\ Beschleunigung = Summe\ aller\ Kr\"afte + Summe\ aller\ Sch\"ube$ [Formel 4.1-7] zusammen.

Bei der Masse des Raumfahrzeuges wird zwischen der Startmasse m_o und der Raketenmasse m_f nach Brennschluss unterschieden.

Es gilt:
$$m_f < m_0$$

Zitat 4.1-1: Sonde zum Mars

Formel 4.1-6: Schub Formel 4.1-7: Raketengleichung Um die Geschwindigkeit zu erhöhen könnte entweder das Masseverhältnis größer gewählt oder die Ausströmgeschwindigkeit u erhöht werden. Problematisch für die lange Marsreise erweist sich auch der Treibstoffbedarf, der mit Hilfe der Tsiolkovski-Gleichung ermittelt werden kann.

Bei einer Ausströmgeschwindigkeit u = 4500 m/s, unter Verwendung von Wasserstoff als Treibstoff ergibt sich:

$$\frac{m_0}{m_f} = \exp(\frac{\Delta v_{total}}{u}) = 3,466 \text{ bzw. } \frac{m_b}{m_0} = 1 - \frac{m_f}{m_0} = 0,72$$
 [Formel 4.1-8]

$$m_b$$
 ... erforderliche Brennstoffmasse $m_b = m_0 - m_f$

[Formel 4.1-9]

Das bedeutet für die Anreise zum Mars, dass das Raumfahrzeug beim Verlassen aus dem erdnahen Kreisorbit zu 72% aus Treibstoff bestehen muss.

Um den Treibstoffbedarf für die Rückreise zur Erde zu gewährleisten, müsste ein Treibstoffdepot auf dem roten Planeten errichtet werden. Die Rohstoffe für die Treibstofferzeugung könnten aus den Bodenschätzen des Mars gewonnen werden.

Das Hauptaugenmerk der Raumfahrtsysteme liegt im Verhältnis Nutzlast zu Startmasse. Primäres Ziel ist es, einen möglichst hohen Nutzlastanteil der Startmasse zu erreichen - dies erfolgt über mehrstufige Raketensysteme. Es ist wichtig, die Masse auf die Stufenrakete sinnvoll zu verteilen.

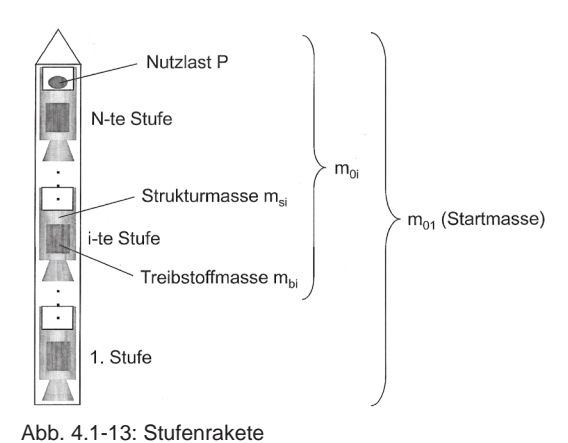
$$\frac{m_{01}}{P} = \frac{m_{01}}{m_{01} - m_{bl} - m_{sl}} \frac{m_{02}}{m_{02} - m_{b2} - m_{s2}} \cdots \frac{m_{0N}}{m_{0N} - m_{bN} - m_{sN}}$$

[Formel 4.1-10]

 m_0 ... Startmasse P ... Nutzlast

 m_{b} ... Brennstoffmasse

 m_s ... strukturelle Mass



Tsiolkovski ... (1857-1935) russischer Raumfahrtpionier, Mathematiker und Begründer der modernen Kosmonautik, Konzeptionierung von Raketengleichungen und auch Marsreisen

Für Wasserstoffantriebe wird u = 4512,6 m/s verwendet.

Formel 4.1-8: Tsiolkovski-Gleichung zur Ermittlung der erforderlichen Brennstoffmasse

Formel 4.1-9: erfoderliche Brennstoffmasse Formel 4.1-10: Massenverhältnis der Stufenrakete Ziel ist es, möglichst viel Menge an Treibstoff in möglichst leichten Tanksystemen unterzubringen. Dabei wird für jede Stufe wird ein eigenes Treibstoffverhältnis α_i gewählt. Pro Stufe erhöht sich die Geschwindigkeit um Δv_i . Werden in den einzelnen Stufen verschiedene Treibstoffe verwendet, so ist auch die Ausströmgeschwindigkeit u_i bei jeder Stufe unterschiedlich.

Der Einsatz von drei Stufen erweist sich meistens als optimal. Das Space Shuttle besteht genau genommen eigentlich nur aus zwei Stufen, den beiden Boosters und dem Shuttletriebwerk.

Das US-Space Shuttle kann Satelliten lediglich auf eine Flugbahn von 300 bis 400 km Höhe bringen. Daher ist es für das Erreichen geostationärer Flugbahnen nötig, Satelliten mit eigenen Triebwerken auszustatten.

Interplanetare Missionen erfordern Antriebssysteme in einem größeren Ausmaß.

Raumtransporter der Zukunft

Die Trägerrakete Ares basiert zum Teil auf dem Space Shuttle Prinzip und dient als Schwerlasttransporter für künftige bemannte Mond- bzw. Marsmissionen. Die zweistufige Trägerrakete Ares-I hat eine Nutzlastkapazität von ca. 24,5 Tonnen und ist zum Erreichen niedriger Erdumlaufbahnen konzipiert. Die Raketenspitze ist als Rettungskapsel für etwaige Pannen ausgelegt. Der erste Starttermin sollte ab 2012 stattfinden.

Die größere Variante des Trägersystems, die Ares-V, ist vorerst als unbemannte Nutzlastrakete gedacht. Sie soll bis zu 130 Tonnen Ladung in die niedrige Erdumlaufbahn befördern. Höhenmäßig liegt sie in der Größenordnung einer Saturn V Rakete, jedoch ähnelt ihre Zentralstufe technologisch dem vergrößertem Prinzip eines Space-Shuttle Außentanks mit etwa 10 m Durchmesser.



Abb. 4.1-14: Ares-I und Ares-V

Abbildung 4.1-14: Ares I und Ares-V © NASA





Abb. 4.1-15: Ares-Trägerrakete

Weitere Antriebsmöglichkeiten für zukünftige Langzeitmissionen sind elektrische, thermisch-nukleare oder mittels Solarsegel betriebene Raumfähren, die bereits in detaillierten Konzepten oder Planungen ausgearbeitet sind.

Ein lonentriebwerk entsteht bei Massebeschleunigung durch elektromagnetische Felder und zählt daher zu den elekrischen Antriebssystemen. Hierzu benötigt man einen gasförmigen Treibstoff, wie z.B. Cäsium oder Xenon, welcher mittels einer Elektronenkanone ionisiert wird. Dabei werden durch Spannung die positiv geladenen Treibstoffionen beschleunigt und ausgesto-Ben. Dadurch werden Ausströmgeschwindigkeiten bis zu 3000 m/s erreicht. Allerdings müssen auch hierbei zum Start zusätzlich chemische Raketen eingesetzt werden. Für die Ionisierung ist der Einsatz von Kernreaktoren notwendig.

Abbildung 4.1-15: Ares-Trägerrakete © NASA

Ionenantrieb ... neues Konzept 2006 von Australian National University und die European Space Agency

Anstelle von chemischen Raketen könnten auch lonentriebwerke verwendet werden, um Treibstoff einzusparen. Allerdings käme es aufgrund der geringen Schubkraft zu längeren Flugzeiten.

VASIMR ist ein relativ neu entwickeltes elektrisches Antriebssystem. Dieses Konzept wurde von dem Astronauten Franklin Ramon Chang-Diaz entwickelt. Bei dieser Antriebsmethode wird elektrische Energie verwendet um Plasma zu erzeugen, zu erhitzen und zu beschleunigen.

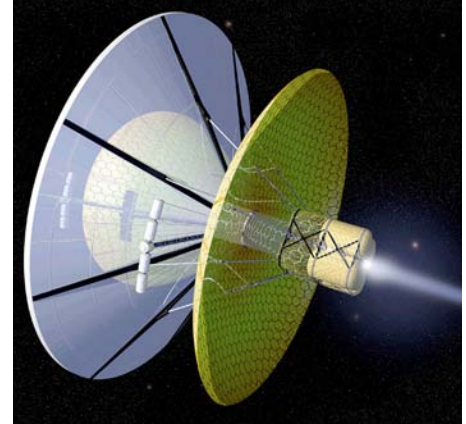
Bei thermisch-nuklearen Raketentriebwerken wird flüssiger Wasserstoff in einem Reaktor auf 2500°C erhitzt und mit einer Ausströmgeschwindigkeit von 9000 m/s ausgestoßen. Die Problematik bei der Verwendung ist durch die Gefahr der radioaktiven Verstrahlung gegeben.

Zu den nuklearen Antriebssystemen zählen der nukleare Pulsantrieb, der Kernspaltungsantrieb und der Fusionsantrieb.

Das Konzept für den nuklearen Pulsantrieb wurde bereits in den 50er Jahren entwickelt und ließe sich nach heutigem Technikstandard ohne weiters umsetzen. Allerdings stellen die erforderlichen Strahlenschutzmaßnahmen ein Problem dar. Beim Kernspaltungsantrieb wird Wasserstoff erhitzt und anschließend unter Druck ausgestoßen. Die Forschungsprojekte der USA und der Sowietunion wurden allerdings eingestellt.

Der Physiker Robert W. Bussard verfasste ein Konzept für Fusionsantriebe. Dabei wird mittels eines magnetischen Kraftfeldes interstellares Gas gesammelt. Die im Reaktor erzeugten Fusionsprodukte werden anschließend ausgestoßen.

Eine alternative Antriebsmethode kann mit Hilfe von Segeln gewonnen werden. Dabei können Sonnen-, Laser- oder Maserstrahlsegel nach Missionsziel gewählt werden. Bereits erbrachte Konzepte beschreiben eine Laserstation auf dem Mond zu errichten, von der aus das Raumfahrzeug mittels gerichtetem Photonendruck betrieben werden kann.





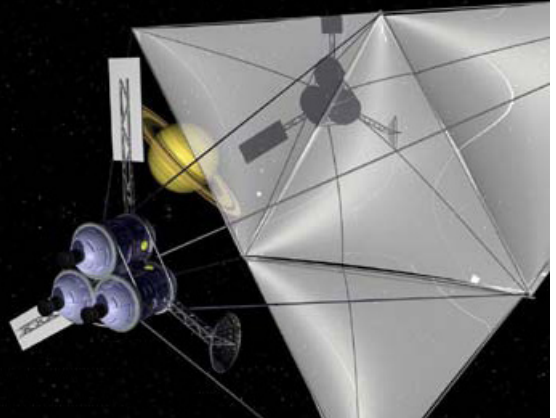


Abb. 4.1-16: Bussard-Ramjet

Abb. 4.1-17: Sonnensegel

VASIMR ... Variable Specific Impulse Magnetoplasma Rocket interstellares Gas ... Materie im interstellaren Raum innerhalb einer Galaxie

Abbildung 4.1-16: Bussard-Ramjet © NASA Abbildung 4.1-17: Sonnensegel © Norbert Welsch

Orbittypen

In der Raumfahrt und im speziellen beim Positionieren einer Sonde in einer Umlaufbahn wird zwischen verschiedenen Orbittypen unterschieden.

Von einem Low Earth Orbit (LEO), also einem niedrigen Erdorbit, spricht man bis zum Erreichen einer Flughöhe von etwa 2 000 km. Erdnahe Orbits sind mit relativ geringem Energieaufwand erreichbar. Es genügt beispielsweise eine Ariane Rakete, um in die Zielumlaufbahn zu gelangen.

Im LEO befinden sich mehrere Kommunikationssatelliten, Satelliten zur Vermessung der Erdoberfläche usw.

Allerdings ist die Kommunikation zwischen Bodenstation und Satelliten im erdnahen Orbit etwas problematisch. Eine direkte Datenübertragung ist nur gegeben, wenn sich der Überwachungsbereich des Satelliten bzw. der Raumstation direkt über der Bodenstation befindet.

Man spricht von *geosynchronen Orbits* (GSO), wenn sich das Raumobjekt in hoher Flugbahn mit der Erdrehung synchron bewegt.

Geostationäre Orbits stellen einen Spezialfall dar, bei dem für die Erdumkreisung die exakte Dauer eines siderischen Tages benötigt wird. Diese Orbits haben punktförmige Bodenspuren und stehen idealerweise immer über demselben Punkt. Mit Hilfe stark elliptischer Transferorbits (GTO) ist es möglich, in eine geostationäre Umlaufbahn zu gelangen.

Ein GSO ist kreisförmig (e=0), liegt in der Äquatorialebene (i=0) und seine Umlaufbahn verläuft *prograd*. Geosynchrone Orbits dienen zur ständigen Beobachtung eines bestimmten Bereichs auf der Planetenoberfläche.

Zur Stabilisierung geostationärer Umlaufbahnen sind zusätzliche Steuerungsund Antriebsdüsen notwendig, da Störungen durch Sonne und Mond auftreten können.

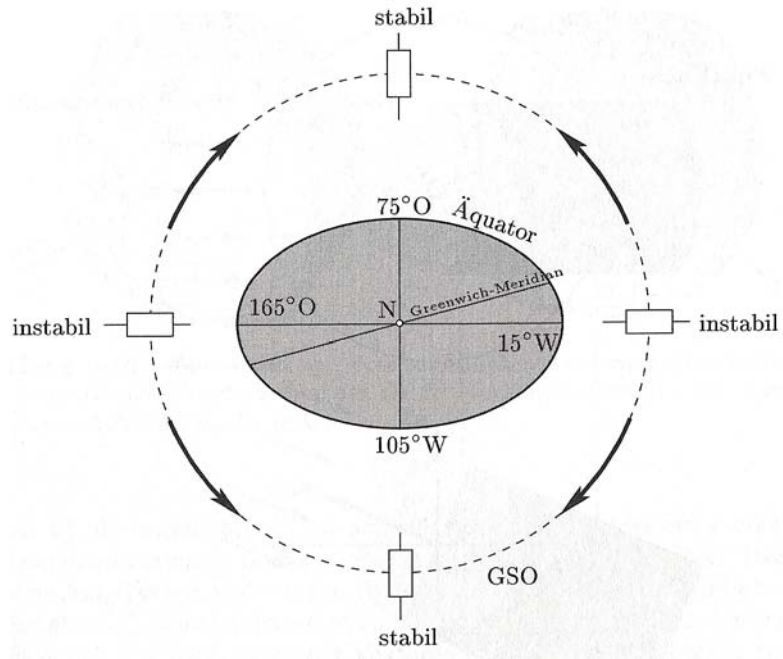


Abb. 4.1-18: Stabilität geostationärer Orbits

prograd ... Die Umlaufbahn eines prograden Orbits verläuft gegen den Uhrzeigersinn.

Abbildung 4.1-18: Stabilität geostationärer Orbits

Sonnensynchrone Orbits sind retrograd, bei einer Bahnneigung von $i > 90^{\circ}$, und nur bei relativ niedrigen Flughöhen möglich.

Für kreisförmige Umlaufbahnen ergibt sich daher eine maximale Flughöhe von etwa 5 974 km. Speziell für Planetenerkundungssatelliten ist der Sonneneinfallswinkel von besonderer Bedeutung und daher bei der Missionsplanung zu beachten.

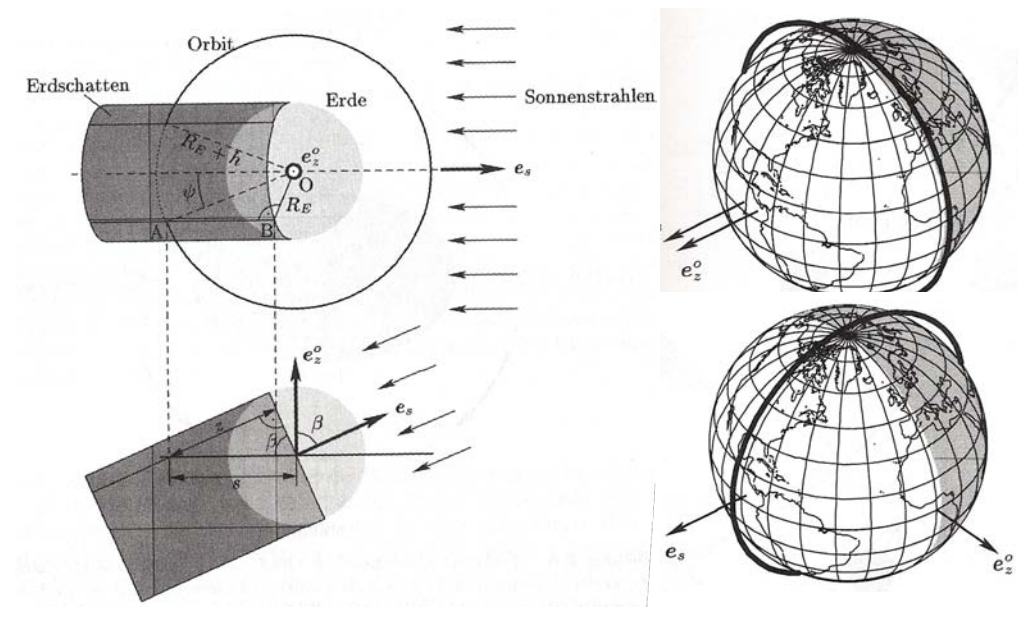


Abb. 4.1-19: Eklipse

Abb. 4.1-20: Schattengrenze

Wie lange sich eine Raumsonde im Schatten eines Planeten befindet hängt bei kreisförmigen Orbits von der Flughöhe h und vom *Sonneneinfallswinkel* β ab. Die bessere Wahl des Orbits ist bei einer senkrechten Lage zur Tag-Nachtgrenze gegeben, d.h. $\beta = 90^{\circ}$.

Befindet sich eine Raumsonde im Schatten eines Planeten, so tritt die *Eklipse* ein. Jener Abschnitt des Orbits, der sich innerhalb Eklipse befindet, lässt sich durch die dimensionslose Größe f_c definieren.

$$f_e = \frac{1}{\pi} \arccos \left[\sqrt{1 - \left(\frac{R_E}{R_E + h}\right)^2} \frac{1}{\sin \beta} \right]$$
 [Formel 4.1-11]

 R_E ... Erd- bzw. Planetenradius

h ... Flughöhe

β ... Sonneneinfallswinkel

Ist der Betrag des Formelterms in eckiger Klammer größer als 1, dann befindet sich der gewählte Orbit komplett außerhalb des (Erd-)Schattens. Auf der Planetenoberfläche bei h=0 ergibt sich f=1/2. Dies bedeutet gleiche

Auf der Planetenoberfläche bei h=0 ergibt sich $f_e=1/2$. Dies bedeutet gleiche Tag- und Nachtlängen für sehr niedrig fliegende Raumfahrzeuge.

retrograd ...

Die Umlaufbahn verläuft im Uhrzeigersinn

Abbildung 4.1-19: Eklipse Abbildung 4.1-20: Schatten

Sonneneinfallswinkel ... Eklipse ... Winkel zwischen der Bahnnormalen und dem Sonnevektor Verfinsterung (auf Raumstation im Erdorbit alle 35 min)

Formel 4.1-11: Eklipse

Platzierung im Marsorbit

Eine optimale Platzierung meiner entworfenen Station "Concordia" basiert auf den Fakten bzw. Ergebnissen der getätigten Analyse.

Die Raumstation "Concordia" befindet sich in einem *marssynchronen* äquatorialen Kreisorbit und ist so positioniert, dass sie nach dem *Thomson-Gleichgewicht* (Abb. 4.2-2) in einer stabilen Lage gehalten wird. Dabei wird mittels *Spin*, sprich durch eine konstante Drehung um die größte oder kleinste Trägheitshauptachse eine stabile Position gehalten. Man spricht hier auch von einer *Drallstabilisierung*.

"Concordia" wird in einem 500 km von der Marsoberfäche entfernten Parkorbit positioniert, um einwenig Schutz durch die dünne Marsatmosphäre vor kosmischer Strahlung zu erhalten.

Sie benötigt für einen vollen Umlauf genauso lange wie die Eigenrotationszeit des Mars - sprich 24 Stunden und 37 Minuten. Aufgrund ihrer marsstationären Bahnlage ist die Station einem annähernd normalen Tageszyklus unterworfen und befindet sich 12 h und 18 min im Schatten des roten Planeten.

Die beiden unförmigen Monde sind vermutlich Gesteinsbrocken, die ursprünglich aus dem Asteoridengürtel stammen und von der Marsgravitation eingefangen wurden. In der näheren Marsumgebung ist die Gefahr durch Meteoriden und Asteoriden schon allein durch die Nähe des Asteoridengürtels, gegeben.

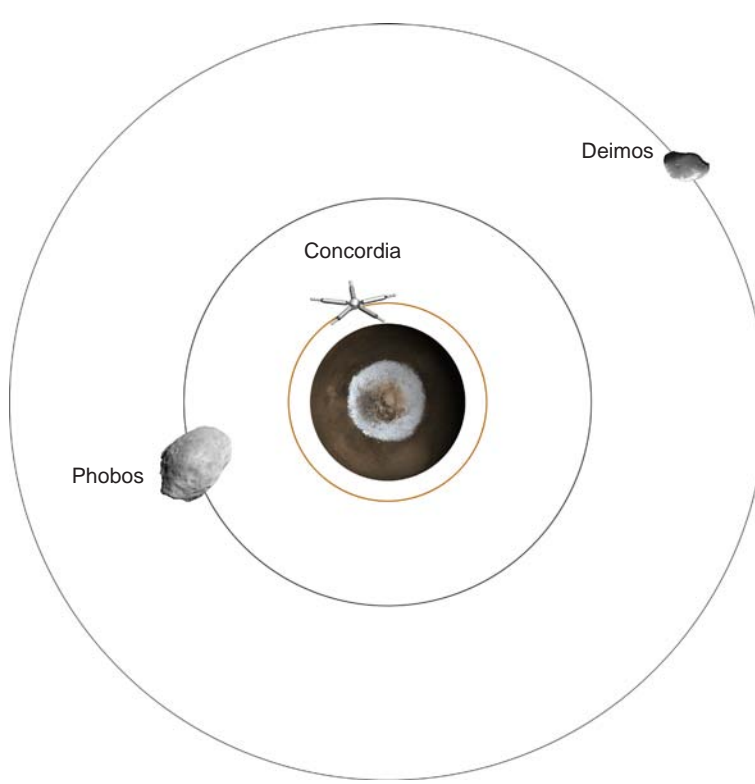


Abb. 4.2-1: Marsumgebung

marssynchron ... Raumstation bewegt sich gleich mit der Marseigenrotation, dh. sie befindet sich immer über derselben Stelle auf der Marsoberfläche

Drallstabilisierung ... Stabilisierung durch schnelle Rotation - auch Thomson-Gleichgewicht genannt

Abbildung 4.2-1: Marsumgebung © Ursula Knappl (Bildmaterial © NASA)

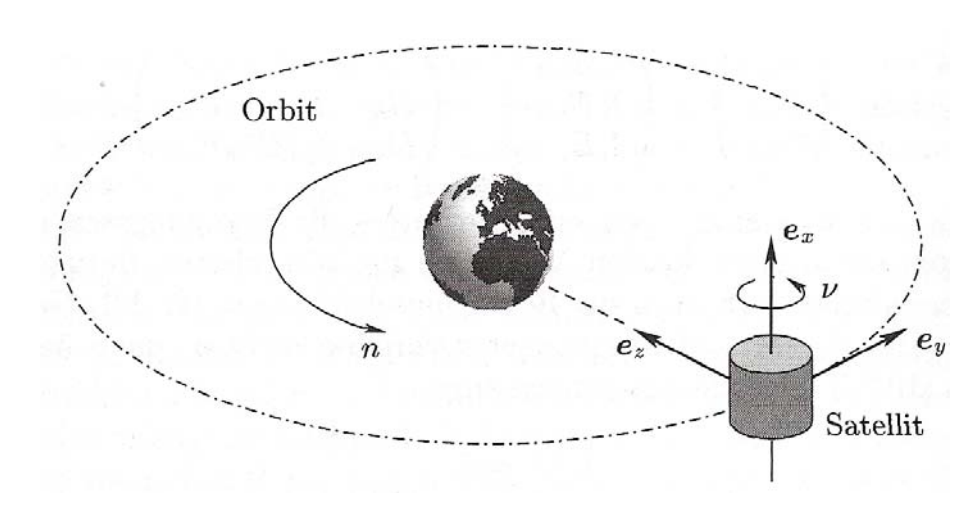


Abb. 4.2-2: Thomson-Gleichgewicht

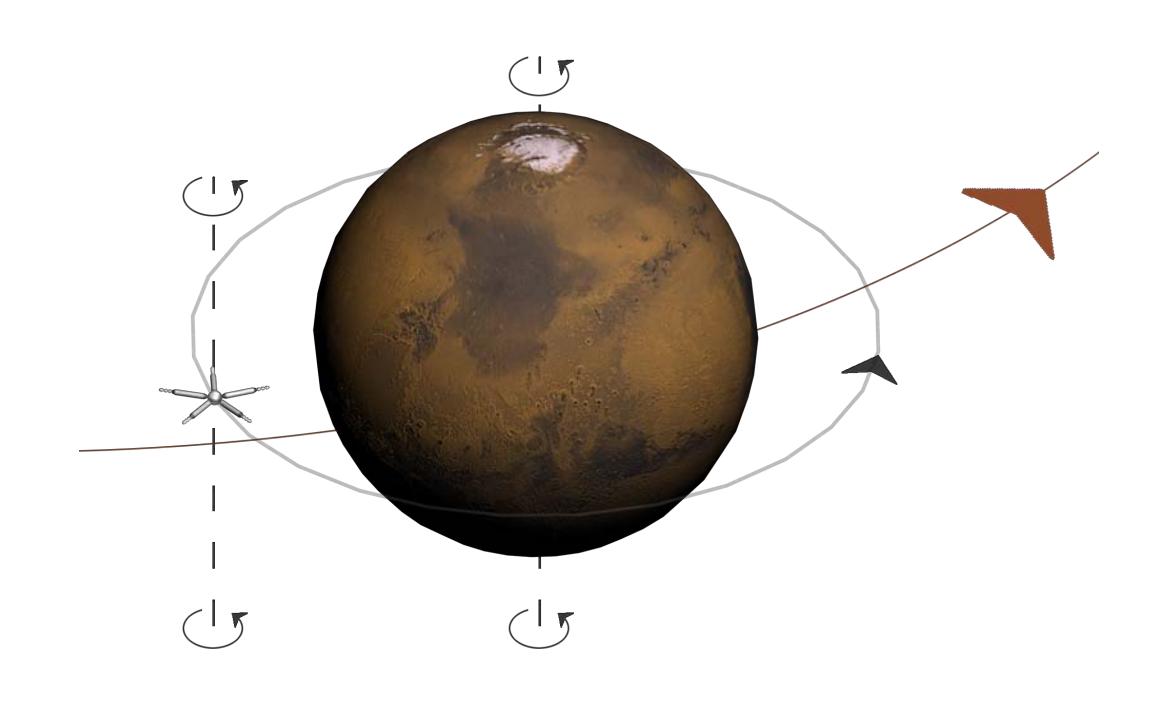
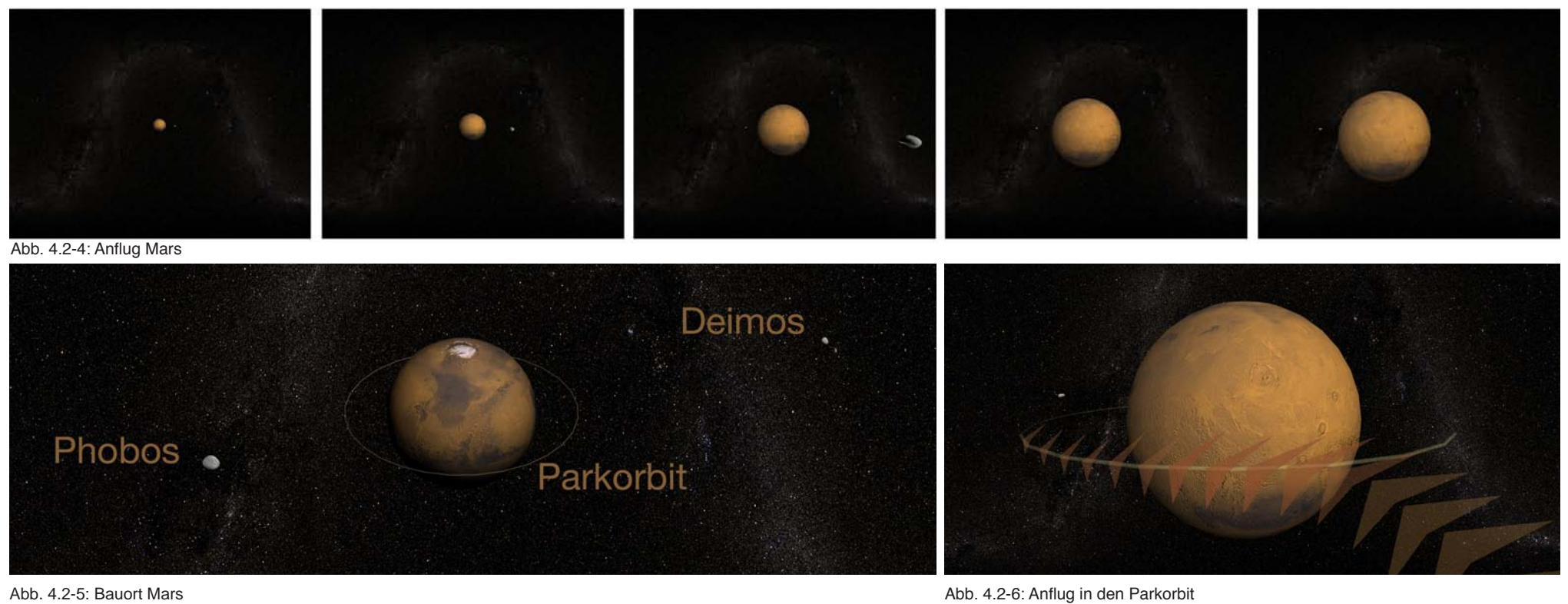


Abb. 4.2-3: Stabilisierung aufgrund von Eigenrotation

Abbildung 4.2-2: Thomson-Gleichgewicht

Abbildung 4.2-3: Stabilisierung aufgrund von Eigenrotation © Ursula Knappl

Beim Anflug des Mars wird von einem elliptischen Orbit in einen kreisförmigen Parkorbit (Abb. 4.2-5) eingeschwenkt. Das Raumfahrzeug wird dabei von der Anziehungskraft des Planeten eingefangen.



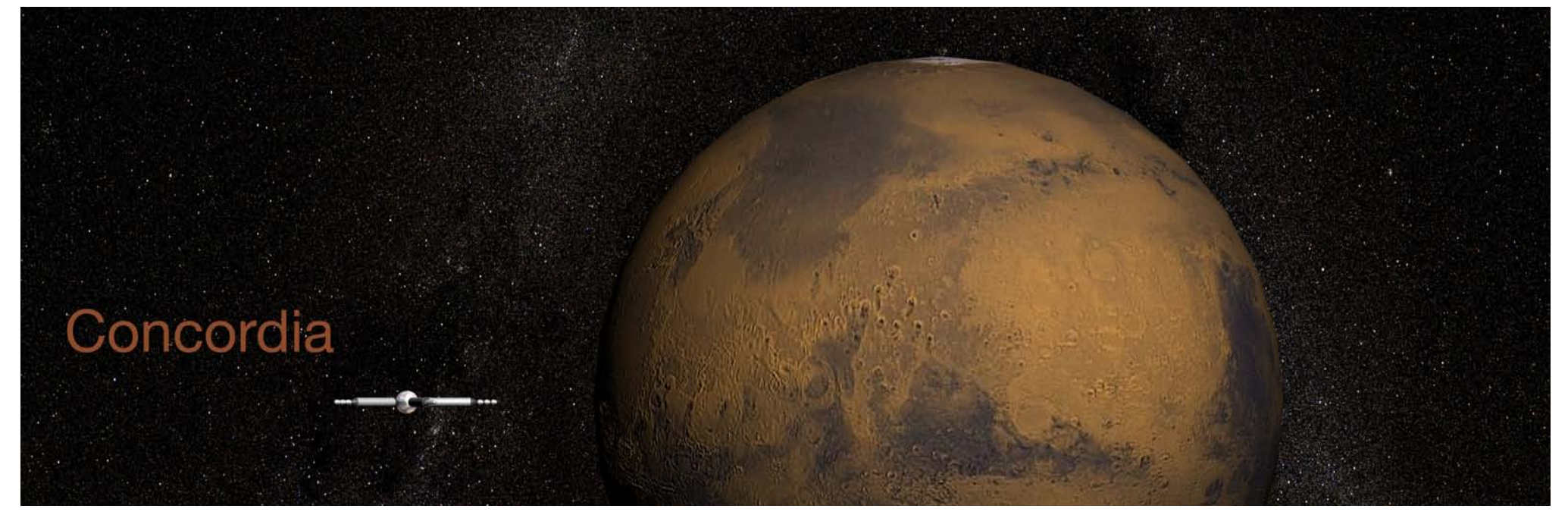


Abb.4.2-7: Raumstation im niedrigen Marsorbit

Abbildung 4.2-4: Anflug Mars © Ursula Knappl Abbildung 4.2-5: Bauort Mars © Ursula Knappl

Abbildung 4.2-6: Anflug in den Parkorbit © Ursula Knappl Abbildung 4.2-7: Raumstation im niedrigen Marsorbit © Ursula Knappl

Kommunikationssatelliten

Um ein stabiles Kommunikationssystem mit dem Heimatplaneten zu gewährleisten werden in der Mission "Concordia" zwei Satelliten in den Lagrange-Punkten L4 und L5 positioniert. *Lagrange-Punkte* sind Gleichgewichtslagen zwischen einem Planeten, der Sonne und der Fliehkraft.

Man betrachtet dabei zwei Planeten bzw. Monde, die einem bestimmten Massenverhältnis entsprechen müssen. In den Lagrange-Punkten heben sich idealer Weise die Anziehungskräfte der beiden Körper gegenseitig auf.

 $L_1 L_2 L_3 \dots instabil$ $L_4 L_5 \dots stabil$

	Abstände r_2 vom kleineren Körper (m_2) in $[km]$								
Himmelskörper	L_1	L_2	L_3	L_4/L_5					
Erde/Sonne	$1,493 \times 10^{6}$	$1{,}502\times10^{6}$	$299,2 \times 10^{6}$	$149,6 \times 10^{6}$					
Jupiter/Sonne	$51,95 \times 10^{6}$	$54{,}37\times10^{6}$	$1556,2\times10^6$	$778,3 \times 10^{6}$					
Venus/Sonne	$1,008 \times 10^{6}$	$1,\!015\times10^6$	$216,4\times10^6$	$108,2 \times 10^{6}$					
Mond/Erde	58198	64737	766050	384400					

Tab.4.2-1: Lagrange-Punkte

Der Lagrange-Punkte $L_{_{I}}$ ist für die Raumfahrt sehr interessant, da er außerhalb des Erdmagnetfelds liegt und ideale Bedingungen für Beobachtungen des Sonnenwindes schafft.

Die Datenübertragung von der "Concordia" zur Erde bzw. zu anderen Raumstationen kann mit Hilfe der in L4 bzw. L5 positionierten Satelliten erfolgen. Bei ungünstiger Erde-Mars Konstellation, sprich wenn die Sonne zwischen ihnen steht, kann das Signal im Dreieck von der Marsstation zu einem der beiden Satelliten gesendet und von dort aus weitergeleitet werden.

Satellit zur Vermessung der Marsoberfläche

Im Projekt "Concordia" wird davon ausgegangen, dass sich stets ein Vermessungssatellit (Abb. 4.2-10) im polaren Marsorbit befindet und ein ständiger Datenaustausch mit der bemannten Raumstation erfolgt.

Derzeit befinden sich die Sonden *Mars Odyssey* (Abb.4.2-12), *Mars Express* (Abb. 4.2-13) und der *Mars Reconnaissance Orbiter* (Abb. 4.2-14) in Umlaufbahnen um den roten Planeten.

Mars Odyssey wurde 2001 ins Leben gerufen, um eine globale Karte der chemischen Elemente auf der Oberfläche zu erstellen und vor allem nach dem Vorkommen von Wassereis zu suchen. Nebenbei soll die Strahlungsbelastung in niedrigen Marsorbits gemessen werden, um sich für bemannte Marsmissionen besser vorbereiten zu können. 2002 konnte in der Südpolregion des Planeten Wassereis unter einer Trockeneisschicht nachgewiesen werden.

Die Sonde Mars Express der ESA startete ihre Mission im Jahr 2003. Ihr primäres Ziel galt der vollständigen Kartografierung, der Erforschung der Atmosphäre und der Materialbeschaffenheit der Marsoberfläche. Sie befindet sich

Marsumlaufbahn
Satellit
L4

Erdumlaufbahn

L5
Satellit

Abb.4.2-8: Satelliten in L4 und L4 des Erdorbits



Abb.4.2-9: Kommunikationssystem Erde-Mars



Abb.4.2-10: Vermessungssatellit im polaren Marsorbit

 ${\it Lagrange-Punkte} \; ... \; {\it nach Joseph Louis Lagrange} \; (1736-1813), \; it al. \; {\it Mathematiker u. Astronom benannt} \; {\it Mathem$

Tabelle 4.2-1: Lagrange-Punkte

Mars Odyssey ...
Mars Reconnaissance Orbiter ...

http://marsprogram.jpl.nasa.gov/odyssey/mission/rightnow.html http://marsprogram.jpl.nasa.gov/mro/mission/rightnow.html Abbildung 4.2-8: Satelliten in L4 und L5 des Erdorbits © Ursula Knappl Abbildung 4.2-9: Kommunikationssystem Erde-Mars © Ursula Knappl Abbildung 4.2-10: Vermessungssatellit im polaren Marsorbit © Ursula Knappl

in einem fast polaren Orbit mit einer Periapsis von 300 km und soll bis Ende 2009 im Umlauf bleiben.

Der Mars Reconnaissance Orbiter wurde 2005, ausgestattet mit umfangreicher Instrumentierung, zum roten Planeten geschickt. Als Aufgabe gilt wiederum die Kartografierung der Marsoberfläche durch hochauflösende Bilddokumentation, die für die Auswahl zukünftiger Landeplätze hilfreich ist. Mittels Radar wird nach Wasservorkommen unter der Marsoberfläche geforscht.

Der MRO wird auch zur Hochgeschwindigkeitskommunikation eingesetzt. 2011 bzw. 2013 soll der *Mars Science & Telecommunications Orbiter* seine Mission beginnen. Er soll sowohl wissenschaftliche Instrumente als auch eine Kommunikationsnutzlast beherbergen. In den ersten beiden Jahren seiner Mission wird er vorerst wissenschaftliche Arbeit zur Erforschung der Marsatmosphäre leisten und danach hauptsächlich zur Kommunikation bzw. Datenübertragung zwischen ihm, der Landeeinheit und der Erde eingesetzt.

MAVEN (Abb. 4.2-16) ist ebenfalls eine Sonde zur Erforschung der Marsatmosphäre und soll voraussichtlich 2013 ihre Mission beginnen. Genauer gesagt soll die obere Atmosphäre des Mars und deren Interaktion mit der Sonne untersucht werden.

Da sich die Raumstation "Concordia" in einem marssychronen und marsstationären Orbit bewegt, befindet sich ihr Überwachungsbereich stets über der Bodeneinheit in äquatorialer Lage.

Je nach Positionierung im Orbit bietet sich ein bestimmter Überwachungsbereich auf der Planetenoberfläche. Befindet sich der Überwachungsbereich einer Raumsonde mit niedriger Flughöhe genau über der Bodenstation, so kann eine Kommunikation bzw. Datenübertragung erfolgreich abgehandelt werden.

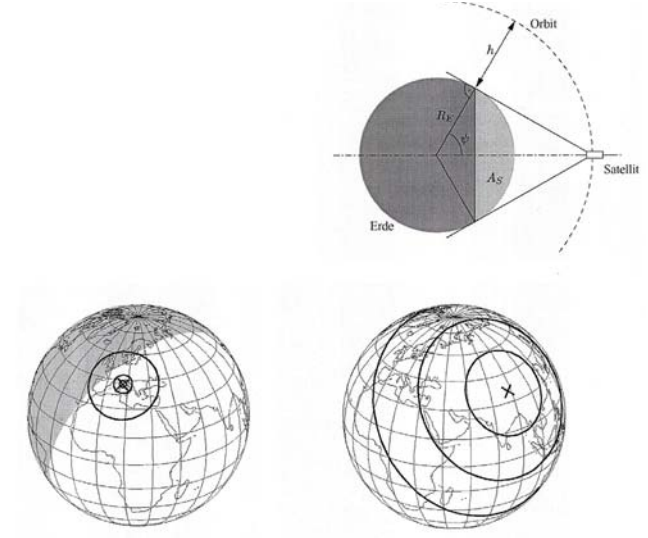


Abb.4.2-11: Überwachungsbereich aus dem Erdorbit

Abbildung 4-2-11: Überwachungsbereich

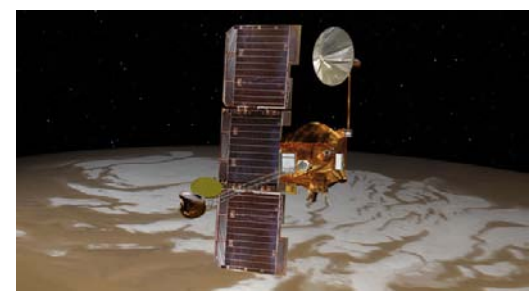


Abb.4.2-12: Mars Odyssey



Abb.4.2-13: Mars Express

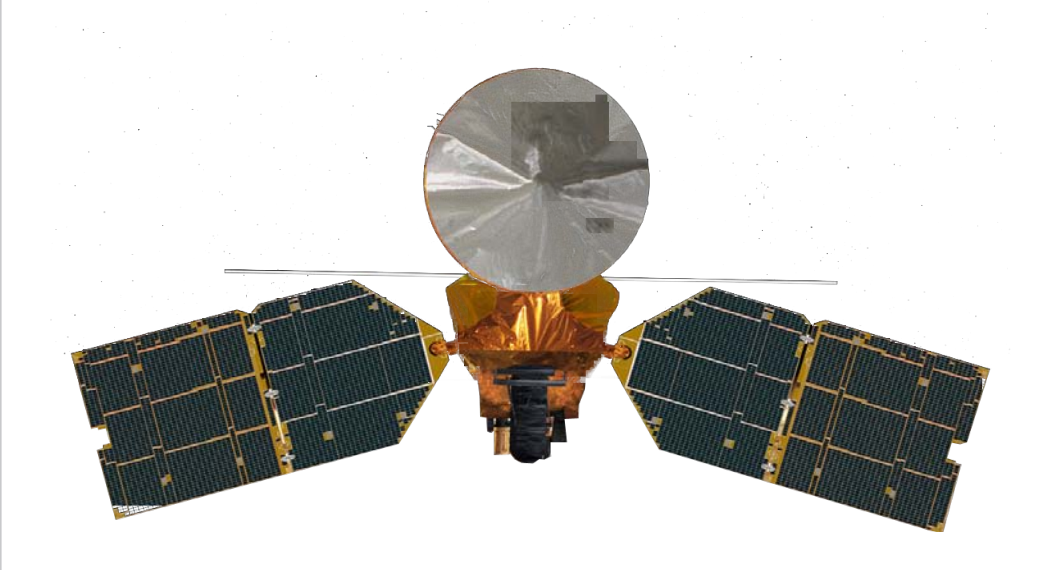


Abb.4.2-14: Mars Reconnaissance Orbiter

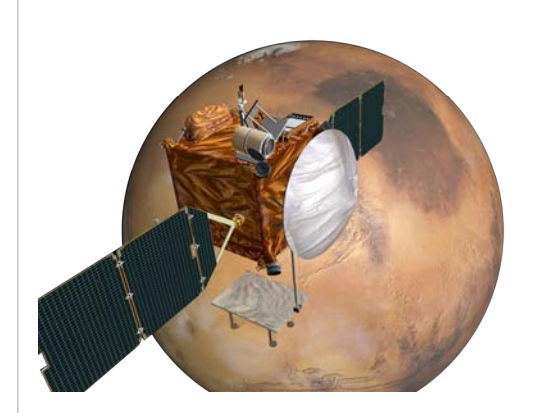


Abb.4.2-15: MSTO

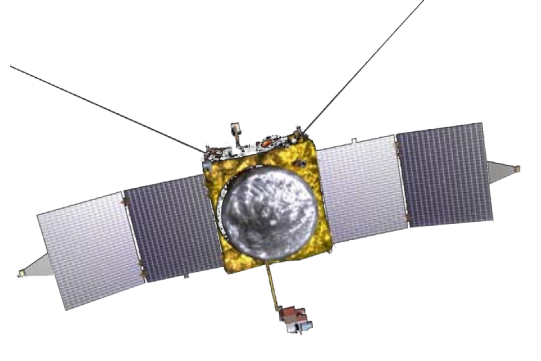


Abb.4.2-16: Maven

Abbildung 4.2-12: Mars Odyssey © NASA

Abbildung 4.2-13: Mars Express © ESA

Abbildung 4.2-14: Mars Reconnaissance Orbiter © NASA

Abbildung 4.2-15: MSTO © NASA Abbildung 4.2-16: Maven © NASA

4 Missionsarchitektur

Bodeneinheit

Des Weiteren ist im Projekt "Concordia" die Existenz einer bemannten Bodeneinheit vorgesehen. Diese Bodenstation befindet sich am Äquator, im Überwachungsbereich der Raumstation, welche im äquatorialen Orbit stationiert ist, und steht mit ihr im engen Kontakt für die Datenübertragung und den Informationsaustausch.

Derzeit befinden sich die Rover Spirit und Opportunity auf der Marsoberfläche im Einsatz. Spirit landete 2004 im Gusev-Krater und sucht nach Spuren von ehemals vorhandenem Wasser bzw. führt geologische Untersuchungen durch. Opportunity landete ebenfalls 2004 in einem kleinen Krater der Tiefebene Meridiani Planum und erfüllt ähnliche Aufgaben wie seine Schwesternsonde.

Die Mission des *Mars Science Laboratory's* ist auf 2011 verschoben worden. Zu seinen Aufgaben zählen die genaue Untersuchung des Marsbodens und die nachweisliche Erbringung von Spuren von Leben. Mit Hilfe eines Laserstrahls können Gesteinsschichten zur Analyse abgetragen und untersucht werden.

Exo Mars ist eine von der ESA entwickelte Landeeinheit, die 2016 im Rahmen des AURORA-Programmes gestartet werden soll. Der Rover ist mit einem Bohrer ausgestattet und soll bis zu 2 m tiefe Bodenproben entnehmen.

Die von der NASA und ESA in Kooperation geführte Mission *Mars Sample Return* soll frühestens 2018 gestartet werden. Dabei wird erstmals eine Bodenprobe von der Marsoberfläche zur Erde transportiert werden, um genauere Untersuchungen durchführen zu können. Die von der Landeeinheit gesammelten Proben werden zum Orbiter in der Marsumlaufbahn transportiert und mittels sich dort befindlicher Rückkehrkapsel zur Erde befördert.

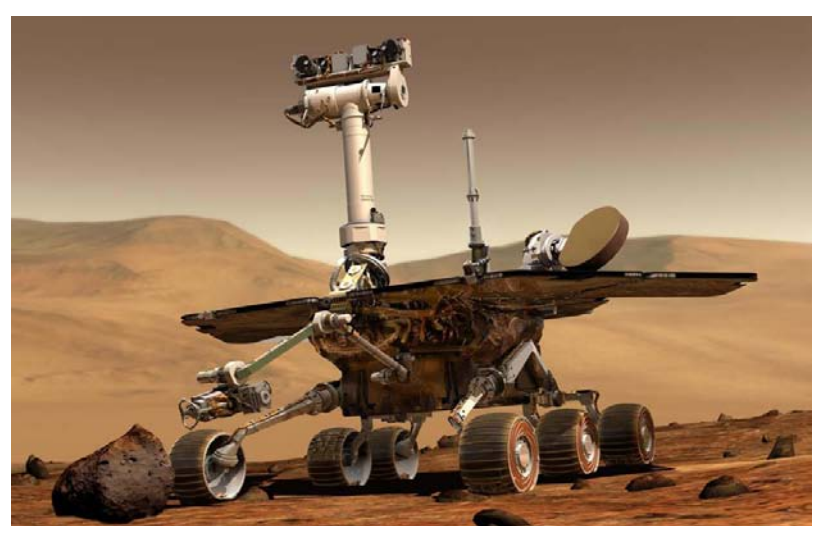


Abb.4.2-17: Marsrover

Die Akquirierung des roten Planeten soll schrittweise verlaufen und beinhaltet neben den laufenden Programmen der Orbiter bzw. mobilen Laboreinheiten eine bemannte Bodenstation, die für Treibstoff- und Ressourcenerzeugung sorgt. Bei der Treibstofferzeugung wird beispielsweise Kohlendioxid in Sauerstoff umgewandelt und dabei Treibstoff aus Methan erzeugt. Konzepte über Gewinnungsmöglichkeiten werden im Kapitel 1.4 genauer angeführt.

Die Aufgaben der Bodeneinheit belaufen sich auf die Erkundung der Marsoberfläche, den Abbau von Rohstoffen zur Erzeugung lebensnotwendiger Güter und Materialien sowie den Siedlungsaufbau.

Zu Beginn der bemannten Mission werden die zur Versorgung der Crew benötigten Güter von der Erde mitgebracht. Die Raumstation soll sich, zumindest was Luft und Wasser betrifft, größten Teils selbst versorgen. Durch die Verwendung von geschlossenen Kreisläufen bedarf es einer geringen Zufuhr an Wasser bzw. Atemgasen. Der Aufbau der Station wird vorerst ebenfalls von der Erde aus gesteuert. Hat sich die Bodeneinheit soweit etabliert, können die erzeugten Materialien für den weiteren Stationsausbau verwendet werden.

Das Projekt "Concordia" befasst sich allerdings ausschließlich mit der Konzeptionierung einer Raumstation im Marsorbit. Allerdings beruht das Konzept auf der Annahme einer bemannten auf der Marsoberfläche stationierten Bodeneinheit, die in der Lage ist Treibstoff, Wasser und lebensnotwendige Gase zu erzeugen.

Für den Erfolg dieser Mission ist es wichtig, eine interaktive Zusammenarbeit aller Marsprogramme zu gewährleisten. Es sollte auch ein Besatzungswechsel zwischen Bodeneinheit und Raumstation möglich sein. Die Ausarbeitung der Raumstation ist eine vorsichtige Annäherung an fremdes Territorium. Daher wird auf die Besiedelung der Marsoberfläche nicht näher eingegangen, sondern als unabdingbarer Missionsparameter gehandhabt.



Abb.4.2-18: Mars Return Sample

Abbildung 4.2-17: Marsrover © NASA

Abbildung 4.2-18: Mars Return Sample @ NASA

Planetenkonstellation

Um ideale Abflugbedingungen und eine möglichst kurze Reisedauer zu erhalten ist eine Marsmission an exakte Zeitpunkte gebunden.

Die Optimierung der ebenen Bahn erfolgt mittels Vorgabe des Startdatums und der Flugdauer. Voraussetzungen für Flugbahnberechnungen sind die Position und die Geschwindigkeit der zu betrachtenden Planeten.

Start- und Zielpunkt werden über die *Ephemeriden* als zeitabhängige Variablen vorgegeben - dabei gilt der Frühlingspunkt der Erde als Nullachse. Die Entfernung zwischen Erde-Mars beträgt je nach Konstellation zwischen 56 Mio. km. und 400 Mio. km. Daher ist eine Mission auf ein bestimmtes Zeit-

56 Mio. km und 400 Mio. km. Daher ist eine Mission auf ein bestimmtes Zeitfenster auszurichten. Dieses Zeitfenster tritt ungefähr im Zweijahresrhythmus auf, wenn sich der Mars seiner *Opposition* zur Erde nähert (Abb. 4.3-2).

Oppos	sitio	n					CJ	Loses	t Ap	pro	ach		
Da	ate		UT	D	ec	m_m	ax	Da	ate		UT	dist AU	Mkm
2010	Jan	29	19:37	+22	:09	-1.	28	2010	Jan	27	19:02	0.66398	99.33
2012	Mar	3	20:04	+10	:17	-1.	23	2012	Mar	5	17:01	0.67368	100.78
2014	Apr	8	20:57	-05	:08	-1.	48	2014	Apr	14	12:54	0.61756	92.39
2016	May	22	11:11	-21	:39	-2.	06	2016	May	30	21:36	0.50321	75.28
2018	Jul	27	05:07	-25	:30	-2.	78	2018	Jul	31	07:51	0.38496	57.59
2020	Oct	13	23:20	+05	:26	-2.	62	2020	Oct	6	14:19	0.41492	62.07
2022	Dec	8	05:36	+25	:00	-1.	87	2022	Dec	1	02:18	0.54447	81.45
2025	Jan	16	02:32	+25	:07	-1.	38	2025	Jan	12	13:38	0.64228	96.08
2027	Feb	19	15:45	+15	:23	-1.	21	2027	Feb	20	00:14	0.67792	101.42
2029	Mar	25	07:43	+01	:04	-1.	34	2029	Mar	29	12.56	0.64722	96.82
2031	May	4	11:57	-15	:29	-1.	80	2031	May	12	03:50	0.55336	82.78
2033	Jun	27	01:24	-27	:50	-2.	51	2033	Jul	5	11:19	0.42302	63.28
2035	Sep	15	19:33	-08	:01	-2.	84	2035	Sep	11	14:21	0.38041	56.91
2037	Nov	19	09:04	+20	:16	-2.	16	2037	Nov	11	08:00	0.49358	73.84
2040	Jan	2	15:21	+26	:41	-1.	53	2039	Dec	28	14:47	0.61092	91.39
2042	Feb	6	11:59	+19	:50	-1.	24	2042	Feb	5	07:57	0.67174	100.49
2044	Mar	11	12:44	+06	:56	-1.	26	2044	Mar	14	06:07	0.66708	99.79
2003	Aug	28	3 Aug	27	55	,758	,00	6 0	.372	7192	25 !	٦ .	
2050	Aug	14	1 Aug	15	55	.9571	M	0	.374	051		1	
2082	Sep)]	l Aug	30	55	,883	,78	0 0	.373	564		1	
2129	Aug	19	a Aug	19	55	,841	,26	8 0	.373	2758	32	1	
2208	Aug	24	1 Aug	24	55	,769	,11	7 0	.372	7935	52	1	
2287	Aug	29	Aug	28	55	,688	,40	5 0	.372	2540	00 !	1	
2366	Sep	03	Sep	02	55	,708	, 56	8 0	.372	3887	18	\ Fn	tfernunger
2445	Sep	07	7 Sep	05	55	,794	,53	5 0	.372	9634	13		
2492	Aug	23	3 Aug	24	55	,832	,52	1 0	.373	2173	35		her als
2571	Aug	30	Aug	30	55	,707	, 59	0 0	.372	3822	24	56	Mio. km
2650	Sep	04	Sep	03	55	,651	, 58	2 0	.372	0078	35 !		
2729	Sep	09	Sep	08	55	,651	,09	9 0	.372	0041	18 !	1	
2808	Sep	13	Sep	11	55	,695	, 62	3 0	.372	3022	24	1	
2855	Aug				ALEXANI.	,815	No September		.373	1044	15	1	
2887	Sep				34566	,788	*		.372			1	
		04			0.000.0000	,676			.372				

Tab.4.3-1: Marsoppositionen

Ungefähr alle 16 Jahre tritt eine günstige Opposition auf, bei der sich der Mars näher als 56 Mio. km zur Erde bewegt.

Eine äußerst nahe Erde-Mars-Konstellation war im Jahr 2003 zu beobachten. Die nächste Opposition findet zu Beginn 2010 statt, wobei sich der Mars lediglich auf 99 Mio. km der Erde nähert.

Ephemeriden ... Sind die aufgelisteten Positionen eines sich bewegenden astronomischen Objekts Opposition ... Mars hat den geringsten Abstand zur Erde Mars hat den größten Abstand zur Erde

Tabelle 4.3-1: Marsoppositionen

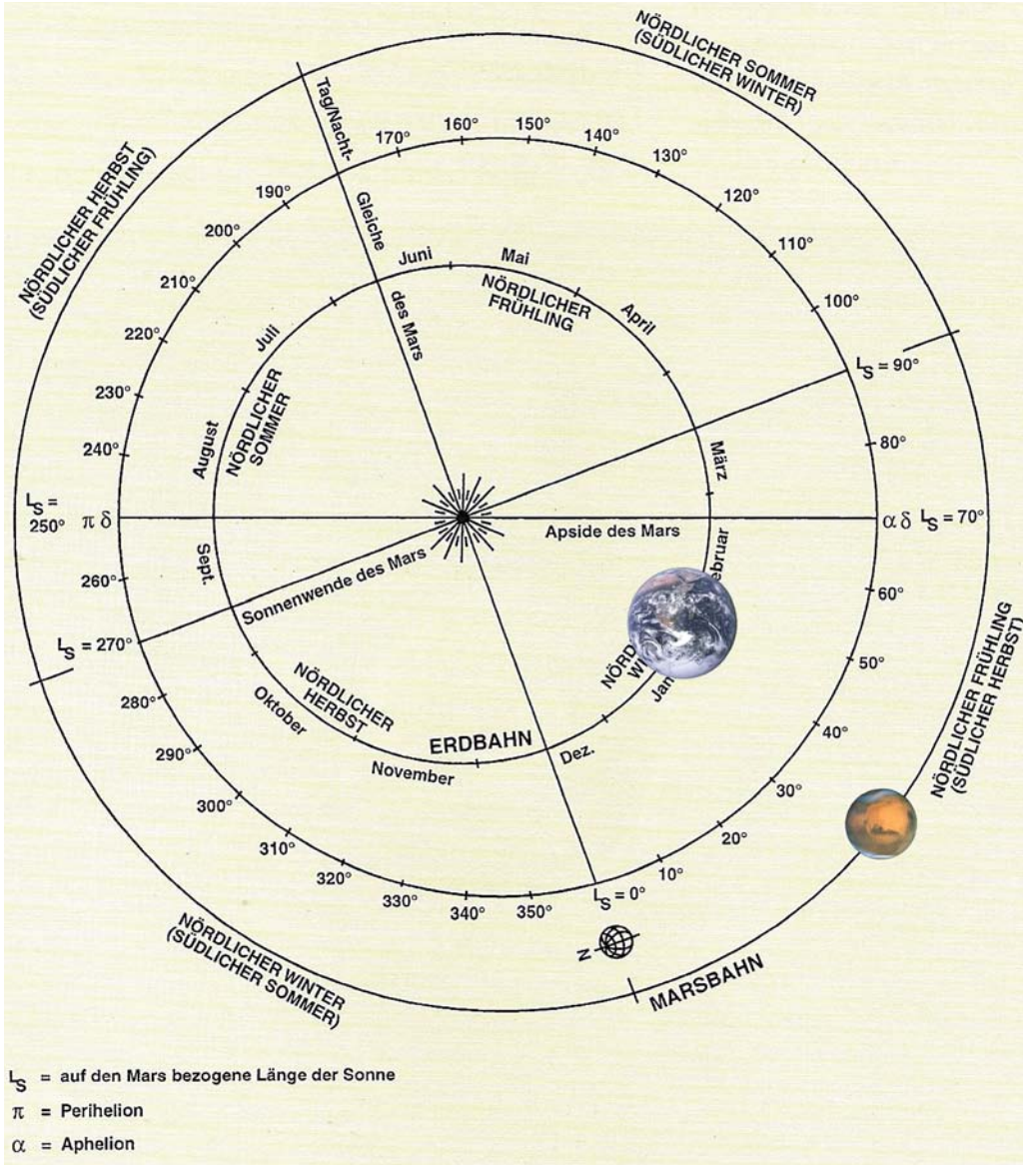


Abb.4.3-1: Planetenkalender

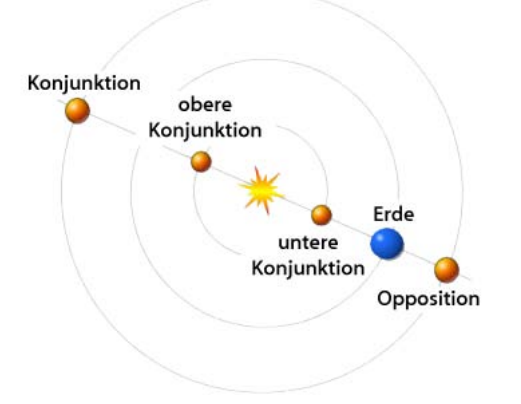


Abb.4.3-2: Planetenkonstellation

Abbildung 4.3-1: Planetenkalender Abbildung 4.3-2: Planetenkonstellation

Start: unbemannte Mission

Aufgrund der günstigen Opposition im Jahr 2050 (Tab. 4.3-1) und dem Voranschreiten des technischen Fortschritts setze ich meine fiktive Mission für diesen Zeitraum an.

Der Flug zum Mars würde bei Verwendung von derzeitigen Raketensystemen etwa 263 Tage dauern.

Zukünftige Marsmissionen könnten auch von einem niedrigen Erdorbit oder einem Erde-Mond Lagrangepunkt gestartet werden. Diese Startpositionen könnten als Weltraumbahnhöfe, die Treibstoff möglicherweise vom Mond erhalten, betrieben werden.

Das Konzept der Mission "Concordia" würde vorsehen, dass die gesamte Tragstruktur der Raumstation unbemannt vorausgeschickt wird. Dabei könnten folgende Abläufe erfolgen:

Das Startpaket (Abb. 4.3-3) würde aus einem dreistufigen Raketensystem mit einem Antriebssystem aus mehreren Feststoffboostern sowie den fünf Stufenraketen bestehen. Der Startschub sollte hauptsächlich von den Feststoffboostern erzeugt werden, die das System aus der Erdatmosphäre befördern. Durch gezielte Zündung der orange dargestellten Zweitstufe (Abb. 4.3-4), würde das System auf die richtige Bahn manövriert werden. Nachdem der Treibstoff der zweiten Raketenstufe verbraucht wäre, sollte die letzte Raketenstufe zünden, welche auch gleichzeitig das Tragwerk der Station bilden würde. Innerhalb dieses Raketentanks sollte sich ein Raumfachwerk befinden, welches mit Treibstoff umspült wäre. Während der letzten Reiseetappe zum Marsorbit sollte der Treibstoff zur Gänze aufgebraucht werden und lediglich die Tragstruktur hinterlassen. Nach der Positionierung im niedrigen Marsorbit von 500 km soll die Schutzkappe des Knotenelements abgesprengt (Abb. 4.3-5) und das System zu einem fünfachsigem Rad entfaltet werden (Abb. 4.3-6). An dieses Tragsystem, bestehend aus einem Knotenelement und 5 Achsen, werden später die Habitate montiert.

Start: bemannte Mission zur "Concordia"

Bemannte Einsätze können, nachdem das Tragsystem im Marsorbit positioniert wurde, im Zweijahresrhythmus erfolgen. Dabei werden die Habitate für die Besatzung im Raketenrumpf mitgeführt. Gestartet wird ebenfalls mit Hilfe eines mehrstufigen Raketensystems. Allerdings befindet sich in der Letztstufe kein Fachwerk, sondern die aufblasbaren Wohn- bzw. Forschungsmodule. Nach dem Absprengen des Raketengehäuses werden die mitgeführten Module am fünfachsigen Tragwerk montiert. Danach wird die Station in Rotation versetzt, um künstliche Schwerkraft für die Besatzung zu erzeugen. Die Station beschäftigt sich vorerst mit ihrem Zusammenbau bzw. Wachstum.

Die "Concordia" wird vorrangig als Forschungsstation betrieben und übernimmt in späterer Ausbaustufe auch eine Bahnhofsfunktion, die für die Betankung und Überprüfung interplanetarer Fluggeräte für weiterführende Missionen zuständig ist.

Beschreibung eines fiktiven Raketensystems für die Mission "Concordia":

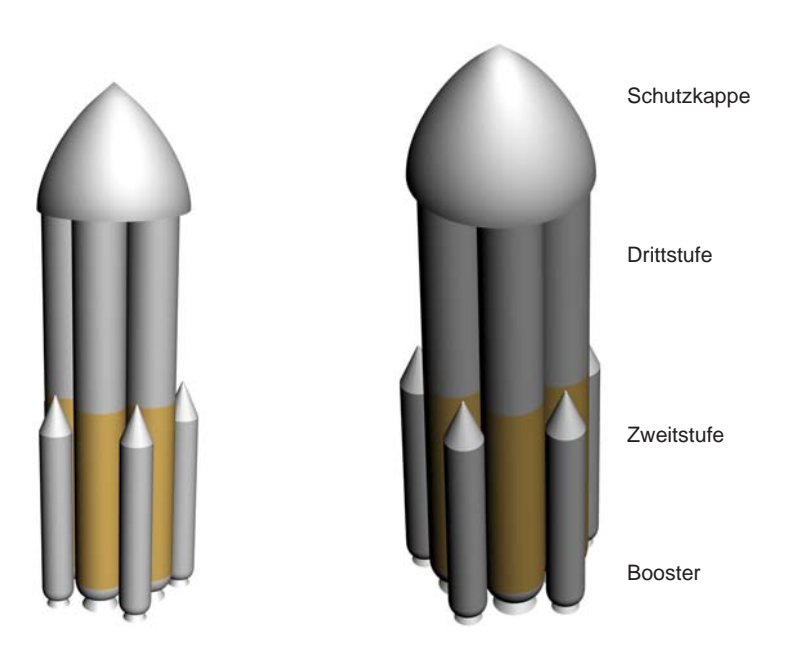


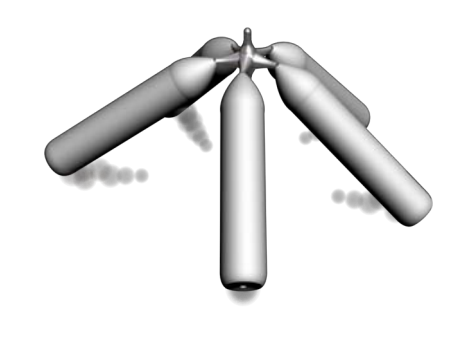
Abb.4.3-3: fiktive Darstellung Startsystem







Abb.4.3-4: fiktive Darstellung Absprengung der 2. Stufe Abb.4.3-5: fiktive Darstellung Absprengung der Schutzkappe



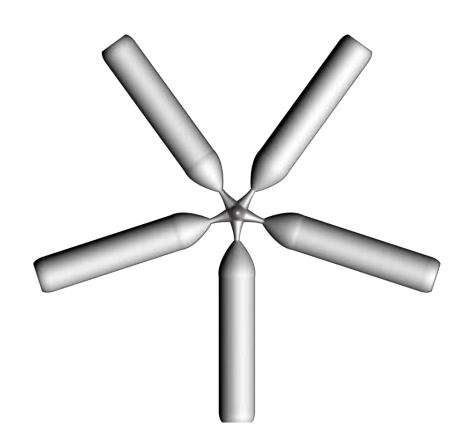


Abb.4.3-6: fiktive Darstellung Systemaufrichtung

Abb.4.3-7: fiktive Darstellung Tragsystem

Abbildung 4.3-3: fiktive Darstellung Startsystem © Ursula Knappl

Abbildung 4.3-4: fiktive Darstellung Absprengung der 2. Stufe © Ursula Knappl Abbildung 4.3-5: fiktive Darstellung Absprengung der Schutzkappe © Ursula Knappl

Abbildung 4.3-6: fiktive Darstellung Systemaufrichtung © Ursula Knappl

Abbildung 4.3-7: fiktive Darstellung Tragsystem © Ursula Knappl

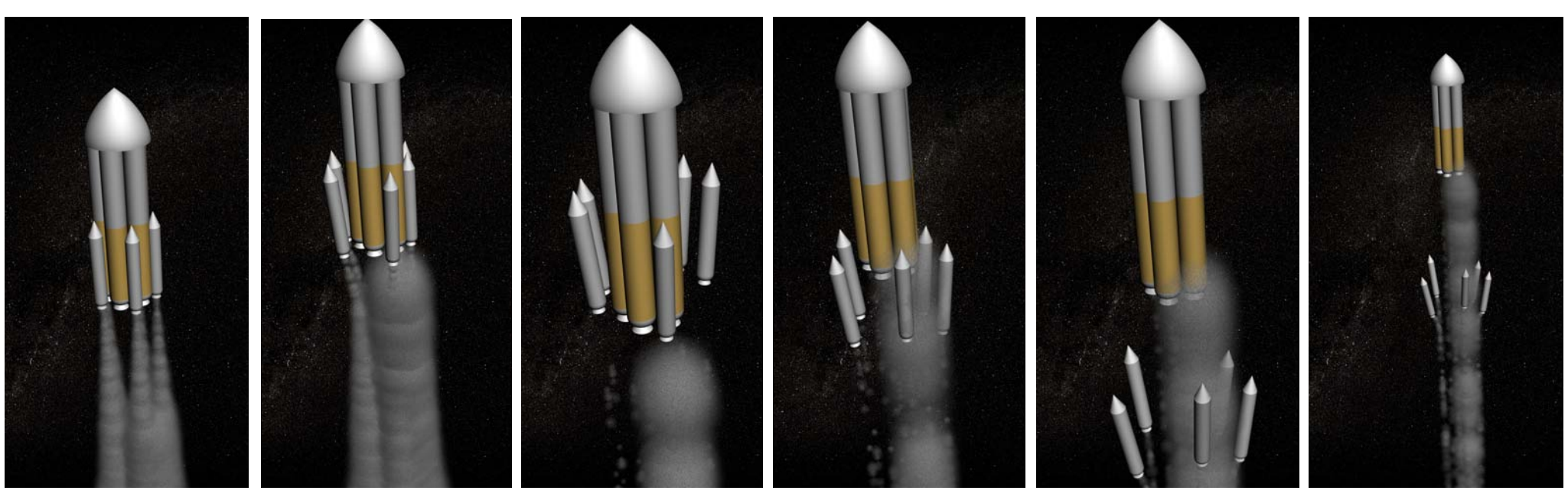


Abb.4.3-8: Stufe 1 - fiktive Dokumentation einer Reise zum Mars

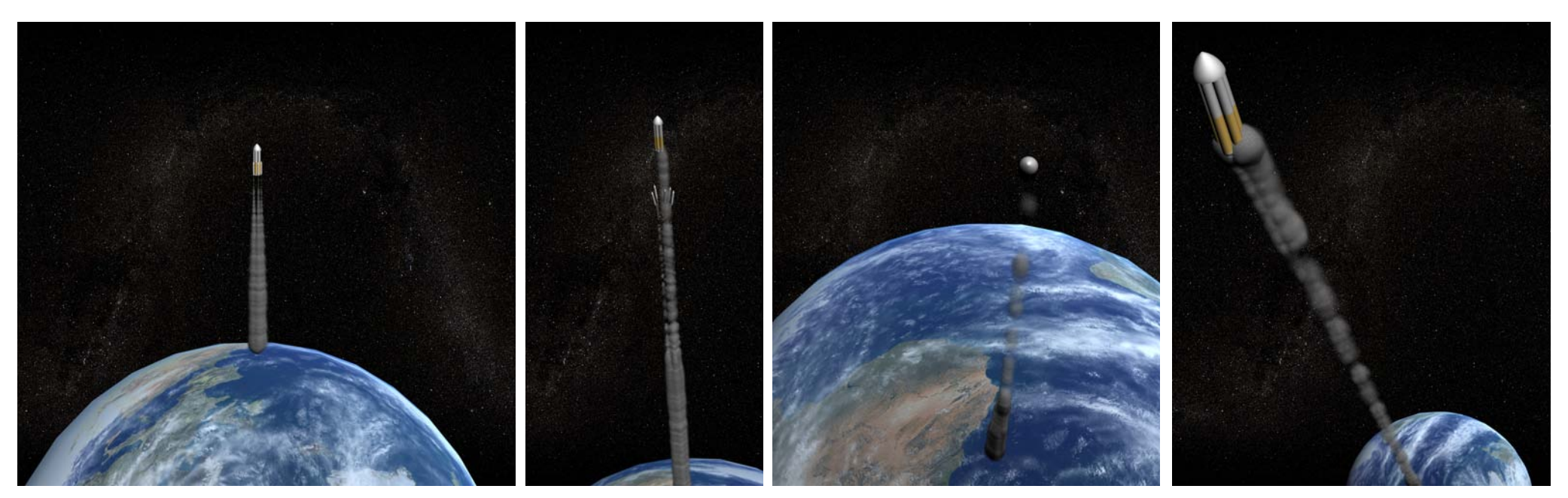
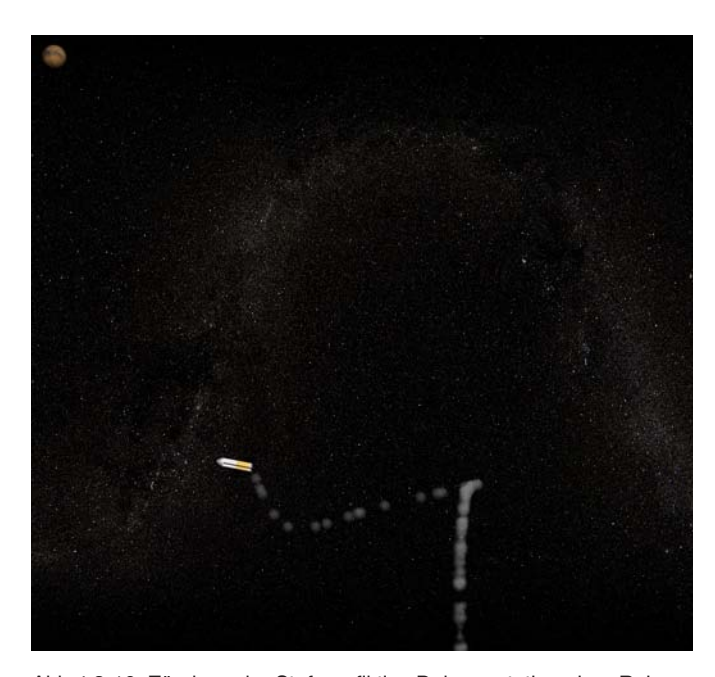
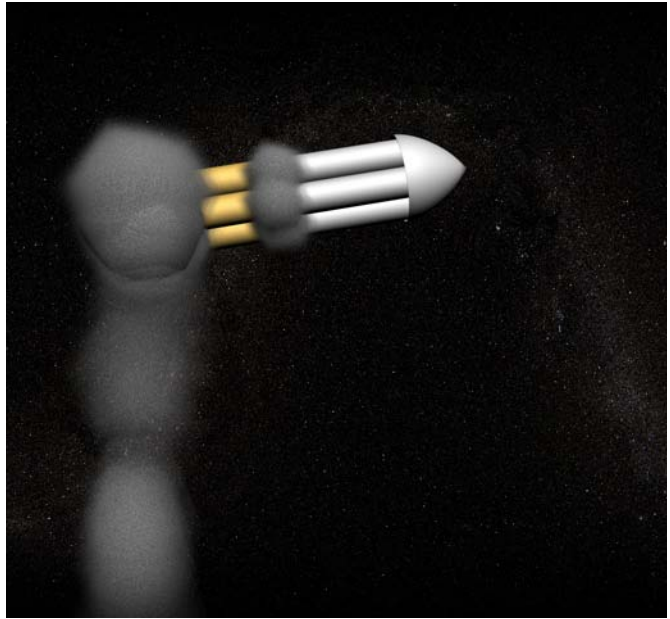


Abb.4.3-9: Verlassen der Erde - fiktive Dokumentation einer Reise zum Mars

Abbildungsserie einer künstlerischen Darstellung vom Verlassen der Erde mit Hilfe von Feststoffboostern

Abbildung 4.3-8: Stufe 1 - fiktive Dokumentation einer Reise zum Mars © Ursula Knappl Abbildung 4.3-9: Verlassen der Erde - fiktive Dokumentation einer Reise zum Mars © Ursula Knappl





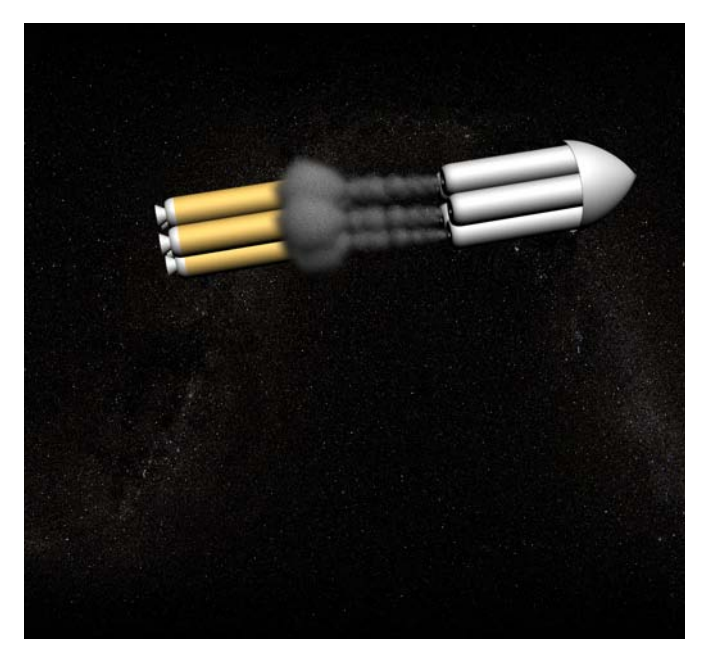


Abb.4.3-10: Zündung der Stufen - fiktive Dokumentation einer Reise zum Mars



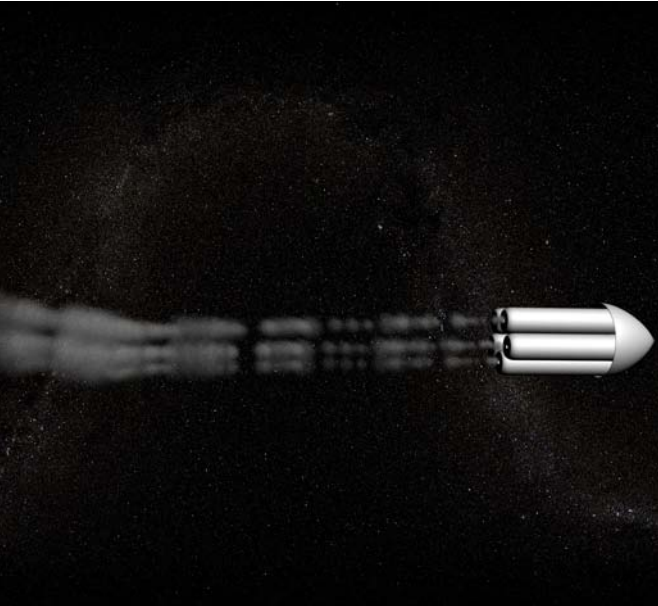
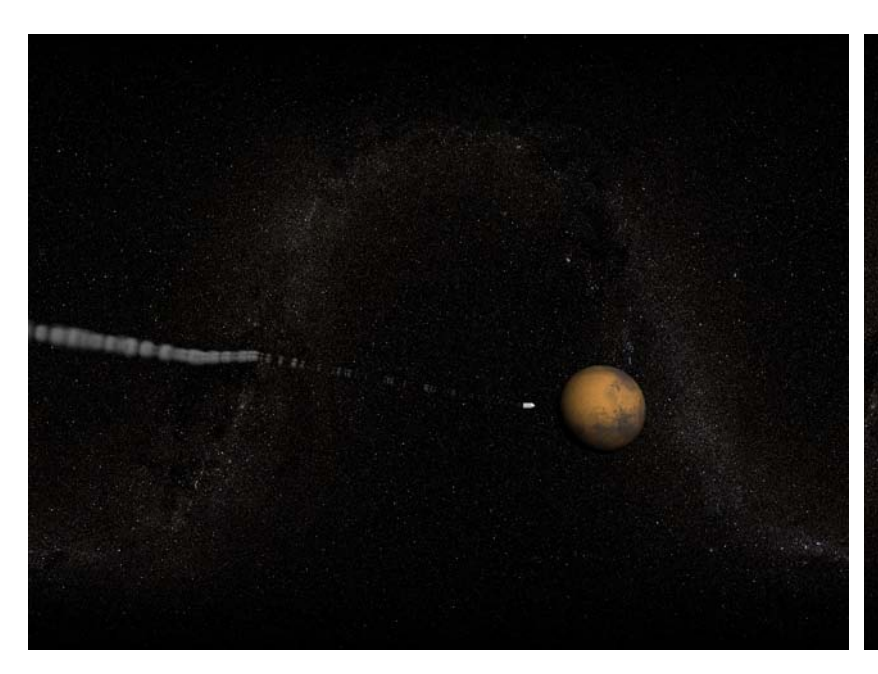


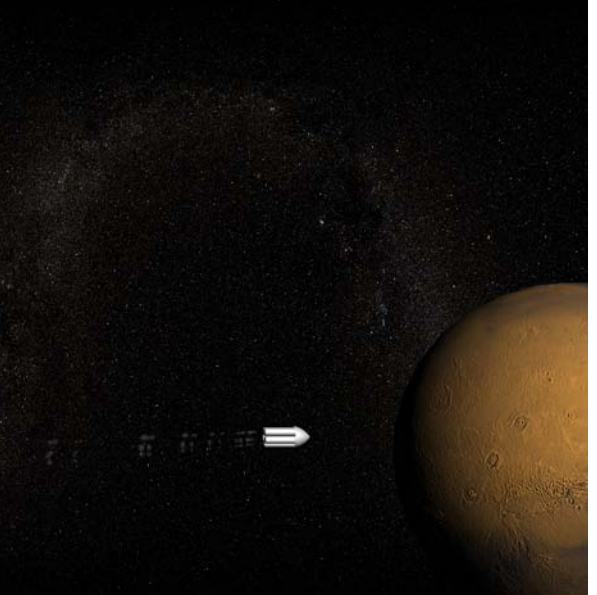


Abb.4.3-11: Anflug des roten Planeten - fiktive Dokumentation einer Reise zum Mars

Abbildungsserie einer künstlerischen Darstellung von der Zündung der zweiten und dritten Raketenstufe bzw. manövrieren in den Übergangsorbit bis zum Anflug des roten Planeten.

Abbildung 4.3-10: Zündung der Stufen - fiktive Dokumentation einer Reise zum Mars © Ursula Knappl Abbildung 4.3-11: Anflug des roten Planeten - fiktive Dokumentation einer Reise zum Mars © Ursula Knappl





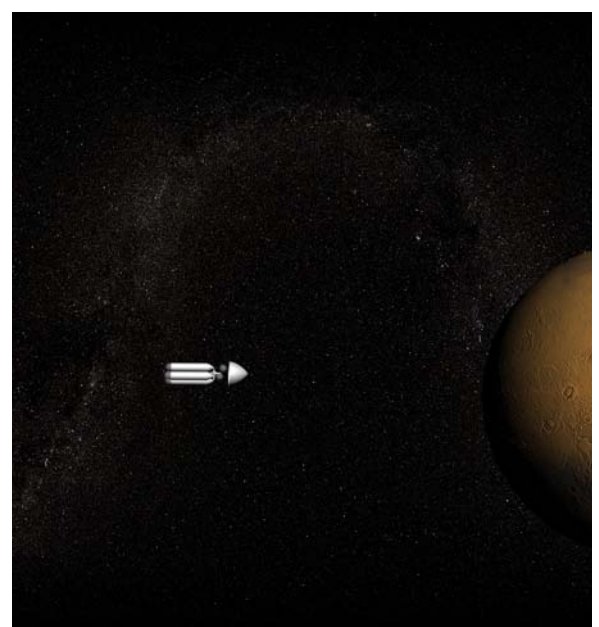


Abb.4.3-12: Positionierung im Orbit - fiktive Dokumentation einer Reise zum Mars

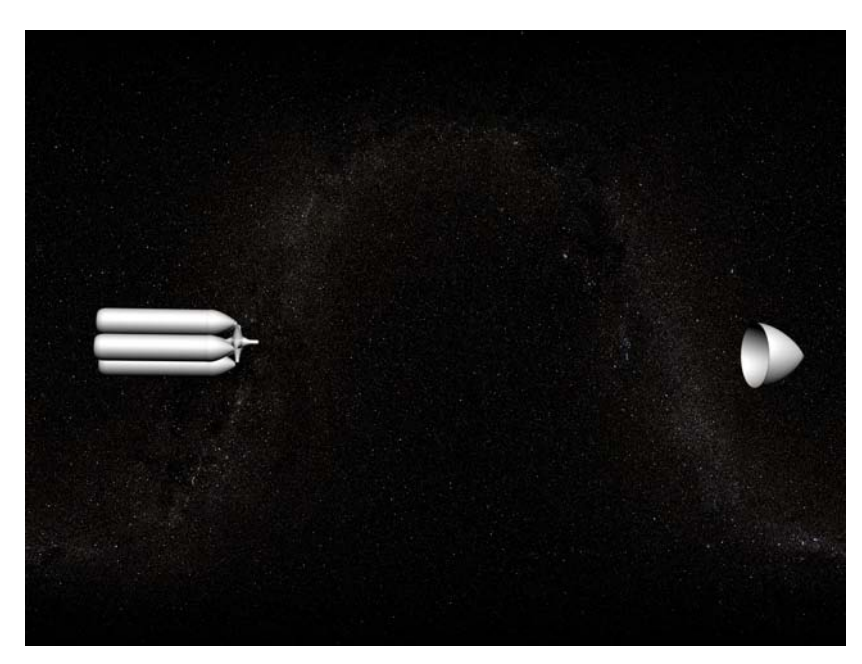






Abb.4.3-13: Errichtung des System - fiktive Dokumentation einer Reise zum Mars

Abbildungsserie einer künstlerischen Darstellung von der Positionierung im niedrigen Marsorbit bis zur Errichtung des Tragsystems

Abbildung 4.1-1: Formel 4.1-1: Abbildung 4.1-2: Formel 4.1-2: Abbildung 4.1-3: Abbildung 4.1-4: Formel 4.1-3: Abbildung 4.1-5: Abbildung 4.1-6: Abbildung 4.1-7: Abbildung 4.1-10: Abbildung 4.1-11: Formel 4.1-4: Abbildung 4.1-12: Formel 4.1-5: Zitat 4.1-1: Formel 4.1-6: Formel 4.1-7: Formel 4.1-8: Formel 4.1-9:	Wiley J. Larson and Linda K. Pranke, Human Spaceflight, Seite 11, McGraw-Hill 2000 W. Steiner und M. Schagerl, Raumflugmechanik, Seite 203, Springer Verlag 2004 W. Steiner und M. Schagerl, Raumflugmechanik, Seite 200, Abbildung 8.2, Springer Verlag 2004 W. Steiner und M. Schagerl, Raumflugmechanik, Seite 78, Gleichung 3.36, Springer Verlag 2004 Giles Sparrow, Abenteuer Raumfahrt, Seite 197, Dorling Kindersley Verlag 2007 Giles Sparrow, Abenteuer Raumfahrt, Seite 190, Dorling Kindersley Verlag 2007 W. Steiner und M. Schagerl, Raumflugmechanik, Seite 214, Springer Verlag 2004 W. Steiner und M. Schagerl, Raumflugmechanik, Seite 79, Abbildung 3.79, Springer Verlag 2004 www.nasa.gov/centers/marshall/images/content/119006main_External_Tank_Cutaway_5530x2060.jpg) www.buran.fr/energia/img/plan-grand.jpg W. Steiner und M. Schagerl, Raumflugmechanik, Seite 189, Springer Verlag 2004 W. Steiner und M. Schagerl, Raumflugmechanik, Seite 211, Springer Verlag 2004 W. Steiner und M. Schagerl, Raumflugmechanik, Seite 184, Abbildung 7.8, Springer Verlag 2004 W. Steiner und M. Schagerl, Raumflugmechanik, Seite 212, Abbildung 8.11, Springer Verlag 2004 W. Steiner und M. Schagerl, Raumflugmechanik, Seite 214, Abbildung 8.12, Springer Verlag 2004 W. Steiner und M. Schagerl, Raumflugmechanik, Seite 213, Springer Verlag 2004 W. Steiner und M. Schagerl, Raumflugmechanik, Seite 189, Springer Verlag 2004 W. Steiner und M. Schagerl, Raumflugmechanik, Seite 199, Springer Verlag 2004 W. Steiner und M. Schagerl, Raumflugmechanik, Seite 165, Springer Verlag 2004 W. Steiner und M. Schagerl, Raumflugmechanik, Seite 165, Springer Verlag 2004 W. Steiner und M. Schagerl, Raumflugmechanik, Seite 166, Gleichung 7.5, Springer Verlag 2004 W. Steiner und M. Schagerl, Raumflugmechanik, Seite 166, Gleichung 7.5, Springer Verlag 2004 W. Steiner und M. Schagerl, Raumflugmechanik, Seite 166, Gleichung 7.5, Springer Verlag 2004
Formel 4.1-9: Formel 4.1-10:	W. Steiner, Vo Dynamik und Steuerung von Raumfahrzegen, TU-Wien 2008 W. Steiner und M. Schagerl, Raumflugmechanik, Seite 175, Gleichung 7.12, Springer Verlag 2004
Abbildung 4.1-13:	W. Steiner, Vo Dynamik und Steuerung von Raumfahrzegen, TU-Wien 2008
Abbildung 4.1-14: Abbildung 4.1-15:	http://www.nasa.gov/mission_pages/constellation/multimedia/ares_collage2.html www.nasa.gov/pdf/151420main_aresV_factsheet.pdf
Abbildung 4.1-16:	http://mix.msfc.nasa.gov/IMAGES/HIGH/9906399.jpg
Abbildung 4.1-17:	www.welsch.com
Abbildung 4.1-18:	W. Steiner und M. Schagerl, Raumflugmechanik, Seite 157, Abbildung 6.8, Springer Verlag 2004
Abbildung 4.1-19:	W. Steiner und M. Schagerl, Raumflugmechanik, Seite 158, Abbildung 6.9, Springer Verlag 2004
Abbildung 4.1-20: Formel 4.1-11:	W. Steiner und M. Schagerl, Raumflugmechanik, Seite 159, Abbildung 6.10, Springer Verlag 2004 W. Steiner und M. Schagerl, Raumflugmechanik, Seite 157, Springer Verlag 2004
1 OIIIIei 4.1-11.	W. Steller und W. Schagen, haufflidgmechanik, Seite 197, Springer verlag 2004
Abbildung 4.2-1:	Marsumgebung © Ursula Knappl (Quelle © NASA)
Abbildung 4.2-2:	W. Steiner und M. Schagerl, Raumflugmechanik, Seite 268, Abbildung 10.8, Springer Verlag 2004
Abbildung 4.2-3: Abbildung 4.2-4:	Stabilisierung aufgrund von Eigenrotation © Ursula Knappl Anflug Mars © Ursula Knappl
Abbildung 4.2-5:	Bauort Mars © Ursula Knappl
Abbildung 4.2-6:	Anflug in den Parkorbit © Ursula Knappl
Abbildung 4.2-7:	Raumstation im niedrigen Marsorbit © Ursula Knappl
Tabelle 4.2-1: Abbildung 4.2-8:	W. Steiner und M. Schagerl, Raumflugmechanik, Seite 223, Tabelle 8.2, Springer Verlag 2004 Satelliten in L4 und L5 des Erdorbits © Ursula Knappl
Abbildung 4.2-9:	Kommunikationssystem Erde-Mars © Ursula Knappl
Abbildung 4.2-10:	Vermessungssatellit im polaren Marsorbit © Ursula Knappl
Abbildung 4-2-11:	W. Steiner, Vo Dynamik und Steuerung von Raumfahrzeugen, TU-Wien 2008
Abbildung 4.2-12:	http://mars.jpl.nasa.gov/odyssey
Abbildung 4.2-13: Abbildung 4.2-14:	http://esamultimedia.esa.int/images/marsexpress/MarsExpress04_H1.jpg Mars Reconnaissance Orbiter © NASA
Abbildung 4.2-15:	http://photojournal.jpl.nasa.gov/catalog/PIA07500
Abbildung 4.2-16:	http://www.nasa.gov/images/content/274784main_maven_spacecraft_full.jpg
Abbildung 4.2-17:	http://www.nasa.gov/centers/jpl/images/content/263919main_mer1-browse.jpg
Abbildung 4.2-18:	http://photojournal.jpl.nasa.gov/jpeg/PIA07187.jpg

4 Quellenverzeichnis

Tabelle 4.3-1:	http://seds.org/~spider/spider/Mars/marsopps.html
Abbildung 4.3-1:	Holger Heuseler, Dr. Ralf Jaumann und Prof. Dr. Gerhard Neukum, Die Mars-Mission, Seite 27, München BLV 1998
Abbildung 4.3-2:	http://upload.wikimedia.org/wikipedia/commons/c/ce/Konjunktionen.png
Abbildung 4.3-3:	fiktive Darstellung Startsystem © Ursula Knappl
Abbildung 4.3-4:	fiktive Darstellung Absprengung der 2. Stufe © Ursula Knappl
Abbildung 4.3-5:	fiktive Darstellung Absprengung der Schutzkappe © Ursula Knappl
Abbildung 4.3-6:	fiktive Darstellung Systemaufrichtung © Ursula Knappl
Abbildung 4.3-7:	fiktive Darstellung Tragsystem © Ursula Knappl
Abbildung 4.3-8:	Stufe 1 - fiktive Dokumentation einer Reise zum Mars © Ursula Knappl
Abbildung 4.3-9:	Verlassen der Erde - fiktive Dokumentation einer Reise zum Mars © Ursula Knappl
Abbildung 4.3-10:	Zündung der Stufen - fiktive Dokumentation einer Reise zum Mars © Ursula Knappl
Abbildung 4.3-11:	Anflug des roten Planeten - fiktive Dokumentation einer Reise zum Mars © Ursula Knappl
Abbildung 4.3-12:	Positionierung im Orbit - fiktive Dokumentation einer Reise zum Mars © Ursula Knappl
Abbildung 4.3-13:	Errichtung des System - fiktive Dokumentation einer Reise zum Mars © Ursula Knappl

W. Steiner und M. Schagerl, Raumflugmechanik, Springer Verlag 2004
Die Raumstation als Bahnhof für interplanetare Missionen_Michael H. Obersteiner_Dissertation 1989
Holger Heuseler, Dr. Ralf Jaumann und Prof. Dr. Gerhard Neukum, Die Mars-Mission, München BLV 1998

5 Concordia - bemannte Raumstation

5.1 Die Geburt der Raumstation

Namensgebung

Künstliche Schwerkraft auf der Concordia

Aufbau und Wachstum

Anforderungen an das Habitat

5.2 Zusammensetzung der Raumstation

Wachstumsschema

Wegeführung

Funktionsdiagramme

Bordkreisläufe

5.3 Plandarstellung der Habitate

Raum- und Platzbedarf

Plandarstellung







Abb.5.1-2: Die Göttin Venus

Namensgebung

Aus der Verbindung des Kriegsgottes Mars mit Venus, der Göttin der Schönheit und der Liebe entstammten Eros, Deimos, Phobos und Concordia.

Concordia, die personifizierte Göttin der Eintracht, galt auch als Tugendbegriff im altrömischen Reich. Ihr zu Ehren wurde ein prächtiger Tempel im Forum Romanum geweiht. Anlässlich der Versöhnung zwischen den Plebejern und den Patriziern wurde jährlich am 16. Jänner ein Fest zur Verehrung der Göttin der Eintracht gefeiert.

Aufgrund der vorhandenen Bezeichnungen der Gestirne nach den römischen Gottheiten fiel die Namensgebung meiner marsumkreisenden Raumstation neben Phobos und Deimos auf deren Schwester Concordia.

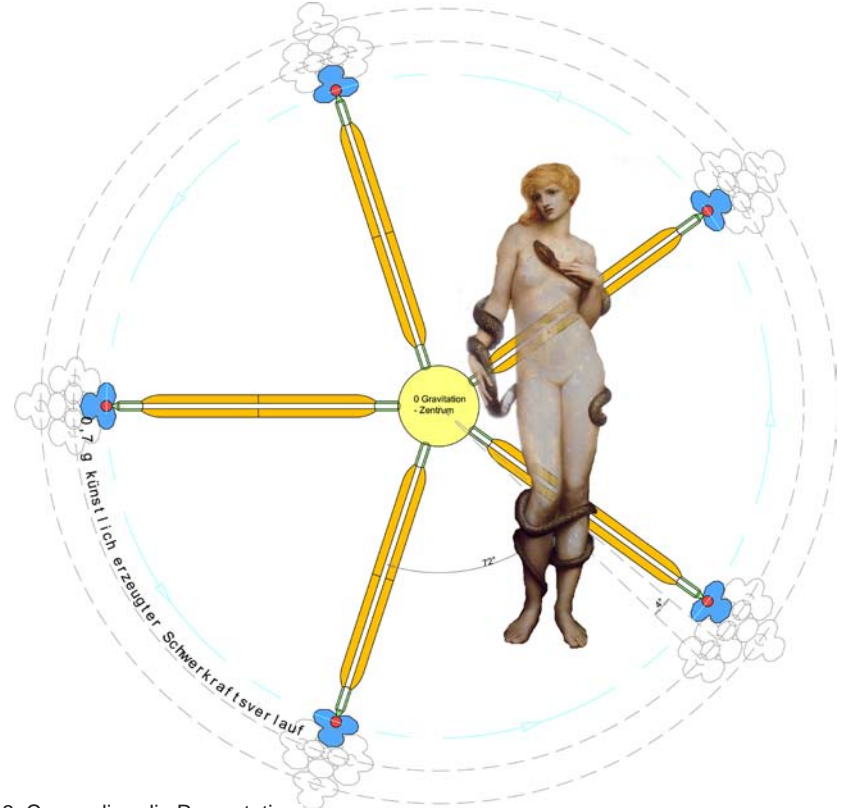


Abb. 5.1-3: Concordia - die Raumstation

Abbildung 5.1-1: Der Gott Mars

Concordia ... entspricht in der griechischen Mythologie der Göttin "Harmonia"

Abbildung 5.1-2: Die Göttin Venus Abbildung 5.1-3: Concordia - die Raumstation

Künstliche Schwerkraft auf der Concordia

Die Erzeugung von künstlicher Schwerkraft ist für eine Langzeitmission unerlässlich. Daher ist die Rotation der Station ein wichtiger Bestandteil der Entwurfsparameter und muss von Anfang an in die Planung miteinbezogen werden.

Die durch Eigenrotation erzeugte Gravitation ist eine Scheinkraft, die aufgrund einer gleichmäßigen Beschleunigung innerhalb einer Kreisbahn zustande kommt. Es handelt sich hierbei um die Zentripetal- bzw. Radialkraft, welche zum Drehzentrum gerichtet ist. Gleichzeitig wirkt die gegengerichtete Zentrifugal- bzw. Fliehkraft. Diese Trägheitskraft ist genauso groß wie die Zentripetalkraft, weist jedoch vom Drehzentrum weg.

$$F = mr\omega^2$$
 [Formel 5.1-1]

m ... Masse des Körpersr ... Radius der Kreisbahn

 ω ... Winkelgeschwindigkeit des Körpers

$$r\omega^2 = g \cdot 0.7$$
$$\omega^2 = (2\pi n)^2$$

g ... 9.81 m/s^2 Gravitationsfeldstärke auf der Erde λ ... 0.7 m/s^2 erwünschte Gravitation auf der Concordia

Die Anzahl der erforderlichen Umdrehungen zur Erzeugung der gewünschten Schwerkraft von 0,7g errechnet sich durch:

$$(2\pi n)^2 r = g \lambda$$
 $n = \frac{1}{2\pi} \sqrt{\frac{g}{r}} \lambda$ [Formel 5.1-2]

Daraus ergibt sich für die Raumstation eine erforderliche Rotation von 2,5 Umdrehungen pro Minute.

Findet innerhalb des rotierenden Systems eine Bewegung eines Objektes radial nach innen oder außen statt, so tritt die sogenannte *Coriolis-Kraft* ein, welche ebenso zu den Schein- und Trägheitskräften zählt.

Die Abbildung 5.1-4 zeigt den verzerrten Fall eines Gegenstandes, der etwa einen Meter entfernt vom normalen Aufprallort auftrifft.

Der Auswirkungsgrad bzw. die Spürbarkeit der Coriolis-Kraft ist abhängig von dem Verhältnis des Radius´ zur Raumhöhe des Habitats.

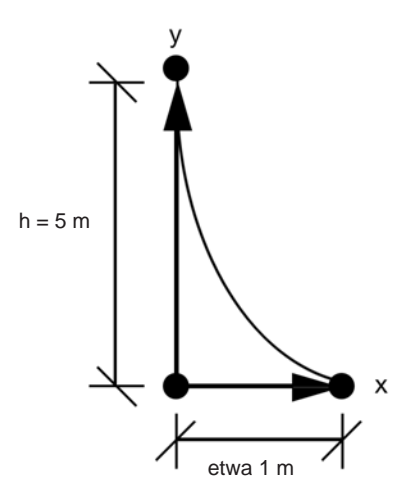


Abb. 5.1-4: Corioliskraft

Formel 5.1-1: Zentripetal- bzw. Zentrifugalkraft (gegengerichtetes Vorzeichen) Formel 5.1-2: Anzahl der Umdrehungen in der Minute

Coriolis-Kraft ... benannt nach dem französischer Mathematiker und Physiker Gaspard Gustave de Coriolis (1792-1843)

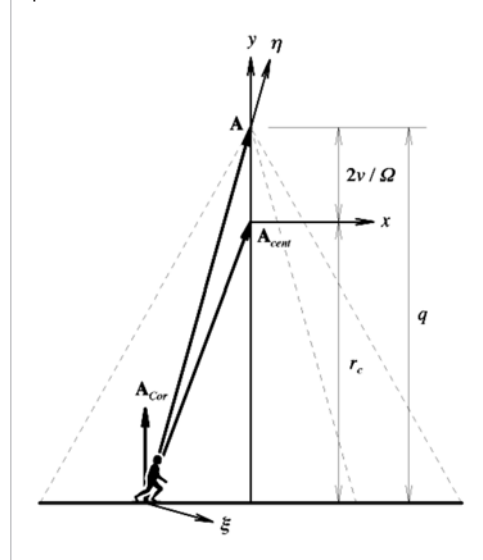
Abbildung 5.1-4: Corioliskraft nach Skizze von Prof. Wolfgang Steiner

Die Organisation eines Habitats im rotierenden Zustand muss auf seine Bewohner abgestimmt und angepasst werden.

Die durch Rotation entstehende Coriolis-Kraft führt zu Desorientierung bei Bewegung des Körpers im Habitat. Es treten Störungen bei der Hand-Augen-Koordinierung und im Gleichgewichtsorgan auf. Besonders Bewegungen quer zur Rotationsrichtung führen zu unangenehmen Begleiterscheinungen.

Menschen sind jedoch in der Lage sich einem System zwischen zwei bis sechs Umdrehungen pro Minute anpassen zu können.

Bei der Planung einer rotierenden Raumstation ist zu berücksichtigen, dass die Bodenform der Krümmung des künstlich erzeugtem Schwerkraftsverlauf angepasst werden sollte.



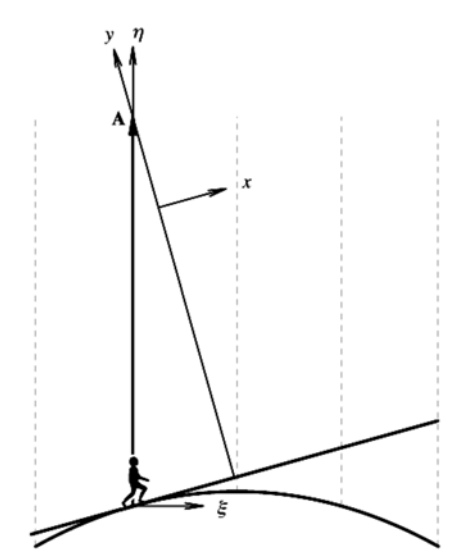


Abb. 5.1-5: Flacher Boden

Abb. 5.1-6: scheinbares Gefälle

Die Planung einer rotierenden Raumstation sollte aus der Sicht des sich im System befindenden Raumfahrers durchgeführt werden.

Bei der Bewegung innerhalb der Raumstation ist der Raumfahrer stets mit der Überwindung eines scheinbaren Gefälles konfrontiert.

Die dem Schwerkraftsverlauf angepasste Bodenkrümmung ist bei großen Radien kaum spürbar. Durch die Gliederung der Station in kleinere Einheiten ist die Wahrnehmung des Raumes für den Raumfahrer angenehmer.

Die Aufgabe der Architektur ist es, den Bewohner in der Orientierung zu unterstützen und sich an die neuen Gesetzmäßigkeiten und deren Kräfteverläufe zu gewöhnen bzw. sich anzupassen.

Bei Kopfbewegungen werden die Einwirkungen der Coriolis-Kraft spürbar. Während des Schlafens dreht sich Kopf um Längsachse. Daher sollte die Schlafkoje so ausgerichtet werden, dass die Körperlängsachse parallel zur Drehlängsachse ist.

Innerhalb einer rotierenden Raumstation herrschen unterschiedliche Gravitationsbedingungen, auf die in der Planung individuell eingegangen werden sollte.

Abbildung 5.1-5: Flacher Boden Abbildung 5.1-6: scheinbares Gefälle Die Raumstation beinhaltet ein schwereloses Zentrum von dem partielle Schwerkraftsverläufe ausgehen. Beim Klettern auf einer Leiter in Richtung Gravitaionszentrum wirken andere Kräfte als unter den gewohnten terrestrischen Bedingungen. In einem System von künstlich erzeugter Gravitation können terrestrische Gefällebestimmungen als Richtwerte herangezogen werden.

Studien haben gezeigt, dass der Umgang mit der Schwerkraft nicht angeboren ist, sondern anhand von visuellen Erfahrungen erlernt wird.

Schwerkraft stärkt den Sinn für Richtungen und Orientierung. Von Natur aus werden sechs Richtungen anhand von drei Raumachsen vom Menschen wahrgenommen: oben-unten, links-rechts und vorne-hinten.

In der Gestaltung und Wahrnehmung des Raumes wird dies über Decke, Wand und Boden definiert.

In einem rotierenden System sollte die Orientierung durch die Kennzeichnung der prograden "Ostwand" und retrograden "Westwand" erleichtert werden. Farbliche Akzentuierung der Raumgrenzen kann ebenfalls eingesetzt werden. Decken heben sich durch hellere Farbtöne von den Böden ab. Ebenso können nach Osten orientierte Wände durch zurückhaltende Farben von den nach Westen weisenden gekennzeichnet werden. (siehe Abb. 5.1-9)

Auf der Raumstation "Concordia" sind die Bewohner unterschiedlichen Gravitationsfeldern ausgesetzt. Im Zentrum der Station befindet sich ein Knotenelement in dem Mikrogravitation herrscht. Dieser Bereich eignet sich für Forschungsarbeit in der Schwerelosigkeit in den Sparten Elektrotechnik, Kerntechnik, Pharmazie, Informatik, Feinwerktechnik, Raumfahrttechnologie, Mineralogie, Medizin und Biologie.

Die fünf Achsen der Station, welche durch die Letztstufe des Transportsystems gebildet werden, stellen in erster Linie das Tragwerk dar und sorgen nebenbei für die Haupterschließung. Beim Durchqueren der 100 m langen Erschließungsachse mittels Kapsellift, erfährt der Raumfahrer unterschiedliche Schwerkraftsverläufe.

In den Habitaten, welche an den Achsenden befestigt sind, herrscht eine künstlich erzeugte Schwerkraft von 0,7g - fast um ein Drittel weniger als unter terrestrischen Bedingungen.



Abb. 5.1-7: Gravitationsschema

Abbildung 5.1-7: Gravitationsschema © Ursula Knappl

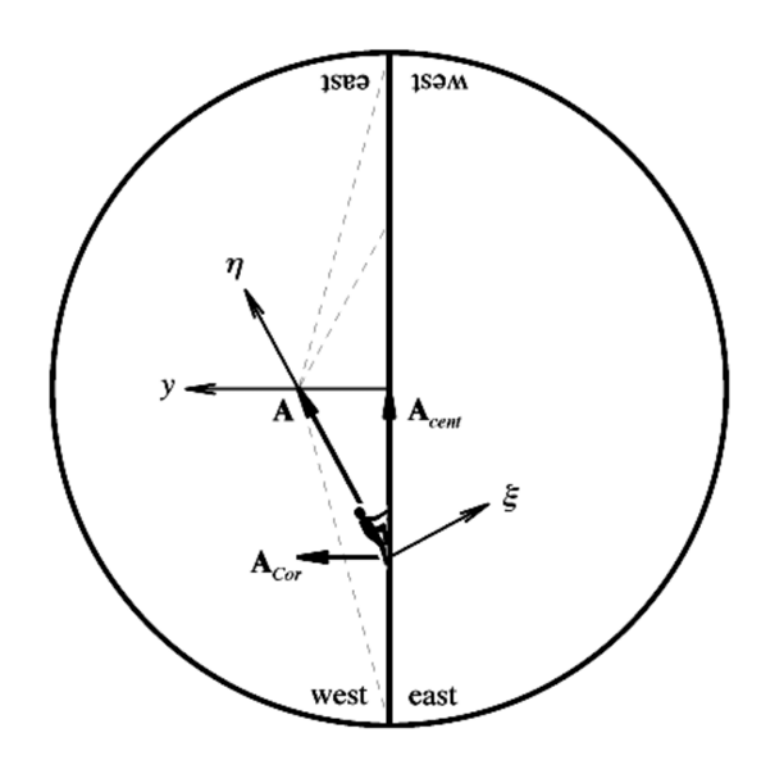


Abb. 5.1-8: Klettern im rotierenden System

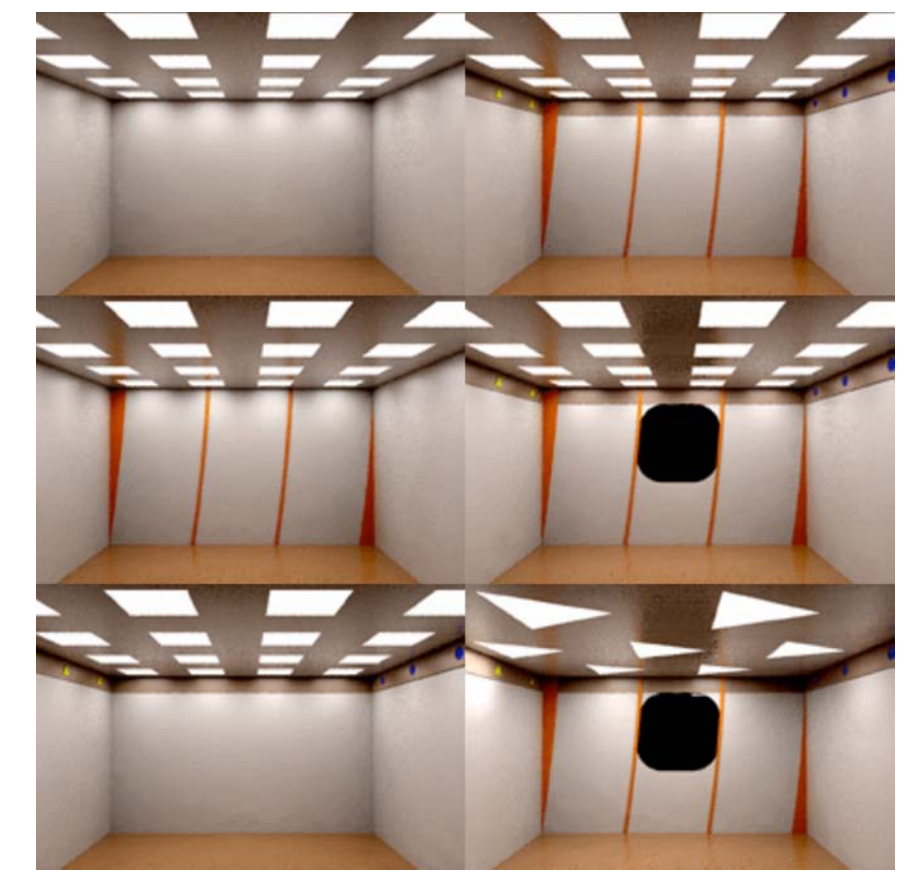


Abb. 5.1-9: Farbakzentuierung

Abbildung 5.1-8: Klettern im rotierenden System Abbildung 5.1-9: Farbakzentuierung

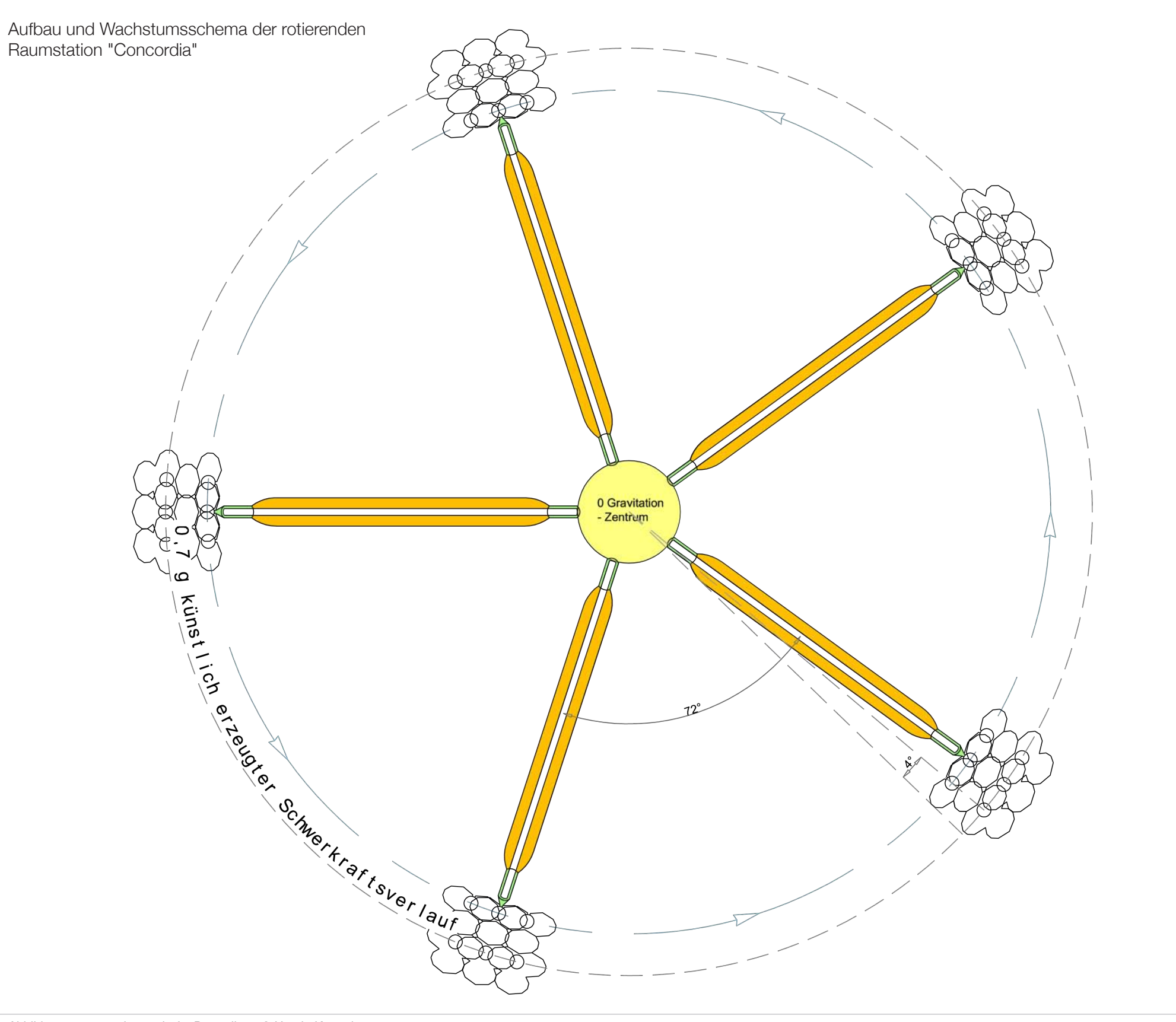


Abbildung 5.1-10: schemenhafte Darstellung © Ursula Knappl

Aufbau und Wachstum

Der Grundgedanke bei der Konzeptionierung einer rotierenden Raumstation im größerem Rahmen war ein Muster zu bilden, welches ein stetig wachsendes System zulässt und somit eine "unendliche" Erweiterbarkeit gewährleistet.

Das sogenannte *Penrose* Muster, welches für Parkettböden verwendet wird, lässt sich aufgrund seiner Geometrie unendlich variieren und erweitern. Die Geometrie besteht aus 2 unterschiedlichen Rauten mit einem Winkel von 36° bzw. 72°, die in unendlich vielen Variationen kombiniert werden können. Die Abbildung 5.1-12 zeigt eine Aufbau- und Kombinationsstudie dieser Formengeometrie.

Beim weiteren Entwurfsprozess wird schließlich nur mehr mit den kleineren Rauten (in der Abb. Grün dargestellt) und dem fünfachsigen System weitergearbeitet.

Der nächste Schritt beinhaltet die Formoptimerung des spitzwinkeligen Rautenmoduls. Weiters wird ein autarkes Versorgungsmodul mit Fluchtweg(en) in das Rautensystem aufgenommen. Es bietet sich hierfür eine Wabenstruktur bestehend aus vier Waben, die sich um ein Zentrum gruppieren, an. Das Zentrum bzw. das Versorgungsmodul soll an das Modell einer herkömmlichen Raumstation angelehnt sein und als Zufluchtsort bei Solarwind bzw. Sonnenerosion dienen.

Die Anordnung der Wabenstruktur erfolgt zunächst an den Enden der fünf Achsen und richtet sich nach dem Schwerkraftsverlauf der künstlichen Gravitation. Dabei werden die zylindrischen Schutzzonen entlang der durch die Rotation hervorgerufenen kreisförmigen Schwerkraftlinie angeordnet.

Es ist zu beachten, dass eine Erweiterung des Systems stets gleichförmig und zeitgleich an allen Achsen erfolgen muss, um die Station im Gleichgewicht zu halten. Das Wachsen der Station kann durch verschiedene Anordnungsmuster der Module erfolgen. Bei der Kopplung der Module steht die Wegeführung, inbesondere das Fluchtwegesystem, im Vordergrund.

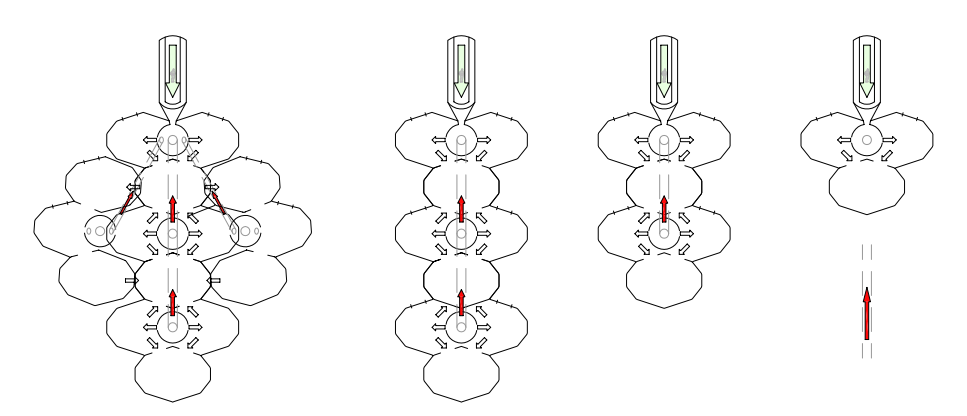


Abb. 5.1-11: Systemerweiterung

Penrose ... nach mathematischen Physiker Robert Penrose benannt

Abbildung 5.1-11: Systemerweiterung © Ursula Knappl

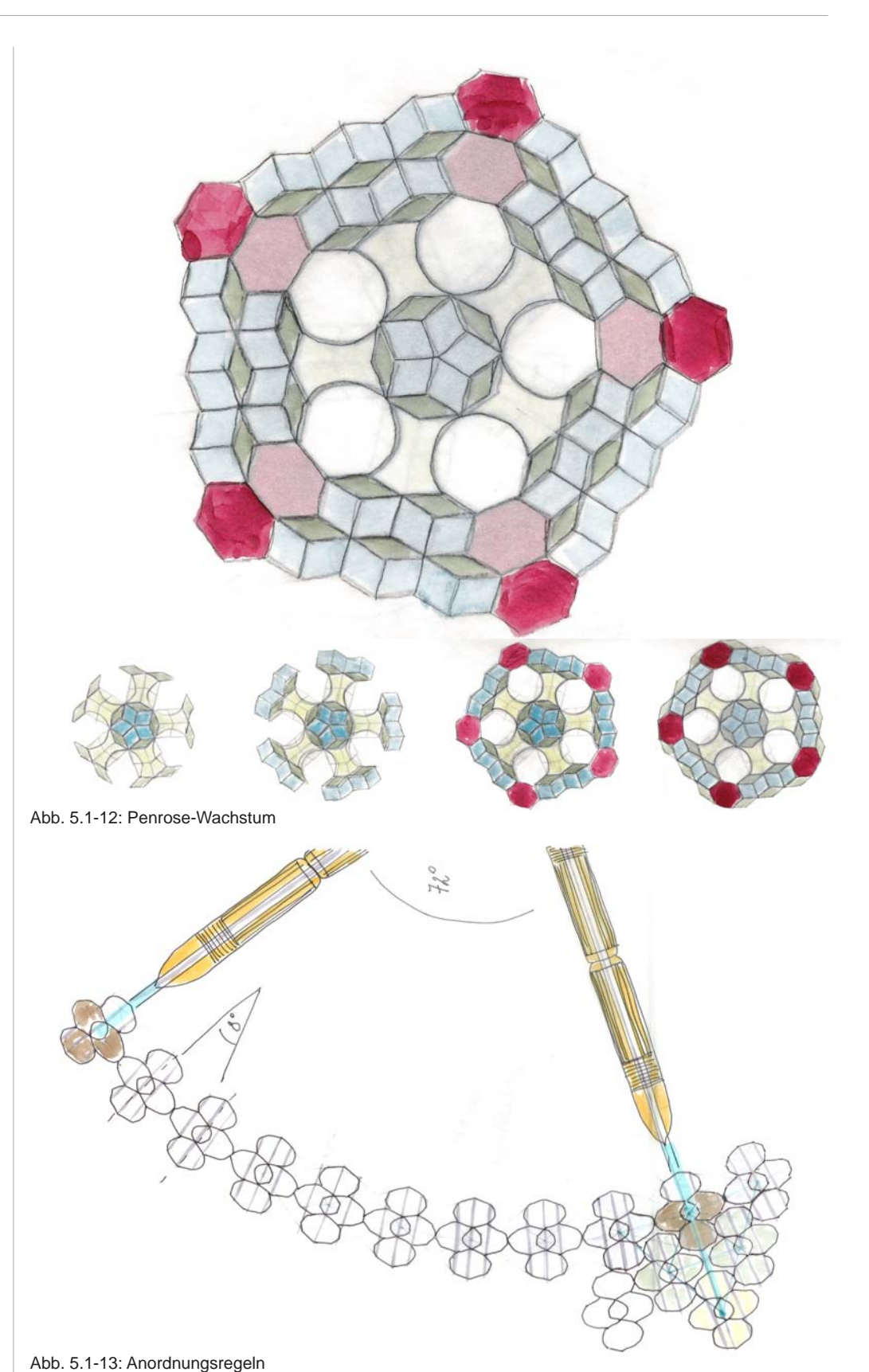


Abbildung 5.1-12: Penrose-Wachstum © Ursula Knappl Abbildung 5.1-13: Anordnungsregeln © Ursula Knappl

Die Raumfunktionen der gekoppelten Module müssen variabel sein und sich dem Wachstumstadium anpassen können. Genauso wie die Abstimmung der Raumfunktionen muss bei der Stationserweiterung über den Personenzuwachs entschieden werden.

Die Zusammensetzung und Auswahl der Personengruppen, die zuerst die Station betreten, jene die in weiteren Missionen nachfolgen, sowie ein Besatzungswechsel muss gut überlegt sein.

Um ein kontinuierliches Arbeiten zu gewährleisten müssen, laut ISS-Studie, mindestens drei Besatzungsmitglieder eingesetzt werden. Allein um die Station zu warten bedarf es einer Leistung von mindestens 2 Technikern.

Die Anreise zur Raumstation obliegt dem Kommandanten und seinen Missionsspezialisten, die für die technischen Systeme verantwortlich sind. Speziell für den Transport von Nutzlast müssen mindestens 3 weitere Spezialisten verfügbar sein, die auch für die Sicherheit der mitgeführten Geräte verantwortlich sind. Ein weiteres Crewmitglied ist ein "Astronaut-Educator", der für gesamte Besatzung zuständig ist.

Auf jeder Raumstation gibt es einen Stationskommandanten, der als Ansprechperson fungiert sowie für den Zusammenhalt der Gruppe verantwortlich ist.

Die Crewzusammensetzung der Concordia besteht aus einem Team von Technikern, Forschern, Flugingenieuren und Medizinern.

Techniker und Ingenieure sind für den Aufbau sowie für die Instandhaltung und Reparatur der Station und ihrer Lebenserhaltungssysteme zuständig. Diverse Experten werden den Forschungsfachgebieten (Geologie, Biologie, Physik, Meteorologie, Chemie, etc.) zugewiesen.

Ein Team von Medizinern bzw. Therapeuten soll den Besatzungsmitgliedern der "Concordia" zur Verfügung stehen.

Aufgrund der Größenordnung und der Aufbaubedingungen können fünf Teams gebildet und den Achsen zugeordnet werden. Innerhalb des Teams sollte jedoch eine ausgewogene Aufgabenverteilung nach Fachgebiet herrschen. Aufgrund der anfangsbedingten Distanzen zwischen den Modulen beginnend an den Achsenden, sind auch die Personengruppen voneinander getrennt. Bis das System zusammengewachsen ist, können die Stationsbewohner nur über das schwerelose Stationszentrum sozialen Kontakt halten. Je größer das Volumen der Raumstation durch Anbringen weiterer Moduleinheiten anwächst, desto mehr steigt die Zahl der Besatzungsmitglieder.

Aufgrund der daraus resultierenden Möglichkeiten bezüglich Teamzusammenstellung bzw. Austausch von Teammitgliedern oder Bildung hierarchischer Strukturen wäre es sicher interessant, eine Studie über das Leben auf der "Concordia" von Soziologen und Psychologen durchführen zu lassen.

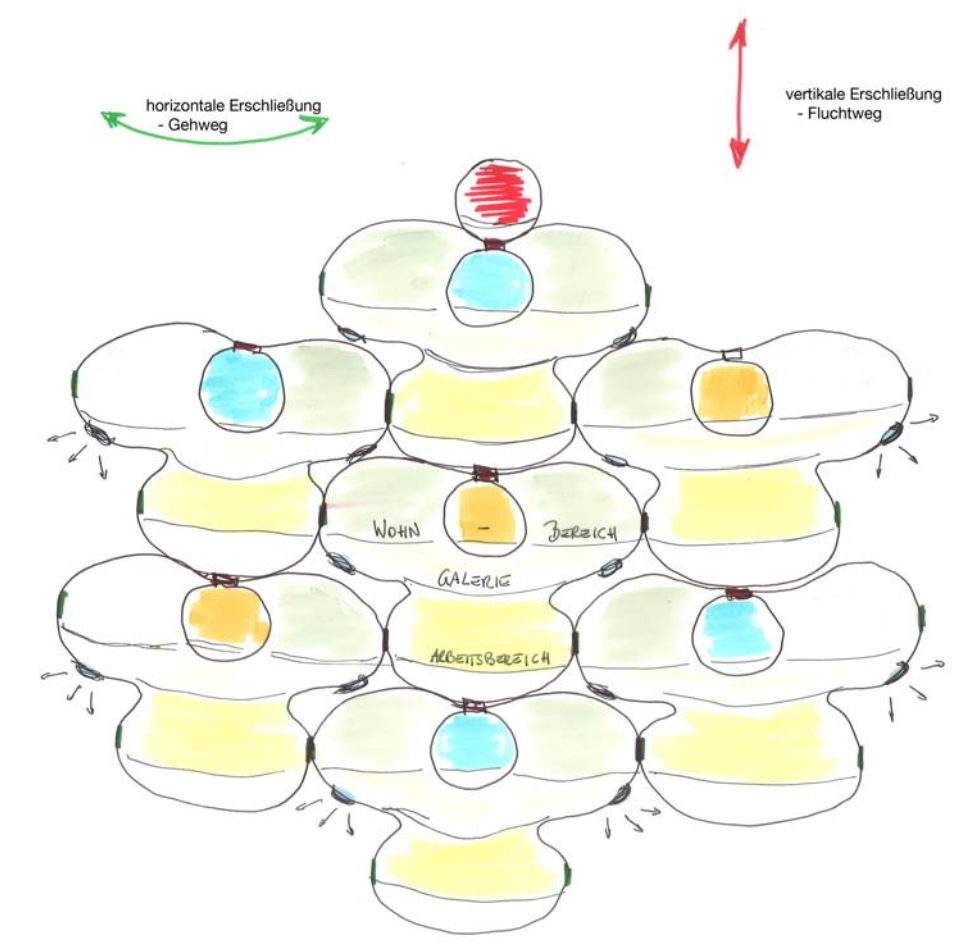


Abb. 5.1-14: Anordnungsschema

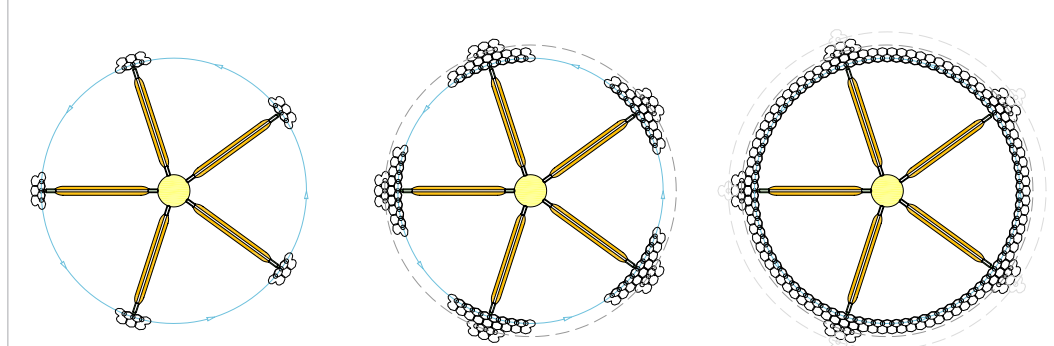


Abb. 5.1-15: Wachstumssschema

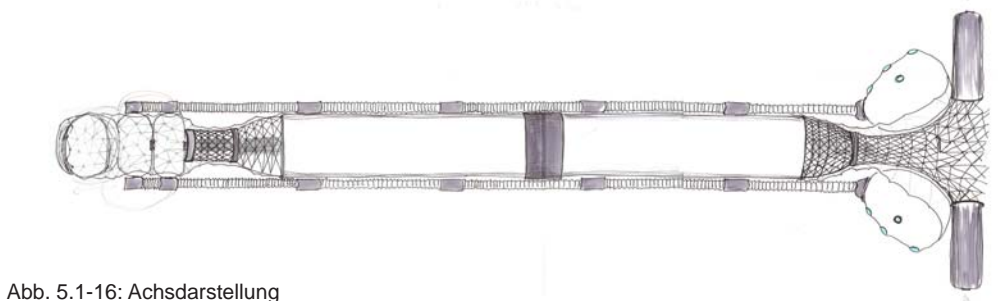


Abbildung 5.1-14: Anordnungsschema © Ursula Knappl Abbildung 5.1-15: Wachstumssschema © Ursula Knappl

Abbildung 5.1-16: Achsdarstellung © Ursula Knappl

Die Skizze der Achsdarstellung (Abb. 5.1-16) zeigt rechts den Verbindungsknoten an dem oben und unten ein Rotor befestigt ist, die schwerelosen Pneus, das Raketentragwerk und die daran montierten Habitate links davon.

Anforderungen an das Habitat

Da das Tragwerk mit der ersten Mission vorausgeschickt und bereits ausgefahren wurde, bedarf es nun der Anlieferung und Anbringung der Habitate. Die Formgebung der einzelnen Habitate obliegt der vorgegebenen Transportmittel und deren Frachträumen bzw. Ladebuchten.

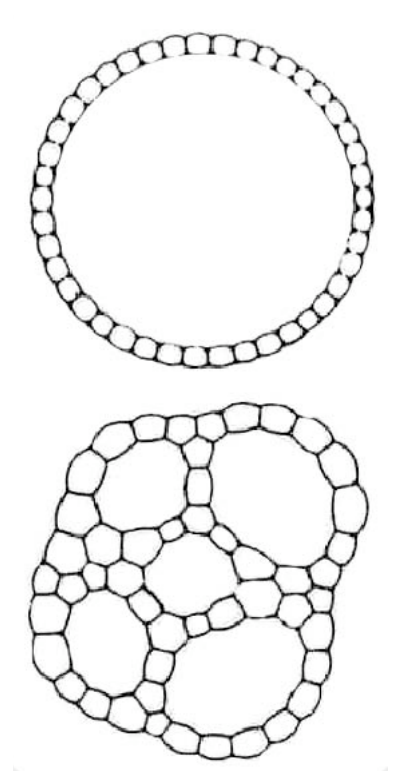
Daher gilt als wichtiger Entwurfsparameter die Faltung des Modulsystems in eine zylindrische Form, um die Fracht überhaupt in den Zielorbit transportieren zu können. Die vorgefertigten gefalteten Modulsysteme sind jedoch dadurch an die Abmessungen des Transportsystems gebunden.

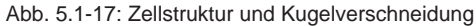
Die Abbildung 5.1-20 zeigt die ersten Überlegungen eines im Querschnitt faltbaren Systems.

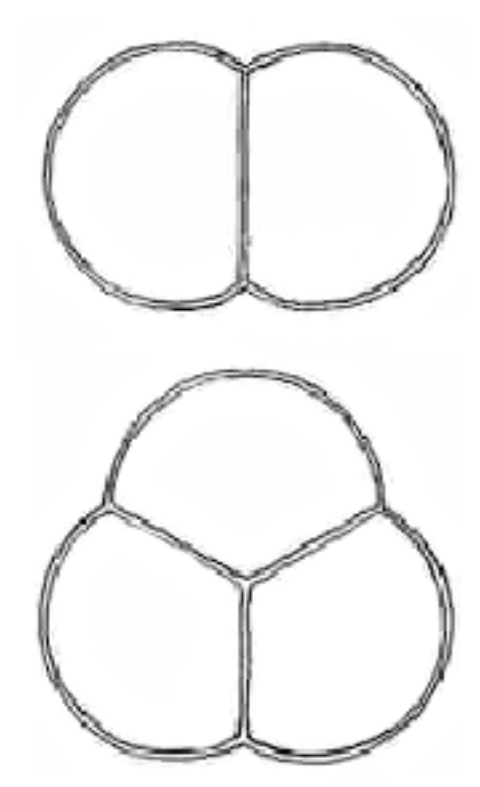
Ein weiteres Entwurfskriterium ist die Koppelbarkeit bzw. das Zusammenschließen der Modulsysteme, um vertikale Blickbeziehungen zu schaffen.

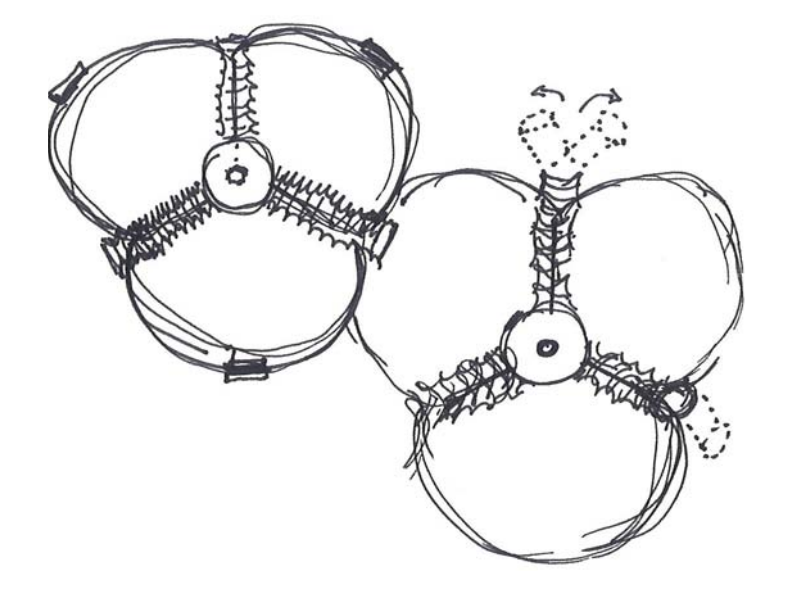
Die erste Studie zu einem Modulsystem ist die wabenförmige Gruppierung von Ellipsoiden um eine zylindrische Versorgungseinheit.

Das Umschließen des Versorgungszylinders durch die aufblasbaren Erweiterungen, soll seine Funktion als Schutzzone unterstreichen.









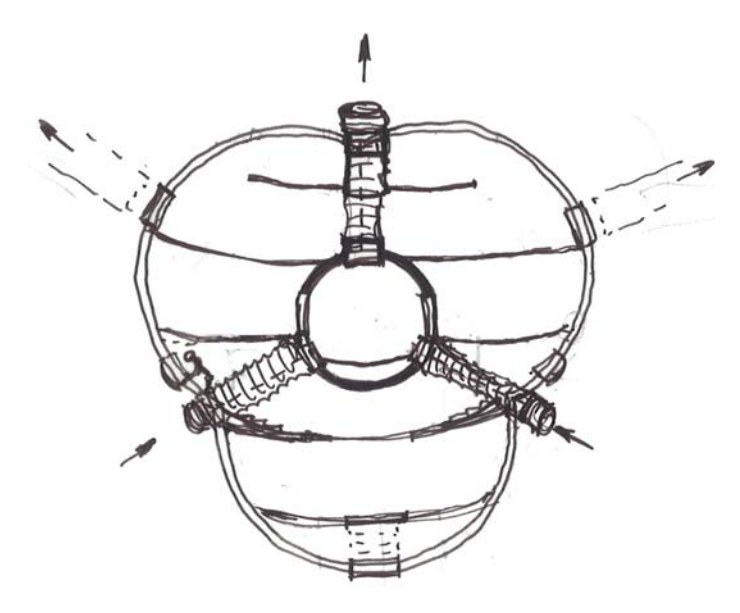


Abb. 5.1-18: Kugelverschneidung und Koppelbarkeit im Querschnitt

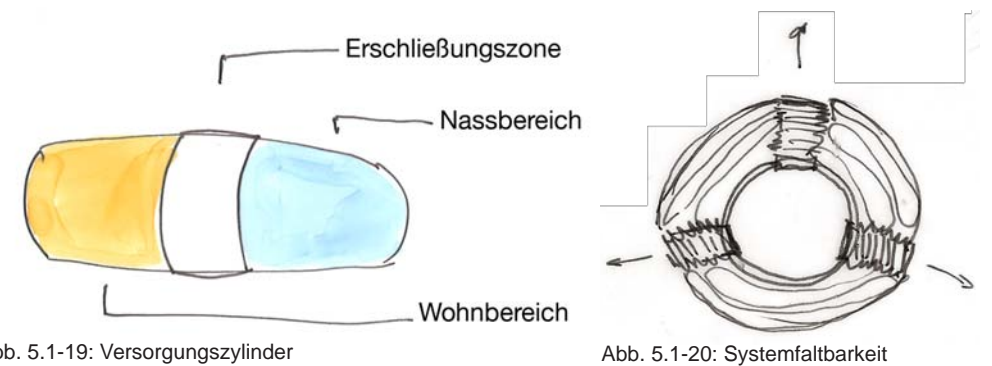


Abb. 5.1-19: Versorgungszylinder

Habitat ... Bezeichnung für Wohnort, Wohnstätte oder Lebensraum

Abbildung 5.1-17: Zellstruktur und Kugelverschneidung © pneumocell

Abbildung 5.1-18: Kugelverschneidung und Koppelbarkeit © Ursula Knappl

Abbildung 5.1-19: Versorgungszylinder © Ursula Knappl

Abbildung 5.1-20: Systemfaltbarkeit © Ursula Knappl

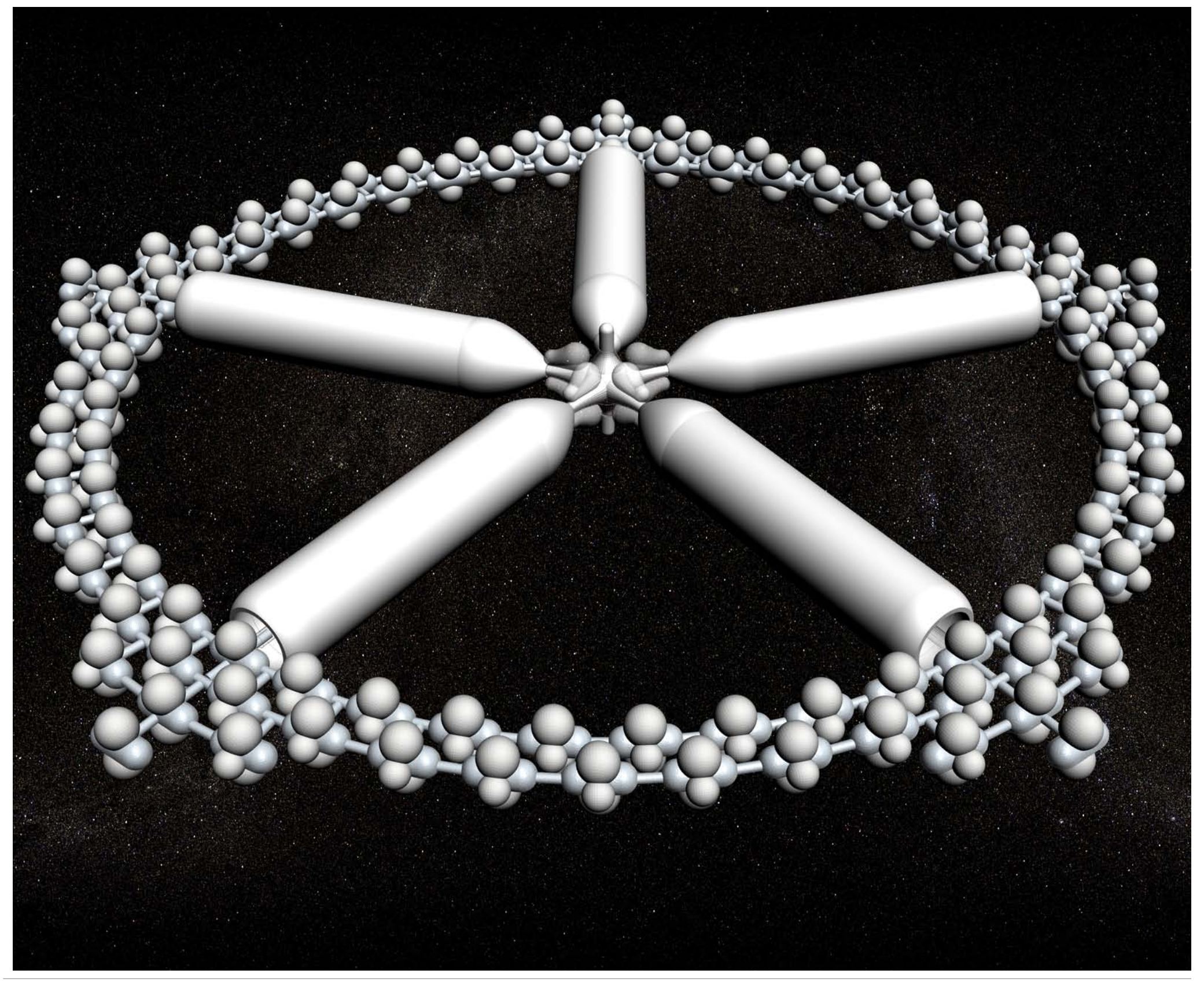


Abbildung 5.2-1: Zusammensetzung der Concordia © Ursula Knappl

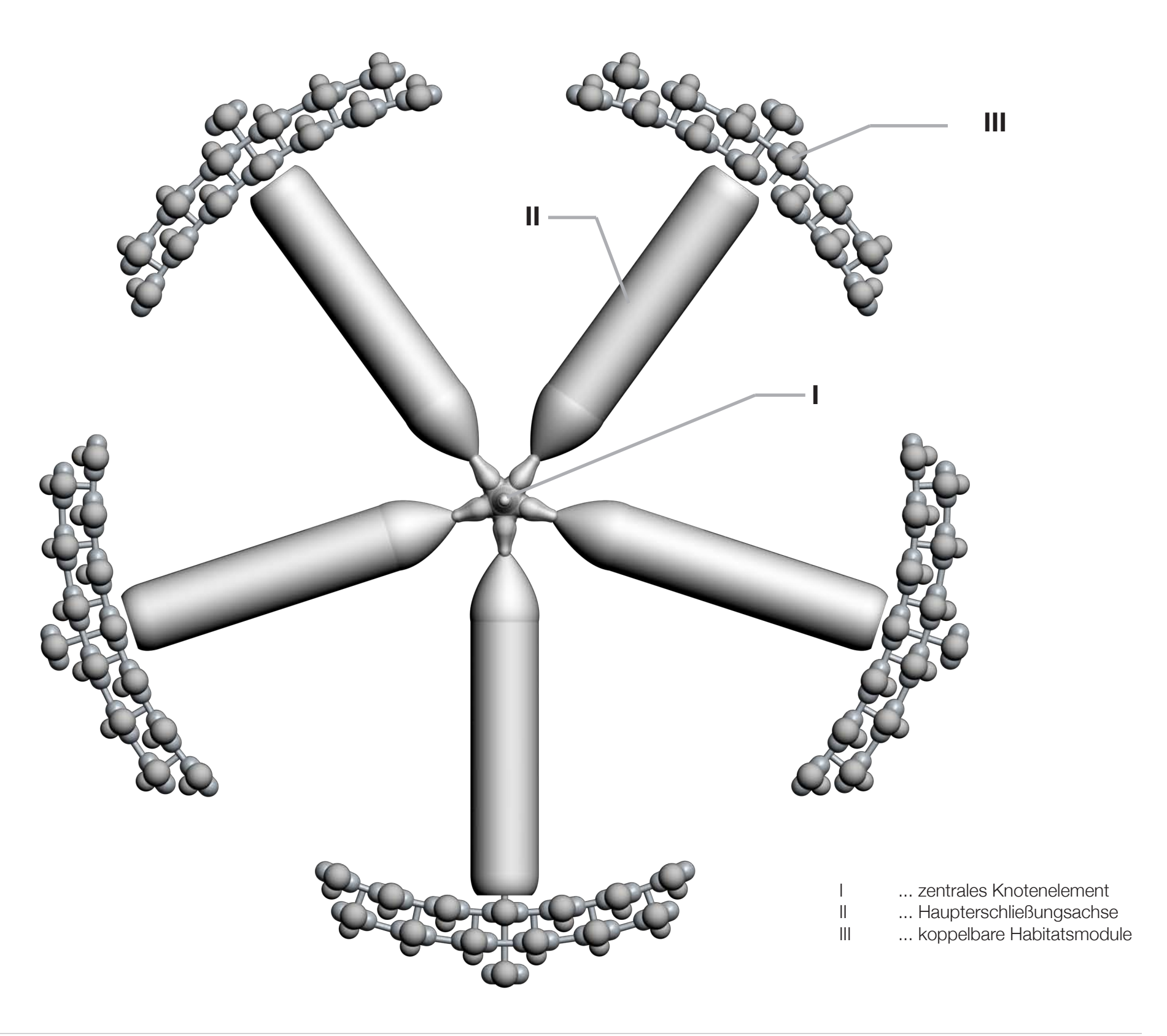


Abbildung 5.2-2: Bauteilbezeichnung © Ursula Knappl

Wachstumsschema

Die Bilder zeigen eine Veranschaulichung unterschiedlicher Ausbaustufen der Raumstation Concordia. Es werden Anordnungmöglichkeiten dargestellt, die auf einer gleichmäßigen Verteilung auf den Achsenden beruhen.

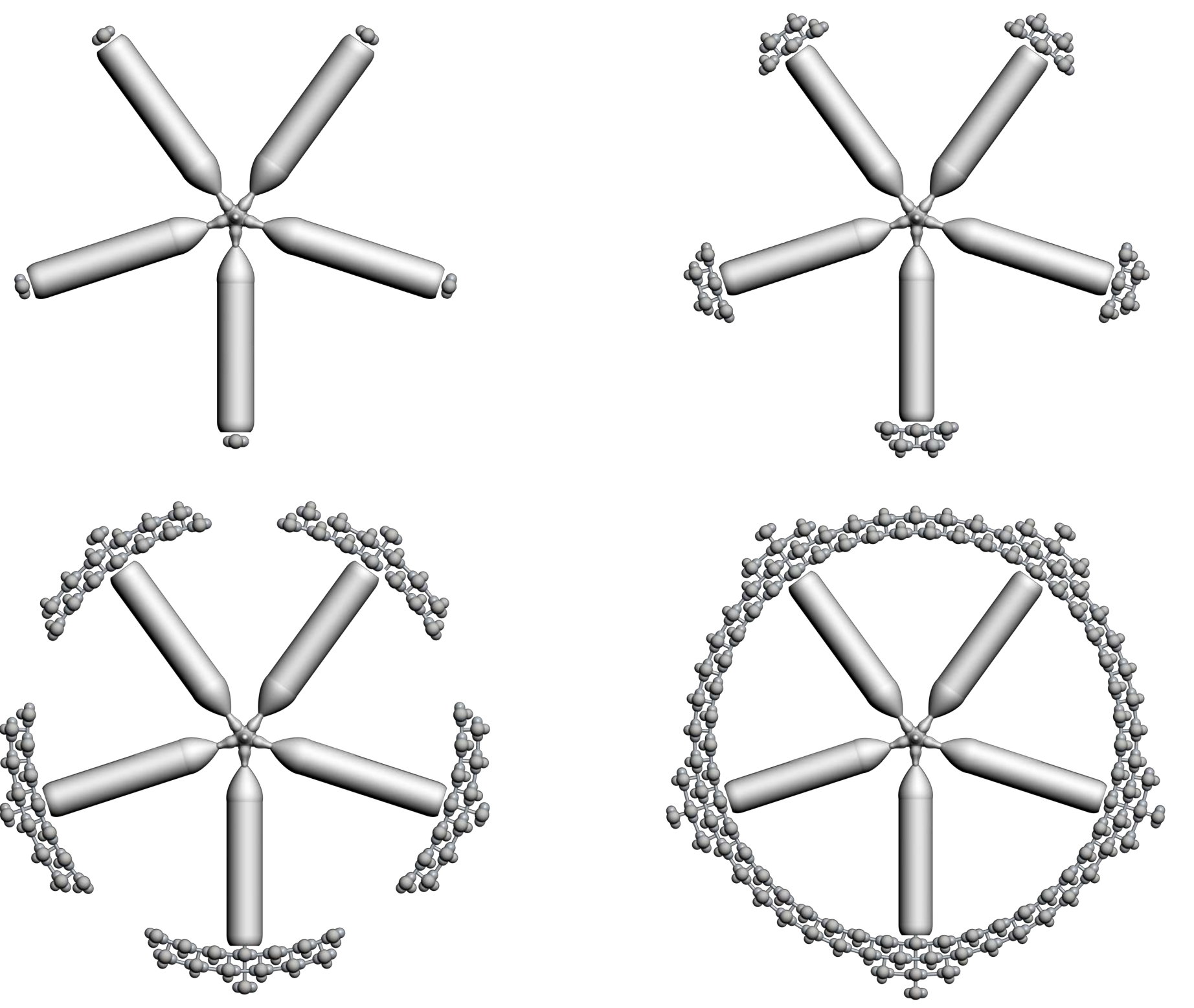


Abbildung 5.2-3: Wachstumsphasen © Ursula Knappl

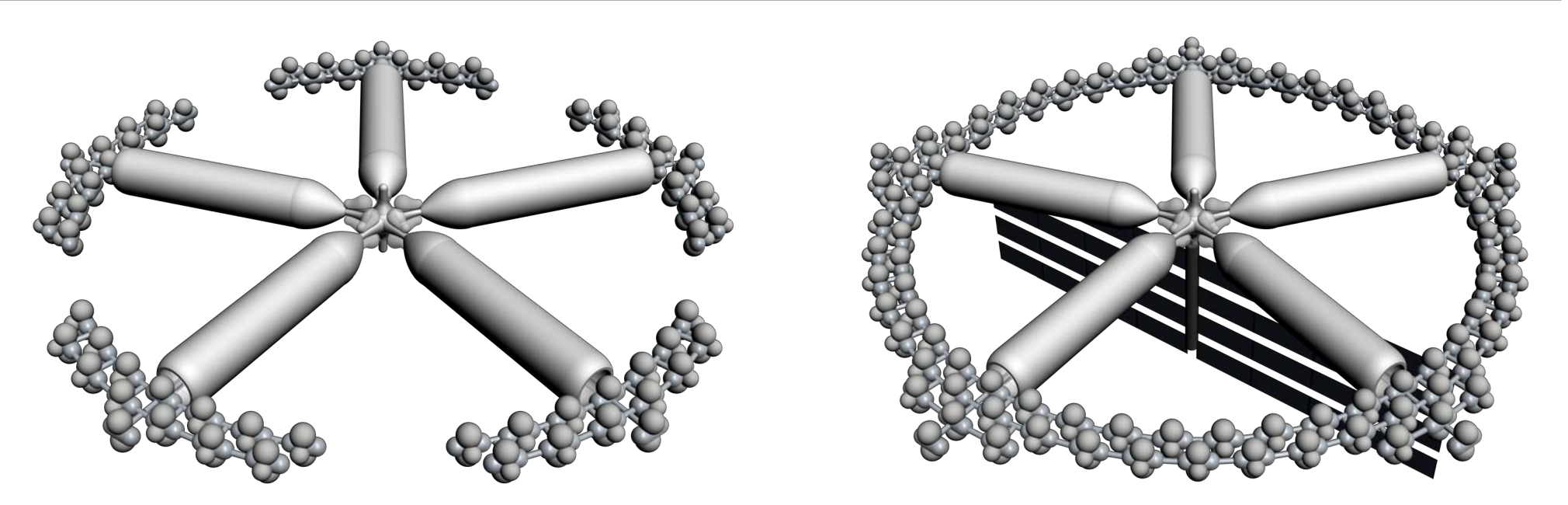


Abb. 5.2-4: Wachstum - Axonometrie

In der Darstellung der Stationsansicht (Abb. 5.2-5) wird die Energiversorgung mittels Solarpaneele sowie das Dockingmanöver am oberen bzw. unteren Rotor des Verbindungsknotens veranschaulicht.

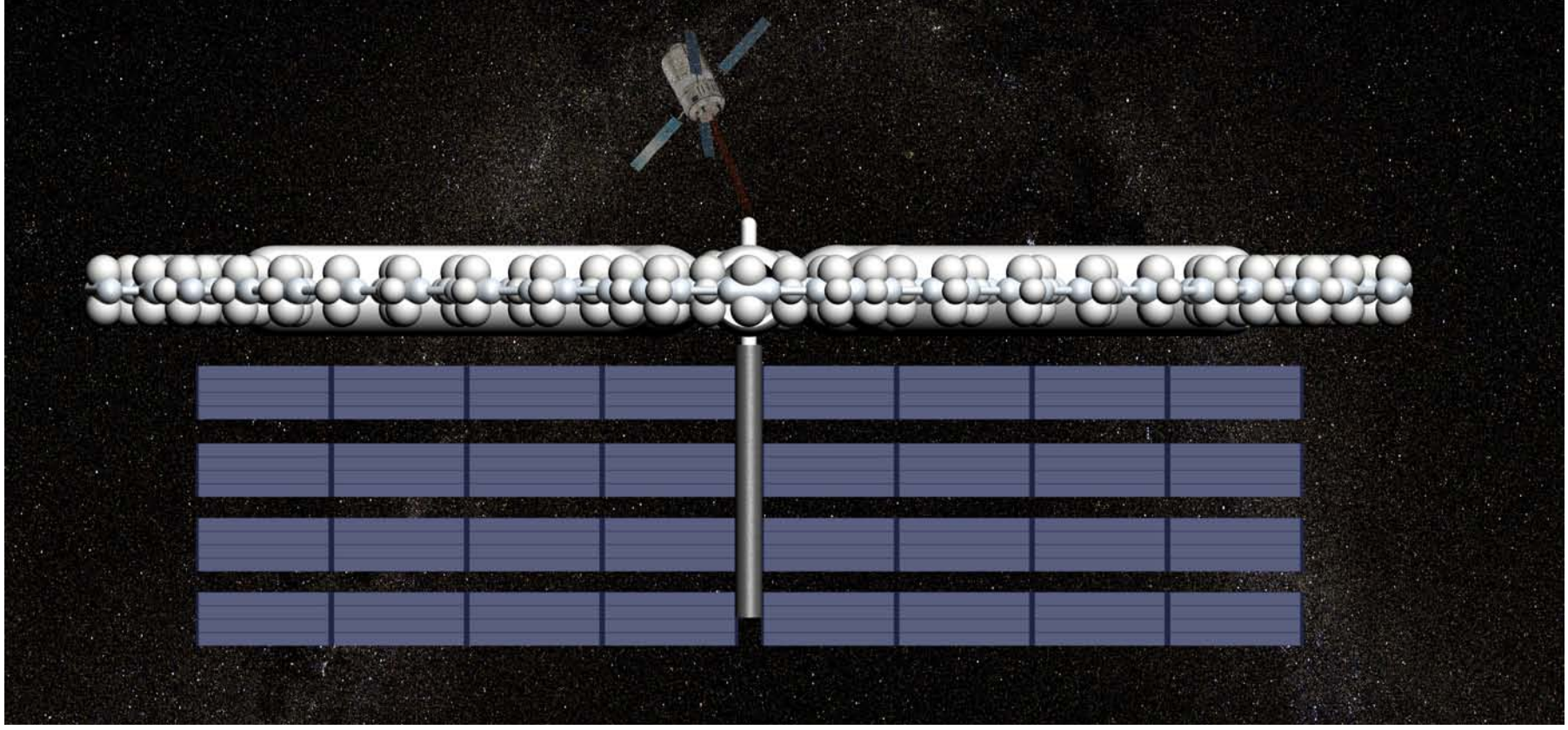


Abb. 5.2-5: Stationsansicht

Abbildung 5.2-4: Wachstum - Axonometrie © Ursula Knappl Abbildung 5.2-5: Stationsansicht © Ursula Knappl

Wegeführung Stationszentrum

1. Ankunft im Stationszentrum

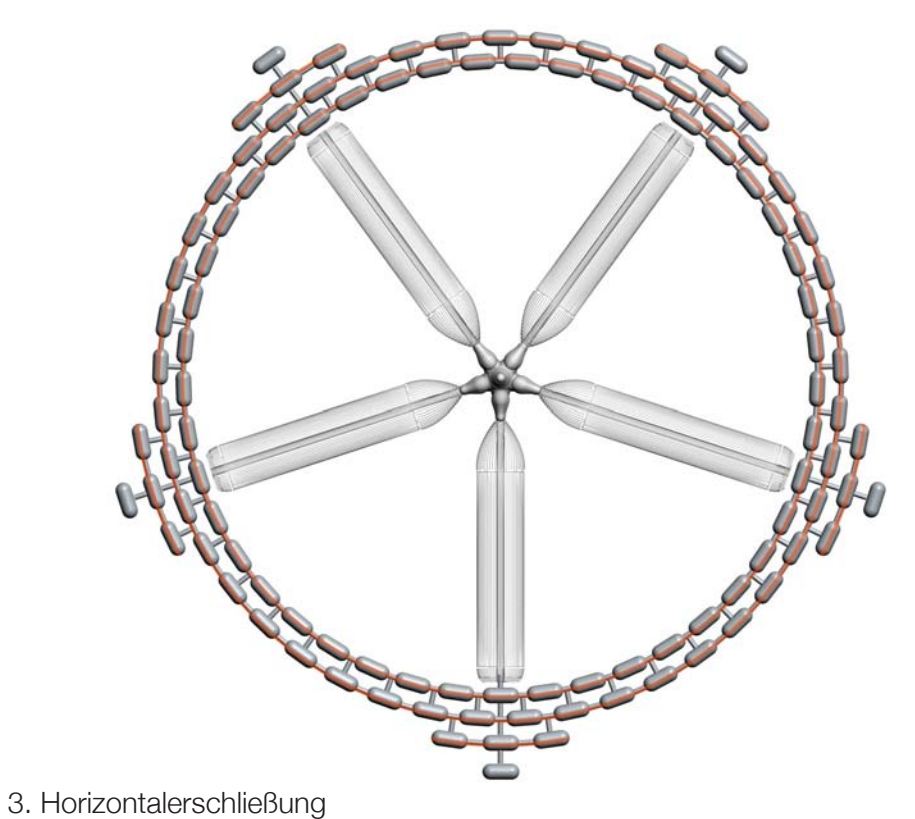
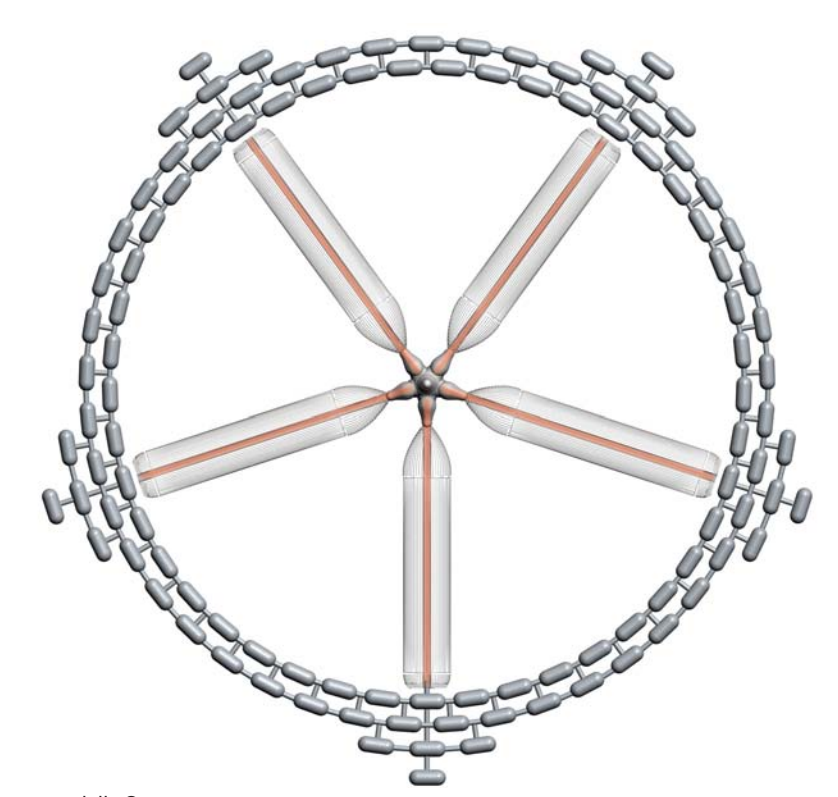
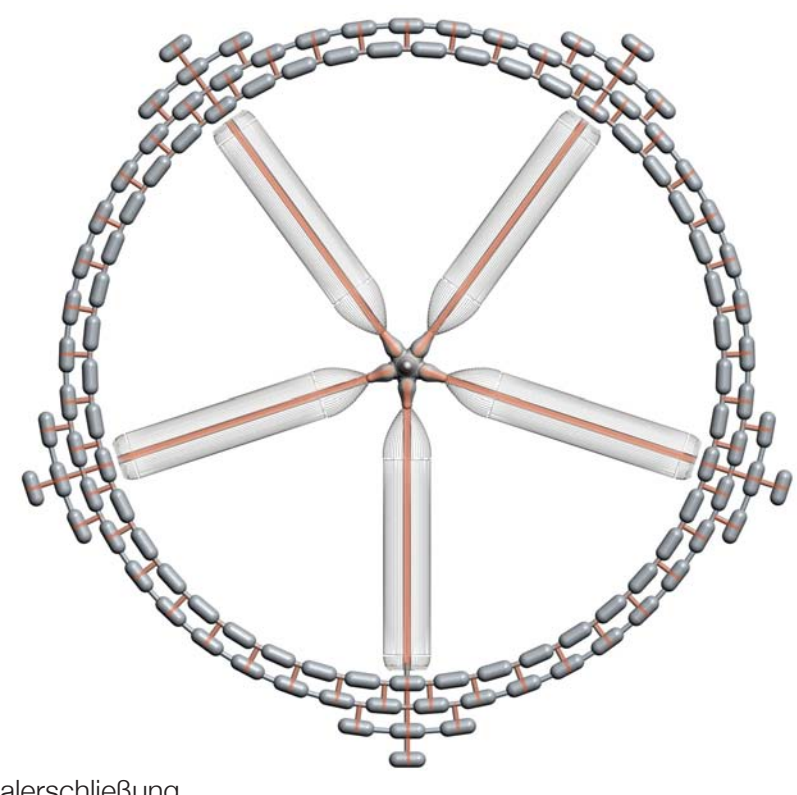


Abbildung 5.2-6: Wegeführung innerhalb der Raumstation © Ursula Knappl

- Die Ankunft erfolgt im schwerelosen Zentrum der Station.
 Die Haupterschließung zu den Habitaten erfolgt über die fünf Achsverbindungen.
 Die einzelnen Module werden entlang dem künstlich erzeugten Schwerkraftsverlauf in horizontaler Richtung erschlossen.
 Die vertikalen Verbindungen zwischen den einzelnen Habitaten sind kurz gehalten und erstrecken sich vom Kopplungsstutzen der Horizontalverbindung zum Versorgungszylinder.



2. Haupterschließung



4. Vertikalerschließung

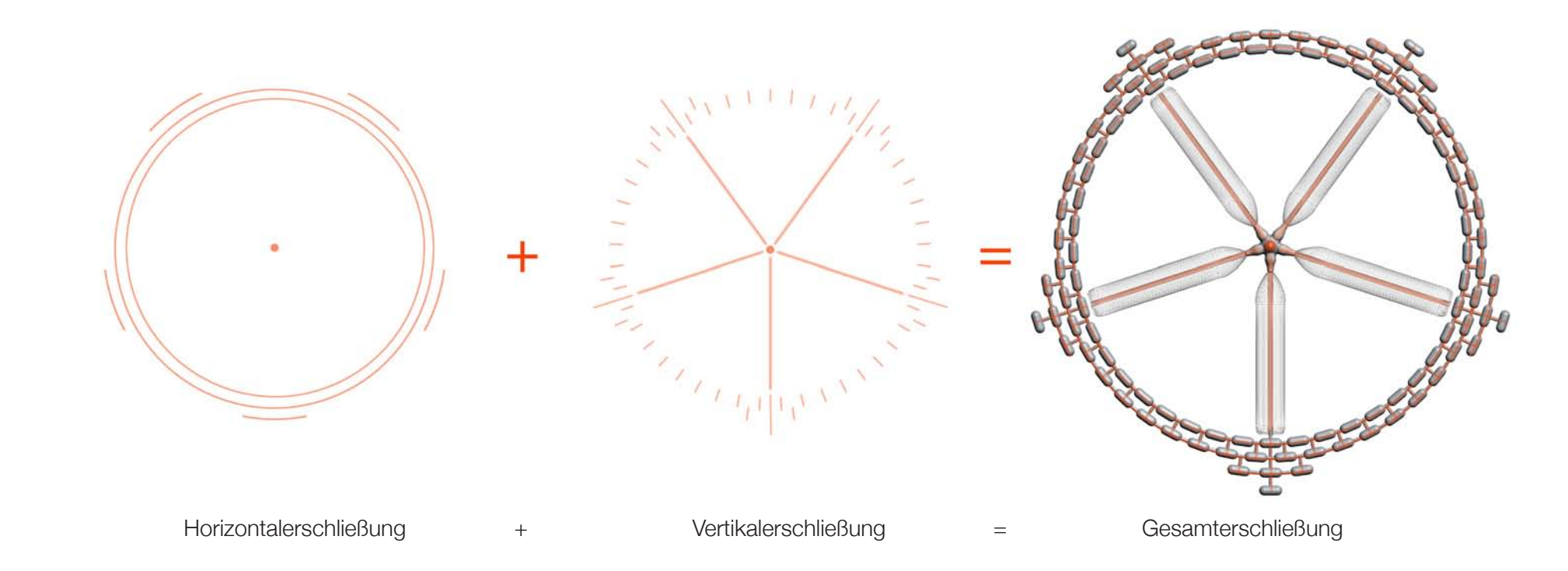


Abb. 5.2-7: Wegdiagramm

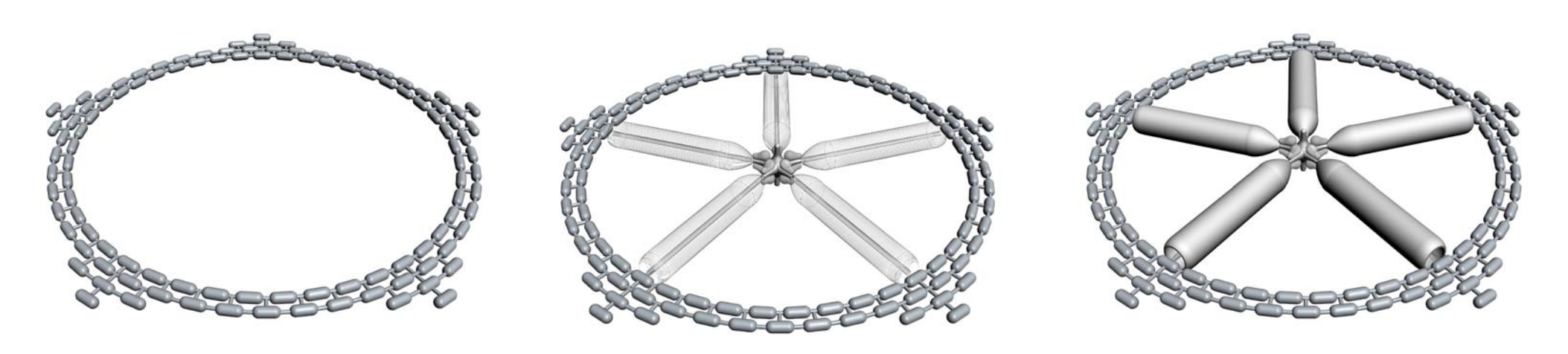


Abb. 5.2-8: Kopplung der Versorgungszylinder

Abbildung 5.2-7: Wegdiagramm © Ursula Knappl Abbildung 5.2-8: Kopplung der Versorgungszylinder © Ursula Knappl

Funktionsdiagramme

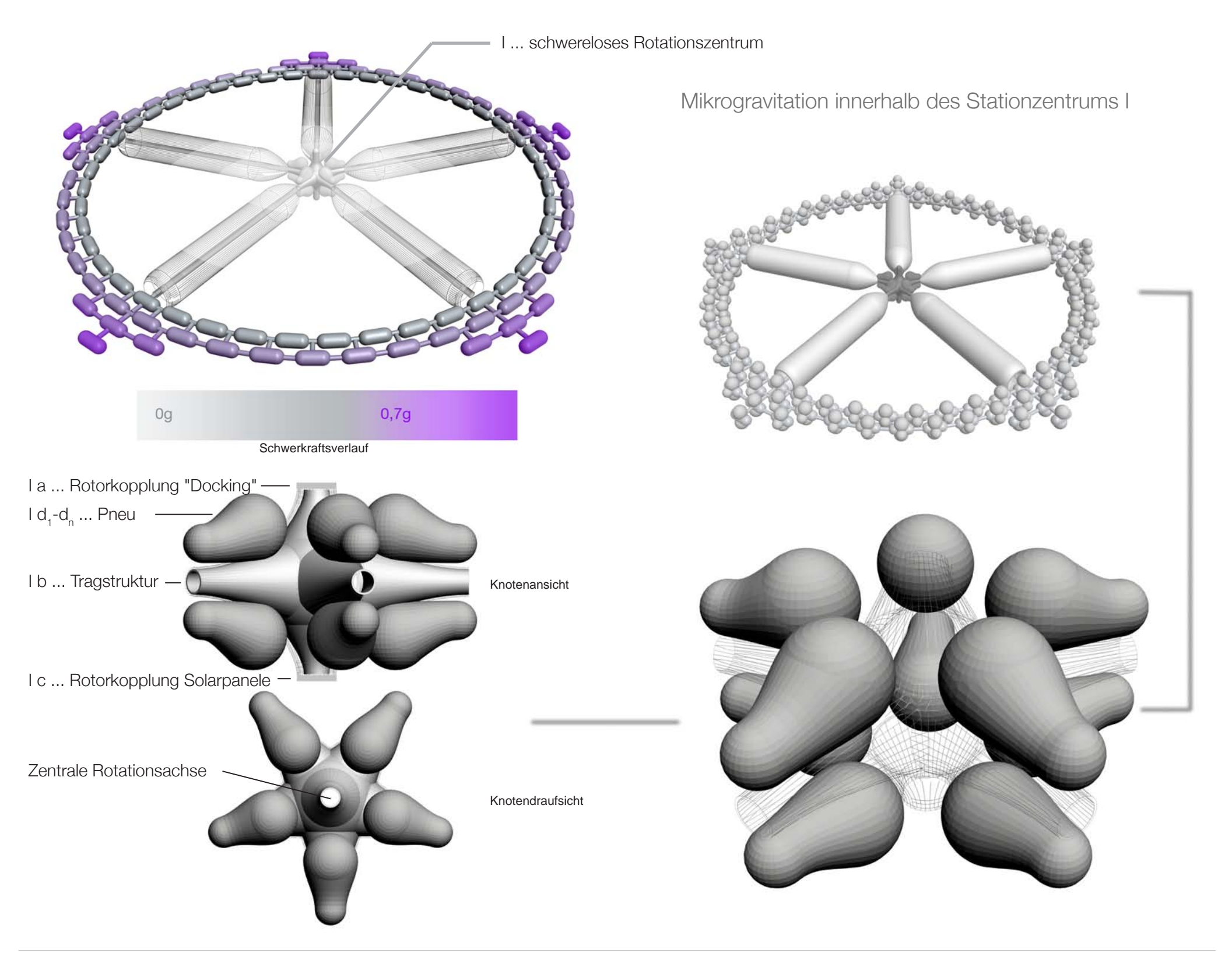


Abbildung 5.2-9: Schwerkraftsverlauf und Mikrogravitation im Stationszentrum I © Ursula Knappl

Die Darstellung links oben zeigt den Schwerkraftsverlauf innerhalb der Raumstation.

Im Stationszentrum, welches aus einem fünfachsigen Knoten mit zehn daran befestigen Pneus besteht, herrscht Mikrogravitation bzw. Schwerelosigkeit. Die Pneus stehen den Stationsbewohnern für wissenschaftliche Experimente unter Einfluss von Mikrogravitation zur Verfügung.

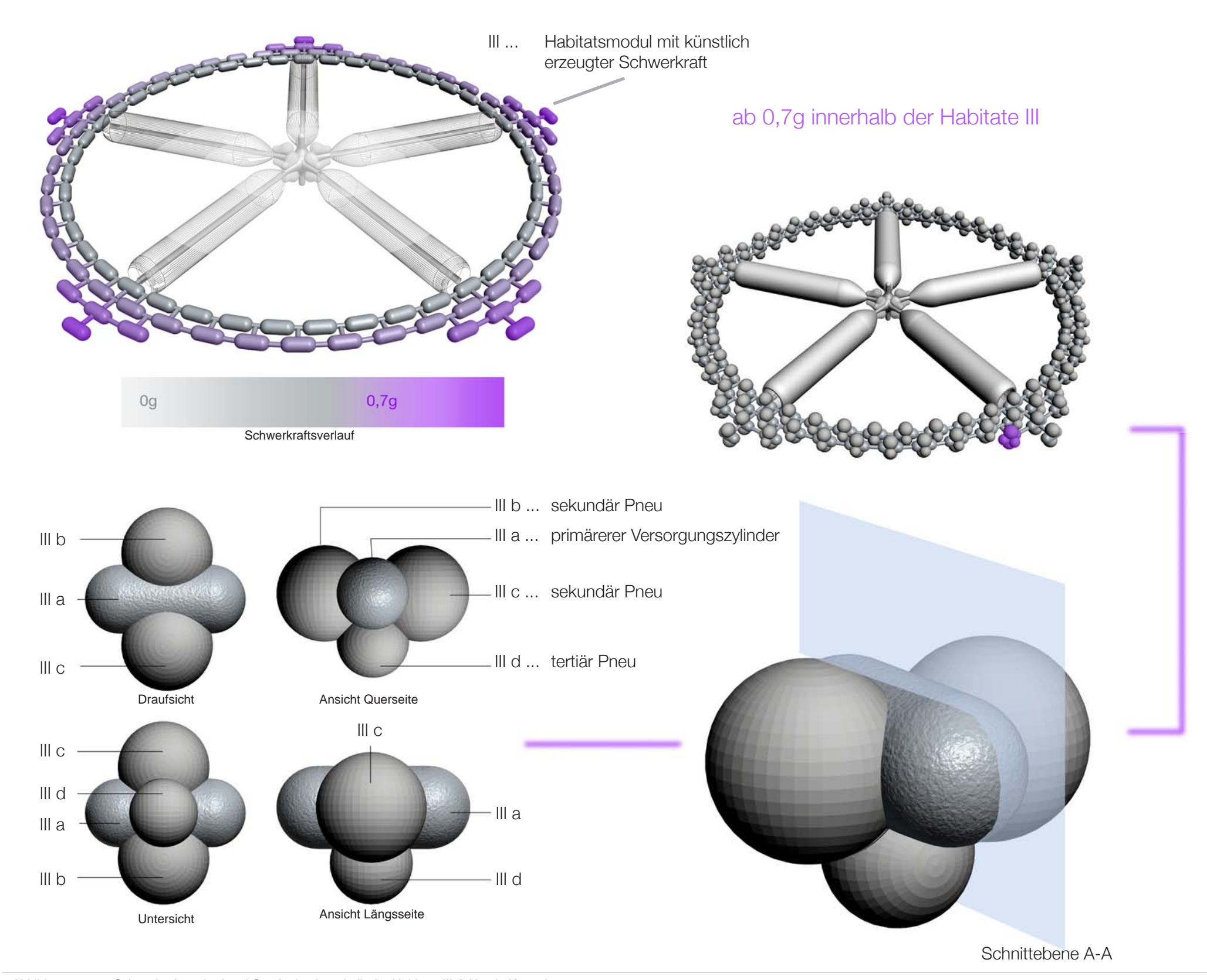


Abbildung 5.2-10: Schwerkraftsverlauf und Gravitation innerhalb der Habitate III @ Ursula Knappl

Die koppelbaren Habitate erschließen sich entlang des Schwerkraftsverlauf an den Achsenden der rotierenden Raumstation. Bei einer Entfernung von etwa 100 m zum Stationszentrum wird eine Scheingravitation von 0,7 g innerhalb der Habitate erreicht. Bei vertikalem Wachstum der Station, sprich durch Erhöhung der Reihenanzahl, erfolgt eine Zunahme der künstlichen Schwerkraft bei Erweiterung in Achsrichtung.

Bordkreisläufe

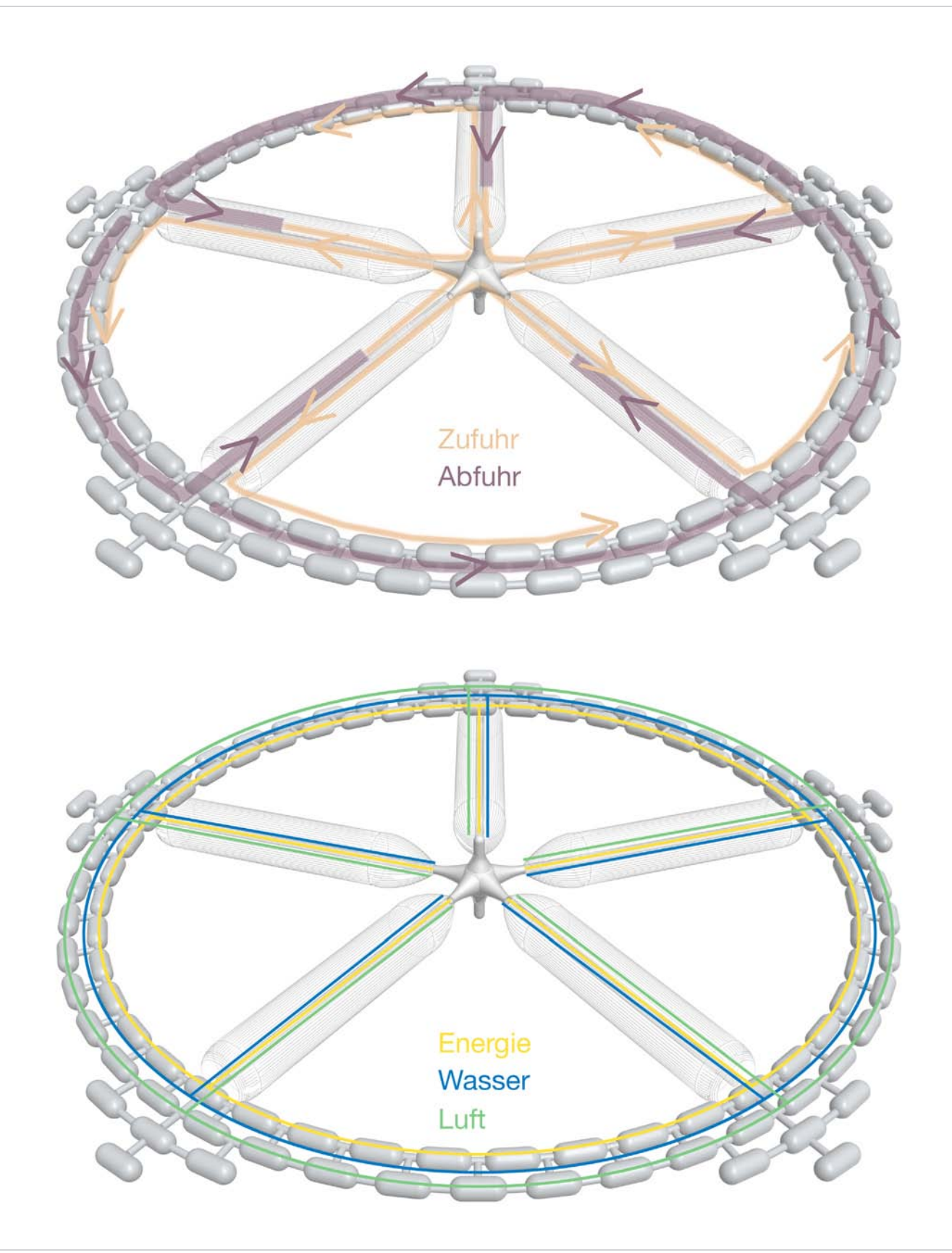


Abbildung 5.2-11: Geschlossene Systeme innerhalb der "Concordia" © Ursula Knappl

Das Versorgungssystem der "Concordia" erfolgt über geschlossene Bordkreisläufe. Die Energieversorgung wird über die am Stationszentrum montierten Solarkollektoren gewährleistet und über die fünf Achsen auf die einzelnen Habitate verteilt.

Bei der Luft- und Wasserversorgung ist die Station größtenteils selbstversorgend. Die mitgeführten Ressourcen werden nach dem Gebrauch über mehrere Aufbereitungs- bzw. Filtersysteme gereinigt und wiederaufbereitet, um somit ein längeres Auskommen zu erzielen.

Raum- und Platzbedarf

Bei der Konzeptionierung von Habitaten muss der Platzbedarf aller erforderlichen Güter und Utensilien zusätzlich zum Raumbedarf des einzelnen Stationsbewohners in der Planung berücksichtigt werden. Kalkulationen bezüglich des erforderlichen Druckvolumens müssen im Vorfeld getroffen werden, um eine Vordimensionierung des benötigten Raumes durchführen zu können. Diese Berechnungen stützen sich auf Schätzungen bezogen auf die Besatzung, deren Equipment und Vorräte.

Die angeführten Tabellen geben einen kurzen Überblick der erforderlichen Mindestgrößen bzw. Richtwerte für Langzeitmissionen.

Schlafbereich	1,5 m³	pro Person
Schlafkoje	85 x 85 x 215 cm	pro Person
Persönliche Gegenstände	0,63 m ³	pro Person
Dusche	101 x 101 x 215 cm	
Toilette	90 x 101 x 215 cm	
Küche	101 x 101 x 215	
Essplatz	82 x 70 x 215 cm	pro Person

Tab. 5.3-1: Richtwerte für Mindestgrößen

Nahrungsmittelbedarf - auf der ISS - bei einer Langzeitmission	2 bis 3 kg bzw. 0,008 m³ 6,9 t bzw. 24 m³	pro Person / pro Tag bei 6 Personen in 500 Tagen
Nutz- und Trinkwasser	30 kg	pro Person / pro Tag
Abfallproduktion	6 t	bei 6 Personen in 1000 Tagen
Kleidung und deren Reinigung	5 kg	pro Person / pro Tag
medizinische Versorgung - Equipment - Medikamente	insgesamt 6,5 m ³ 1000 kg 500 kg	bei Langzeitmissionen pro Wohneinheit
Trainingsgeräte - Laufband - Rudermaschine	106 kg bzw. 0,1 m³ 34 kg bzw. 0,04 m³	vorallem zur Bewältigung der Schwerelosigkeit
Notfallequipment	40 kg bzw. 0,19 m³	
Werkzeugkiste	145 kg bzw. 0,43 m³	bei Langzeitmissionen
Werkzeug	300 kg	bei Marsmission
Testequipment	500 kg	bei Marsmission
Maschinen	1000 kg	bei Marsmission
Utensilien zur Reinigung	0,15 kg bzw. 0,001 m³	pro Person / pro Tag

Tab. 5.3-2: Richtwerte für den erforderlichen Platzbedarf

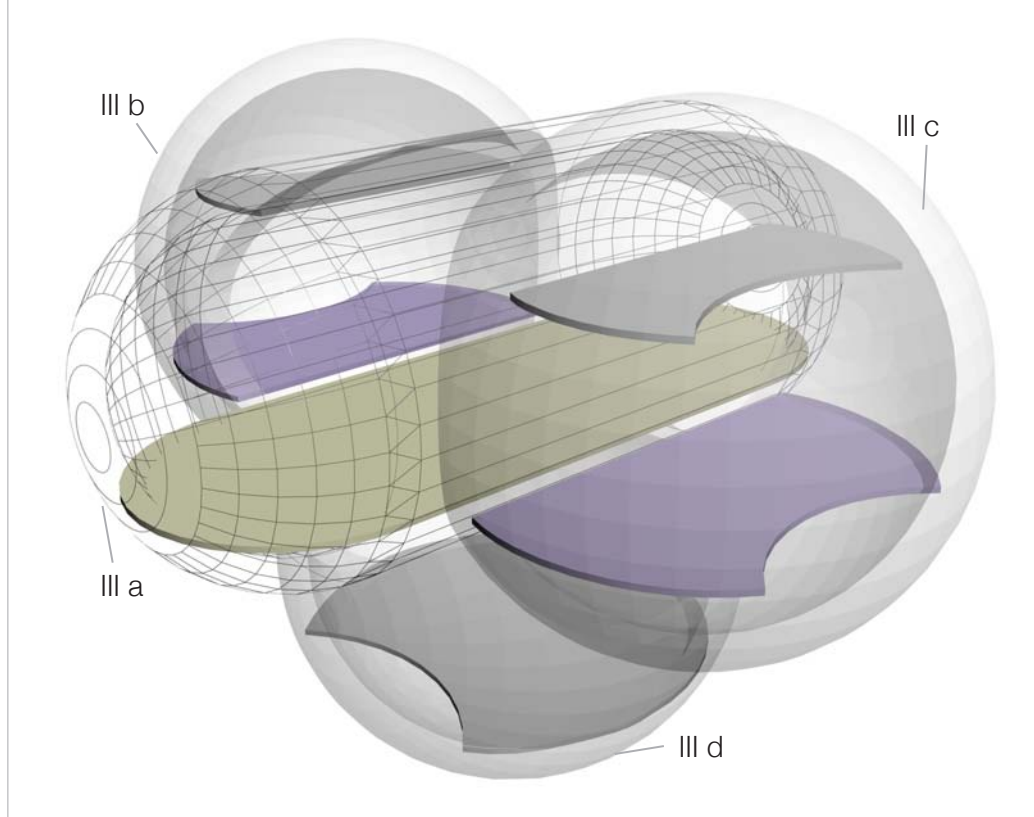
Das Konzept der "Concordia" sieht vor, dass alle erforderlichen Funktionsbereiche in dem "Versorgungszylinder" Platz finden. Die Funktionen umfassen die Bereiche Essen, Hygiene, Privat und Arbeiten.

Die Erweiterung durch die am Zylinder montierten Pneus schafft eine Verlagerung des "Privatbereichs" und die Ausweitung der Gemeinschaftsflächen, die für die Freizeitgestaltung zur Verfügung stehen.

Die beiden seitlich angebrachten Pneus gliedern sich in maximal drei Ebenen, wobei die oberste als Privatbereich und die beiden unteren als Gemeinschaftszone dienen.

Das Modul kann auch durch das Aufblasen der dritten Pneu erweitert werden. Diese kugelförmige Pneu ist unterhalb des Versorgungszylinders angebracht und dient als Erweiterung des Arbeitsbereichs. Der Raum kann als Vortrags- bzw. Konferenzraum genutzt werden und beinhaltet zwei Ebenen. Die unterste Ebene ist mit Fensterflächen versehen und gewährt den Bewohnern kleine Ausblicke in den Weltraum. Die Fensterflächen sind aufgrund der hohen Strahlenbelastung gering gehalten.

Alle drei Pneus sind mit dem Versorgungszylinder verbunden und werden vom ihm mit Energie gespeist. An der Schnittstelle der seitlichen mit der unteren Pneu ist ein Teil der Konstruktionshülle transparent gehalten, um eine Blickbeziehung zwischen den unteren Ebenen der seitlichen Pneus und der "Konferenzebene" zu schaffen.

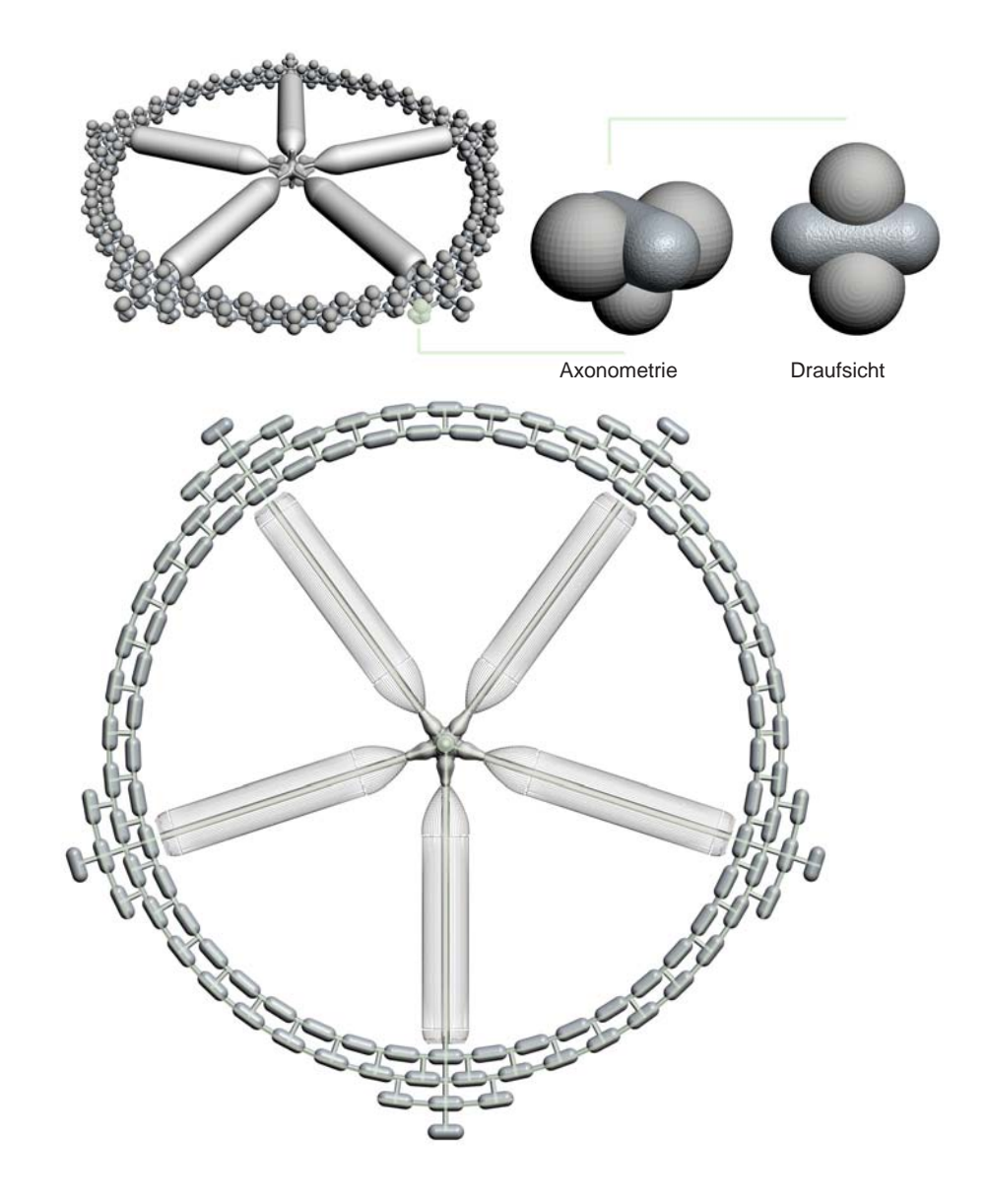


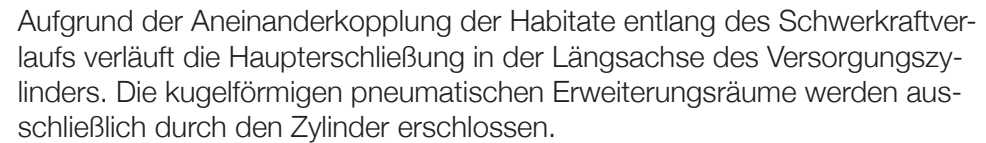
III a ... primärerer Versorgungszylinder

III b, c ... sekundär Pneu III d ... tertiär Pneu

Tabelle 5.3-1: Richtwerte für Mindestgrößen laut NASA Tabelle 5.3-2: Richtwerte für den erforderlichen Platzbedarf

Abbildung 5.3-1: schematisches Ebenenmodell © Ursula Knappl

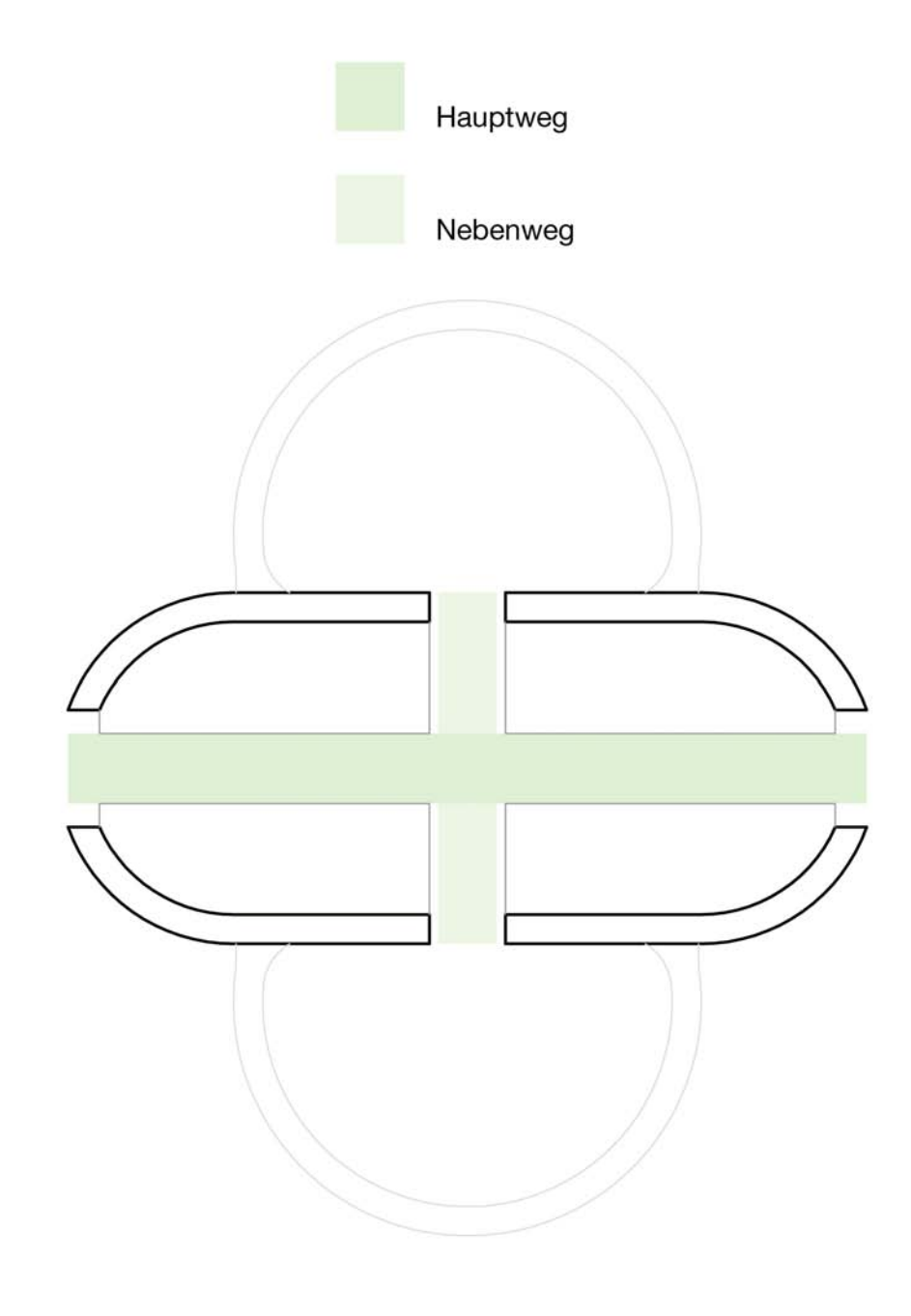




Die grün gekennzeichneten Wege definieren die Raumgliederung, auf der die Funktionen verteilt werden.

Im Versorgungszylinder sind die wichtigsten Funktionen auf mimalem Raum untergebracht. Auch nach der Verlagerung und Ausweitung der Wohnbereiche steht der Zylinder als Zufluchtsort in Notsituationen als verschließbares Basislager zur Verfügung.

Das Wegenetz innerhalb der gekoppelten Module ist so ausgerichtet, dass der Hauptweg stets durch die Versorgungszylinder führt.



Dimensionen eines herkömmlichen Druckluftmoduls: 4 m Durchmsser und 12,7 m Länge

Abbildung 5.3-2: Wegführung © Ursula Knappl

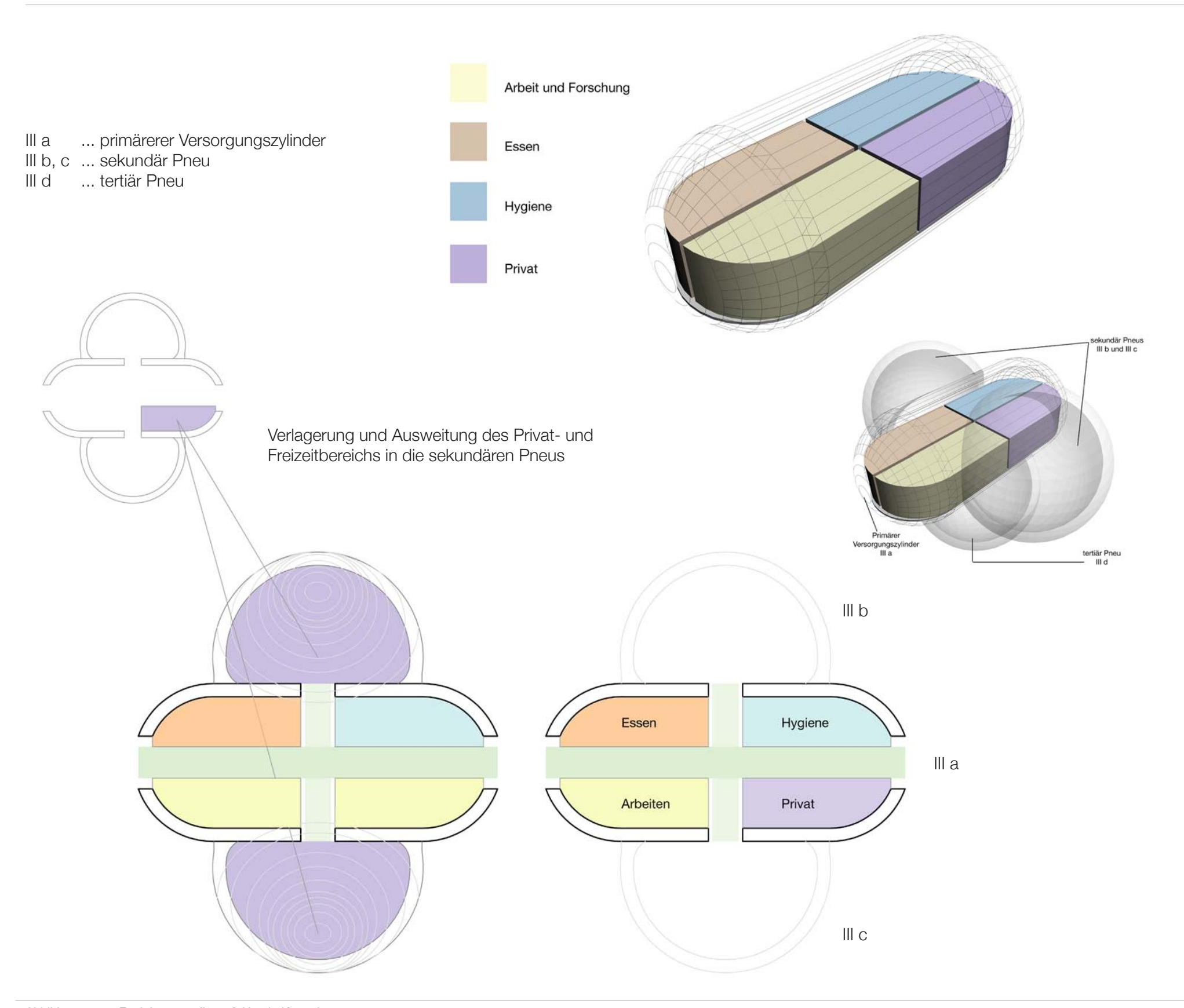


Abbildung 5.3-3: Funktionsverteilung © Ursula Knappl

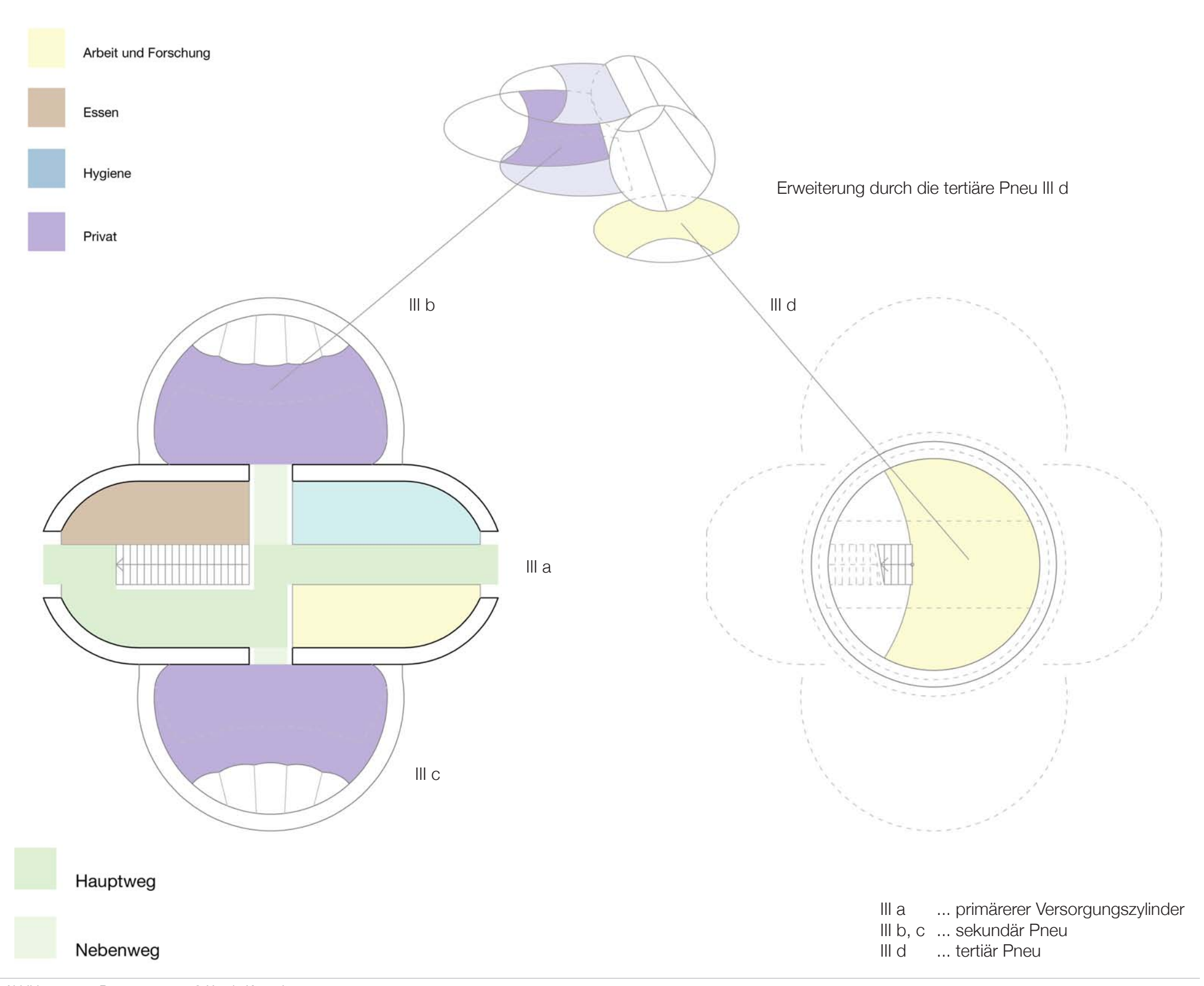


Abbildung 5.3-4: Raumprogramm © Ursula Knappl

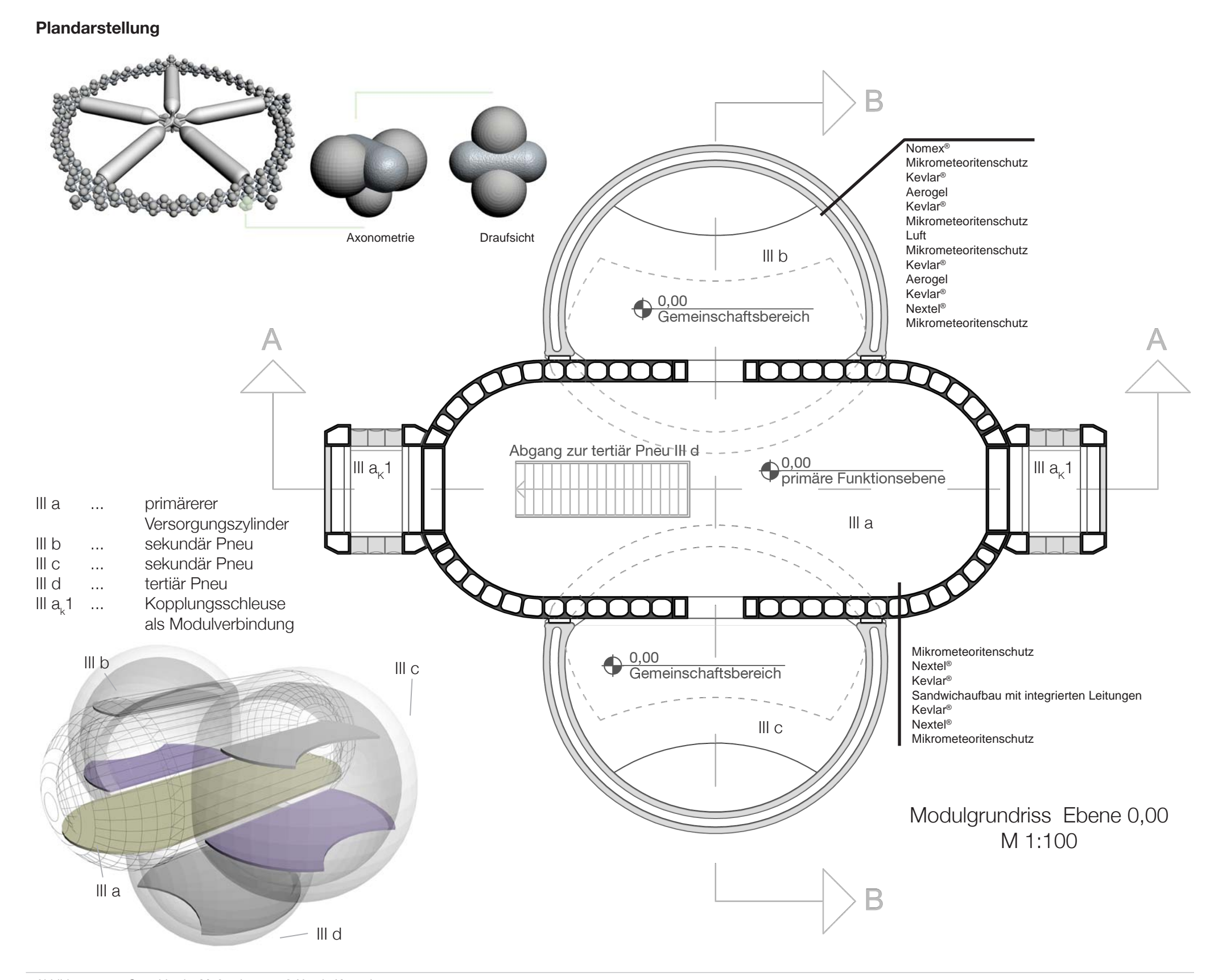


Abbildung 5.3-5: Grundriss im Maßstab 1:100 © Ursula Knappl

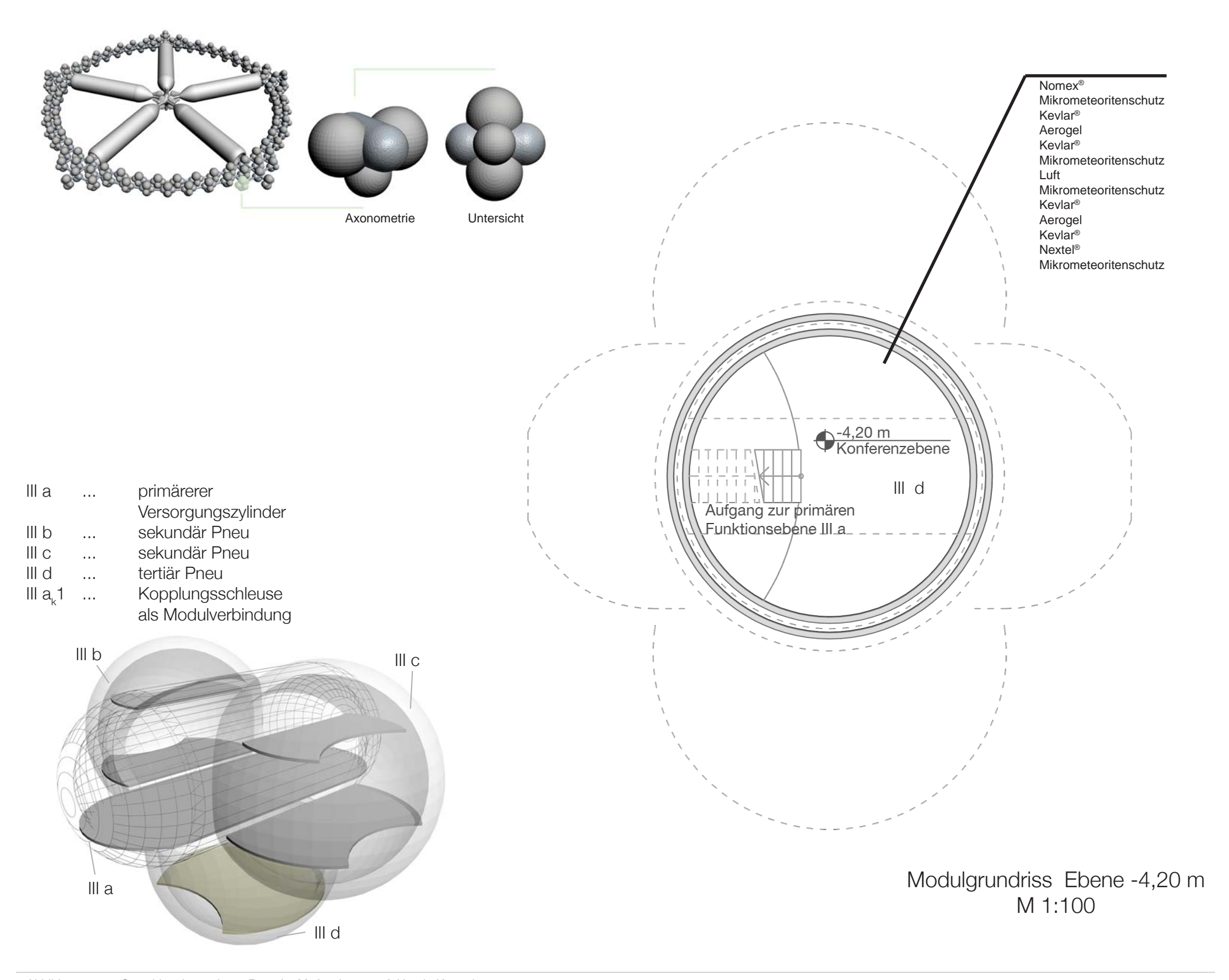


Abbildung 5.3-6: Grundriss der tertiären Pneu im Maßstab 1:100 © Ursula Knappl

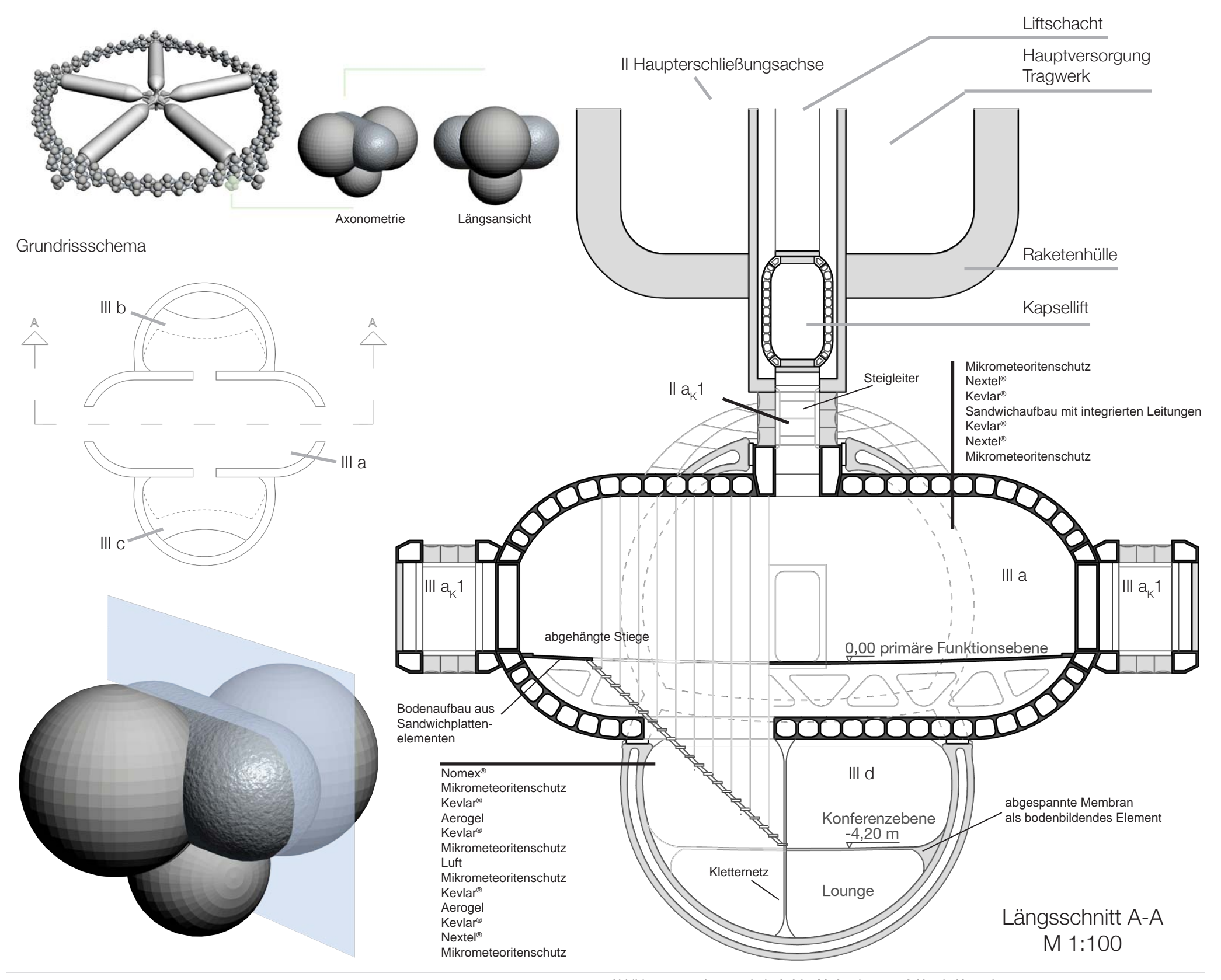


Abbildung 5.3-7: Längsschnitt A-A im Maßstab 1:100 © Ursula Knappl

III a ... primärerer

Versorgungszylinder

III b ... sekundär Pneu
III c ... sekundär Pneu
III d ... tertiär Pneu
III a, 1 ... Kopplungsschleus

Kopplungsschleuse als Modulverbindung

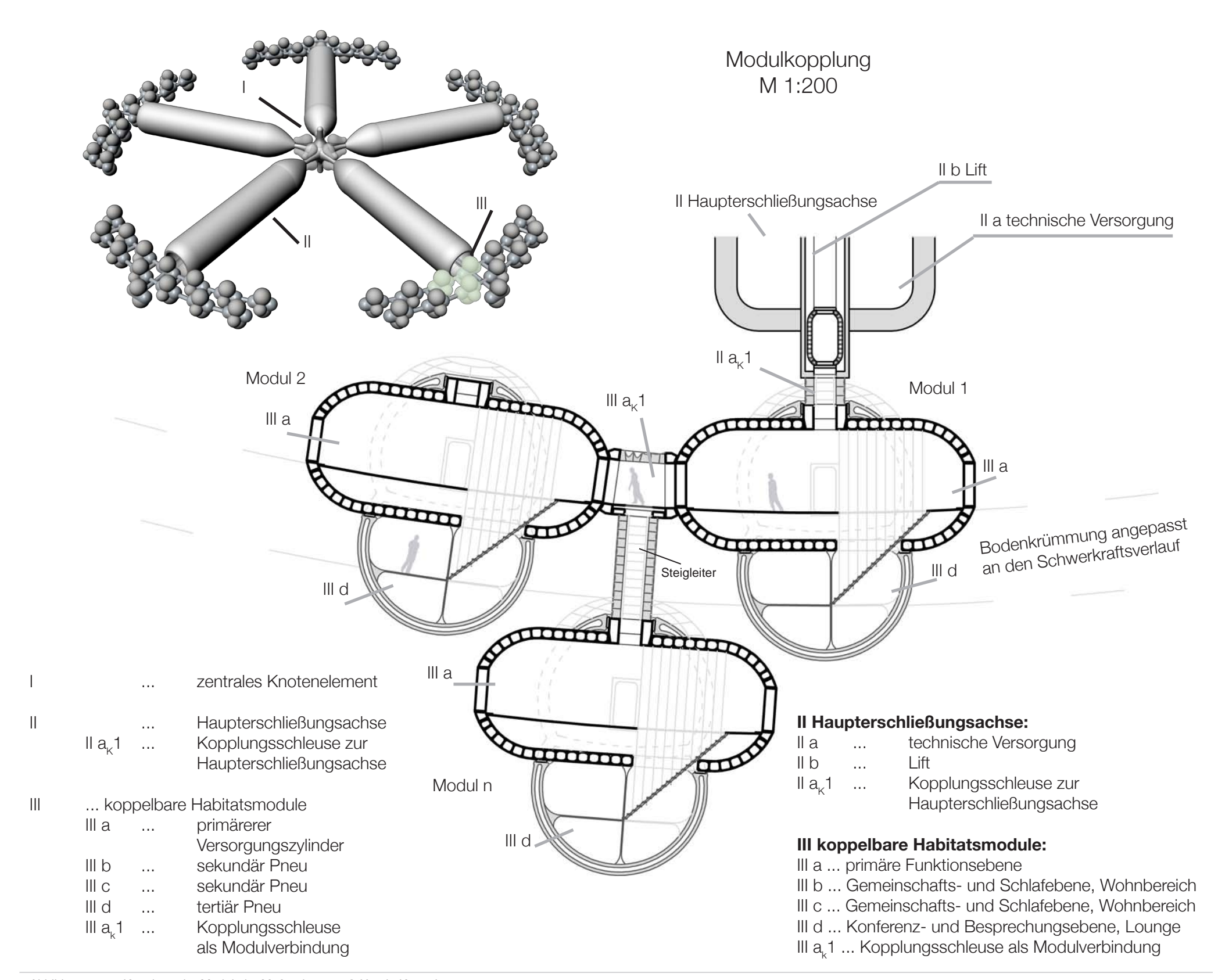
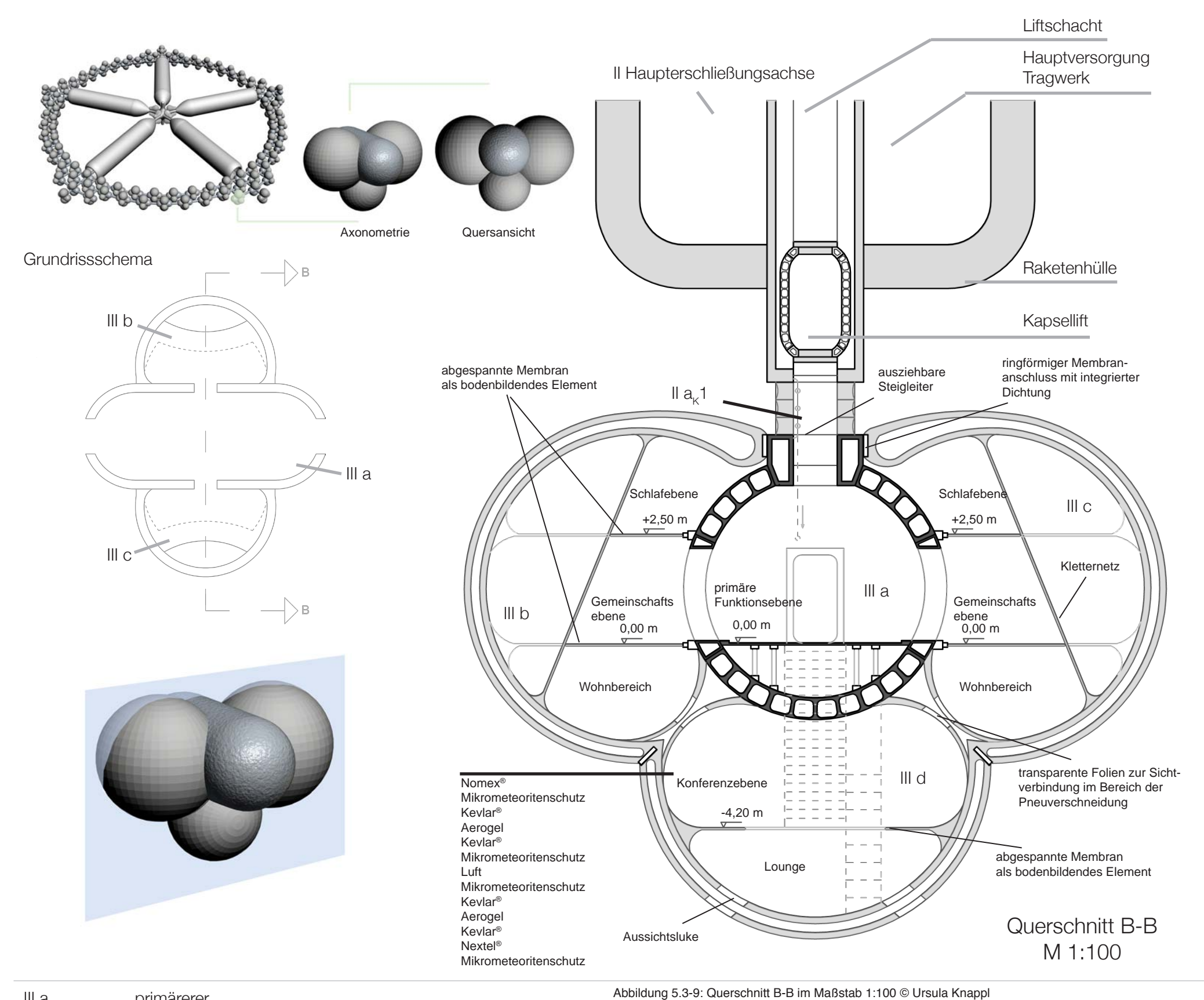


Abbildung 5.3-8: Kopplung der Module im Maßstab 1:200 © Ursula Knappl



III a primärerer

III b sekundär Pneu sekundär Pneu III c III d tertiär Pneu

III a_⊾1 Kopplungsschleuse

als Modulverbindung

Versorgungszylinder

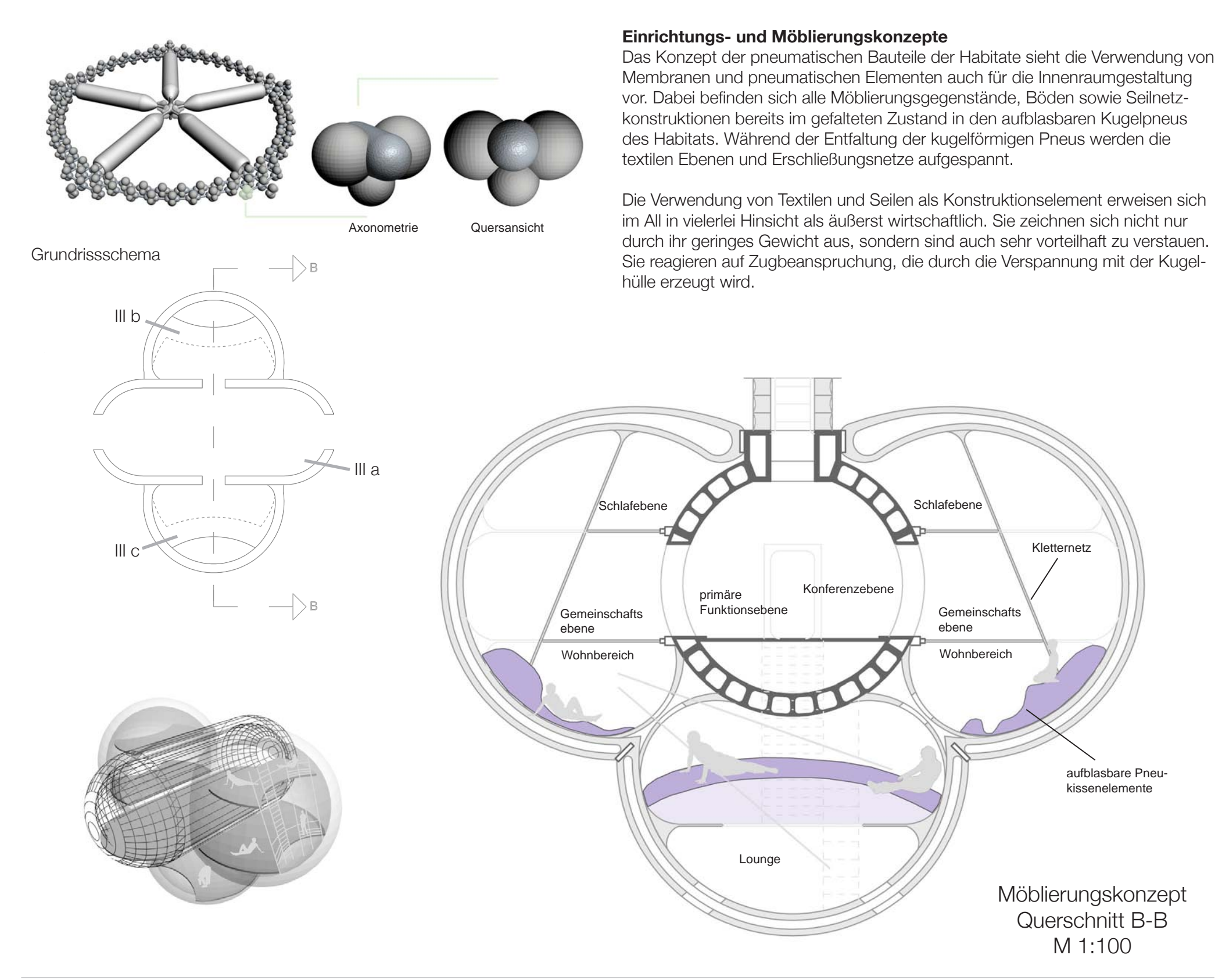


Abbildung 5.3-10: Möblierungskonzept im Maßstab 1:100 © Ursula Knappl

Pneumatische Möblierungselemente werden je nach Bedarf und Nutzungsmöglichkeit im Raum installiert.

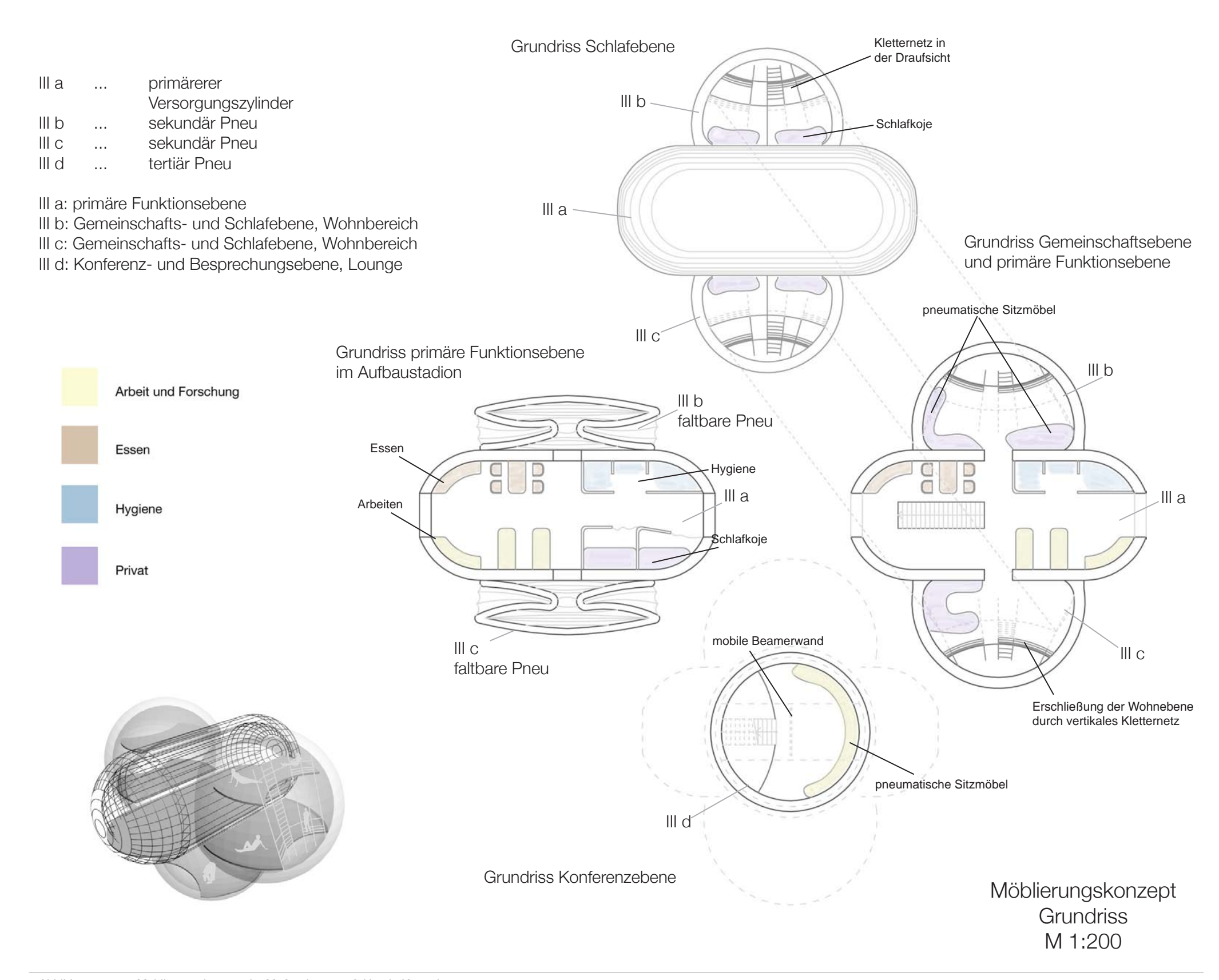


Abbildung 5.3-11: Möblierungskonzept im Maßstab 1:200 © Ursula Knappl

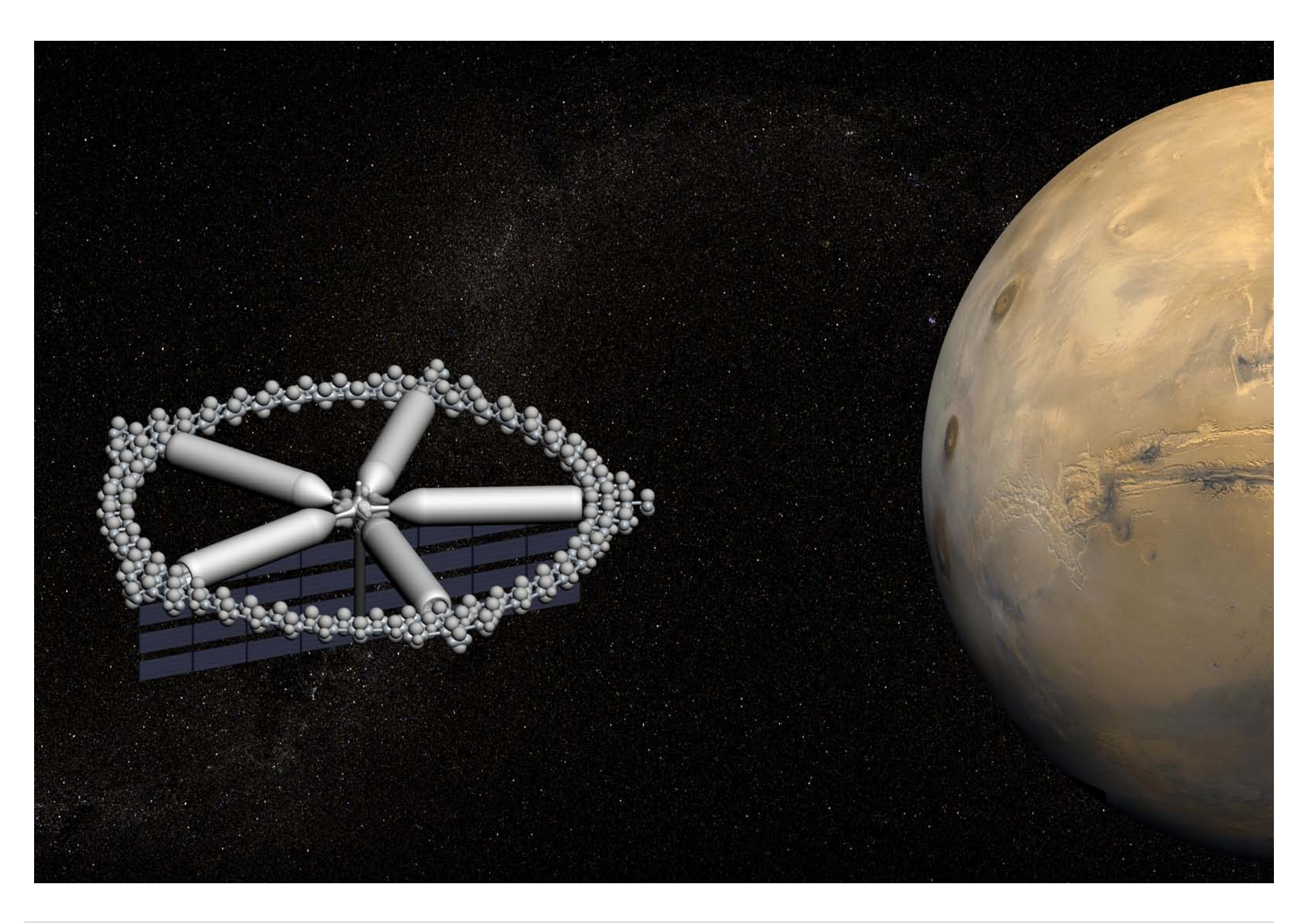


Abbildung 5.3-12: Concordia, interplanetare Raumstation

5 Quellenverzeichnis

Abbildung 5.1-1:	http://www.cognitiones.de/doku.php/mars und © Nasa
Abbildung 5.1-2:	http://www.lsg.musin.de/geschichte/geschichte/glossar/rom/venus.htm und © Nasa planetary photojournal)
Abbildung 5.1-3:	Concordia - die Raumstation © Ursula Knappl und http://www.hellenica.de/Griechenland/Mythos/Harmonia.html
Formel 5.1-1:	Horst Kuchling, Taschenbuch der Physik, Seite 124, M 7.45, Fachbuchverlag Leipzig/ Hanser-Verlag München 2007
Formel 5.1-2:	Berechnungshilfe nach Angaben von Professor Dr. Wolfgang Steiner
Abbildung 5.1-4:	Skizze nach Hilfeleistung von Professor Dr. Wolfgang Steiner
Abbildung 5.1-5:	http://www.spacefuture.org/archive/inhabiting_artificial_gravity.shtml
Abbildung 5.1-6:	http://www.spacefuture.org/archive/inhabiting_artificial_gravity.shtml
Abbildung 5.1-7:	Gravitationsschema © Ursula Knappl
Abbildung 5.1-8:	http://www.spacefuture.org/archive/inhabiting_artificial_gravity.shtml
Abbildung 5.1-9:	http://www.spacefuture.org/archive/artificial_gravity_and_the_architecture_of_orbital_habitats.shtml
Abbildung 5.1-10:	schemenhafte Darstellung © Ursula Knappl
Abbildung 5.1-11:	Systemerweiterung © Ursula Knappl
Abbildung 5.1-12:	Penrose-Wachstum © Ursula Knappl
Abbildung 5.1-13:	Anordnungsregeln © Ursula Knappl
Abbildung 5.1-14:	Anordnungsschema © Ursula Knappl
Abbildung 5.1-15:	Wachstumssschema © Ursula Knappl
Abbildung 5.1-16:	Achsdarstellung © Ursula Knappl
Abbildung 5.1-17:	http://www.pneumocell.com/
Abbildung 5.1-18:	Kugelverschneidung und Koppelbarkeit © Ursula Knappl
Abbildung 5.1-19:	Versorgungszylinder © Ursula Knappl
Abbildung 5.1-20:	Systemfaltbarkeit © Ursula Knappl
Abbildung 5.2-1:	Zusammensetzung der Concordia © Ursula Knappl
Abbildung 5.2-2:	Bauteilbezeichnung © Ursula Knappl
Abbildung 5.2-3:	Wachstumsphasen © Ursula Knappl
Abbildung 5.2-4:	Wachstum - Axonometrie © Ursula Knappl
Abbildung 5.2-5:	Stationsansicht © Ursula Knappl / Abbildung des ATVs aus Astronomie Heute, Ausgabe 04/2008, Seite 20
Abbildung 5.2-6:	Wegeführung innerhalb der Raumstation © Ursula Knappl
Abbildung 5.2-7:	Wegdiagramm © Ursula Knappl
Abbildung 5.2-8:	Kopplung der Versorgungszylinder © Ursula Knappl
Abbildung 5.2-9:	Schwerkraftsverlauf und Mikrogravitation im Stationszentrum I © Ursula Knappl
Abbildung 5.2-10:	Schwerkraftsverlauf und Gravitation innerhalb der Habitate III © Ursula Knappl
Abbildung 5.2-11:	Geschlossene Systeme innerhalb der "Concordia" © Ursula Knappl
Tabelle 5.3-1:	Richtwerte für Mindestgrößen laut NASA
Tabelle 5.3-2:	Richtwerte für den erforderlichen Platzbedarf aus Leben und Arbeiten im All und Human Spaceflight
Abbildung 5.3-1:	schematisches Ebenenmodell © Ursula Knappl
Abbildung 5.3-2:	Wegführung © Ursula Knappl
Abbildung 5.3-3:	Funktionsverteilung © Ursula Knappl
Abbildung 5.3-4:	Raumprogramm © Ursula Knappl
Abbildung 5.3-5:	Grundriss im Maßstab 1:100 © Ursula Knappl
Abbildung 5.3-6:	Grundriss der tertiären Pneu im Maßstab 1:100 © Ursula Knappl
Abbildung 5.3-7:	Längsschnitt A-A im Maßstab 1:100 © Ursula Knappl
Abbildung 5.3-8:	Kopplung der Module im Maßstab 1:200 © Ursula Knappl
Abbildung 5.3-9:	Querschnitt B-B im Maßstab 1:100 © Ursula Knappl
Abbildung 5.3-10:	Möblierungskonzept im Maßstab 1:100 © Ursula Knappl
Abbildung 5.3-11:	Möblierungskonzept im Maßstab 1:200 © Ursula Knappl
Abbildung 5.3-12:	Concordia, interplanetare Raumstation © Ursula Knappl und http://www.hyaden.de/images/mars1.jpg
5	, and a second of the second o

B. Imhof, S. Mohanty, C. Adams, S. Häuplik, H. Stiefel, S. Fairburn, Musings towards a new genre in (space)- architecture, Wien - Kunst/Bundeskanzleramt 2003 Christian Karl Gruber, Leben und Arbeiten im All, Wissenschaft und Technik Verlag 1996 Wiley J. Larson and Linda K. Pranke, Human Spaceflight, McGraw-Hill 2000